

Approved For Release 2008/07/31 : CIA-RDP80T00246A002700170001-3
25X1

USAF review
completed.

Page Denied

Next 1 Page(s) In Document Denied

Approved For Release 2008/07/31 : CIA-RDP80T00246A002700170001-3

Loan #15755

SEE BOTTOM OF PAGE FOR SPECIAL CONDITIONS

C-O-N-F-I-D-E-N-T-I-A-L INFORMATION REPORT		This material contains information affecting the National Defense of the United States within the meaning of the Espionage Laws, Title 18, U.S.C. Secs. 793 and 794, the transmission or revelation of which in any manner to an unauthorized person is prohibited by law.	
PREPARED AND DISSEMINATED BY CENTRAL INTELLIGENCE AGENCY			
COUNTRY Hungary		DATE DISTRIBUTED 10 January 1958	
SUBJECT Ut Vasut Tervező Vallalat (Road and Railroad Planning Enterprise) Organization, personalities, location and specifications of railroad and highway bridges / Bridges to be constructed.		NO. OF PAGES 7	NO. OF ENCLS. 10
		SUPPLEMENT TO REPORT # 25X1	

THIS IS UNEVALUATED INFORMATION

This report is the result of a joint collection effort by the Air Force and CIA and is disseminated in accordance with the provisions of NSCID#7

25X1

UT VASUT TERVEZO VALLALAT

1. The official Hungarian name of the Road and Railroad Planning Enterprise is Ut Vasut Tervező Vallalat, better known by the abbreviation "UVATERV". Up to 1953-1954, this enterprise was subordinate to the Commerce and Traffic Ministry; after which time until the present, it was subordinate to the Post and Transportation Ministry.
2. The main office of the enterprise was located at #1 Molotov Ter, Budapest V. The Underground Construction Division was located in the ex-Hotel Metropole on Rekosi Ut. [REDACTED] 25X1
[REDACTED] See Enclosure #1: 25X1
Pt #1: Danube River
Pt #2: Szechenyi Lanchid (Szechenyi Suspension Bridge)
Pt #3: "UVATERV"
Pt #4: Underground Construction Division 25X1
3. The enterprise consisted of eight main divisions and an administrative section:
 - a) Kölcségvetési Iroda (Cost Estimating Division), responsible for the cost-estimation of all projects undertaken by the enterprise.
 - b) Vasbeton Iroda (Reinforced Concrete Division), responsible for the planning of all construction utilizing reinforced concrete with the exception of bridge construction.
 - c) Híd Iroda (Bridge Division), responsible for the planning of all bridge construction in Hungary. This division had four sections:
 - 1) All steel bridges over 50 meters long. All the best qualified

DISTRIBUTION	STATE	ARMY	C-O-N-F-I-D-E-N-T-I-A-L					

USAF review completed.

C-O-N-F-I-D-E-N-T-I-A-L

-2-

25X1

engineers were assigned to this section.

- 2) All bridges less than 50 meters long. [redacted] 25X1
- 3) Bridge Specifications Section.
- 4) All reinforced concrete bridges over 50 meters long.
- d) Gep Beepito Iroda (Machinery Installation Division), responsible for planning and designing installation of all types of machinery.
- e) Underground Construction Division, responsible for the planning of any type underground construction. This division was also responsible for the maintenance of the newly constructed portions of the Danube River Tunnel.
- f) Ut Es Vasut Iroda (Highways and Railroads Division), had its offices on the sixth floor of this building. This division was responsible for the overall planning of road construction and also for planning railroad bridges.
- g) Traffic Iroda (Traffic Division), responsible for obtaining traffic statistics used in road planning and all other traffic analyses.
- h) Felmeresi Iroda (Field Surveying Division), responsible for all land surveying and other topographical requirements.

BRIDGE DESIGNS AND SPECIFICATIONS

4. [redacted] following bridges planned and designed by the enterprise [See Enclosure #2] Note: All specifications given below are from the Vasbetonhidak, Abra-Es Tervgyujtemeny, 1955, Epitoipari es Kozlekedesi Muszaki Egyetem, II Sz Hidepitesi Tanszek, by Dr Laszlo Palotas [redacted] 25X1

25X1

25X1

25X1

Pt #1: Ujpesti Vasuti Hid (Railroad Bridge over the Danube River at Ujpest). This bridge was originally constructed in 1894 by an Italian firm. It was completely destroyed in 1944-1945, and had not been reconstructed until 1954 when a temporary span was erected. The temporary span is a screwed military construction, with only the section over the Ujpesti-Obol (Bay of Ujpest) being of a permanent nature, steel truss construction. The temporary bridge consists of six spans over the Danube River, each about 92 meters long. It carried one railroad track, mainly for freight and not passenger traffic. It had a first class loading capacity, i.e. two seven x 25 ton locomotives. [redacted] 25X1

[redacted] The plans called for a continuous truss girder type bridge, erected in two three-span parts, carrying the same loading capacity as the temporary bridge.

Pt #2: Arpad Hid (Arpad Bridge), which is the newest and strongest bridge in Hungary, having been completed after World War II. The erection was begun prior to the War, interrupted during hostilities, and finally partially completed after the War. Prior to World War II only the abutments and piers were completed, with no steel superstructure except on the approach side spans. It is presently completed in half-width only [October 1956]; however, even in this condition it has a heavy loading capacity and is of modern construction. The bridge is a continuous plate girder type, with the center spans over the two arms of the Danube River each about 104 meters long. The two main girders are connected by stiff wind and traverse bracing and act as a grid. The bridge presently carries two tramway tracks and two narrow vehicle lanes. The two main girders are riveted. The entire bridge is built of structural steel. The deck girders and the transverse bracings are welded. Even in this partially completed condition, this bridge can carry the heaviest Hungarian and/or Soviet military loadings. It is kept in excellent condition.

C-O-N-F-I-D-E-N-T-I-A-L

C-O-N-F-I-D-E-N-T-I-A-L

-3-

25X1

Pt #3: Margit Hid (Margit Bridge), originally built during 1872-1877, reconstructed in 1936. The steel construction was destroyed in 1944, and the present steel superstructure was erected in 1948-1949, using the original abutments and piers. It consisted of two-hinged steel arches, with box main girders. The spans were symmetric about the middle pier (at Margit Island), with increasing dimensions from the ends toward the middle. The main girders were riveted, with welded columns and deck girders. The deck was of reinforced concrete slab. The steel used was "A.36.24.12" (conformed to German St 37). According to the 1948 highway specifications, the bridge had a loading capacity of a 60 ton tractor plus the tramway. [See Enclosure #3 for sketch of this bridge]

25X1

Pt #4: Kossuth Hid (Kossuth Bridge), first permanent construction in Budapest after World War II. The bridge consisted of a series of simply supported steel truss beams, on piled piers. It had welded, second class steel tube frames in the three main spans, and riveted truss beams in the side spans. The bridge carries two traffic lanes; however, it has been closed to traffic since 1955 because of its poor condition and cracks in the welded joints. It is open to pedestrians and light vehicles. It is planned to remove the entire structure sometime in the future.

Pt #5: Erzsebet Hid (Elizabeth Bridge). The original bridge was built in the early 1910's, and was destroyed in 1945. The ruins had been removed from the river, and the only things remaining are the Pest side pylon and the two small side spans. [See Enclosure #4 for sketch of the proposed new Elizabeth Bridge] This was to be the largest bridge spanning the Danube River, and the second largest suspension chain-bridge in the world. The plans and specifications were developed by "UVATERV". The bridge would have the same appearance as the original except that the counter-weight masses on both sides were to be removed. It is designed to carry a heavy loading, i.e., a 60 ton truck plus two tramway tracks. The tramway tracks will be replaced by trolley buses when the Danube River Tunnel is completed. It will be a suspension bridge with truss stiffening girders. The suspension will be by means of two chains on each side of the bridge, and the stiffening truss will be a four-support continuous beam. The system is three times statically undetermined. The pylons (counter-weight towers) are not fixed at the bottom, but are to be hinged to enable expansion movements. The chains are built of eyebar members, made of high value carbon steel (A.50.35.12); the stiffening truss is of normal A.36.24.12 structural steel. It is anticipated that the bridge will be completed by 1960 and its cost estimate is over 100 million forints.

25X1

Pt #6: Szechenyi Lanchid (Szechenyi Suspension Bridge).

25X1

Pt #7: Szabadsag Hid (Freedom Bridge), originally built in 1896. Partially destroyed during World War II, presently rebuilt. It is a continuous cantilever truss beam (so called "Gerber girder") with a 46.90 meter long suspended span between the two cantilevers. The exterior supports of the bridge are anchored by 600 ton counter-weights. Steel truss girders separate the roadway from the sidewalk. The roadway carries two tramway tracks, and two narrow vehicle traffic lanes. The width of the roadway is too narrow for modern highway traffic, and the bridge is almost always overloaded. According to the 1948 loading specifications, the bridge had a loading capacity of two 24-ton trucks plus tramway cars. Seventy percent of the steel in the bridge is of the old 1896 steel alloy. It is a fatigued normal structural steel. The new parts of the bridge, especially the suspended girder, are of A.36.24.12 steel. The bridge is in fair condition. [See Enclosure #5 for sketch of this bridge]

25X1

C-O-N-F-I-D-E-N-T-I-A-L

C-O-N-F-I-D-E-N-T-I-A-L

4-

25X1

Pt #8: Petofi Hid (Petofi Bridge), originally erected in the late 1930's, destroyed in 1945, reconstructed in 1951-52. It is one of the most modern bridge constructions in Hungary and Europe. It consists of a continuous truss beam over four supports. On the Buda side there is a simply supported approach overpass, while on the Pest side the framework goes over the riverside drive and tramway tracks. The main girders and the wind-traverse stiffening braces act as a grid, and the construction is very economical. Its deck carries four traffic lanes and two tramway tracks. It is constructed of A.36.24.12 structural steel, with a loading capacity (1948 specifications) of a 60 ton tractor or two 24-ton trucks plus tramway cars. Kept in excellent condition. [See Enclosure #6 for sketch of this bridge]

25X1

Pt #9: Deli Osszekoto Vasut Hid (Southern Railroad Bridge), originally erected in the late 1870's, remodeled in 1913-14, destroyed in 1945, reconstructed in 1947-1950, using the original, almost undamaged abutments and piers. Two single track bridges were built side by side of A.36.24.12 structural steel, each having a loading capacity of two locomotives of 7x25 ton axles (1951 Hungarian State Railway specifications). It was a continuous truss girders over four spans. This bridge is in good condition and carries the heaviest railroad traffic of any bridge in Hungary since it connects the two main railroad stations in Budapest, i.e., Keleti and Kelenfold Railroad Stations, and forms part of the most heavily travelled railroad line in Hungary. Presently this is the only railroad bridge over the Danube River that carries electrified tracks. [See Enclosure #7 for sketch of this bridge]

25X1

Pt #10: Railroad Bridge []

25X1

Pt #11: Gubacsi Uti Hid (Gubacsi Street Bridge)

25X1

Pt #12: Dunaharaszti Vasuti Hid (Dunaharaszti Railroad Bridge 4720N/1905E).

25X1

Note: Refer to Page 162. Reinforced Concrete Bridge

Specifications Book described in [] Paragraph 4

25X1

above]

25X1

5. On a map of the Central Carpathians [] located the following [See Enclosure #8]:

25X1

Pt #1: Miskolc (4806N/2047E)

Pt #2: DRR from Kosice (4842N/2115E), CSR - Budapest

Pt #3: Barsonyos River

Pt #4: Hernad River

Pt #5: DRR from Kosice - Miskolc

25X1

Pt #6: Railroad Bridge [See Enclosure #9 for sketch of this bridge]. The plans and designs were made by UVATERW in 1956 to replace the original bridge destroyed in 1945. The abutments and piers of the old bridge will be rebuilt, and used for the new bridge. The bridge will lie in skew, and will consist of two identical constructions, each with one railroad track. The statical system will be continuous truss girders, on three supports. The framework will be of A.36.24.12 normal structural steel. The upper cord of trusses are not connected by any wind bracing (called an "opened truss"). The rails are to rest on timber beams, supported by longitudinal plate girders. The loading will be transferred from these longitudinal plate girders to transverse plate girders which are equally spaced at 5.20 meters apart. At the time of design, the A.36.24.12 steel was chosen; however, several parts would be made of A.50.35.12 (high-value carbon steel) which was left over from an export job to Egypt. It was to have a loading capacity of two locomotives of

C-O-N-F-I-D-E-N-T-I-A-L

C-O-N-F-I-D-E-N-T-I-A-L

-5-

25X1

7x25 ton axles. Construction was to begin in the autumn of 1958.

6. On a map of the Gulf of Venice [redacted] located the following [See Enclosure #10]:

25X1

Pt #1: Dunafoldvar (4648N/1856E)

25X1

Pt #2: Danube River

Pt #3: Combined railroad and highway bridge over the Danube River, rebuilt after World War II, consisting of continuous steel truss girders over three spans, with four supports. It has a loading capacity (1951 State Railways specifications) of two locomotives 7x25 ton axles, plus vehicular traffic. There is one railroad line on the bridge, and vehicular traffic moves (in two narrow lanes) only when there is no railroad traffic. The bridge is kept in good condition.

MISCELLANEOUS BRIDGE DESIGNS AND SPECIFICATIONS

7. In connection with the specifications given in the Book of Reinforced Concrete Bridge Specifications [redacted]

25X1

- a) The specifications listed on pages 153 through 157, are typical designs and specifications for all the highway bridges built across the Keleti Focsatorna (Eastern Main Canal) connecting the Tisza and Berettyo Rivers.
- b) The specifications listed on page 61 are typical of designs and specifications for all railroad bridges 10 meters and under in length.
- c) The specifications listed on page 110 are typical of designs and specifications for all highway bridges used as overpasses for railroads.
- d) The specifications listed on pages 181 and 182 are typical of the design and specifications for the highway bridge located on State Highway No 6, near Mecsekadasd, spanning a valley in the Mecsek Mountains. This bridge was constructed after World War II.
- e) The specifications listed on page 120 are typical of the design and specifications for the highway bridge over the Sio River about one km south of the dam.

PERSONALITIES AT UVATERV

8. Dr Gyozo Haviar, Chief of the 11th Section of the Post and Transportation Ministry (Public Roads and Bridges), has a Civil Engineer's degree from the Technical University of Budapest and is serving there as a Professor in addition to his Ministry position.

25X1

He is also connected with the Export Ministry.

9. Istvan Gabor, Director of UVATERV, [redacted] is also an instructor and technical consultant in the Civil Engineering Faculty of the Technical University of Budapest; and in addition is the Director of the Ut Ugyi Kutato Intezet (Highway Research Institute) newly established in 1955-56 at Budapest.

25X1

10. Pal Savoly, Chief of the Bridge Department, graduate Civil Engineer, who was awarded the Kossuth Prize in 1949-1950 for design of a suspension bridge. He is a member of the State Board of Examiners for Bridges and very well qualified. He was in Egypt in 1956 supervising the construction of the Helwan Bridge.

25X1

C-O-N-F-I-D-E-N-T-I-A-L

C-O-N-F-I-D-E-N-T-I-A-L

-6-

25X1

25X1

LABOR FORCE

17. The enterprise employed approximately three thousand persons, of which about 30% were women. Twenty percent of the total were administrative and I estimate about 35% of the total force were engineer graduates, mostly civil, but some electrical. The enterprise operated six days a week, from 0800 to 1630 on Mondays through Fridays and from 0800 to 1300 on Saturdays. In the years 1955-56, overtime was prohibited. Approximate wages were as follows:

Draftsmen: 700-800 forints per month; maximum 1100. Bonus was approximately 10% every three months

Technical Designers: 1100-1400 forints per month. In 1956 they received a 10% quarterly bonus

Graduate Engineers: 1300-1800 if unskilled; 2200 forints per month after considerable experience. 10-15% bonus paid quarterly in 1956.

Section Chiefs: 2500-2800 forints per month. Bonus unknown

Division Chiefs: Director - 3500-4000 forints per month. Bonus unknown

MISCELLANEOUS

18. The 1st Section of the Bridge Division planned the Southern Railroad Bridge (Pt #9, Enclosure #2), the Elizabeth Bridge (Pt #5, Enclosure #2), the Halwan Bridge in Egypt, the Railroad Bridge at Komarom (4745N/1806E), the Railroad Bridge at Baja (4610N/1856E) and the Highway Bridge at Tokaj (4807N/2124E). The Machinery Installation Division planned the Power Plant at the Aswan Dam in Egypt. All plans, designs and specifications pertaining to the enterprise were classified as "Secret", and were kept under strict security.

Enclosure #1 - Overlay on Ustom 0251-9997-1-25M Budapest (4730N/1905E), Hungary

C-O-N-F-I-D-E-N-T-I-A-L

C-O-N-F-I-D-E-N-T-I-A-L

-7-

25X1

Enclosure #2 - Overlay on USTCC 0251-9997-100 Budapest(4730N/1905E),
Hungary

Enclosure #3 - [redacted] Sketch of the Margit Hid in Budapest, Hungary

Enclosure #4 - [redacted] Sketch of the Proposed Elizabeth Bridge in Budapest

Enclosure #5 - [redacted] Sketch of the Freedom Bridge in Budapest 25X1

Enclosure #6 - [redacted] Sketch of the Petofi Bridge in Budapest

Enclosure #7 - [redacted] Sketch of the Southern Railroad Bridge in Budapest

Enclosure #8 - Overlay on WAC 232, Central Carpathians

Enclosure #9 - [redacted] Sketch of the Railroad Bridge being built over the Hernad River near Hernadnemeti (4804N/2058E), Hungary 25X1

Enclosure #10 - Overlay on WAC 252, Gulf of Venice

[redacted] copy of Vasbetonhidak, Abra- 25X1
es Tervgyujtemeny, 1955, Epitoipari es Kozlekedesi Muszaki Egyetem, II
Sz Hidepitesi Tanszek, by Dr Laszlo Palotas (Reinforced Concrete Bridge
Specifications Book) Unclassified

DO NOT MICROFILM

-end-

C-O-N-F-I-D-E-N-T-I-A-L

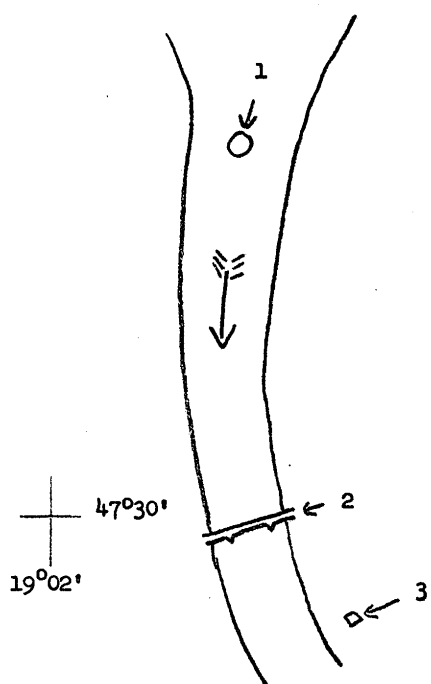
C-O-N-F-I-D-E-N-T-I-A-L



25X1

+ 47°32'30"
19°05'

4
N



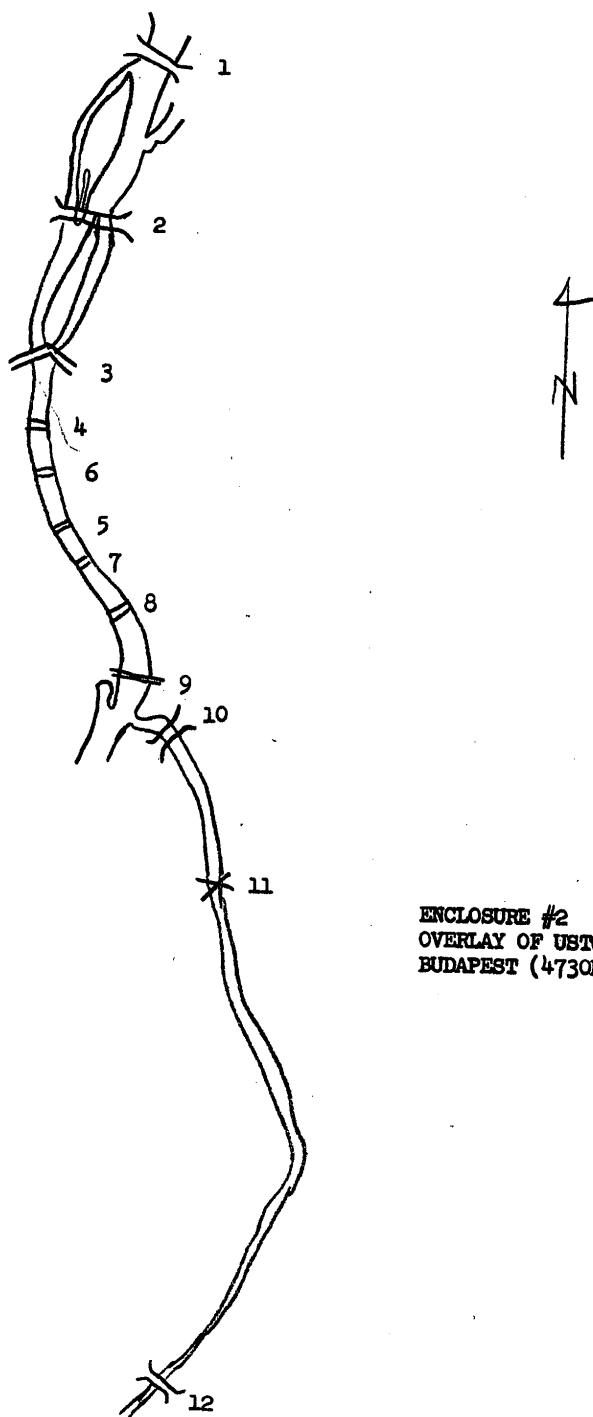
ENCLOSURE #1

OVERLAY ON USTOM 0251-997-1-25M
BUDAPEST (4730N/1905E), Hungary

C-O-N-F-I-D-E-N-T-I-A-L

C-O-N-F-I-D-E-N-T-I-A-L

25X1



ENCLOSURE #2
OVERLAY OF USTCC 0251-9997-100
BUDAPEST (4730N/1905E), Hungary

47°20'
19°00'

C-O-N-F-I-D-E-N-T-I-A-L

C-O-N-F-I-D-E-N-T-I-A-L

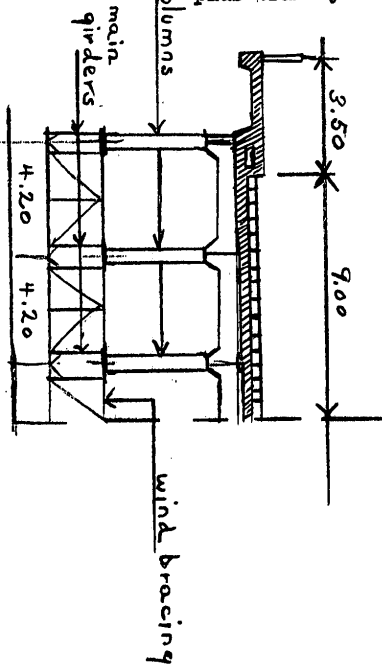
MARGIT-HID/Margit Bridge

25X1

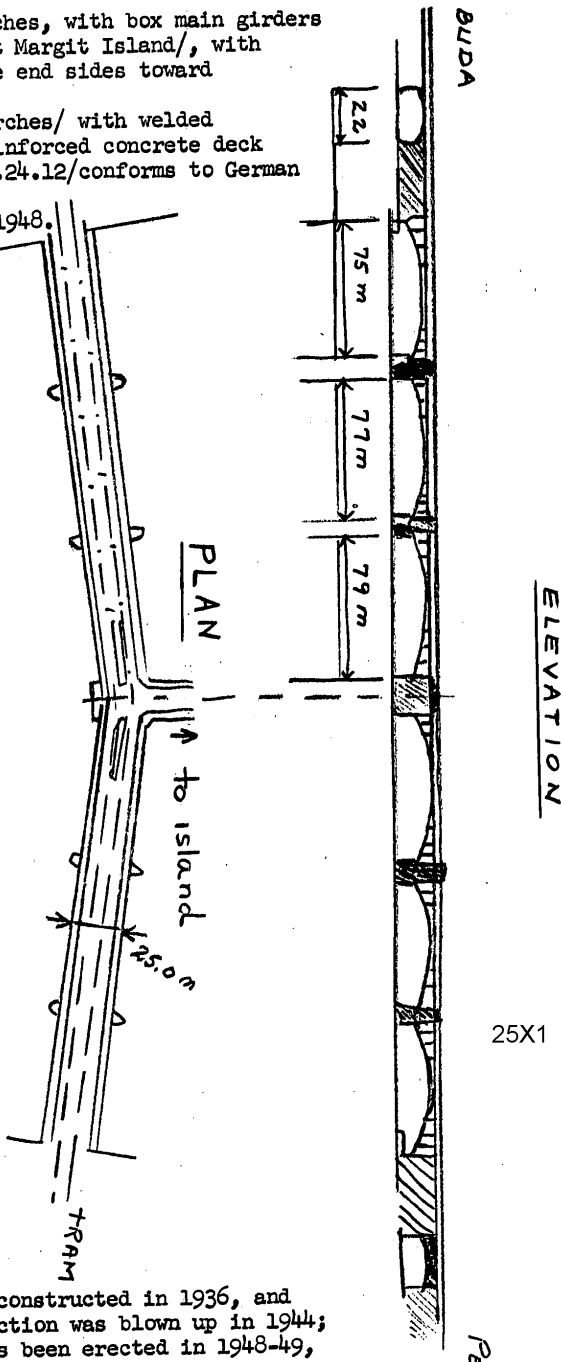
Statical system: two-hinged steel arches, with box main girders
 Spans: symmetric about middle pier/at Margit Island/, with
 increasing dimensions from the end sides toward
 the middle.

Construction: riveted main girders/arches/ with welded
 columns and deck girders. Reinforced concrete deck
 slab. Material of steel: A.36.24.12/conforms to German
 St 37.1

Loading: 60 t-tractor according to 1948.
 highway specifications,
 plus tramway.



CROSS SECTION



25X1

ENCLOSURE #3
 SKETCH OF THE MARGIT HID IN
 BUDAPEST, HUNGARY

The bridge was built in 1872-77, reconstructed in 1936, and used until 1944. The steel construction was blown up in 1944; the present steel superstructure has been erected in 1948-49, on the old abutments and piers. The bridge is in excellent condition.

C-O-N-F-I-D-E-N-T-I-A-L

C-O-N-F-I-D-E-N-T-I-A-L

Erzsebet-hid (Elisabeth Bridge)

The figure shows the planned arrangement. This was the largest Danube bridge of Hungary respecting its span, and the second largest suspension chain-bridge of the world. It was built in the early 1910's and was blown up in 1945. The ruins of the destroyed construction have been already removed from the river, and there is existing only the Pest-side pylon and the two small side spans. The bridge has been computed and designed at UVATERV. It will look like before only the counterweight masses on both sides are to be removed.

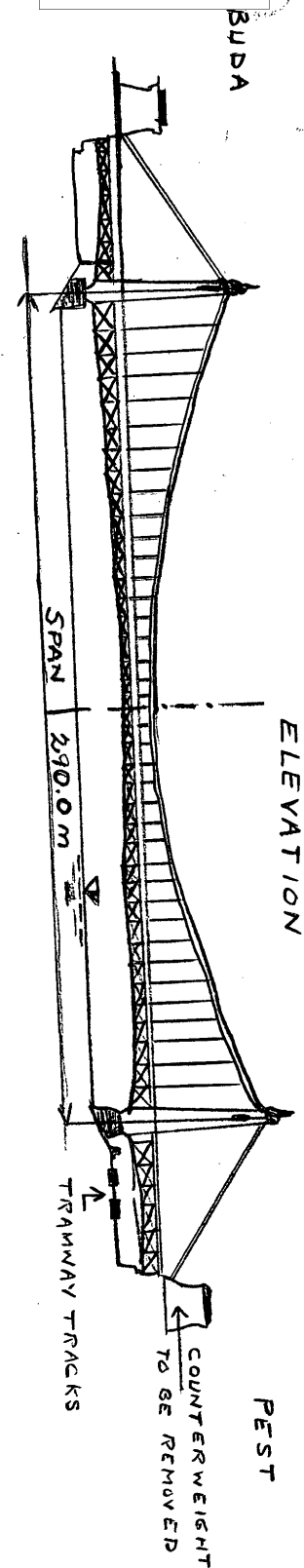
The bridge will carry a heavy highway loading (60 t truck according to the new specifications) plus two tramway tracks. These latter will be replaced by trolley bus line (without rails) if the subway of Budapest will be in existence. Statical system: suspension bridge with truss stiffening girder. The suspending is carried out by two chains on each side of the bridge, the stiffening truss is a four-support continuous beam. Thus the system is three times statically undetermined. The pylons (towers) are not fixed at bottom, but have hinges to enable expansion movements.

Material: chains are built up of eyebar members, made of high-value carbon steel (A.50.35.12). The stiffening truss is of normal A.36.24.12 structural steel. The bridge is expected to be ready in 1960 or later and its costs - even by keeping the old abutments, anchorage chambers etc - are estimated over 100 million Forints.

ENCLOSURE #4
SKETCH OF THE PROPOSED ELIZABETH BRIDGE
IN BUDAPEST

25X1

25X1



C-O-N-F-I-D-E-N-T-I-A-L

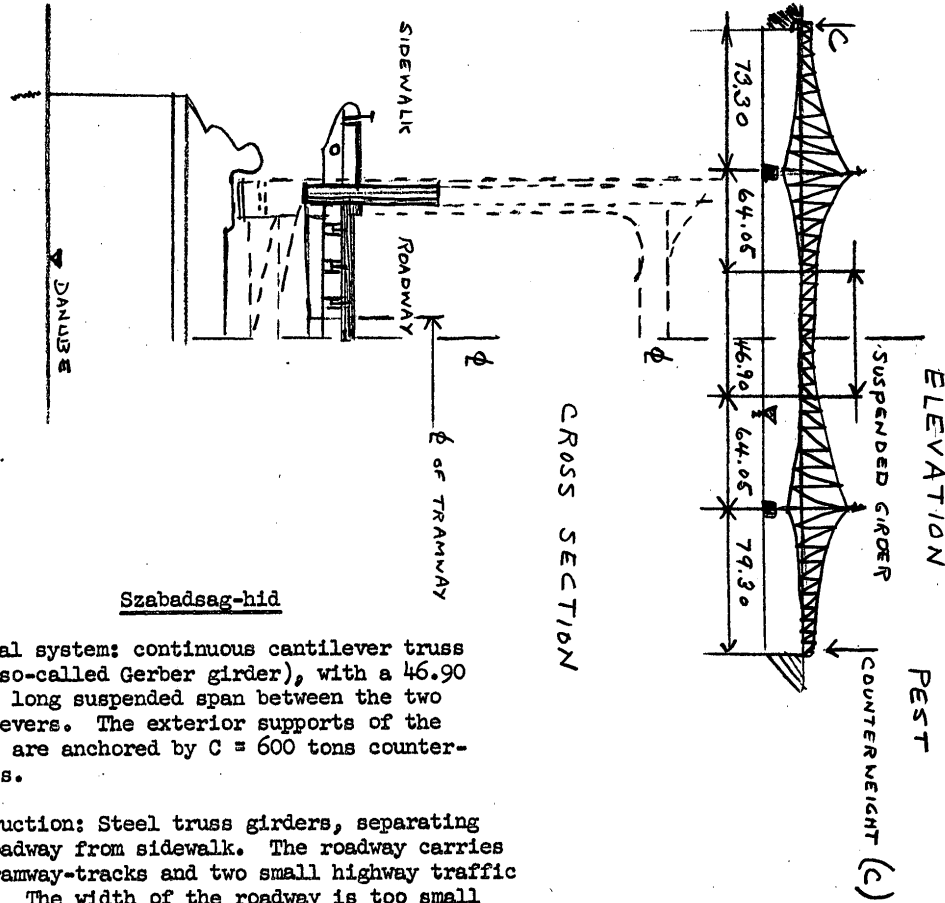
25X1

C-O-N-F-I-D-E-N-T-I-A-L

ENCLOSURE #5

SKETCH OF THE FREEDOM BRIDGE
IN BUDAPEST

25X1



Statical system: continuous cantilever truss beam (so-called Gerber girder), with a 46.90 meters long suspended span between the two cantilevers. The exterior supports of the bridge are anchored by $C = 600$ tons counterweights.

Construction: Steel truss girders, separating the roadway from sidewalk. The roadway carries two tramway-tracks and two small highway traffic lanes. The width of the roadway is too small for modern highway traffic and the bridge is almost always overloaded. Loading: 1948, Highway special loading, consisting of two 24 ton trucks plus tramway cars. Steel material is in 70% the old 1896 steel alloy that is not of 100% value today. It must be regarded as fatigued normal structural steel. The new parts of the bridge (especially the suspended girder) are of A.36.24.12 structural steel. The bridge is in fair condition.

C-O-N-F-I-D-E-N-T-I-A-L

C-O-N-F-I-D-E-N-T-I-A-L

25X1

PETOFI-HID (Petofi Bridge)

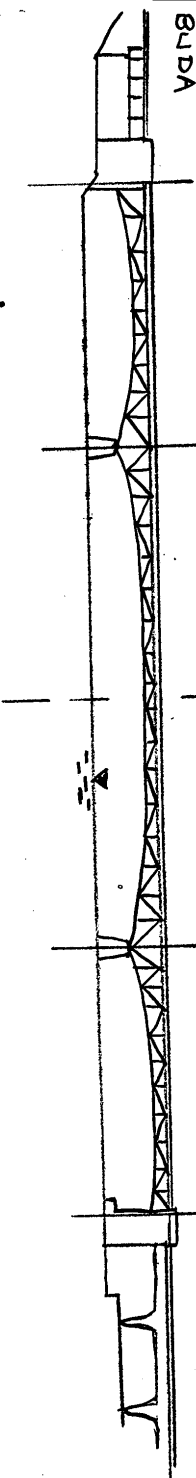
Statical system: continuous truss beam over four supports. On the Buda side a simply supported approaching overpass, on the Pest side framework over the riverside drive and tramway tracks.

Construction: the main girders and the wind- and transverse stiffening bracing set as a grid and therefore the construction is very economical. Its deck carries four highway traffic lanes and two tramway tracks.

Material: A.36.24.12 structural steel.

Loading: heavy highway loading according to 1948 specifications (60 t-tractor or two 24 t-trucks) plus tramway loading.

The bridge is one of the most modern constructions in Hungary and Europe. At first it has been erected in the late 1930's and was destroyed in 1945. Reconstructed in 1951-52. The bridge is in excellent condition.



25X1

ENCLOSURE #6
 SKETCH OF THE PETOFI
 BRIDGE IN BUDAPEST

C-O-N-F-I-D-E-N-T-I-A-L

25X1

C-O-N-F-I-D-E-N-T-I-A-L

Deli Osszekoto Vasuti hid
 (Southern Railroad Bridge)

Statrical system: Continuous truss girders over four spans. Loading: Hungarian State Railways specifications 1951 - Loading "A": Two locomotives 7x25 ton axles each.

Construction: Two one-track bridges were built side by side. Steel material: A.36.24.12 structural steel (corresponding to German St 37).

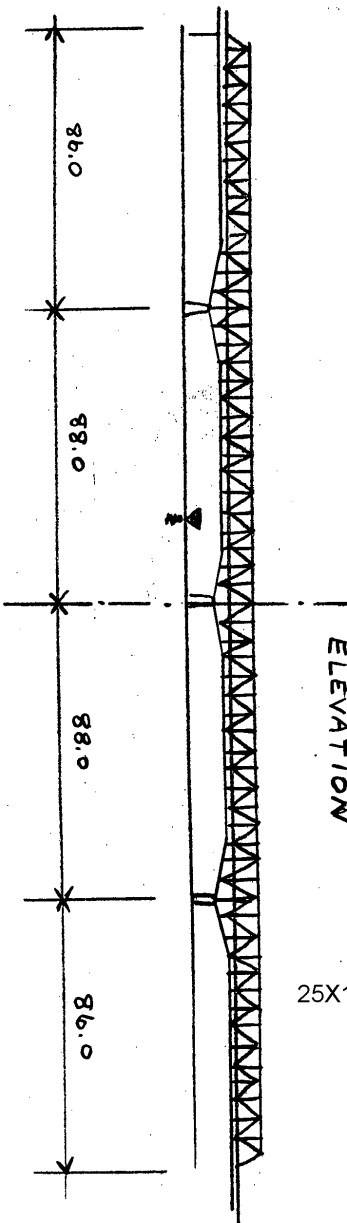
The bridge has been erected at first in the late 1870's. The old construction was changed to a new one in 1913-14. This latter was blown up in 1945. The old abutments and river piers remained almost undamaged and were used for the new reconstructed bridge in 1947-50.

The bridge is in good condition and carries the heaviest railroad traffic - this line is the most frequently used railroad line in Hungary, as it connects the two most important stations of the capital: Keleti-p u with Kelenfold p u.

Up to now it has been the only railroad bridge over the Danube that carries electrified railroad tracks also.

ENCLOSURE # 7

SKETCH OF THE SOUTHERN RAILROAD BRIDGE IN BUDAPEST



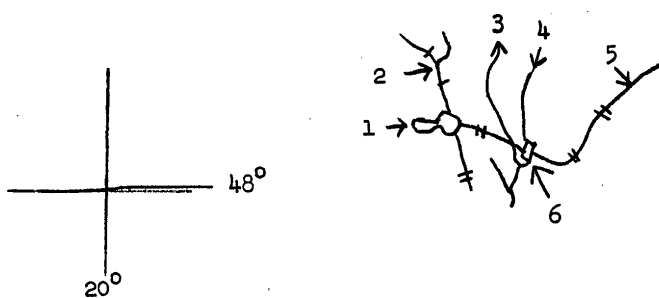
25X1

C-O-N-F-I-D-E-N-T-I-A-L

C-O-N-F-I-D-E-N-T-I-A-L

25X1

49°
22°



48°
20°

ENCLOSURE # 8

OVERLAY ON WAC 232,
CENTRAL CARPATHIANS

47°
20°

C-O-N-F-I-D-E-N-T-I-A-L

25X1

C-O-N-F-I-D-E-N-T-I-A-L

ENCLOSURE #9

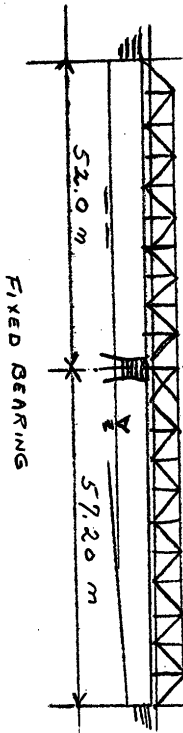
25X1

Railroad Bridge over the Hernad River

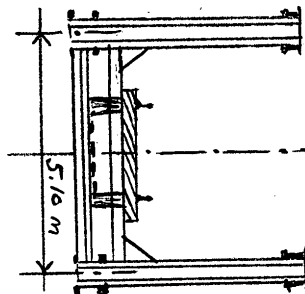
The bridge was designed in 1956 at UVATERV, Budapest design bureau for bridges. It will replace the blown-up construction, to carry a two-track railroad traffic. The abutments and river pier of the old construction are to be reconstructed and used for the new bridge. The bridge lies in skew, and there are two similar constructions to be erected, with one railroad track each.

Statical system: continuous truss girders, on three supports. Construction: steel framework, made of A.36.24.12 normal structural steel. The upper cord of trusses are not connected by wind bracing whatsoever - it is an "opened truss". The rails rest on timber beams, which are supported by longitudinal plate girders. The loading is transferred from these upon transverse plate girders, which lie in equal distances of 5.20 m from each other. Material: At the time of design, A.36.24.12 structural steel was chosen, however several parts may be carried out of high-value carbon steel (A.50.35.12 - conforms to German St 52 steel) - that remained from the export job for Egypt. Loading: according to 1951 Railroad specifications (two locomotives, 7x25 tons axles each).

Construction is to start in the Fall of 1958.



 SKETCH OF RAIL-ROAD BRIDGE BEING BUILT OVER THE HERNAD RIVER NEAR HERNADNEMETI (4804N/2058E), HUNGARY



C-O-N-F-I-D-E-N-T-I-A-L

C-O-N-F-I-D-E-N-T-I-A-L

25X1

47°25'N

19°00'E



ENCLOSURE #10

OVERLAY OF WAC 252,
GULF OF VENICE

17°30'E

45°30'N

C-O-N-F-I-D-E-N-T-I-A-L

Epítőipari és Közlekedési Műszaki Egyetem
II. sz. Hidépítési tanszék

Dr. Palotás László

VASBETONHIDAK ábra- és tervgyűjteménye

KÉZIRAT

1955

FELSŐOKTATÁSI JEGYZETELLÁTÓ VÁLLALAT, BUDAPEST

Epítőipari és Közlekedési Műszaki Egyetem
II. sz. Ifjúsági Tanszék

Dr. Palotás László

VASBETONHÍDÁK ábra- és tervgyűjteménye

KÉZIRAT

1955

FELSŐOKTATÁSI JEGYZETELLÁTO VÁLLALAT, BUDAPEST

T. sz.: 40896

Hallgatói ára: 21.60 Ft.

B 1 6 s a d .

A "Vasbetonhidák" című előadásaim kiegészítésére szükségek látta egy ábra- és tervgyűjtemény kiadását és annak hallgatóink rendelkezésére való bocsátását, hogy ezáltal lehetővé váljék az előadások könnyebb megértését, követése és maga az előadási óraszám is jobban kihasználható legyen. Igy szakítanom lehet azzal az eddig eljárásossal, amely mellett a vasbeton-hidakkal kapcsolatos általános elrendezéseket, szerkezeti megoldásokat, esetleges részleteket is kénytelen voltam magam a táblára rajzolni és így nemcsak erősen telt az idő, hanem a hallgatók sem voltak képes a feirajzolt ábrákat és terveket teljes pontossággal saját jegyzetében visszaadni.

Ezen a helyzetet segítendő, vettetem törvyebe a mult tanáry folyamán - amikor alkalmam nyílt a "Vasbeton- és hídak" o. előadásokat elszíben megtartani, - egy ábra- és tervgyűjteménynek az összeállításban.

A szabonforgó ábra- és tervgyűjtemény hivatott részben a vasbeton területen évtizedek óta bedöllő hatálmas fejlődést, részben pedig a korszerű szerkezetek legújabb eredményeit bemutatni, hogy ezáltal nemcsak maguknak a hallgatóknak rajzfeladataik elküszítésében, de a diplomatervet készítő szigorú mérnököknek is hasznos segítségére legyen.

Az összeállítás alapját az előadási jegyzetemben foglaltak képezték. Az egész összeállítás az utóbbi néhány hónapnak a munkája. Természetesen bármilyen gondos átnézés és többszörös ellenőrzés ellenére is maradhattak hibák és hiányosságok az egyes ábrákon és terveken. Meg vagyok győződve arról is, hogy ez a gyűjtemény nem egységes és nem is teljes. Kérem tehát az "Ábra- és tervgyűjtemény" használót, hogy az esetleg felfedezett hiányosságokat a tanszékkal közöljük és ezáltal a következő kiadás jóállításához elősegitsék.

A lapok összedllitásánál felhasználtam Balázs és Kilián tanárségek által a hazai tervekből összedllított tervgyűjteménynek 54 lapját, ezenkívül Dr. Mihailich György professzor: "Kábelbeton- vasbeton- és fahidak ábra- és tervgyűjteménye"-ból néhány lapot. A többi lapot különböző hazai és külföldi könyvekből, szaklapokból és folyóiratokból állítattam össze. Ezeknek a jegyzékét a lapok végén köszönöm.

55-40896

Nagy segítségünkre volt a hazai tervezek rendelkezésre bocsátásában a Közlekedés- és Postai Ügyi Minisztérium tervezési főosztálya és rajta keresztül hidtervezésekkel foglalkozó tervezőintézetek ill. vállalatok /Állami Mélypítéstudományi és Tervező Intézet, amely néhány törvvel, az Ut-Vasut Tervező Vállalat, amely a már fentebb említett 54 tervlappal szerepel/.

B lapok nem jelenhettek volna meg, ha a tárgyfelelős Balázs György tanárséged nagy odaaddással és szorgalommal nem fogta volna kézbe az egész összegyűjtési, rajzolási és másolási munkát és maga nem járt velna elől jövőlával. Egyébként tanszékünk egész oktatásiemelyzeten átirezte az "Ábra- és tervgyűjtemény" megjelenésének fontosságát és a maga részéről a rábízott munkát nagy gondossággal, határidőre végezte el.

Az "Ábra- és tervgyűjtemény" összedllitását végezték:

	Fejezet:	Lap
Balázs György	tanárséged III.1.-III.11.	54
Kilián József	tanárséged 6, 6, II/12.	15
Makleit Géza	tud.kut. I/1, I/3, I/4.	18
Mohay Kálmán	tanárséged IV/1, IV/2, IV/3.	12
Szerémi László	tanárséged 0/4, 0/5, 0/7, II/1, II/2	29
Tassi Gyöza	adjunktus 0/1	1
Telekes György	tanárséged I/2, I/5, I/6, I/7, I/8, I/9,	17
Veress Sándor	tanárséged 0/2, 0/3	6

Mind az egyes állami hivataloknak, tervezővállalatoknak, minden a tanszék oktatásiemelyzeten összíró köszönetemet fejezem ki, hogy egyetemi oktatásunk szaknívójának emeléséért a fentemlített tervezetek rendelkezésre bocsátották, ill. a tervezek összedllitásában segítségemre voltak.

Abban a reményben bocsátom a hallgatóság rendelkezésére a "Vasbetonhidák ábra- és tervgyűjteménye" című összeállításomat, hogy az a hallgatósnak tudása gyarapításában értékes segítsége lesz. Remélem, hogy a következő években minden lesz ezt az ábra- és tervgyűjteményt korszerűsíteni és a vasbetonépítés más területein is a tanulnivaló hallgatóknak hasonló tervgyűjteménnyel segítségére szántni.

Budapest, 1955. szeptember hó 24.

Dr. Palotás László

Tartalomjegyzék.

Irodalmi hivatkozások rövidítései.	5	
0.	Általános rész.	
0/1.	A hidak osztályozása.	6
0/2.	Üreselvények, pályaszélességek, kerékvető.	7
0/3.	Terhelések.	9
0/4.	Közutak pályaburkolatok, esésviszonyok.	13
0/5.	Vizelvezetés, vizszigetelés.	14
0/6.	Hidfők, pillérek, korszerű pályacsatlakozás.	19
0/7.	Saruk, csuklók, ingák.	32
0/8.	Szerkesztési szabályok, határfeszültségek.	42
I.	Gerendahidak.	
I/1.	Gerendahidak osztályozása.	47
I/2.	Kéttámaszu gerendahid.	49
I/3.	Polytatálagos többtámaszu csuklós hid.	66
I/4.	Polytatálagos többtámaszu hid.	81
I/5.	Tömör főtartós hid.	92
I/6.	Rácsos hid.	98
I/7.	Vierendel hid.	100
I/8.	Merev vasbetétes hid.	102
I/9.	Vastartós vasbetonlemezes hid.	104
II.	Kerethidak.	
II/1.	Kerethidak statikai váza.	108
II/2.	Kerethidak.	109
III.	Ivhidak.	
III/1.	Ivhidak osztályozása.	133
III/2.	Ivek méreteinek és alakjának közelítő felvétele.	135
III/3.	Háromcsuklós iv.	140
III/4.	Kétcsuklós iv.	150
III/5.	Vonóvasas iv.	153
III/6.	Vonógerendás iv.	160
III/7.	Befogott iv.	165
III/8.	Tárcsa iv.	184
	III/9. Merev vasvázás iv.	186
	III/10. Különleges ivhidak.	190
	III/11. Szélteherre való vizsgálat.	192
	III/12. IVEK STABILITÁSVIZSGÁLATA.	194
	IV. Feszített hidak.	
	IV/1. Előrefeszítési rendszerek.	196
	IV/2. Utórefeszítési rendszerek.	197
	IV/3. Szerkesztési szabályok.	208

Az irodalmi hivatkozások rövidítései.

- B. u. E. Beton und Eisen
B. u. St. Beton und Stahlbetonbau.
Baut. Bautechnik.
Bauing. Bauingenieur.
M.Sz. Mélyépítéstudományi Szemle.
ATP. Annales de l'Institut Technique du Batiment et des Travaux Publics.
TR. Travaux.
Bu. Mitteilungen der IVEH.
Ma. Max Bill: Robert Maillart.
K Kersten - Dederling: Brücken in Stahlbeton. I. kötet. /8.kiadás,1953./
B XI. Emberger: Handbuch für Eisenbetonbau. XI. kötet. /4.kiadás,1952./
B VI. Emberger: Handbuch für Eisenbetonbau. VI. kötet.
Mö. Mörsch: Der Eisenbetonbau. II. kötet, 2. rész. /5.kiadás, 1930./
Me. Melan - Fritsche: Der Brückenbau 2. kötete. Massivbrücken.
P. H.I. ПОЛМВАНОВ: Х ЛЕЗОБЕТОННЫЕ МОСТЫ. 1947.
Mi Dr. Mihailich Győző: Kő-, beton-, és fahidak ábra és törvgyűjtemény.
/1922./
B. Botár J.: Vízszigetelések /1954/
B.K. Beton Kalender 1952.
Kö. MNOSZ 15486-52 R. Közúti vasbeton-gerendás hidak mintatervezéi.
Soh. Schaechterle und Leonhardt: Die Gestaltung der Brücken.
F.B. Börödz J.: Feszített betonszerkezetek /1953/.
S. Schleicher: Taschenbuch für Bauingenieure 2. kiadás
"Hütte" III. kötet 27. kiadás

5540896

AZ OSZTÁLYOZÁS
SZEMPONTJAI

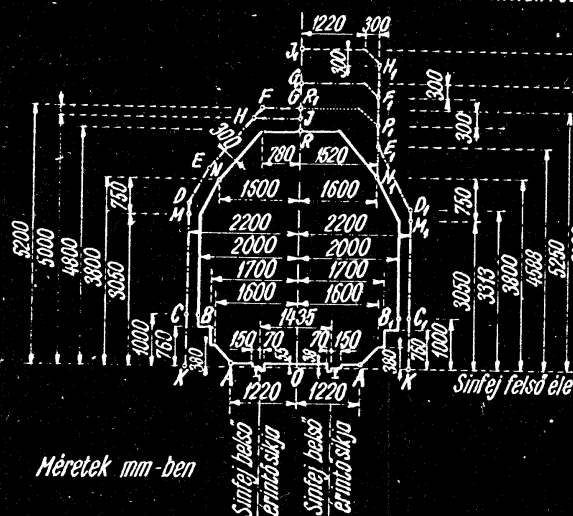
HIDAK OSZTÁLYOZÁSA

RENDELTELÉS (AZ ÁTVEZETÉTT KÖZLEKEDESI VONAL)	VEZETÉK- TARTÓ HID	SZÁLLÍTÓ HID (PÁRÁV, SZÁLA)	ELEKTROMOS VEZETÉK	CSATORNA HID	VEGYES FORGALMÚ { KÖZÚTI - VASUTI VASUTI ÉS KÖZÚTI KÖZÚTI KÖZÚTI VASUTTAL						
					KESKENY NYOMTÁVÚ	NÖRMÁL NYOMTÁVÚ	GYALOG HID	KERÉKPÁR HID	KÖZÚTI JÁRMŰÁLT.		
SZABVÁNY Szerinti TERHELESI OSZTÁLY					A, B, C, G	A, B, C			A, B, C, D		
JÁRAT ILL. VÁGÁNSZÁM					1, 2 ESETLEG TÖBB VÁGÁNYÚ			1, 2, 3 STB. JÁRATÚ			
ÁTHIDALT AKADÁLY	VIZFOLYÁS, VÖLGY, KÖZLEKEDESI VONAL { ALULJÁRÓ MERŐLEGES, FERDE HID { BAL FERDESEGÜ EGYENES, IVBEN FÉKVÖ HID { JOBB FERDESEGÜ										
A HIDTENGELY HAJLÁSA AZ ÁTHIDALT AKADÁLY TENGELYHEZ											
A HIDTENGELY ALAKJA	EGYENES, IVBEN FÉKVÖ HID										
TERvezett Élettartam	ÁLLANDÓ, FELÁLLANDÓ, IOEIGLENES										
FÖLÖRAJZI HELY (FORGSALOM)	BELTERÜLETI, KÖRNYÉKI, ORSZÁGUTI, KÜLÖNÖS FORGALMI JELENTŐSÉGÜ										
FELSZERKEZET MOZ- GAT HATÓSÁGA	A L L O M O Z G O B O L T O Z O T T F Ö T A R T Ö S T Ö M Ö R R A C S O S										
FELSZERKEZET KIALAKITÁSA	LEMEZES BORDÁS										
FÖTARTÓ KIALAKITÁSA	T Ö M Ö R R A C S O S										
FELSZERKEZET ANYAGA	ACÉL	ALUMINIUM	FA	VASBETON	BETON	TÉGLA	KÖ				
FÖTARTÓ SZILÁROSÁG- TANI JELLEGE (AZ IGÉNYBEVÉTEL FÖ- FORMÁJA)	FÜGGÖ HID, GERENDAHID, IV HID (HÚZÁS), (HAJLITÁS), (NYOMÁS) (ÉS EZEK KOMBINÁCIÓJA: KERET HID, MEREVÍTÖGERENDÁS IV HID ÉS FÜGGÖ HID STB.)										
FÖTARTÓK SZÁMA			1, 2	VAGY TÖBB							
FÖTARTÓÖVEK SZÁMA	(2)	(3)		4		6	STB.				
PÁLYA ELHelyezése A FÖTARTÓKHOZ KÉPEST	ALSÓ PÁLYÁS SÜLYESZTETT PÁLYÁS										
A FÖTARTÓ SZTATIKAI HATÁROZOTTSÁGA	F E L S Ö P Á L Y Á S SZTATIKAILAG HATÁROZOTT, SZTATIKAILAG HATÁROZATLAN (RÚLSÓLEG - BELSÓLEG)										
KIVITELÉZÉS MÓDJA	MONOLIT ELÖREGYÁRTOTT										
SAJÁT-FESZÜLTSEBELLAPOT	FESZITETT NEM FESZITETT										
	0/1										

Nyitva tartandó illetve átvezetendő szelvények

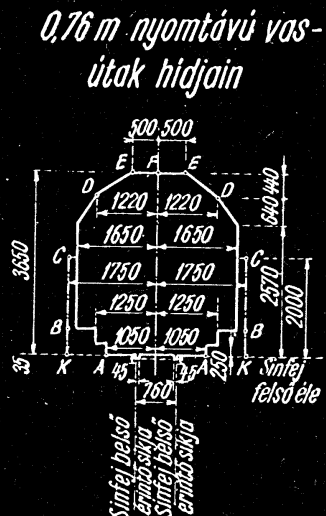
Szabványos nyomtávú vasútak hidjain

Gázüzemű vonalak részére villamos üzemű vonalak részére



Méretek mm-ben

1. obra



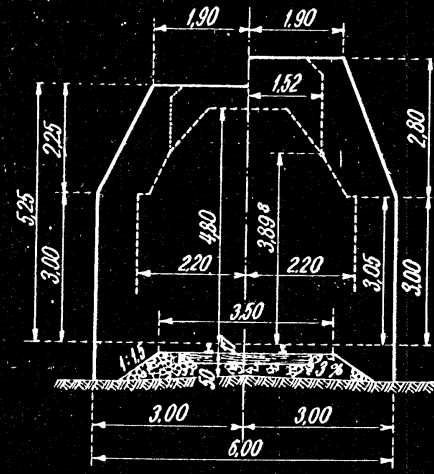
2. ábra.

Vasúti pályát áthidaló felüljárók alatt

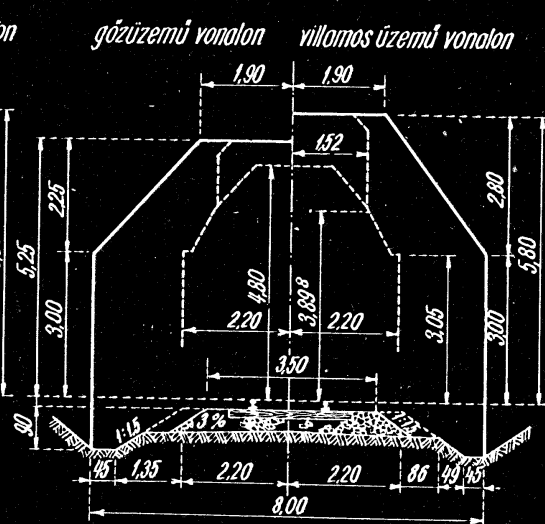
a.) Tölésben

b.) Bevágásban

gözüzemű vonalon villamos üzemű vonalon



3. obra

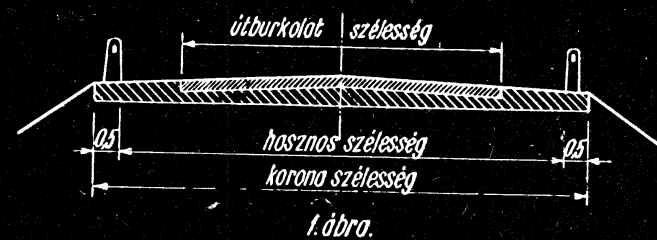


4 abra

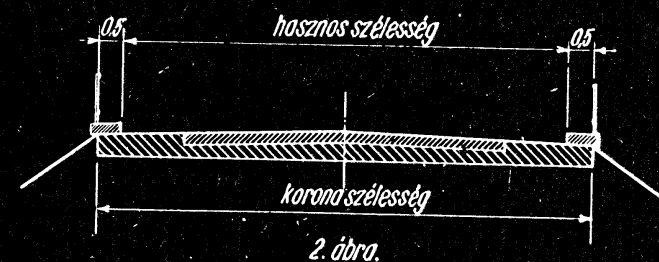
Nyitva tartandó illetve átvezetendő szelvények

Közúti hidaknál

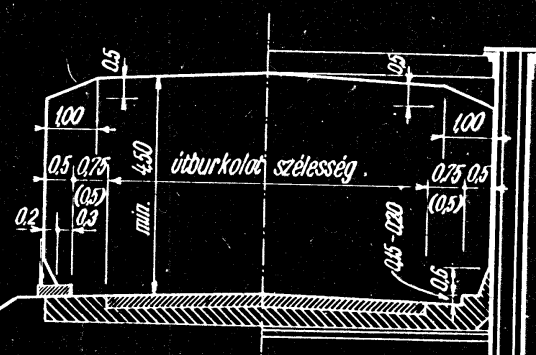
Kiemelt szegély nélküli átvezetés esetén



Kiemelt szegéllyel való átvezetés esetén



20 m-nél nagyobb hosszúságú hidakon.



0/2

Az erőtani számítás során figyelembevevendő terhek és hatások. I.

A. Vasúti hidak

1. Főerők és hatások:

- a.) óllandó teher
- b.) hosznos teher
 - a.) vonatteher
 - b.) centrifugális erő
 - c.) gyalogjárók és korlátok terhelése
 - d.) dinamikus hatás
 - e.) vonatteher okozta földnyomás
 - f.) hőmérséklet változás, lassú alakváltozás
 - g.) támasz-mozgás

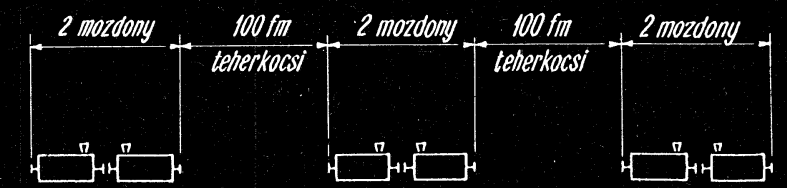
2. Járulékos erők és hatások:

- e.) szényomás
- f.) oldallökő erő
- g.) fékező erő
- h.) súrlódás a saruknál
- i.) egyenlőtlenség hőmérséklet változás
- j.) a szerkezet biztonságát nem csökkentő támaszmozgás

3. Különleges erők és hatások:

1b.) a. Vonatteher

Vonat besorolás

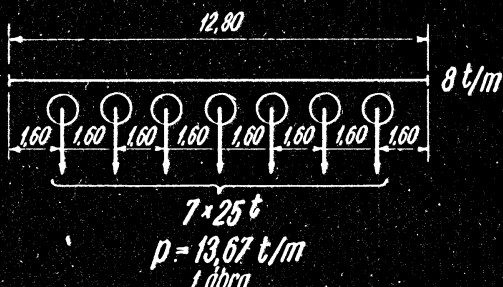


1. ábra.

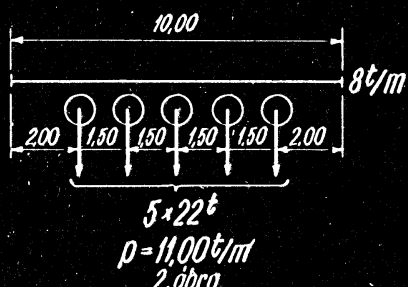
0/3

Az erőtani számítás során figyelembeveendő terhek és hatások. II.

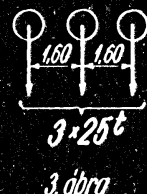
.A" jelű mozdony



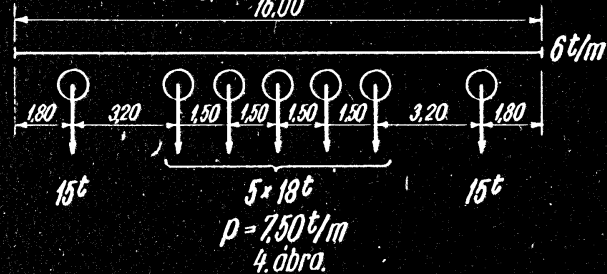
.B" jelű mozdony



.B" jelű tengelycsoport



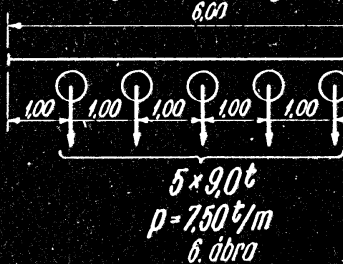
.C" jelű mozdony



*.C" jelű tengely-
csoport*



.A_k" jelű mozdony



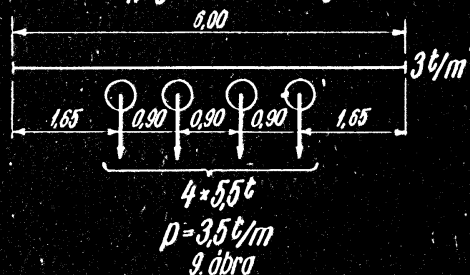
*.A_k" jelű tengely-
csoport*



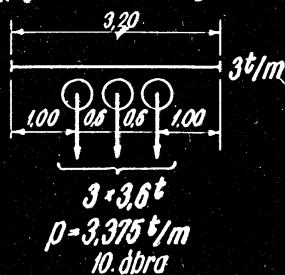
*.B_k" jelű
tengely-
csoport*



.B_k" jelű mozdony



.C_k" jelű mozdony



0/3

Az erőtani számítás során figyelembeveendő terhek és hatások III.

B. közúti hidak.

1. Állandó illetve tartós jellegű terhek és hatások

- a) önsúly
- b) földnyomás
- c) viznyomás
- d) hőmérséklet változás
- e) támasz mozgás
- f) zsugorodás
- g) lassú alakváltozás
- h) feszítő erők

2. Esetleges jellegű terhek és hatások

- a) hasznos terhek, dinamikus tényező
- b) szélteher
- c) súrlódásból származó tágulászerők
- d) fékező - indító erő
- e) jégteher
- f) járművek ütköző ereje
- g) építés alatti terhek
- h) egyéb esetleges terhek

2a. Hasznos terhek, dinamikus hatás

- a.) dinamikus hatás a kocsipálya, közúti - vasúti pálya, gyalogjáró, kerékpárpálya és kerékhárító számításánál. (a többi terhelésnél nincs.)

$$\mu = 1,05 + \frac{5}{L+5} \quad \text{de max. } 1,50$$

- b.) kocsipálya terhei (lásd IV. lapon)

- c.) közúti - vasúti pálya terhei

Esetenként a KPM irja el!

Rendelkezés hiányában vágányonkint de legalább 3m szélességben
600 kg/m² megoszló terhelés.

- d.) gyalogjárók, kerékpárpályák és kerékhárítók terhei

Kocsipálya terhekkel egyidőben 300 kg/m²

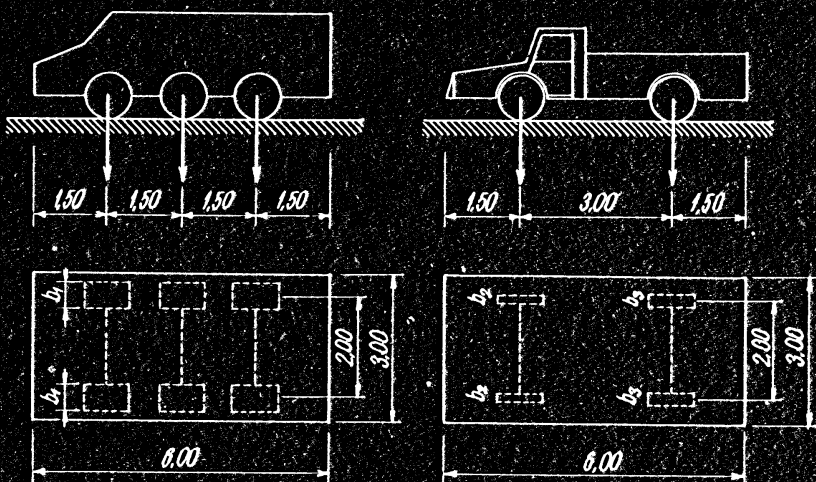
különben 400 kg/m²

gyalog és kerékpárhíd 400 kg/m²

0/3

Az erőtaní számítás során figyelembeveendő terhek és hatások. IV.

B.) A kocsipálya terhei:
Nehézgépkocsi (NGK) Tehergépkocsi (TGK)



Osztály	Jármű		Kerek-súly t ₁ Felfekvési szélesség (m)	Osztály	Jármű		Elso kerék		Hótsó kerék		
	Jelöl:	Összsúly (t)			Jelöl:	Összsúly (t)	Kerek-súly (t) Felfekvési szélesség (m)	Kerek-súly (t) Felfekvési szélesség (m)			
A	NGK	60	10.0	0.60	B	TGK	30	5.0	0.30	10.0	0.60
					C	TGK	15	2.5	0.20	5.0	0.30
					D	TGK	7.5	1.25	0.20	2.5	0.30

A kerek felfekvési szélessége a haladás irányában = 0,20 m

e.) Hidrok mögötti útpálya terhei

$\tau = 1.8 \text{ t/m}^2$ térfogatsúlyú helyettesítő földfeltöltés magassága

A terheléstől osztályban $m = 1.60 \text{ m}$

B " " " $m = 0.80 \text{ m}$

C " " " $m = 0.40 \text{ m}$

D " " " $m = 0.20 \text{ m}$

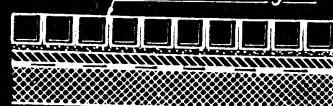
f.) Korlátokra ható hatás

A korlát fekvő élénben 60 kg/m vízszintes illetőleg 100 kg/m függőleges megosztó erő.

0/3

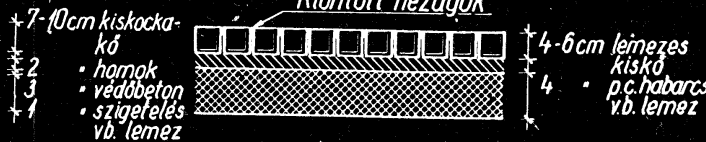
Közúti pályaburkolatok

Köntött hézagok



1. ábra. Kiskockakő burkolat

Köntött hézagok



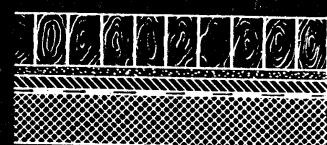
2. ábra. Lemezes kiskő burkolat

Köntött hézagok



3. ábra. Nagycockakő burkolat

7-10 cm kiskockakő
2 " homok
3 " védőbeton
1 " szigetelés
vb. lemez



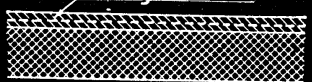
4. ábra. Fakocka burkolat

4-6 cm lemezes kiskő
4 " p.c. habarcs
v.b. lemez

(Védőbeton és szig. elmaradhat)

5. ábra. Öntöttaszfalt burkolat

(Esetleg vasháló)



7. ábra. Betonburkolat lemezzel összeépítve

4-6 cm aszfalt
3-5 " védőbeton
1 " szigetelés
vb. lemez

(Védőbeton és szig. elmaradhat)

6. ábra. Hengerelt aszfalt burkolat

4-7 cm aszfalt
3-5 " védőbeton
1 " szigetelés
vb. lemez

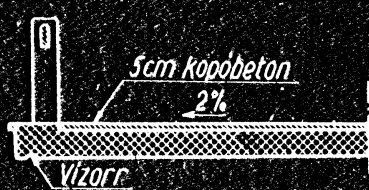
Gyalogjárók és kerékpárpálya burkolata; 2 cm cem.habarcs simítás vagy 2 cm öntött aszfalt.

Pályaburkolatok esésviszonyai:

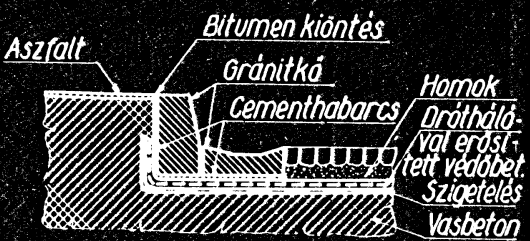
Burkolat	Keresztfirányú esés	Hosszirányú esés
Aszfalt	10-20 %	0.5-1.0 %
Beton	1.5-2.5 %	0.5-1.0 %
Fa- és kőkocka	20-40 %	0.7-1.2 %
Makadám	3.0-50 %	1.0-1.5 %

Gyalogjáró és kerékpárpálya keresztfirányú esése: 1.5-2.5 %

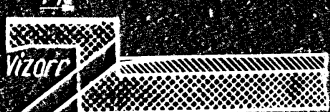
0/4

Vízelvezetés. I.

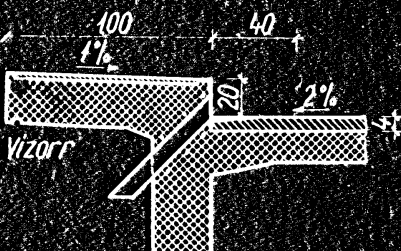
1. ábra (M.Sz. 1955.83.oldal)



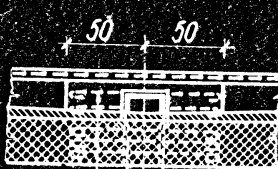
2. ábra (M.Sz. 1955.84.oldal)



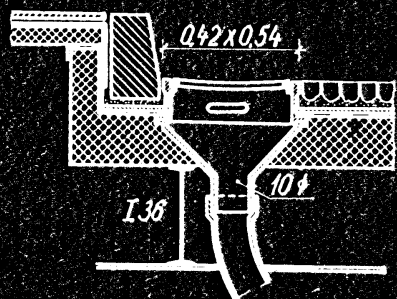
3. ábra (M.Sz. 1955.83.oldal)



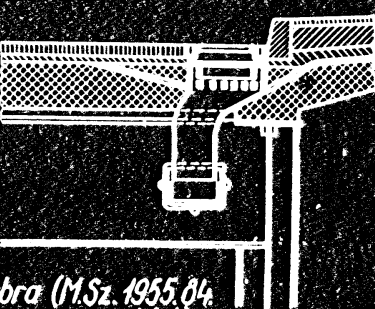
4. ábra



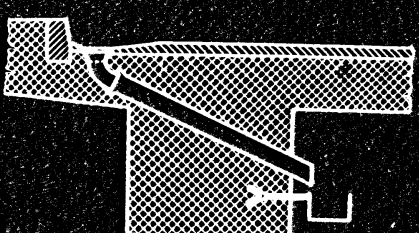
5. ábra (K. 54.oldal)



6. ábra (K. 54.oldal)



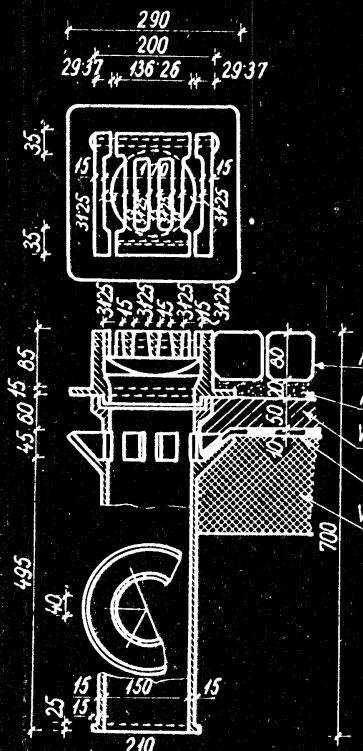
7. ábra (M.Sz. 1955.84.oldal)



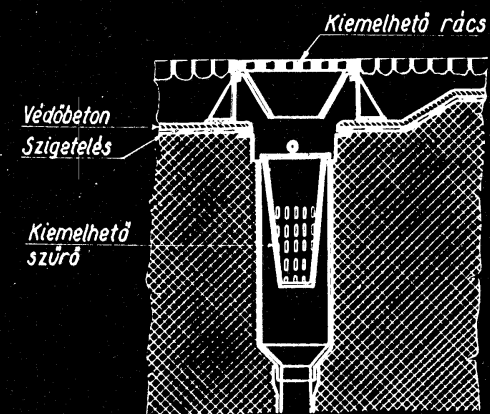
8. ábra (M.Sz. 1955.84.oldal)

0/5.

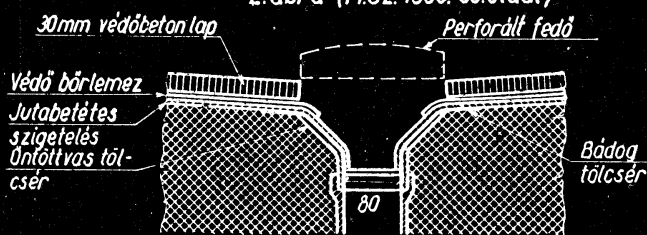
Vízelvezetés. II.



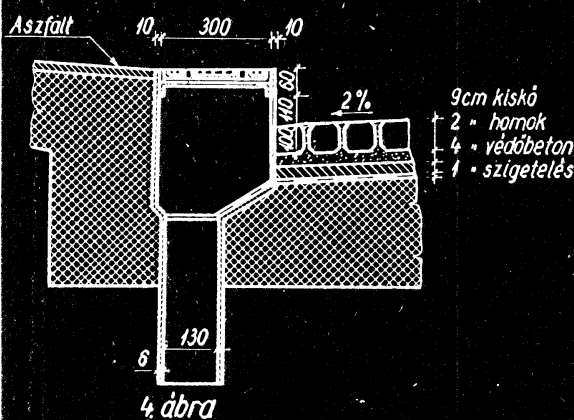
1.ábra (MSz. 1955. 85. oldal)



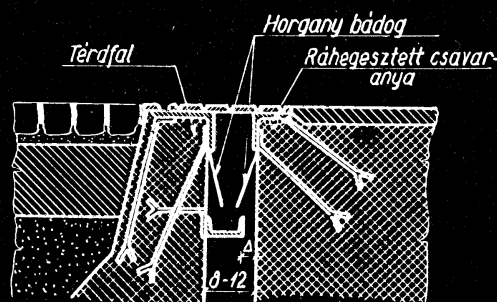
2. ábra (M.Sz. 1955. 85.oldal)



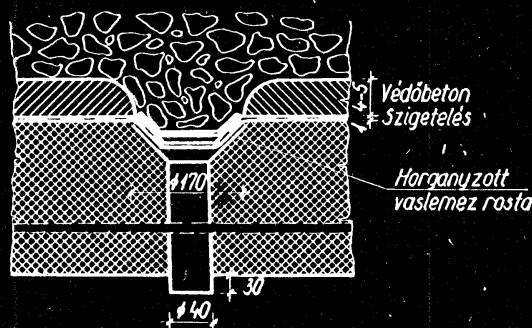
3. ábra (E. VI. 97.oldal)



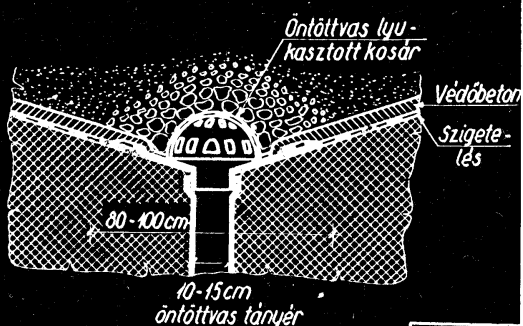
4. ábra



Δ = a várható legnagyobb dilatálás



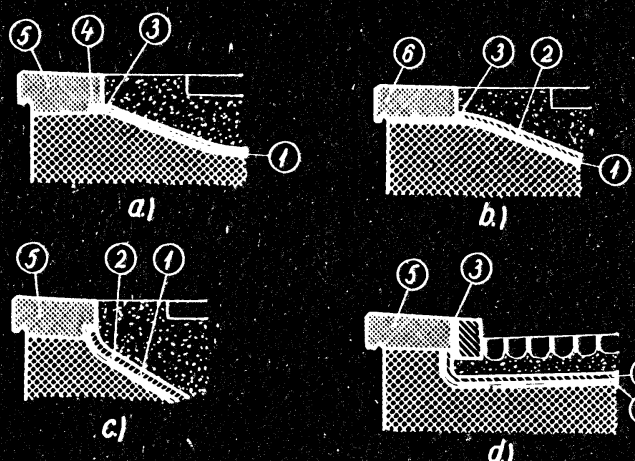
7. ábra (M.Sz. 1955. 81. oldal)



8.ábra (M.Sz. 1955.81. oldal)

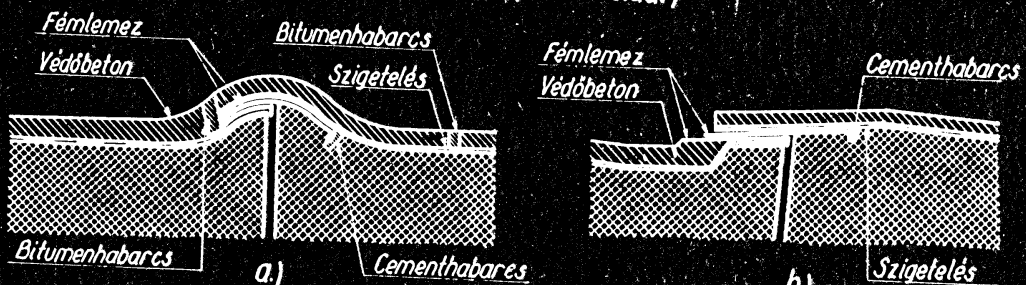
0/5.

Vízszigetelés. I.

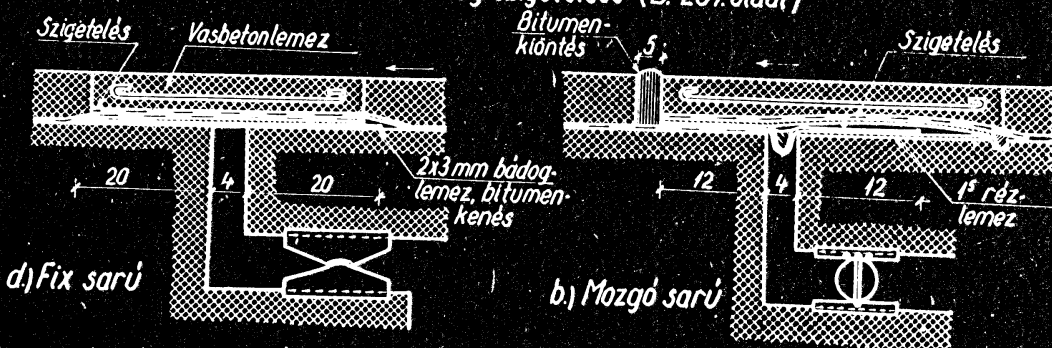


1. Többrétegű ragasztott lemez
2. Védőbeton
3. Bitumen habarcos kiállítás
4. Bitumen
5. Vízzáró beton
6. Rö

1. ábra. Hidszigetelések lezárása (B. 236 oldal)



2. ábra. Osztóhézag szigetelése (B. 237 oldal)



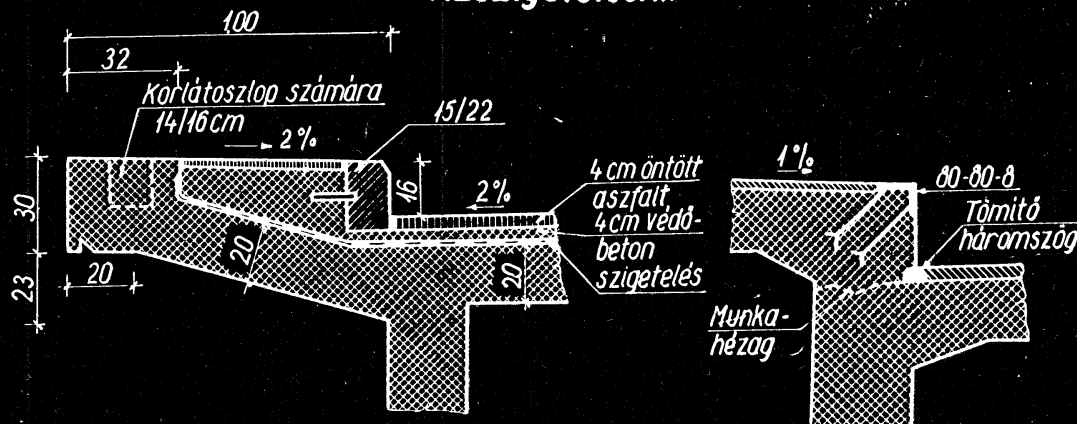
3. ábra. Pályacsatlakozás szigetelése. (K. 51 oldal)



4. ábra. Dilatációs hézag szigetelése átvezetett közúti pálya esetén (K. 51. és 52. oldal)

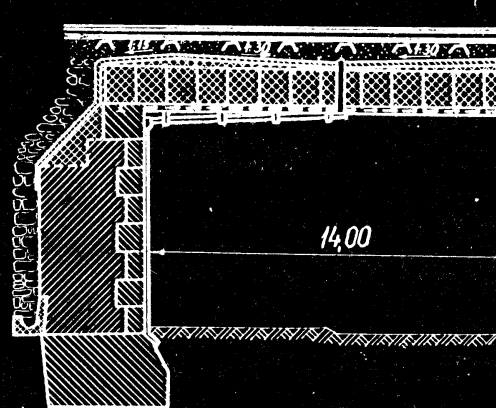
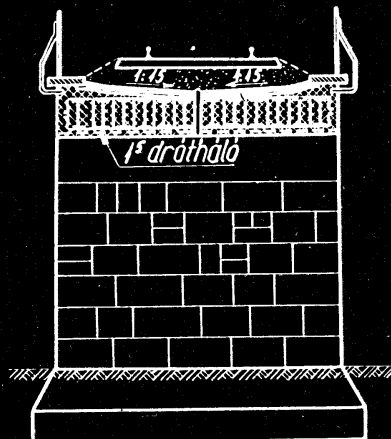
0/5.

Vízszigetelés. II.

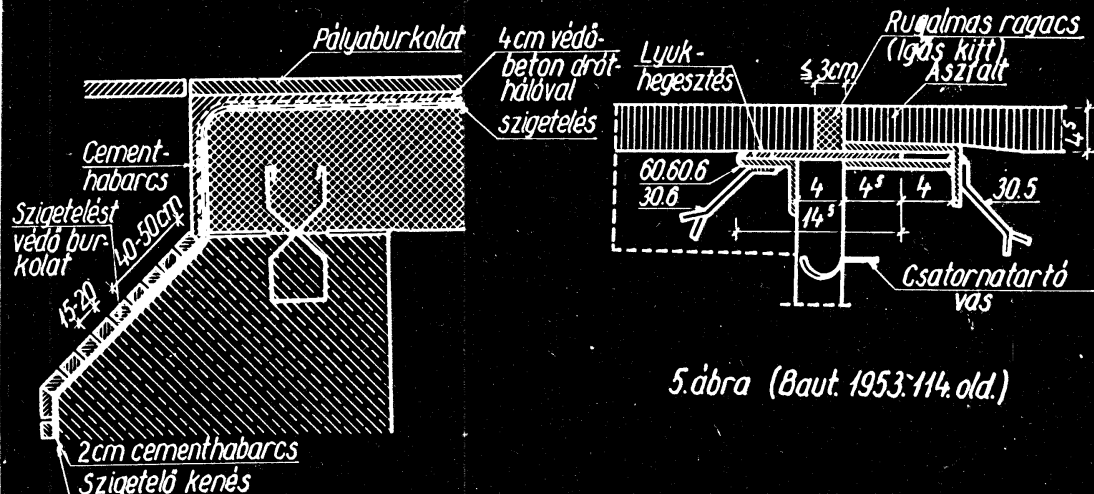


1. ábra (Baut. 1953. 113.old.)

2. ábra



3. ábra (Emberger VI.)

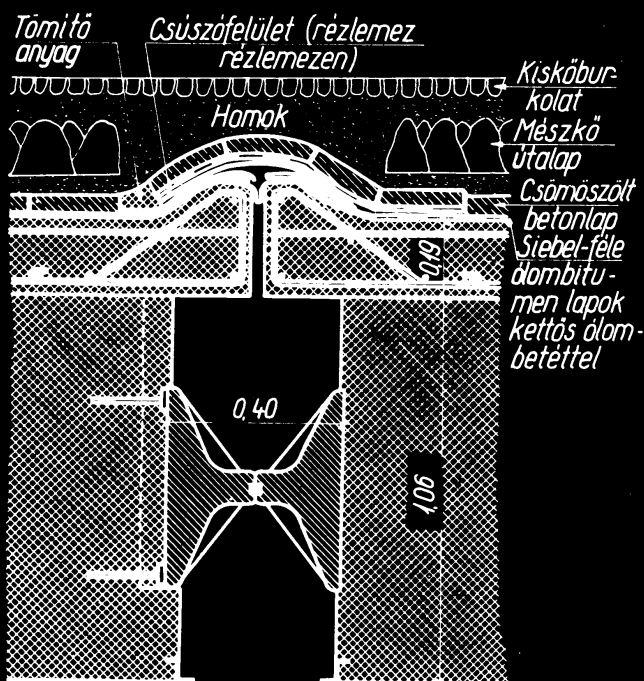


5. ábra (Baut. 1953. 114.old.)

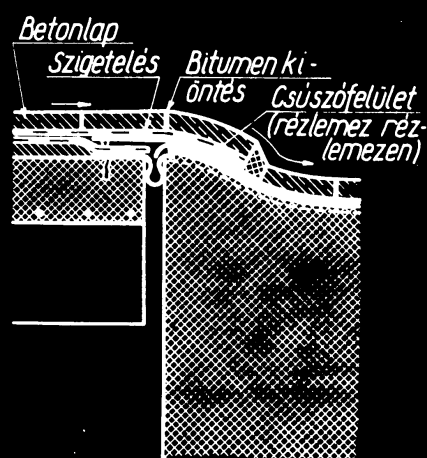
4. ábra (Baut. 1953. 114.old.)

0/5.

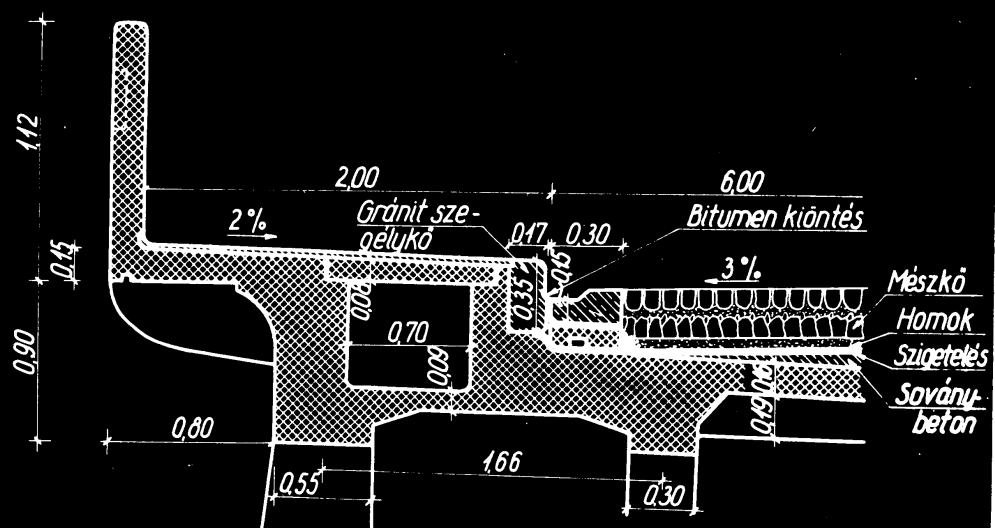
Háromcsuklós ívhíd vizszigetelési részletei.



1. ábra



2. ábra



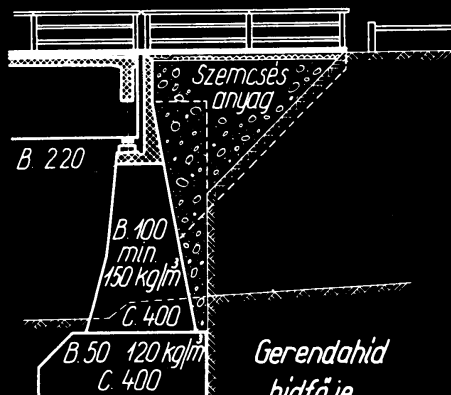
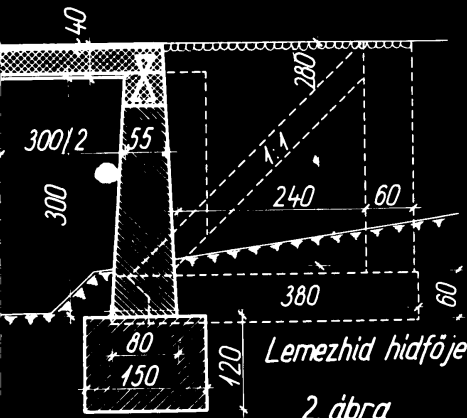
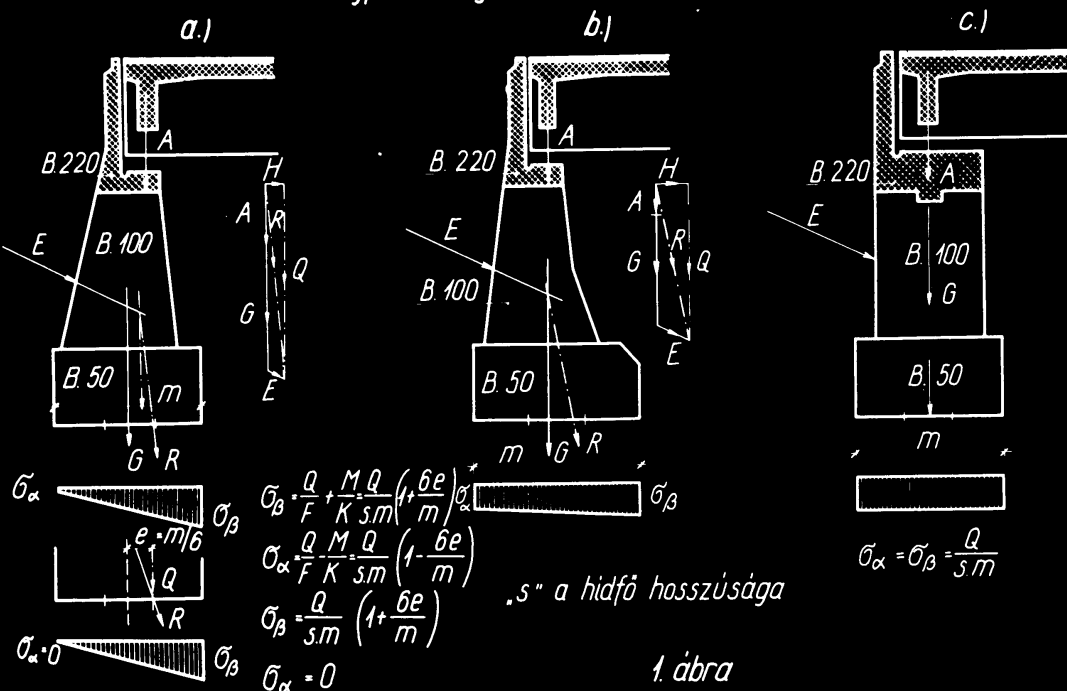
3. ábra

(Ulm, Wallstrasse; Beton und Eisen, 30. évf. 1931. 14. o.)

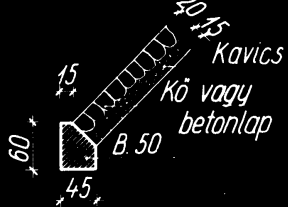
0/5.

Hidfők. I.

Talajfeszültség eloszlása az alaptest alatt.

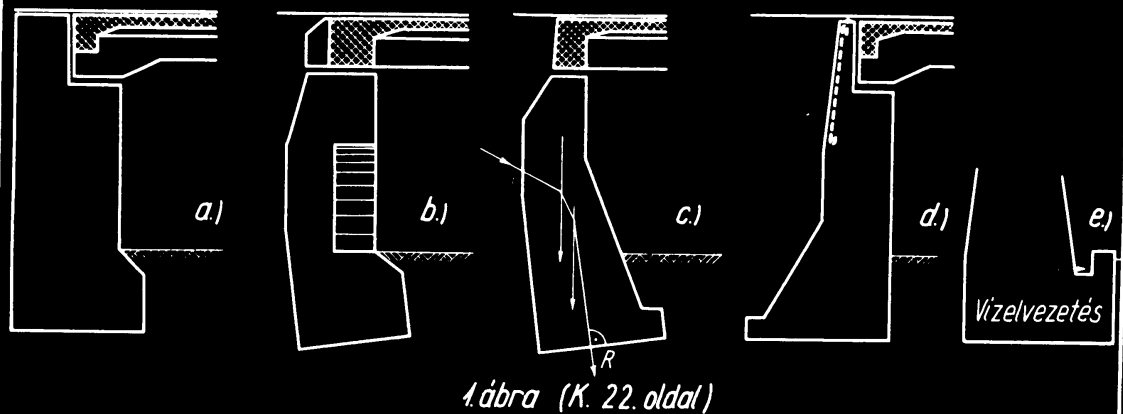


Burkolt földkúp

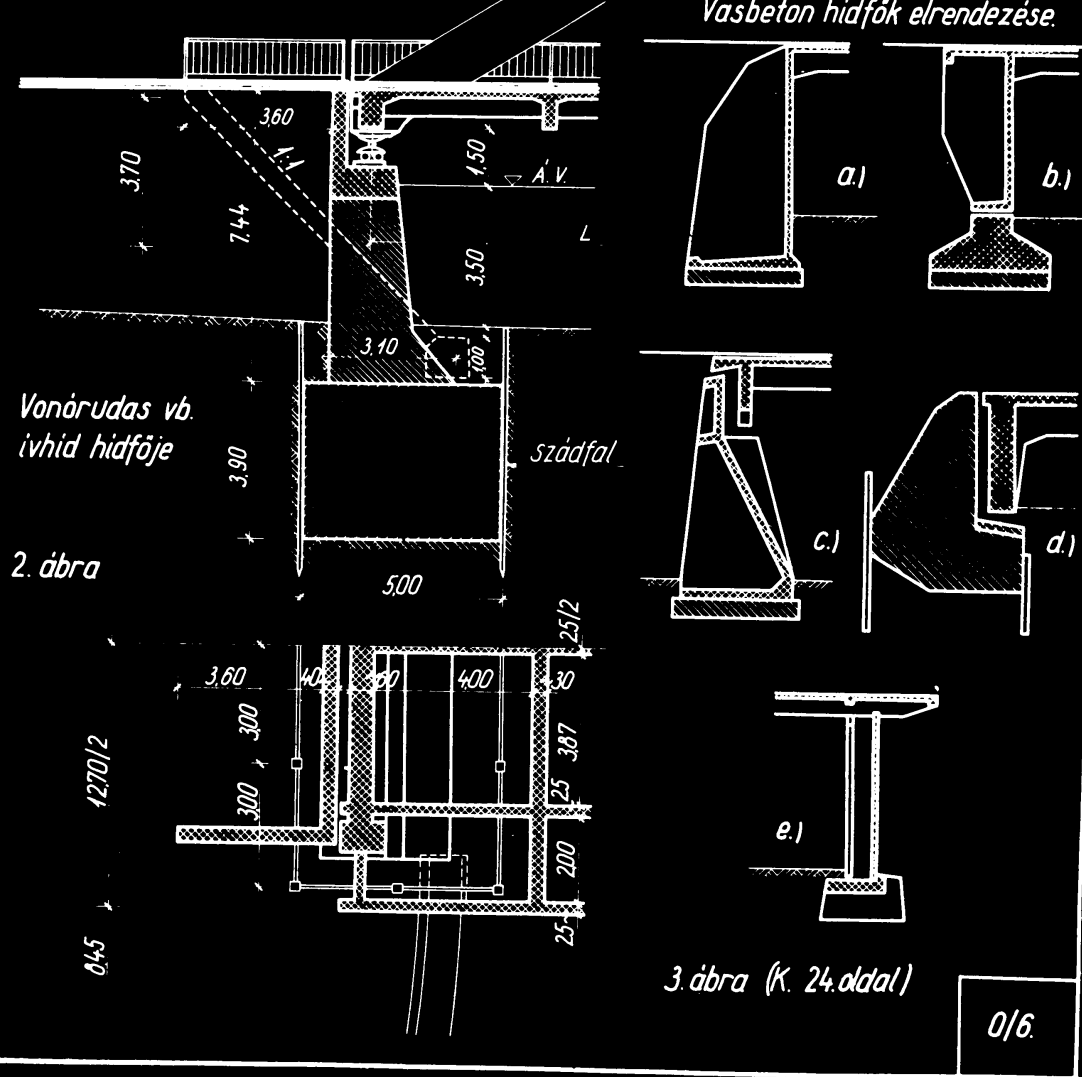


Hidfők. II.

Csömöszölt betonhidfők elrendezése.

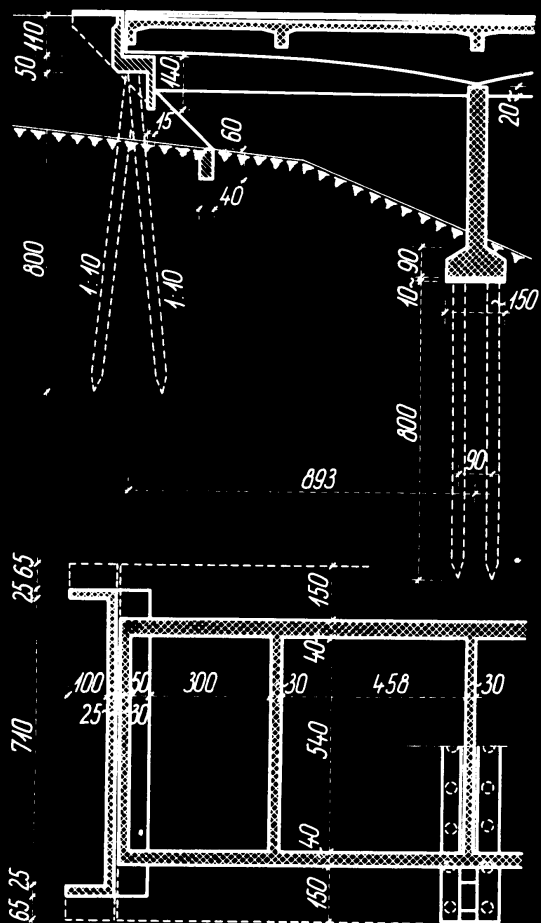


Vasbeton hidfők elrendezése.

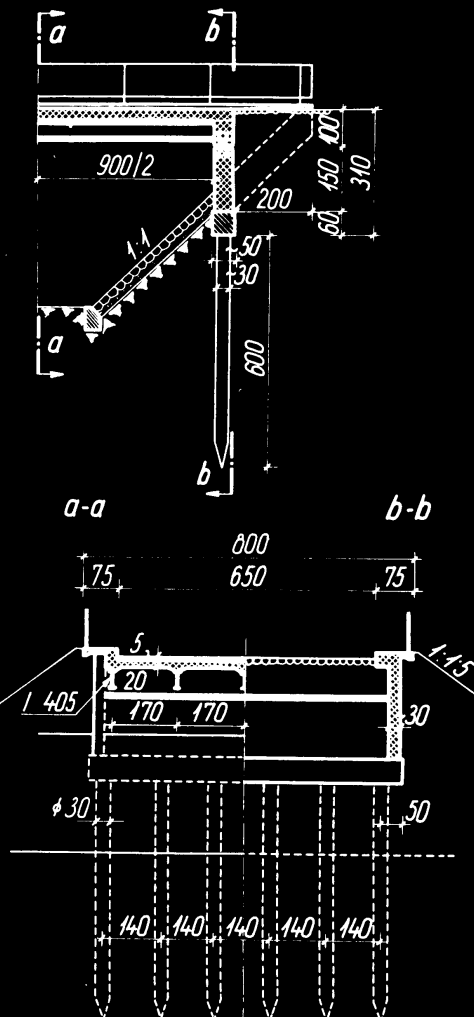


Hidfölk. III.

Hidfökkölöp alapozással



1. ábra



2. ábra

*A Kinzig fölött,
Kehl közeleben
épült vb. hid
hidföje.*

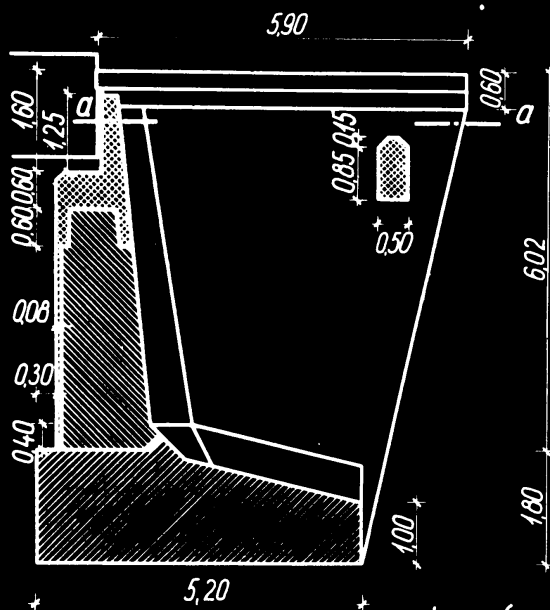


3. ábra (B.u.E. 1932.)

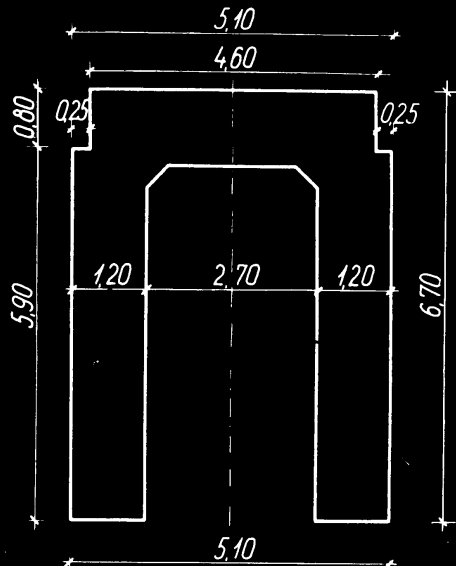
0/6.

Hidfők. IV.

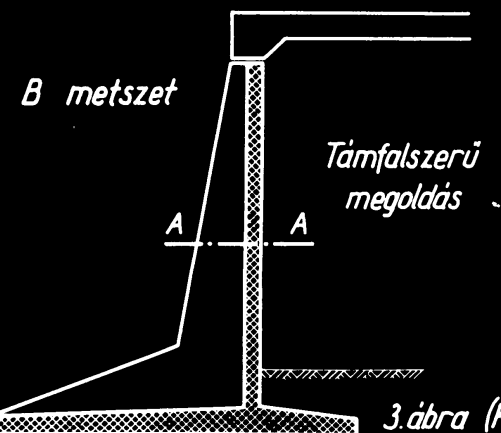
Megoldások a hidfők tömegének csökkentésére.



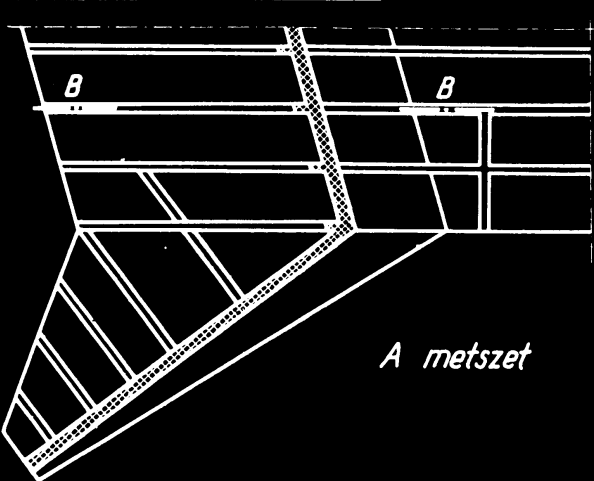
1.ábra (K. 25.oldal)



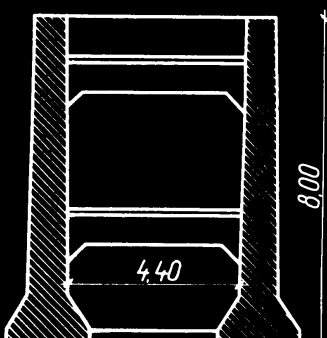
Hidfő tömegének csökkentése erős párhuzamos szárnyfallal (1-2. ábra).



2.ábra (K. 24.oldal)



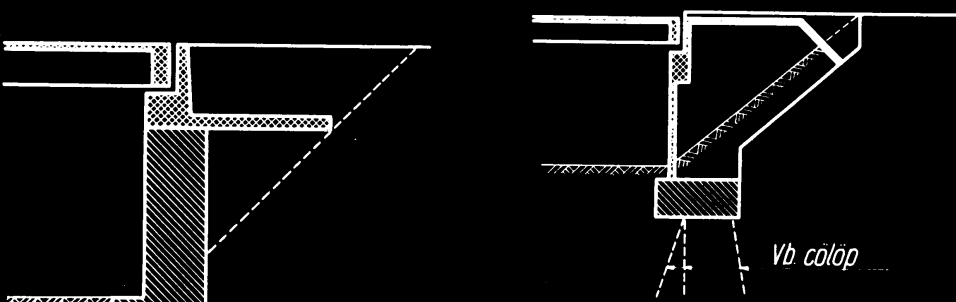
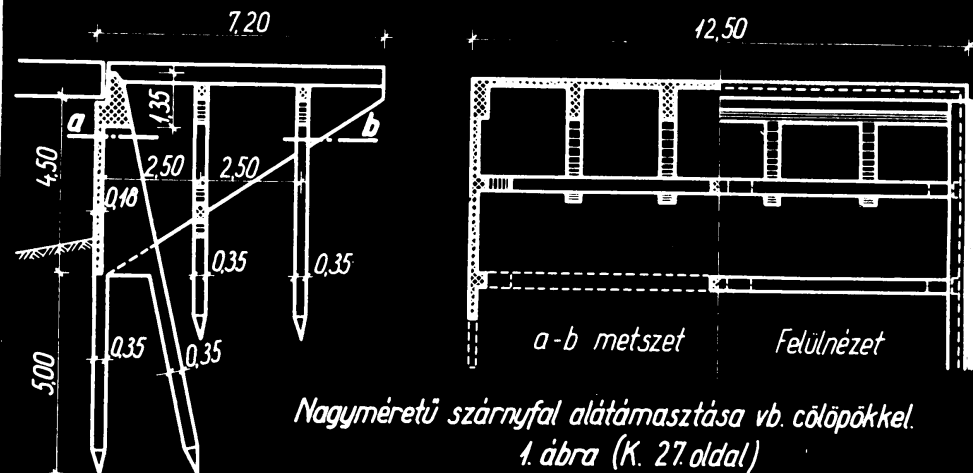
A metszet



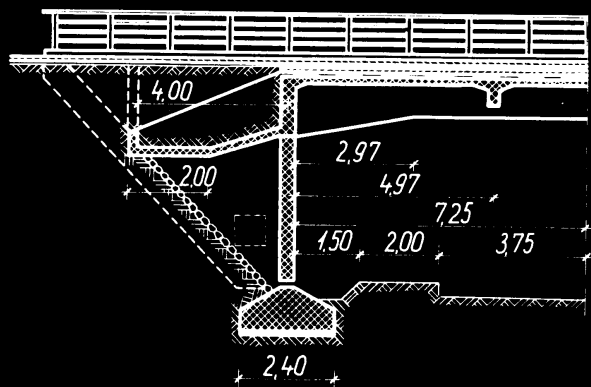
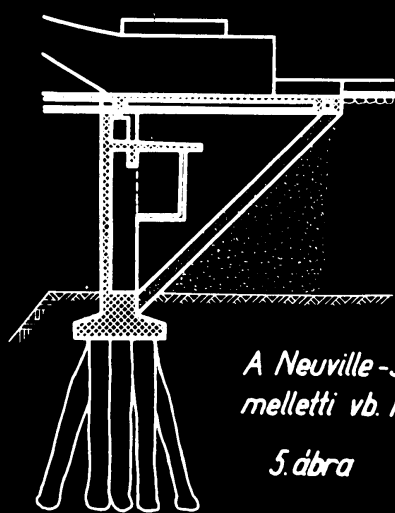
0/6.

Hidfök. V.

Megoldások a földnyomás csökkentésére.

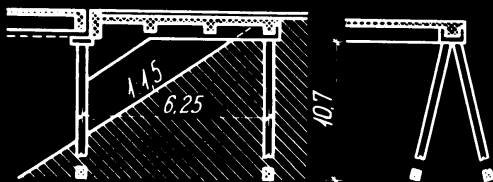
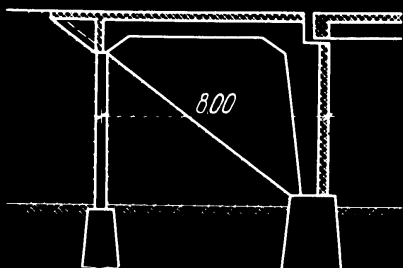


Hátrzsászerű megoldás
3. ábra (K. 27.oldal)

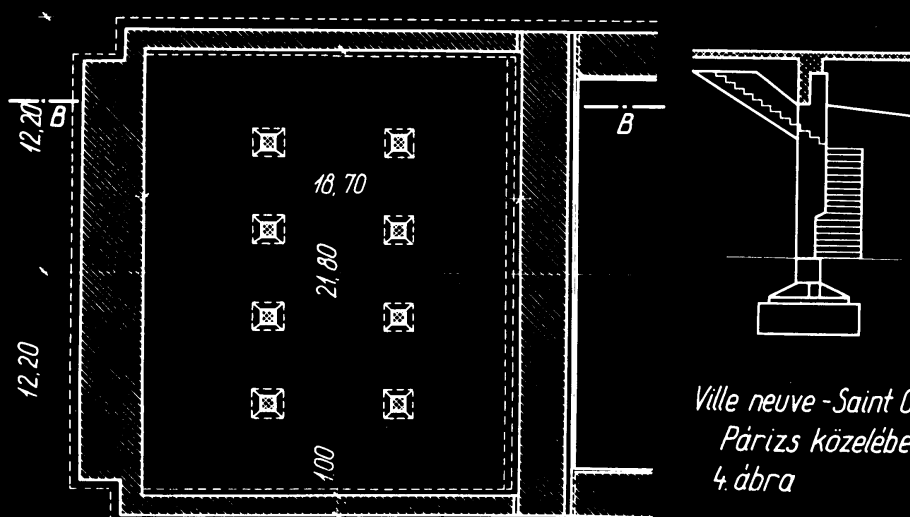
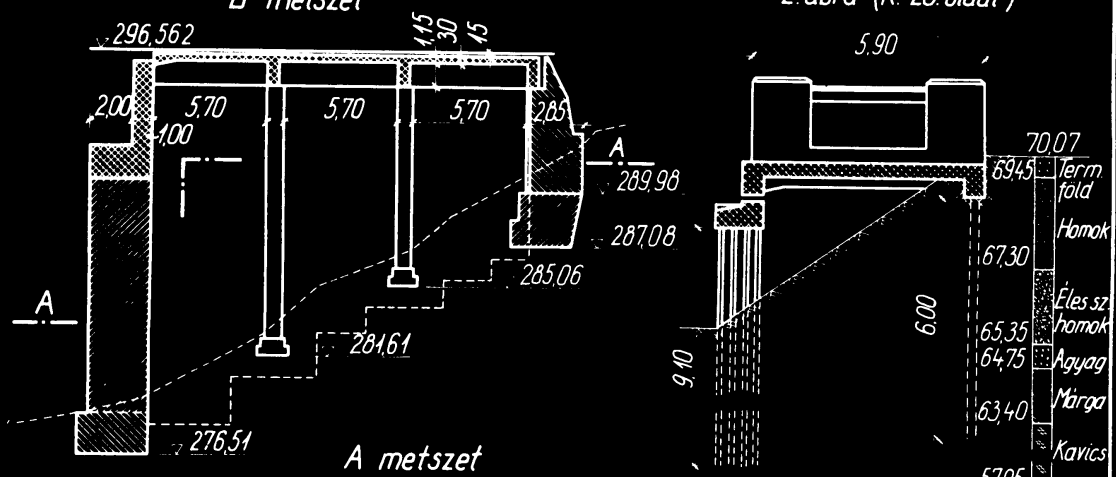


Hátlemezess vb. hidfö
4. ábra (B.u.E. 1940.)

0/6

*Hidfők. VI.**Oldott hidfők*1. ábra (K. 28.oldal)
B metszet

2. ábra (K. 28.oldal)

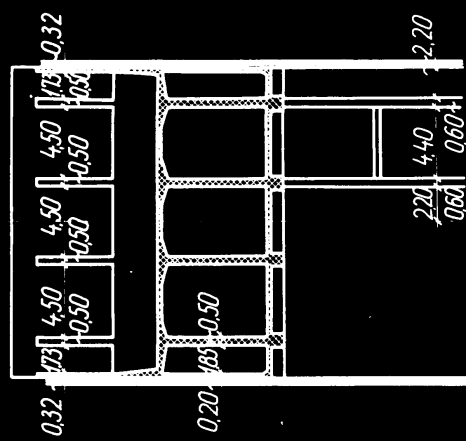
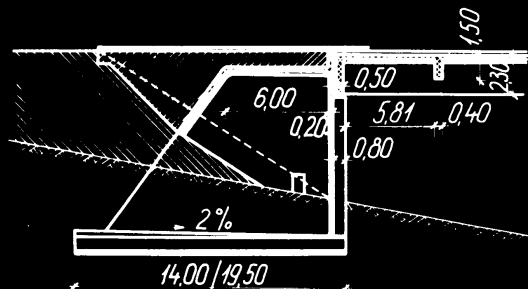
Ville neuve - Saint Georges
Párizs közelében
4. ábra

Vb. hid a Drezda-Chemnitz vasútvonalon Drezda-
Meerane között
3. ábra (Bauing. 1937)

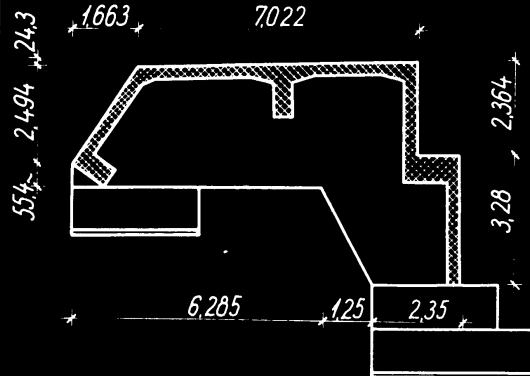
0/6

Hádfók. VII.

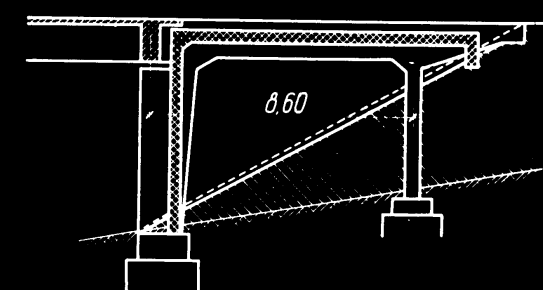
Oldott hidfök



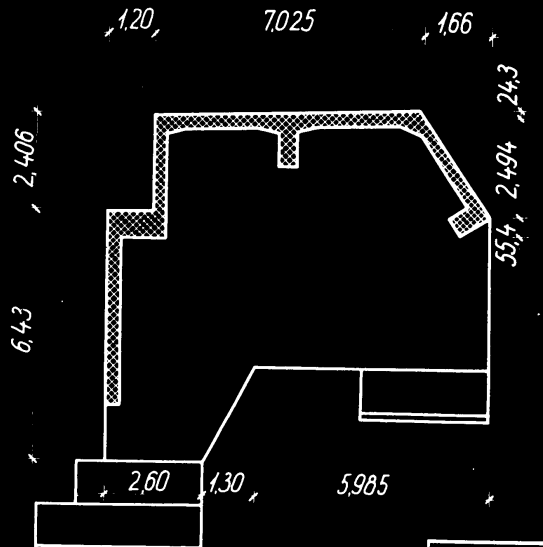
Denkendorfi völgyhid
1. ábra (B.u.E. 1936. 1.oldal)



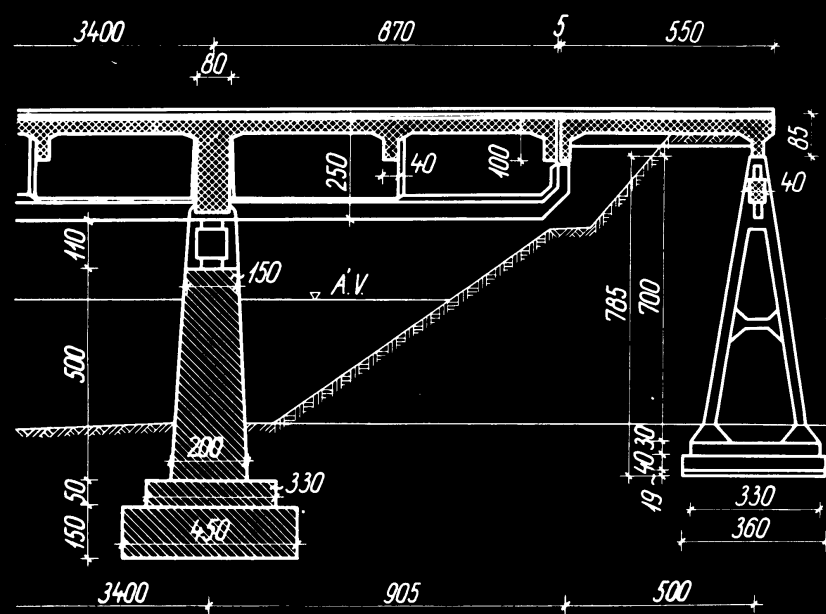
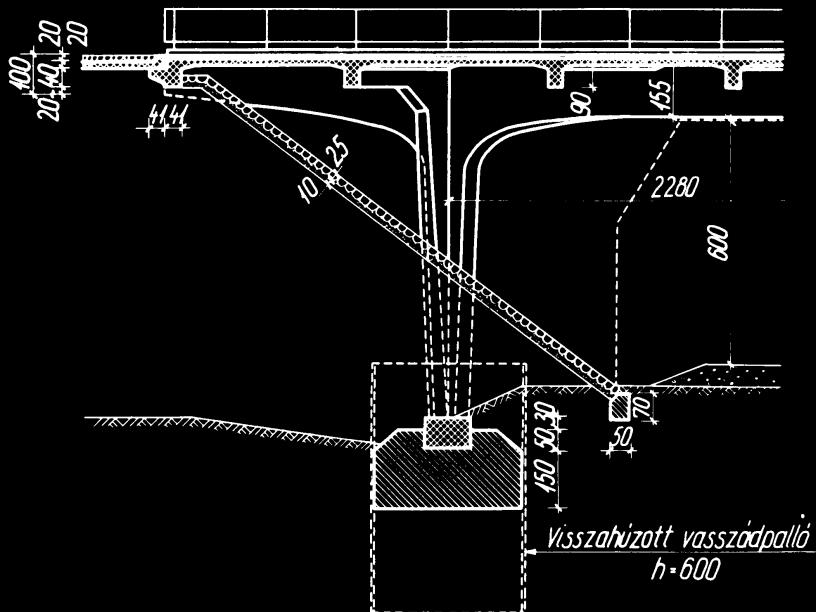
Helderbach völgyhid
2. ábra (Bauing. 1937.)



3. ábra (K. 28. oldal)



0/6

*Hidfők. VIII.**Konzolos hidfők*

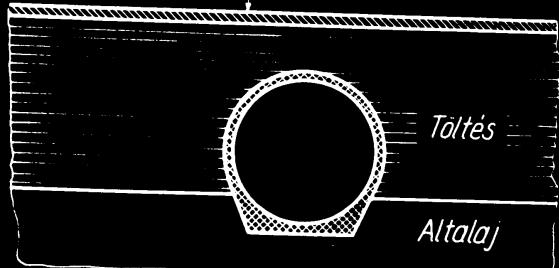
0/6

Híd-pályacsatlakozások!

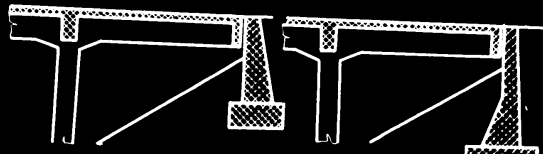
Hengerlesi (tomori-tesi) rétegek

Hidpályacsatlakozások ujabb hidaknál

Vázlatok konzolos hidak pályacsatla- kozására.

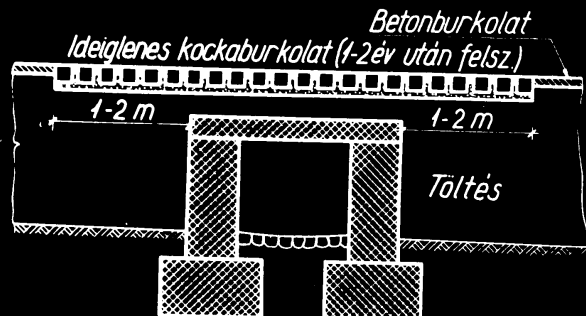


1.ábra (M.Sz. 1955. 22. oldal)



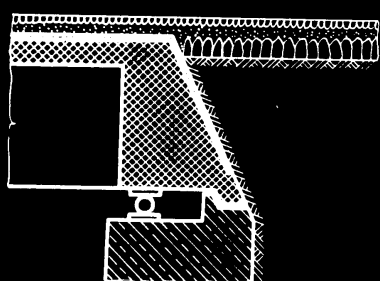
a.)

b.)



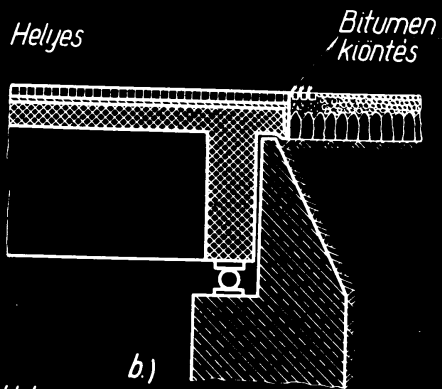
2. ábra (M.Sz. 1955. 22.oldal)

Helytelen



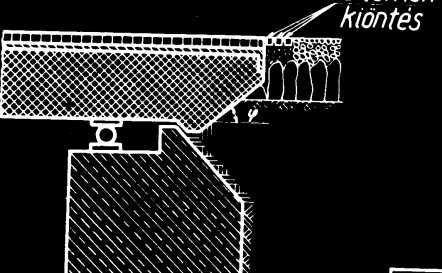
Helutelen

a.)



Helges

Bitumen *'kiöntés*

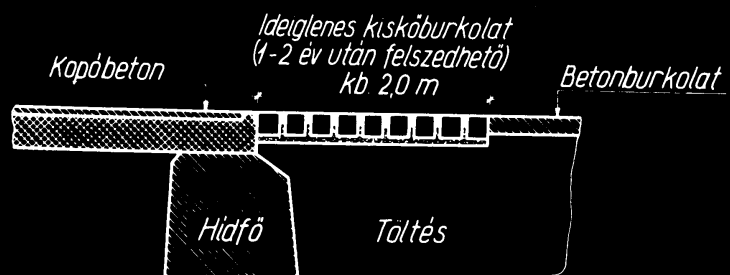


C.1

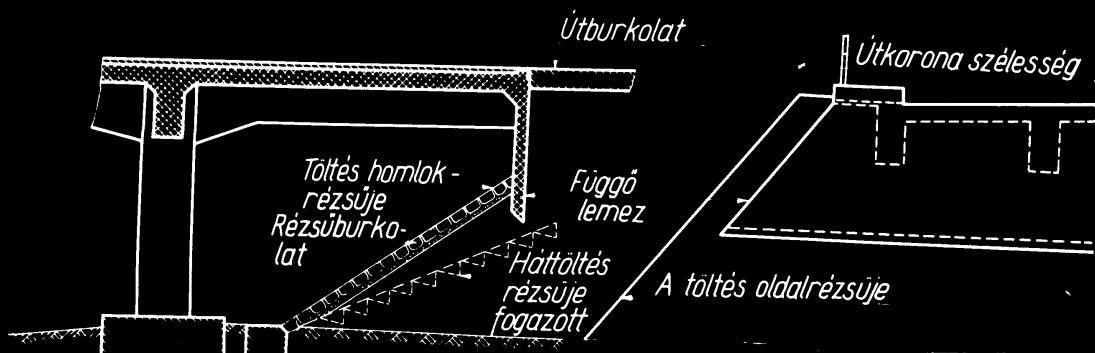
3. ábra (Baut. 1953, 114 old) d.)

0/6

Hidpályacsatlakozások II. Hidpályacsatlakozások újabb hidaknál.

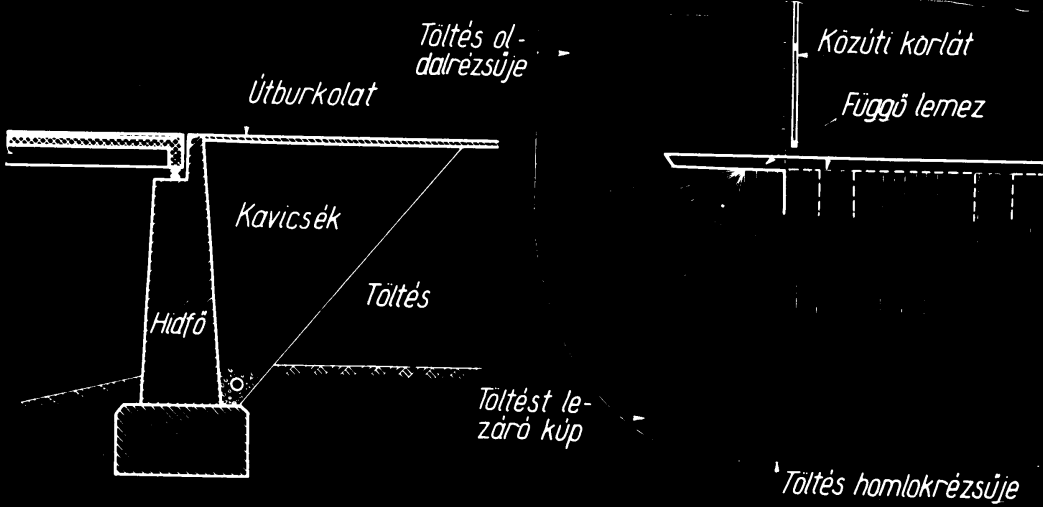


1. ábra (M.Sz. 1955. 23.oldal.)



2.a ábra (M.Sz. 1955. 23.oldal)

2.b. ábra



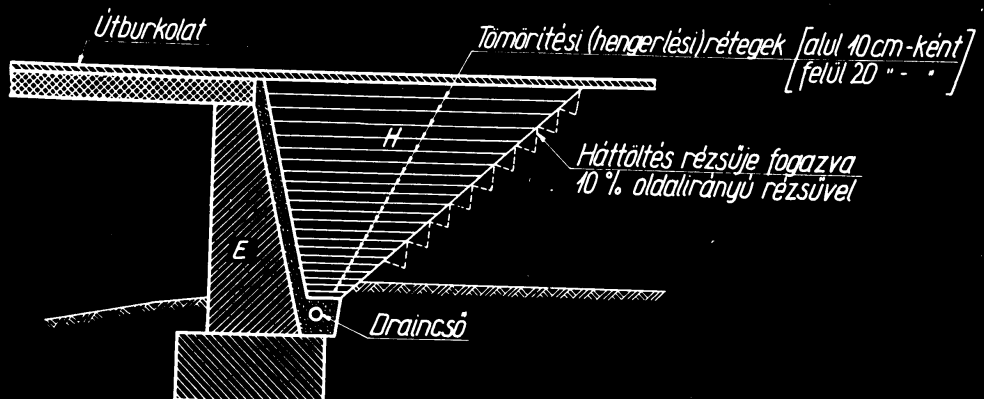
3. ábra (M.Sz. 1955. 22.oldal.)

2.c. ábra

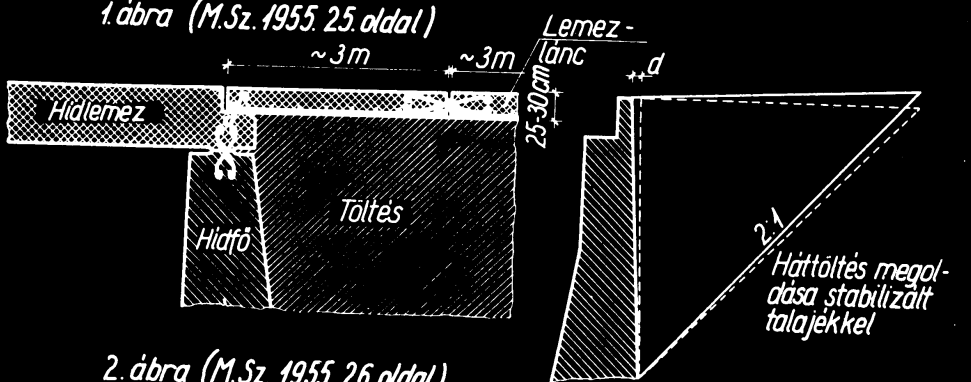
0/6

Híd pályacsatlakozások. III.

Korszerű megoldások.

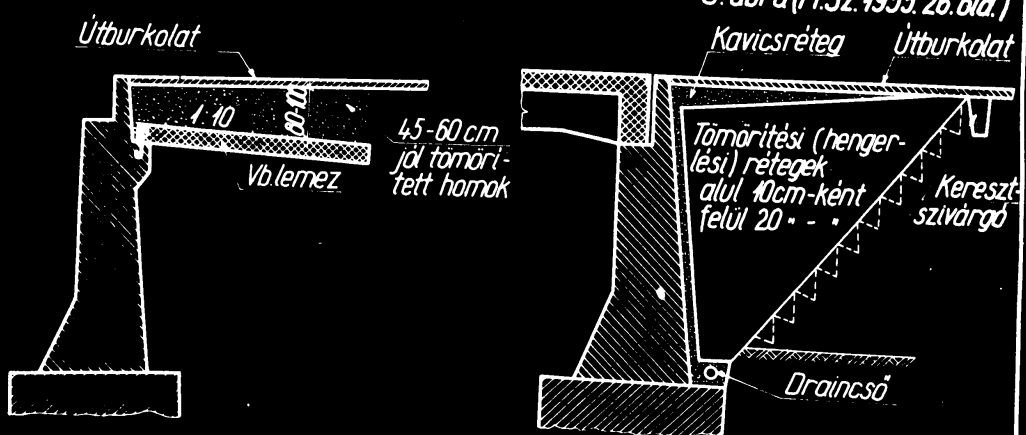


1. ábra (M.Sz. 1955. 25.oldal)



2. ábra (M.Sz. 1955. 26.oldal)

3. ábra (M.Sz. 1955. 26.old.)

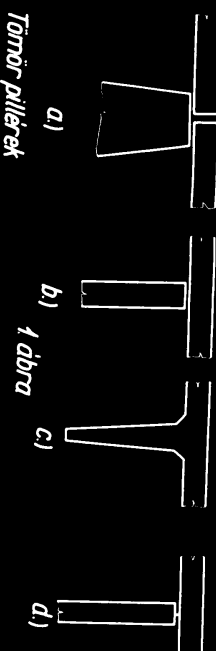


4. ábra (M.Sz. 1955. 26.oldal)

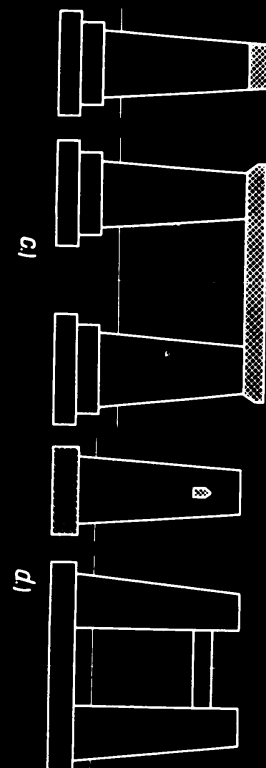
5. ábra (M.Sz. 1955. 26.oldal)

0/6

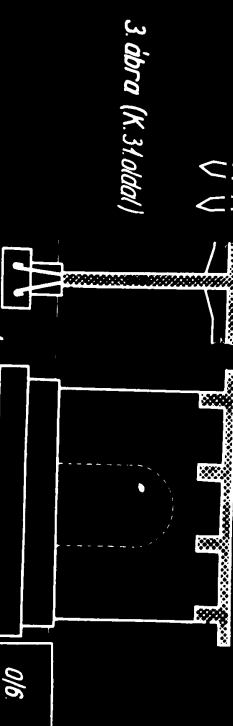
Szatikai vázlat



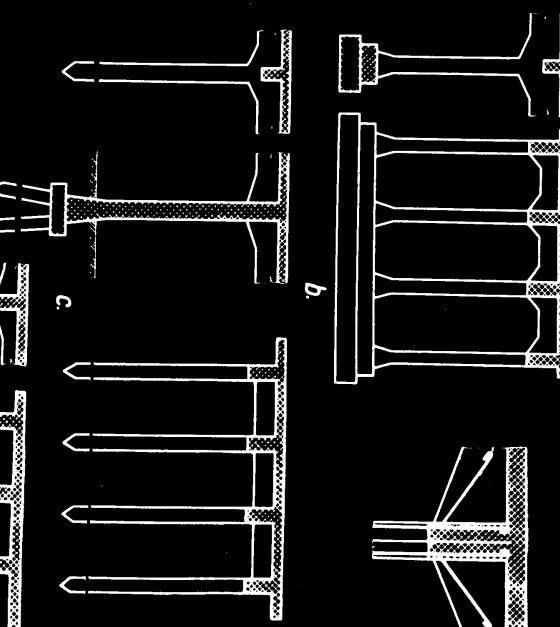
Tárnír asztal pílerék



2. ábra (K.31.0001)



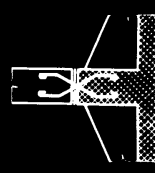
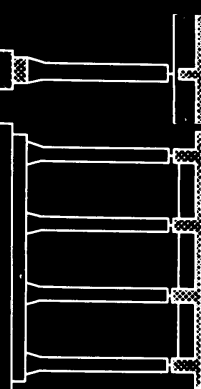
3. ábra (K.31.0001)



0/6

Pillerek I.

Vasbeton pílerék



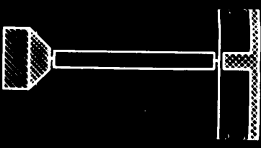
a)

Ingaosztlap

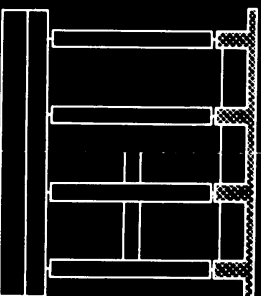
Pillerek II.

Vasbeton keretpillér

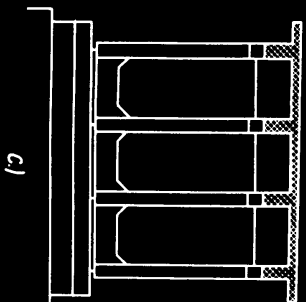
a)



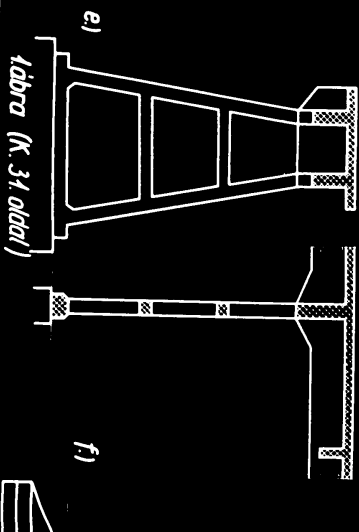
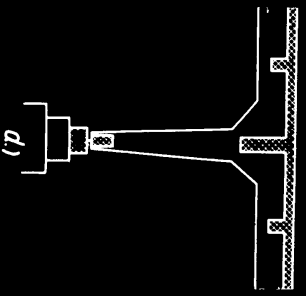
b)



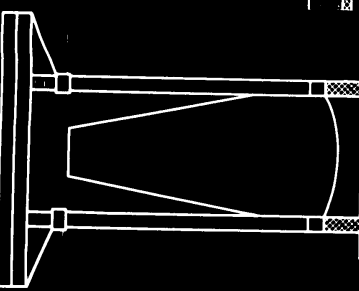
c)



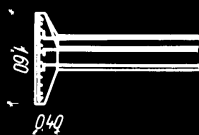
d)



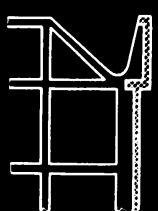
f)



3. ábra (K. 34. oldal)



4. ábra (K. 35. oldal)

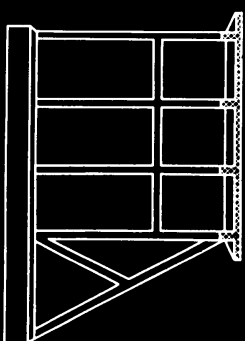
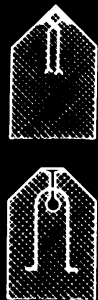
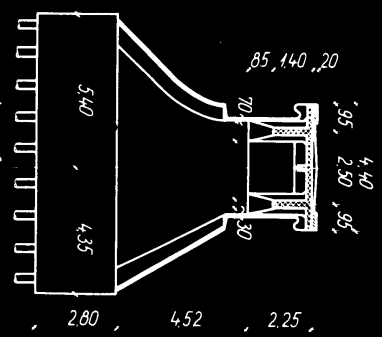


0/6.

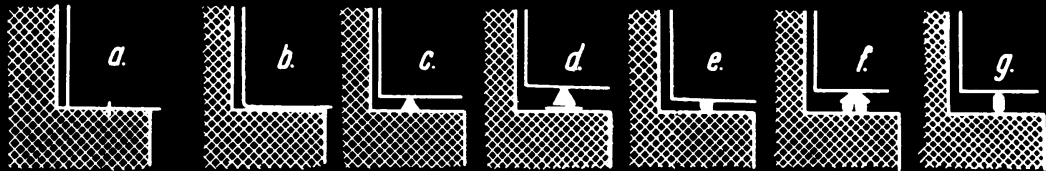
Elek védettsége erős jeggyeljáls esetén

2. ábra (K. 35. oldal)

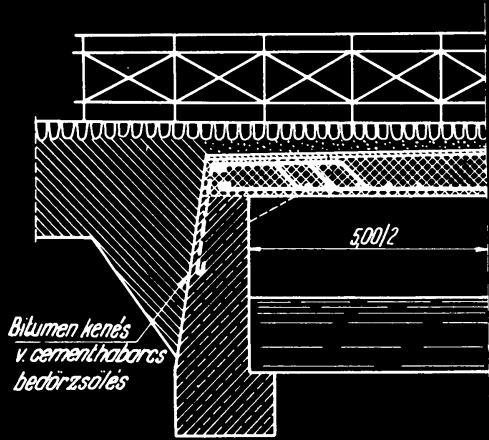
Vasbeton keretpillér



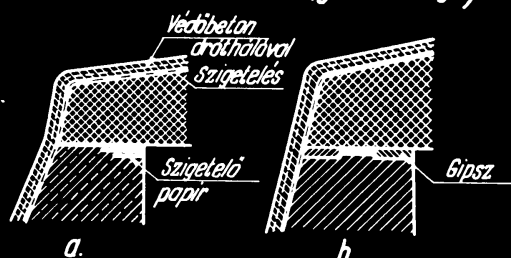
Megtámasztások, saruk I.



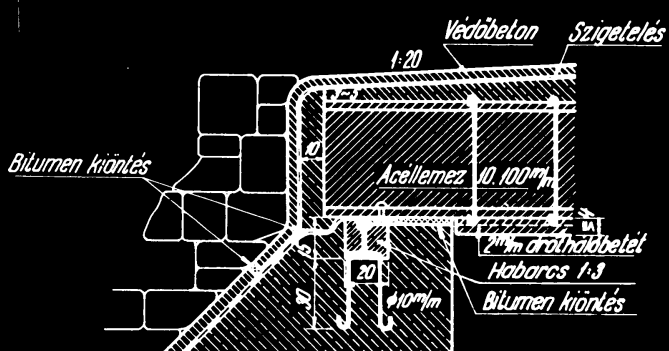
1. ábra (K. 38. old.) ((a) fix, (b) csúszó, (c) fix billenő, (d) csúszó billenő, (e) gördülő, (f) gördülő billenő, (g) billenőinga)



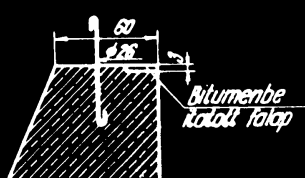
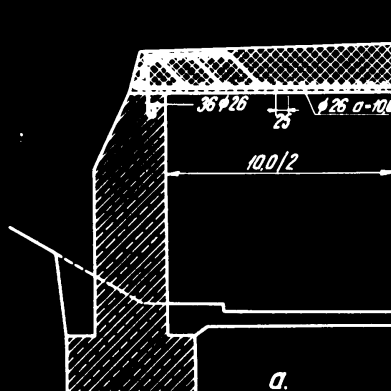
2. ábra. (K. 63. oldal.)



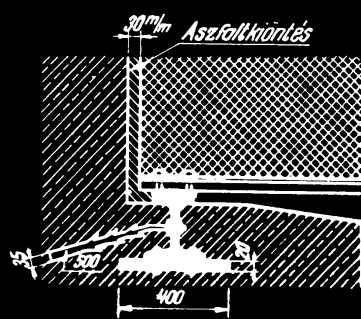
3. ábra.



4. ábra (K. 65. oldal.)



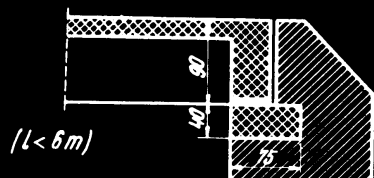
5. ábra. (K. 63. oldal.)



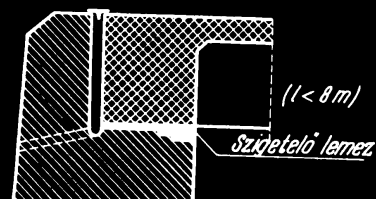
6. ábra. (K. 65. oldal.)

0/7

Megtámasztások, saruk II.



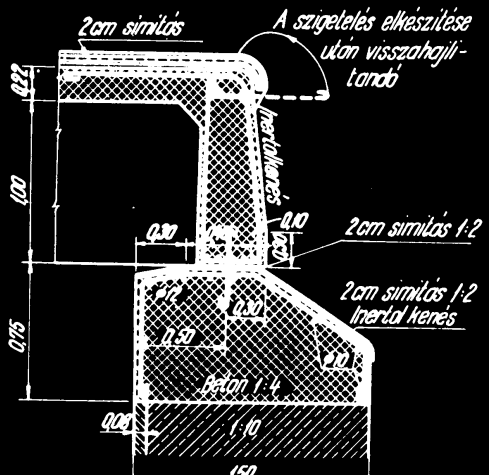
1. ábra. (K. 38. oldal)



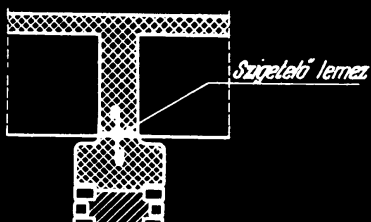
3. ábra. (K. 38. oldal)



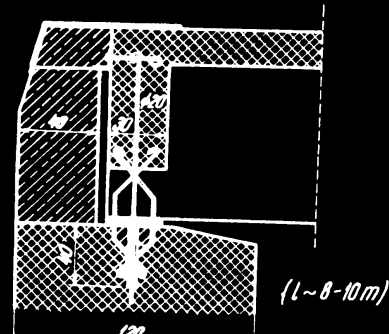
4. ábra. (K. 38. oldal)



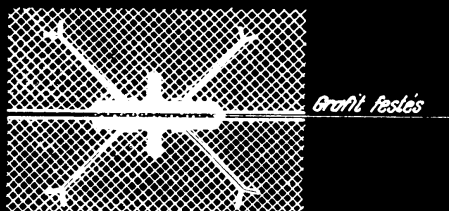
2. ábra. (K. 38. oldal)



5. ábra. (K. 39. oldal)



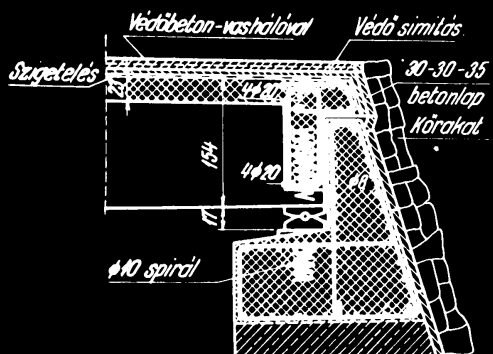
7. ábra. (K. 39. oldal)



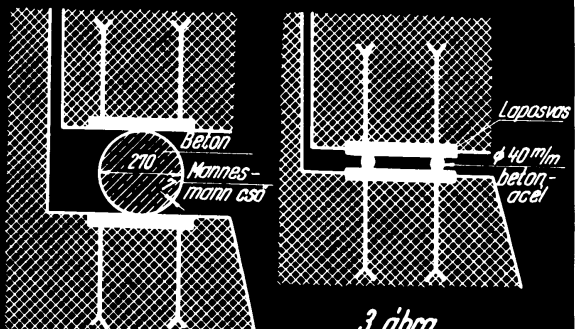
6. ábra. (K. 39. oldal)

0/7

Megtámasztások, saruk III.

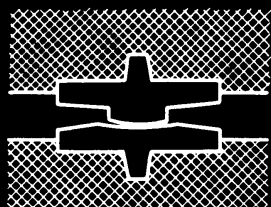


1. ábra. (K. 137. oldal)

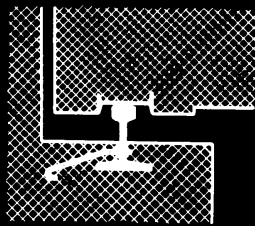
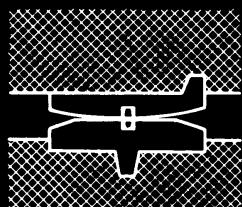


2. ábra. (K. 41. oldal)

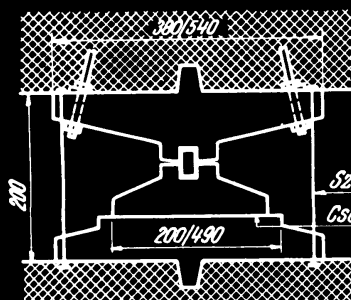
3. ábra.



4. ábra. (K. 40. oldal)



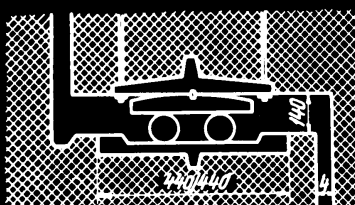
5. ábra. (K. 62. oldal.)



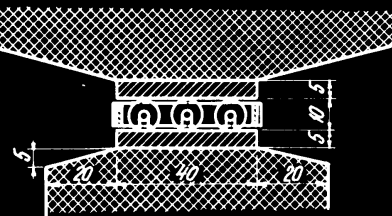
6. ábra. (K. 40. oldal.)



7. ábra. (K. 40. oldal.)



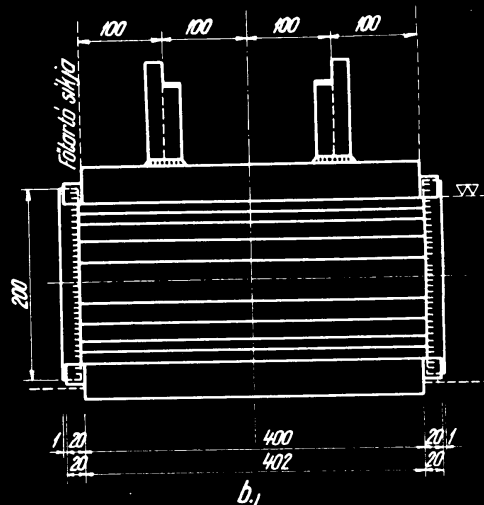
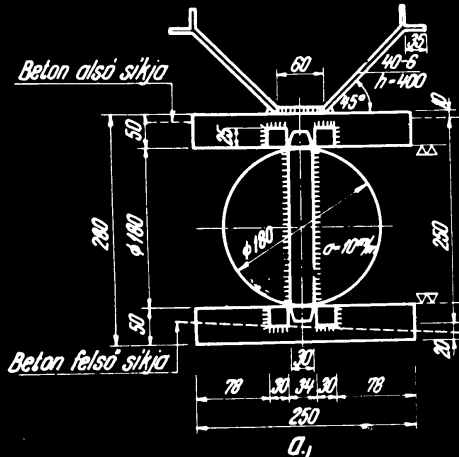
8. ábra. (K. 41. oldal.)



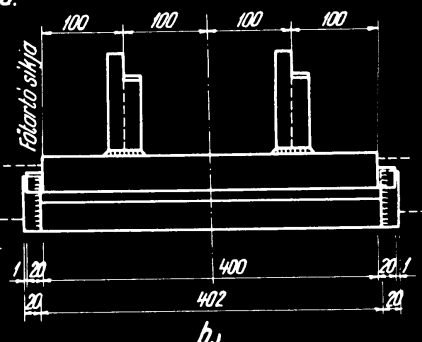
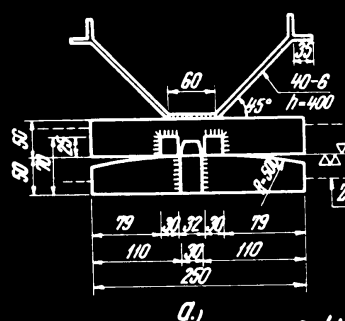
9. ábra. (K. 41. oldal.)

0/7

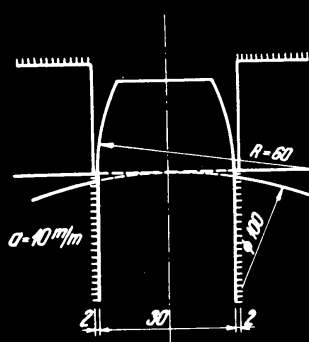
15m szabadnyilású vasbetonhid saruskerekezete



1. ábra. Mozgó saru.



2. ábra. Álló saru.



Jel	Megnevezés	Dm	Súly/kg
	Felső lemez	1	39,2
	Henger	1	200
	Alsó lemez	1	39,4
Mozgó saru	Pálcá	2	21
	Ütközölop	8	41
	Bekötés -40-6	2	15
	1db összsúlya	986	77
	2db mozgósarúsúly	2126	
Álló saru	Felső lemez	1	39,2
	Alsó lemez	1	39,4
	Pálcá	2	0,7
	Ütközölop	4	20
	Bekötés -40-6	2	15
	1db összsúlya	78,6	42
	2db állósarúsúly		

Megjegyzés:

A szerk. acél minősége:

A. 36.24.12 (MNOSz 112)

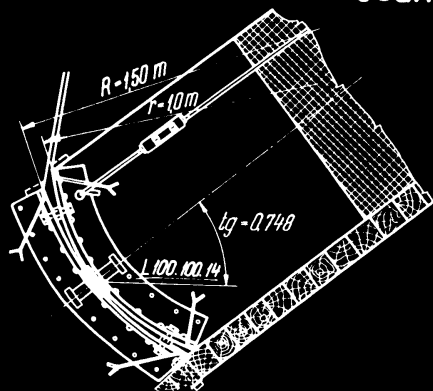
A gép-acél anyagok minősége:

A. 50.11. F (MNOSz 111)

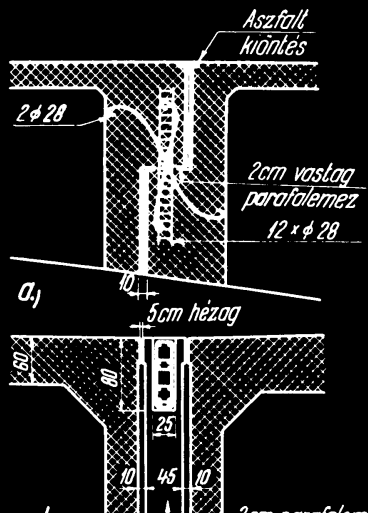
Igénybevethető 100% terhelésre.
(MNOSz 15486 - 52R)

0/7

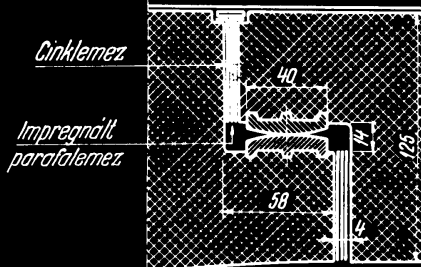
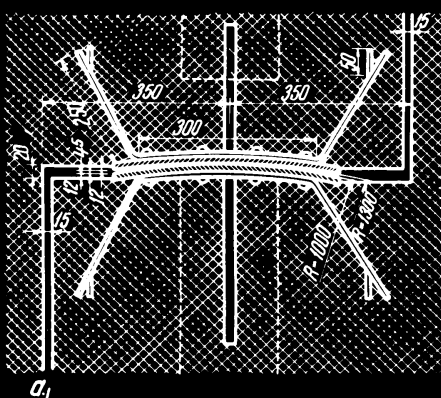
Csuklók I.



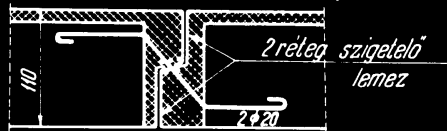
1. ábra (B.K.II.1952. 225.oldal.)



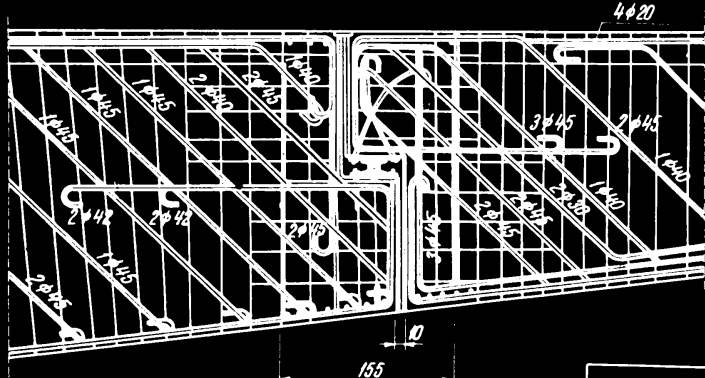
3 ábra (Me. 240. oldal)



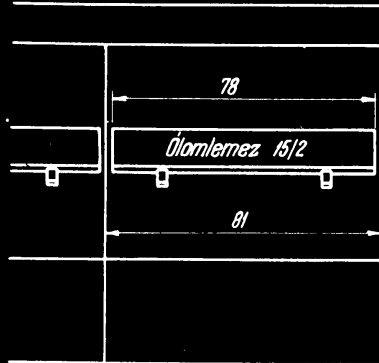
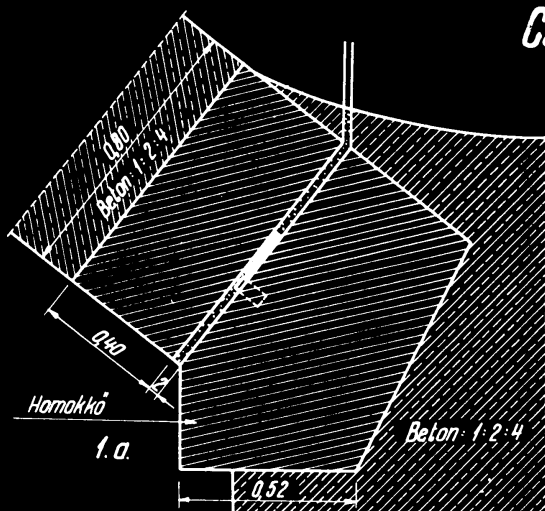
4. obra (K. III. oldal)



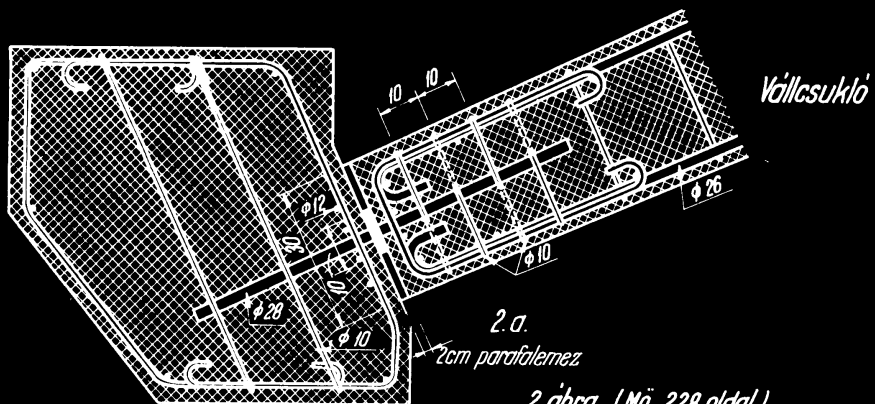
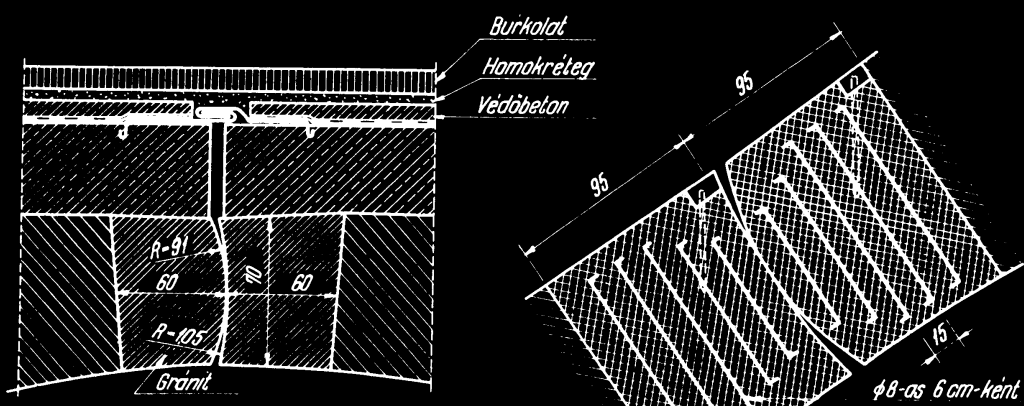
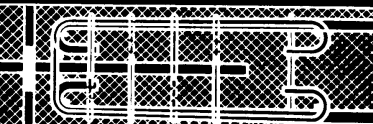
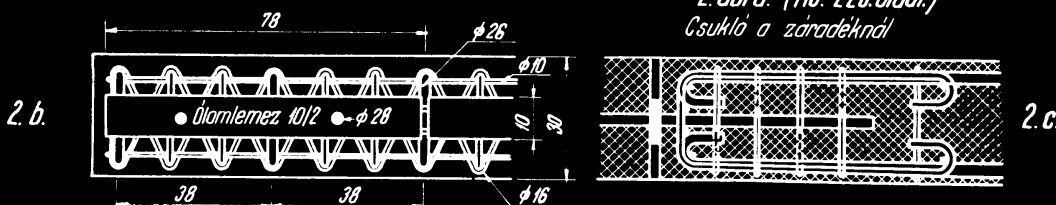
5. ábra (K. III. oldal)



0/7

Csuklók II.

1.ábra. (MÖ. 226. oldal.)

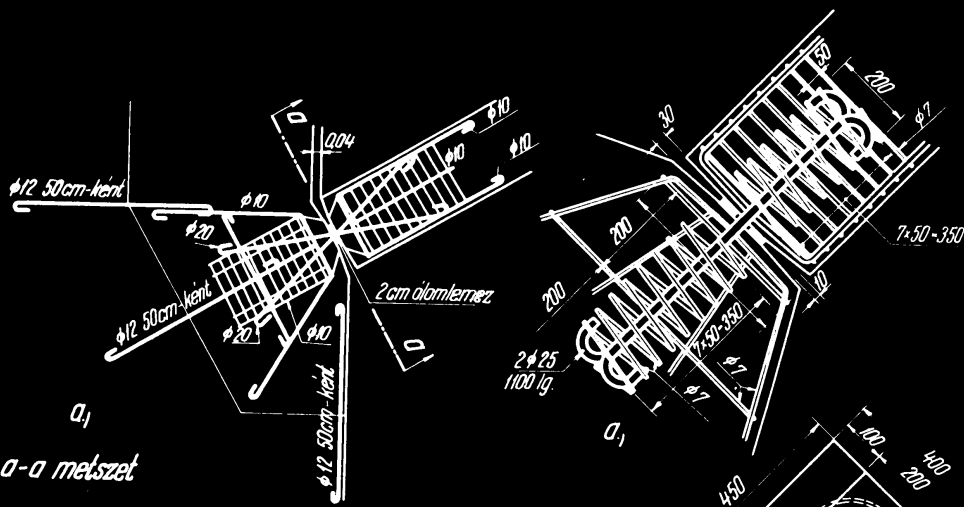
2.ábra. (MÖ. 228. oldal.)
Csukló a záradékknál

3.ábra. (B.K. 1952. 222. oldal.)

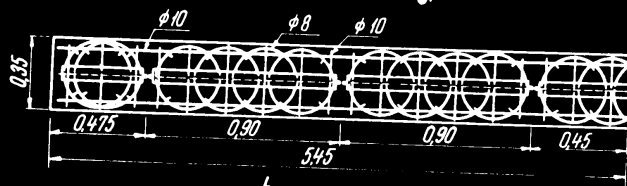
4.ábra. (MÖ. 238. oldal.)

0/7

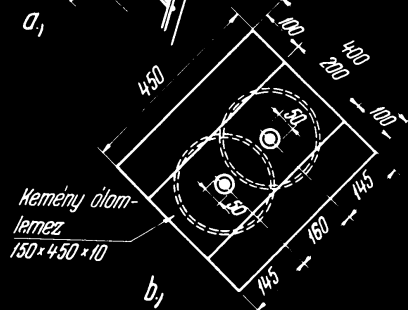
Csuklók III.



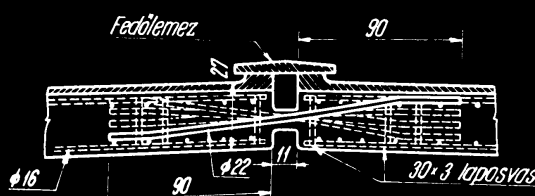
a-a metszet



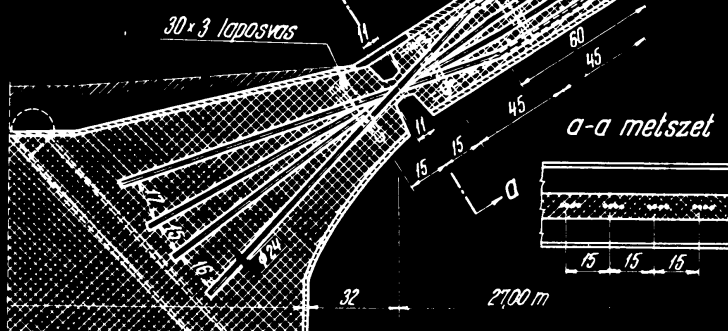
1. ábra (E.XI. 215. oldal)



2. ábra (E.XI. 216. oldal)



a, tetőponti csukló

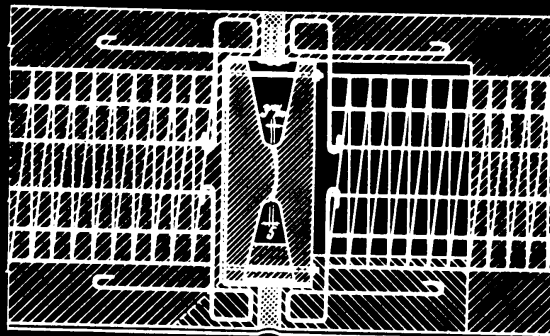


b, vállcsukló

3. ábra (E.XI. 224. oldal)

0/7

Csuklók IV.

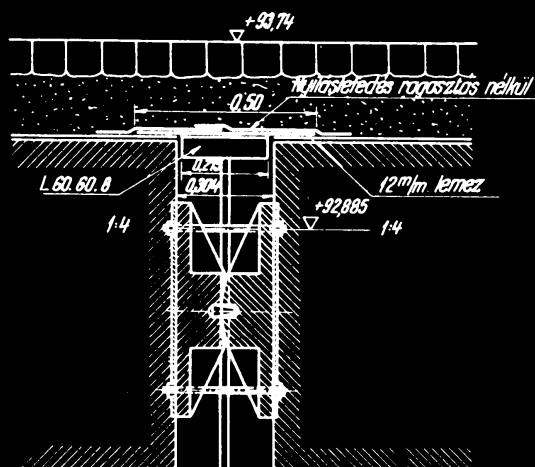
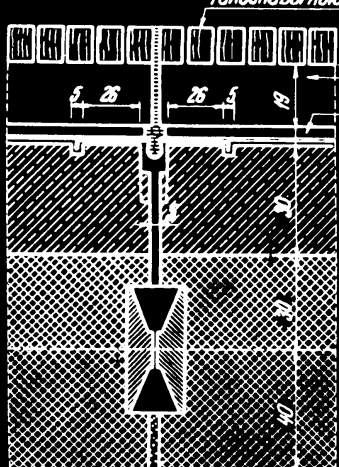


A betonozási
sorrend

Tetőponni csukló

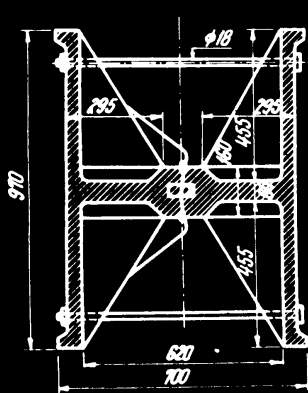
1. ábra. (Bauing 1931. 650)

Feketeburkolat

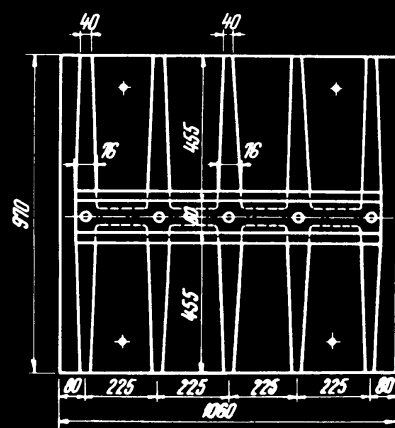


1. ábra. (E. XI. 355. oldal.)

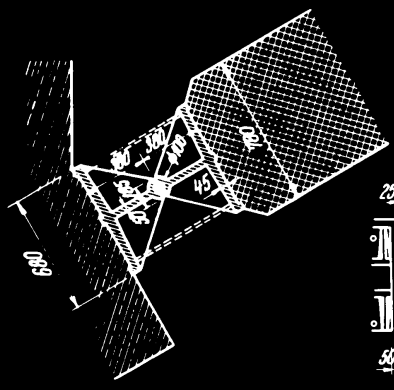
2. ábra. (E. XI. 217. oldal.)



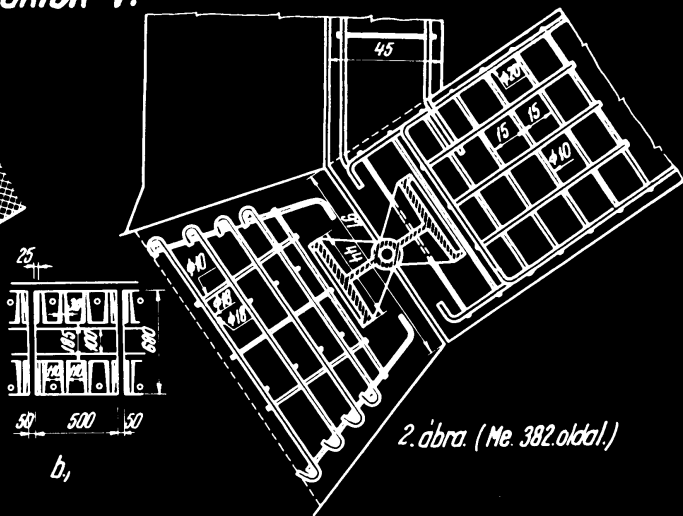
4. ábra. (Me. 380. oldal.)



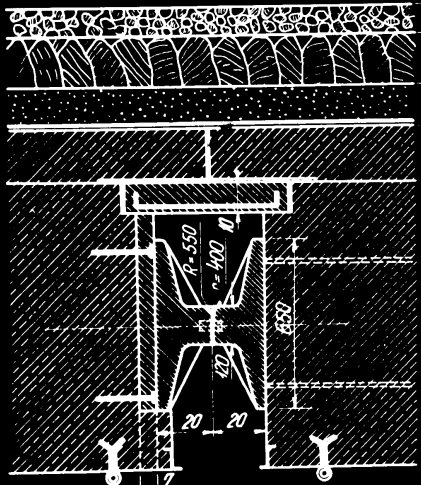
0/7

Csuklók V.

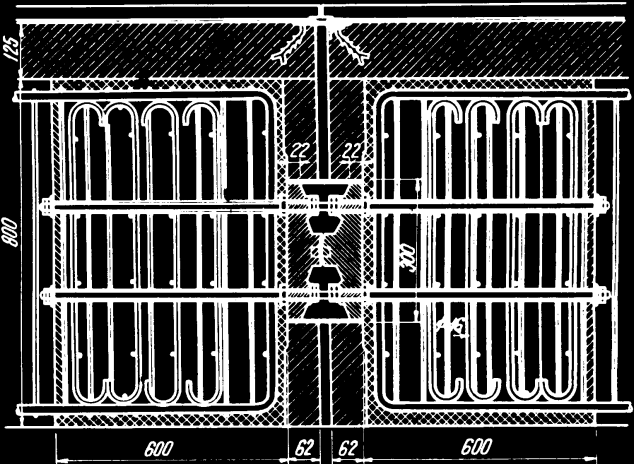
1. ábra (Mö. 243. oldal.)



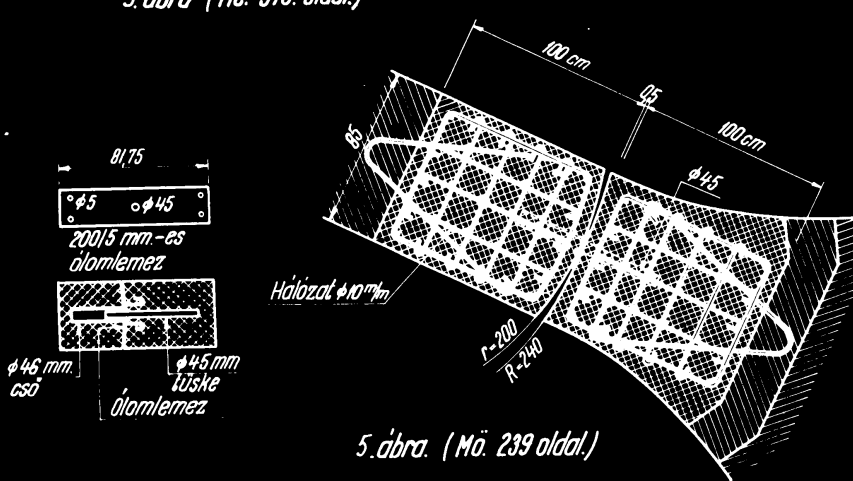
2. ábra (Mö. 382. oldal.)



3. ábra (Mö. 378. oldal.)

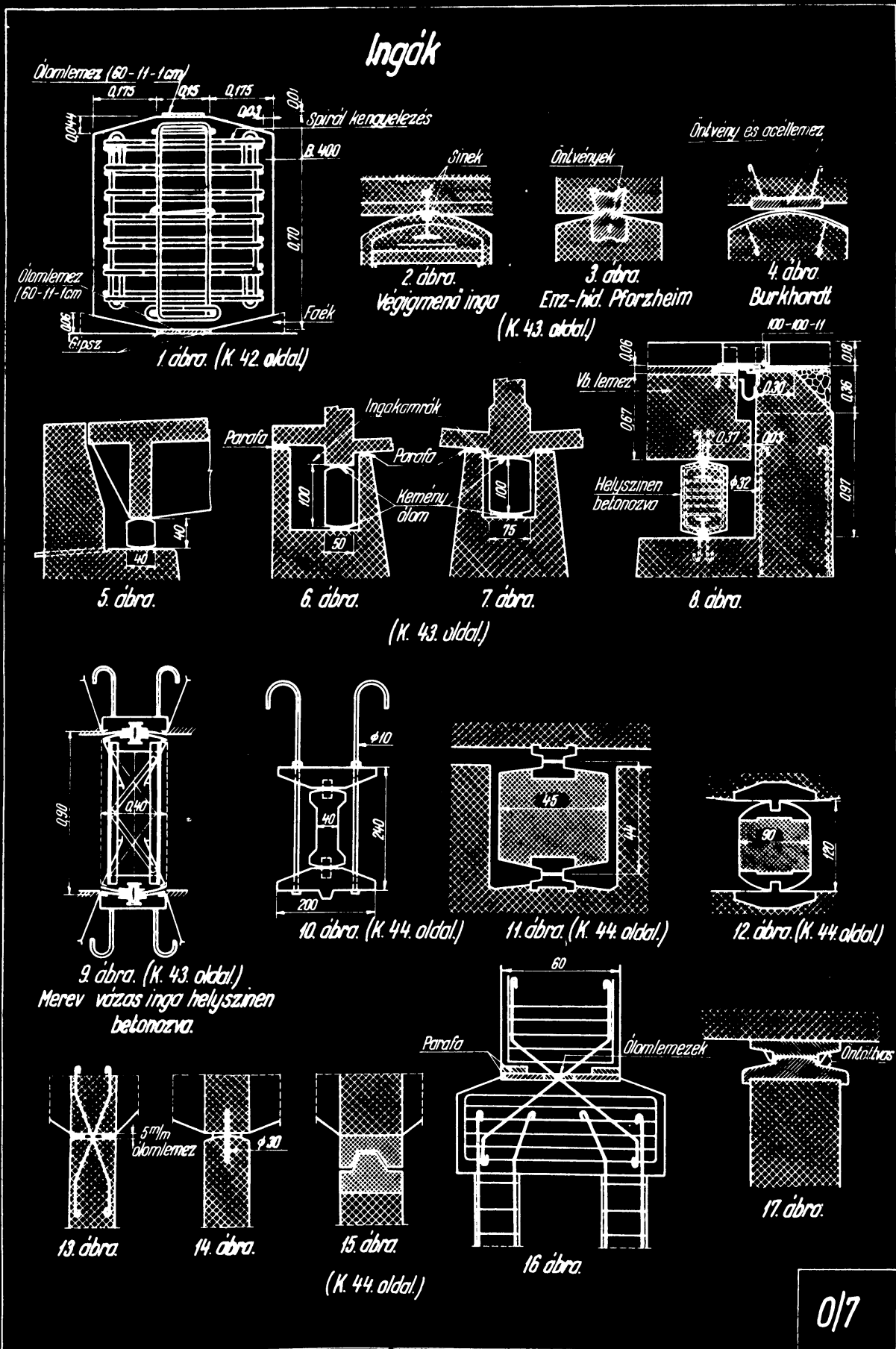


4. ábra (Mö. 379. oldal.)



5. ábra (Mö. 239. oldal.)

0/7

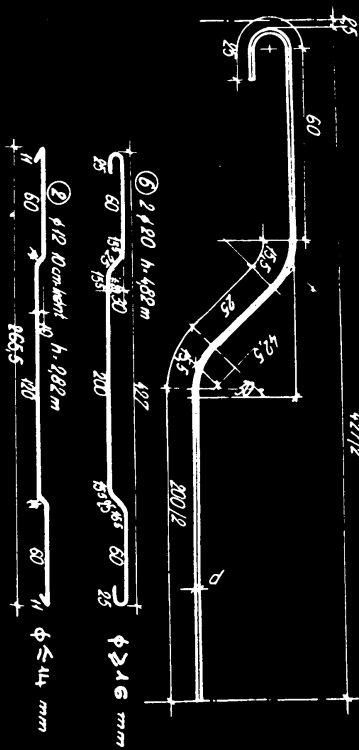
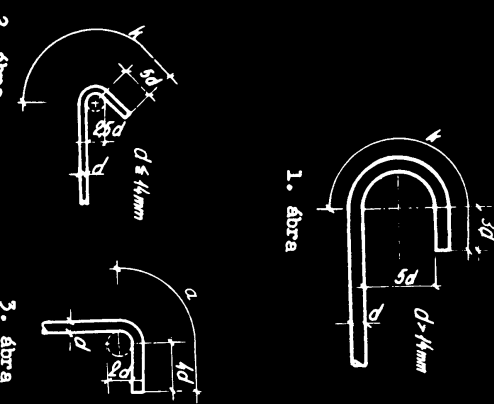


S Z E R K E S Z T É S I S Z A B Á L Y O K

(Közutti Hidszabályzat szerint)

Vasbetétek jelölése
(Nem szabályzott előirás)

β mm	k cm	a mm	b mm	$a/2$
5,5	5,0	-	-	-
7	6,5	-	-	-
8	7,5	-	-	-
10	9,0	-	-	-
12	11	-	-	-
14	13	9	-	-
16	20	10	12,4	13,2
18	22,5	11,5	14	14,9
20	25	13	15,5	16,6
22	27,5	14	17	18,2
25	31	16	19,4	20,7
28	35	18	21,7	23,2
32	40	20,5	24,8	26,5
36	45	23	27,9	30
40	50	25,5	31	33



Acélminőség	Tulajdonságai			
	Tulajváltási hossz, ha a betonminőség	B 140	B 200	B 280
36-24 B	30d	25d	20d	15d
50-35 Bm K és hideg uton szilárdfolt acél/csevartacél/	40d	35d	30d	25d

Síma kampóval ellátott nyomott acélbetét tulajnyújtási hossza a fenti érték 3/4-e. Konzolban 50%-al növelendő a táblázatban megadott érték.



7. ábra

Toldási hossz kampóban végeződő betétnél

Acélminőség	Toldási hossz, ha a beton-				
	B 140	B 200	B 280	B 400	
50-35 Bm K és hideguton szí- lárdfoltos acél /csavartacél/	40d	35d	30d	25d	35d

Nyomott acélbetét toldási hossza a fenti érték 3/4-e.

Huzott acélbetétek oly hozmű görbülettel való tervezését, mely a véony betonfedés berendezését okozhatja, általában kerülni kell. Ilyenkor az acélbetéket a lehetőség szerint egymást keresztezve a keresztszemetszet nyomott részéig egynéven kell tövözzetni. Ha a hosszu görbületet elkerülni nem lehet, az acélbetéteket sugárirányú kongyeléssel kell a betonba kötni. E kenyeléket az irányváltózás okozta teljes huzárbőre kell méretezni. Az acélbetétek legkisebb betonfelülete - az acélbetét ill. kenyel szélűl számítva - legalább 1,5 cm.

A lemezvastagság húzásérkezések szabványos pályamezeineinél legalább 12 cm, gyalogjárda lemeznél legalább 8 cm legyen. A helyszínen szerelt lemez fővasbetétele 8 mm, előszörbetételei 7 mm átmérőnél kisebbek nem lehetnek.

A fővasbetétek egymásztói távolsága /t/, ha a lemezvastagság /v/ < 10 cm, legfeljebb 15 cm

ha v > 15 cm " t, illetve 35 cm lehet.

5540593

A lemez egy síkban fekvő elosztóbetételei egymástól 35 cm-nél távolabb nem lehetnek.

Lemezekben ugyanazon toldási hosszon belül legfeljebb minden harmadik vasbetéret szabad toldani.

Acélbetétek a vasbeton lemez minden oldalán kell elhelyezni akkor is, ha a lemez egyes szakaszain ezekre számítás szerint szükség nincs. Ilyenkor az acélbetétek mennyisége legalább annyi legyen, mint a másik oldalon a számítás szerint szükséges acélbe-

tét mennyiségénél 15%-a.

Ha a lemezes gerenda nyomott övében a lemez fővasbetétei a gerendával párhuzamosan haladnak, akkor a gerendával együtt dolgozó zónák számitható lemezrész a gerendára merőleges, a lemez felől szélehez közel haladó acélbetétekkel biztosítani kell. Ezek egy másztól való távolsága a lemezvastagság, 2,5-szeresénél, ill. 35 cm-nél nagyobb nem lehet.

Gerendában a főbetétek átmérője általában 10 mm-nél, a szem-

relőbetétek a főbetét felénél, ill. 8 mm-nél, a kengelyek 7 mm-nél kisebb nem lehet.

Kettőnél több sorban fővasbetéket elhelyezni általában csak akkor szabad, ha a legerősebbben húzott betonzárlótól egy acélbetét távolsága sem nagyobb a gerendamagasság 1/10-énél. Az egy sorban elhelyezett vasszálak között legalább a nagyobb betét átmérőjével egynél, de legalább 2 cm köz legyen. Az egymás fölé helyezett betétek között is legalább 2 cm köz legyen.

A gerendába minden kell kengelyt alkalmazni. A kengelyek távolsága általában sem a bordaszélesség 1,5-szeresénél, sem a gerendamagasságánál, sem 35 cm-nél nagyobb nem lehet. Lehetséges zárt kengelyt alkalmazunk. A számítás szerint szükséges nyomott betéteket a kihajlás ellen legalább a nyomott betét 15-szörös átmérőjének megfelelő távolságban meg kell kengellel fogni.

A 80 cm-nél megszabott gerendánál a borda oldalfelületein a látható repedések megelőzése céljából a húzott zónában kongyelirányú acélbetéteket kell alkalmazni. Ezek összterülete a bordakeresztszemetszet 150-enél kevesebb nem lehet, de legalább minden 40 cm-en egy-egy 7 mm-es acélbetétet kell alkalmazni.

Hajlított és kúlpontossán nyomott gerendák húzott vasbetételeinek minimális mennyisége

$$\mu_{\text{v}} = 5 \frac{\sigma_{\text{bh}}}{\sigma_{\text{vh}}}$$

E mennyiség alatt a szerkezet vasalt betonnak minősítendő.
Ha a gerendákban a ferde huszát vagy annak egy részét felgörbített acélbetétek vesszik fel, asok ugy osztandók ki, hogy minden függőleges keresztmetszetet legalább egy felgörbített acélbetétet meszen. A felgörbített vasbetétek lehetőleg a ferde huszáról 2/3-részét felvegyék. Az uszvásnak alkalmassázt lehetőleg kerülni kell.

Kéreggyörkerekesszetszeti oszlop kisebbik oldalhossza legalább 20 cm, körkeresztmetszetű oszlop átmérője legalább 24 cm legyen. T vagy hasonló keresztmetszetű oszlop szárszólesség 15 cm-nél, keresztmetszeti felülete 450 cm²-nél kisebb nem lehet. Oszlopok hosszanti acélbetételei 14 mm-nél vékonyabbak nem lehetnek.

Az oszlop hosszvasbetéteinek összes keresztmetszeti területe nem lehet kisebb az alábbi kereszságtól függő értéknél

az oszlop kereszsága A	470	80	90	100	110	120
A legkisebb vasszázalet / μ. /	0,6	1,0	1,4	1,8	2,2	2,6

Több acélbetét nem vehető számításba, mint a tényleges betonkeresztmetszet 3%-a.

A kengelyeltáv nem lehet nagyobb sem a legvékonyabb hosszvasbetét átmérőjének 12-szörésénél, sem az oszlop kisebbik oldalméreténél.

50 cm-nél szélesebb oldallapok esetén közbenö hosszbetétet is kell alkalmazni. Ezeket kihajlás ellen külön kengyellel kell biztosítani.

Ha a támászköz 10 m-nél kisebb külön saru létesítésére szükség nincs, elég a felszerkezet felfekvését ugy kialakítani, hogy a hidró a felso lapja belső élétől számított 10 cm szélességű sívban terheletlen maradjon. Kéttámaszu felszerkezet minden végére a hidfőben egymást keresztező köracélbetétekkel bekötethető.

Ha a támászköz 10-16 m közé esik, az eltolódást biztosító sarukat csuszószerkezzettel, 16 m felett gördülő billenő szerkezettel kell ellátni. Álló sarukat is 16 m felett billenést biztosító szerkezzel kell kialakítani.

Az alsó sarulap, vagy öntvény lehetőleg sarufészkekben nyugodjék, mely legalább 2 cm mély legyen. Az alsó sarulap alá az egyenletes tehereloszlás érdekében cementhabarcot kell helyezni.

Betonácsukló esetén a csukló forgási irányban a tartó keresztmetszet eredeti méretének legalább 1/3-dra csökkenendő. A csuklóhöz magassága nem nagyobb, mint a legkisebb csuklón átmenő vasbetét 4tmérőjének kétszöröse. A csuklóhözegot ajánlatos az állandó teherból számított normálkerőre merőlegesen elhelyezni.

A párhuzamosan futó csuklóbetétek egymástól való távolsága 2 cm-nél, illetve a betétátmérőnél kisebb nem lehet. Az egymást keresztettsé betétek a csuklótengelyen menjenek át. Nem rozsdamentes acél esetén legalább 25 mm 4tmérőjű legyen az acélbetét. A csukló környezetében erőteljes kengyelemésről /kosárvassalás/ kell gondoskodni.

Egyedülálló szerkezeti kövek helyett általában előnyösebb a támasszok alatt teljes hosszúságban végigmenő hajlitásra merő vasbeton szerkezeti gerenda.

A vasbeton szerkezeti gerenda szüksége az alátámasztó szerkezet fél szükségesnél, illetve a sarutalp másfél széresnél kisebb nem legyen. A legnagyobb hajlitónyomaték helyén kiadódó hosszirányú betétekkel végig kell vezetni.

10 m-nél nagyobb támasszközű hidak végén dilatációs berendezést kell alkalmazni.

Magas töltések esetén, ill. ha a felszerkezet a csatlakozás töltésbe nyuló konzollal végződik, a hidfőhöz ill. konzolvéghoz csatlakozó töltésen a lépcőképződés megakadályozására alkalmas szerkezetet /pl. kiegyenlítő vasbeton lemes/ kell tervezni.

Jelölések MNOSz 979 szerint

Megnevezés	Betűjel	Rejzjel	Szinjel
Termelt talaj	Ta		VanDyck barna
Feltöltött talaj	Felt		Neutrál szürke
Beton szerkezet	B		Cinabber zöld
Vasbeton szerk.	Vb		Krómoxid-zöld
Előre gyártott vasbeton	Evb		Krómoxid-zöld
Merevbetétes szerkezetek	Ma		Krómoxid zöld
Paszterkezet	Pa		Égetett szírena Világos ökör
Vizszigetelés	Sz	2x12o 3x12o 	

Vasbetoneszerkezetek anyagjellemzői közutti hidaknál

Acél/MNOSz 339/			Határfeszültség/kg/cm ² / ha a beton minősége			
Minőség	hengerelt felület	átmérő mm	B 140	B 200	B 280	B 400
36.24.3	síma bordás	5,5-8 10-40	2 000	2 000	2 000	2 000
50.35 Bm K	síma periodikus	7-20 22-40 7-40	2 800 2 500 2 800	2 800 2 800 2 800	2 800 2 800 2 800	2 800 2 800 2 800
Hüdegen szilárdi-tott acél /casavart-acél/	síma bordás	7-8 10-20 22-28	2 800 2 800 2 800	2 800 2 800 2 800	2 800 2 800 2 800	nem alkalmazható

Igénybevételi mód	Határfeszültség/kg/cm ² / ha a beton minősége			
	B 140	B 200	B 280	B 400
Bármilyen igénybevételből származó nyomásra	65 /-	90 /-	115 /130/	140 /160/
Nyírásból, csavarásból és hajlításból származó ferde huzásra:				
a/ acélbetétek számításbavétele nélkül /alacú határ/	7 /-	9 /10,0/	11 /12,5/	13 /15,0/
b/ ha a kengyelek és felgörbített acélbetétek a huzáról felvett szik /felső határ/	17,5 /-	22,5 /26,0/	27,5 /31,0/	32,5 /37,5/

A zárójeles értékek olyan folyamatos gyári üzemben előállított vasbeton szerkezeti elemekre vonatkoznak, ahol a beton minősége állandóan ellenőrzött.

A merev acél-betét anyaga	σ_{vh} kg/cm ²
A 36.24.12	2 000
A 50.35.12	2 800

Pessitett beton anyag jellemzõiPessitett beton szerkezetek acélhusaisainak fõbb jellemzõi

Jel	Átmérõ mm	Keresztzetet cm ²	Métersúly kg/m	Határfeszültség kg/cm ²
180.150 KB	2,5	0,0491	0,0385	12000
170.140 KB	3	0,0707	0,0555	11500
160.130 KB	4	0,125	0,098	11000
150.130 KB	5	0,196	0,154	10500
140.125 KB	6	0,283	0,222	10000

Pessitett betonszerkezetek betonjának határfeszültségei

Igénybevételi mód	Határfeszültség/kg/cm ² , ha a beton minősége		
	B 280	B 400	B 560
1. Bármielyen igénybevételbõl származó nyomásra:			
helyessinen késült szerk.esetében	115	140	180
gyári uton előáll. * *	-	160	200
2. Husó feszültségre:			
hajlíthatóból származó huszára, ferde husó feszültségre, ha a husárót a beton visszi fel; és az acélbetétek tapadására /alsó határ/			
helyessinen késült szerk.esetében	11	13	16
gyári uton előáll. * *	-	15	18,5
3. Ferde husó feszültségre, ha a husárót az acélbetétek, felgörbítések, kengyelek vesszik fel /felől határ/			
helyessinen késült szerk.esetében	27,5	32,5	40
gyári uton előáll. * *	-	37,5	46

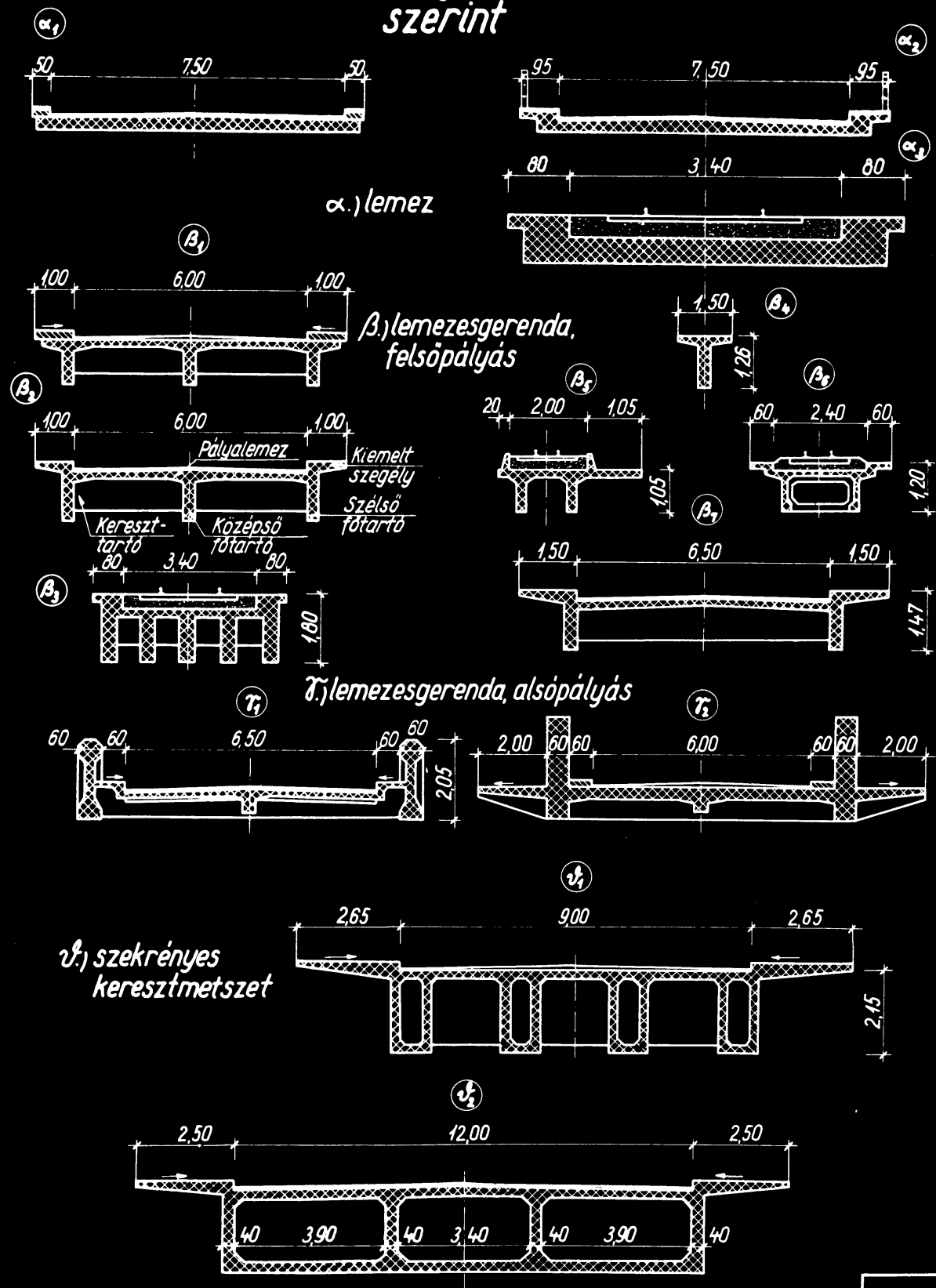
Körkeresztmetszetű acéllok kerestmetesseti területe

Átmérõ mm	Polymer súly	Körkeresztmetszetű acéllok kerestmetesseti területe cm ² -ben									
		1	2	3	4	5	6	7	8	9	10
5,5	0,187	0,24	0,48	0,71	0,95	1,19	1,43	1,67	1,91	2,14	2,38
6	0,222	0,28	0,56	0,85	1,13	1,41	1,70	1,98	2,26	2,54	2,83
7	0,302	0,38	0,77	1,15	1,54	1,92	2,31	2,69	3,08	3,46	3,85
8	0,395	0,50	1,00	1,51	2,01	2,51	3,01	3,51	4,02	4,52	5,03
10	0,617	0,79	1,57	2,36	3,14	3,93	4,71	5,50	6,28	7,0	7,86
12	0,888	1,13	2,26	3,39	4,52	5,65	6,79	7,92	9,05	10,18	11,31
14	1,208	1,54	3,08	4,62	6,16	7,70	9,24	10,78	12,32	13,85	15,40
16	1,578	2,01	4,02	6,03	8,04	10,05	12,06	14,07	16,08	18,10	20,11
18	1,998	2,54	5,09	7,63	10,18	12,72	15,26	17,80	20,36	22,90	25,45
20	2,466	3,14	6,28	9,42	12,57	15,70	18,84	21,99	25,14	28,28	31,42
22	2,984	3,80	7,60	11,40	15,21	19,01	22,81	26,61	30,41	34,21	38,01
25	3,853	4,91	9,82	14,73	19,63	24,54	29,45	34,36	39,27	44,18	49,09
28	4,834	6,16	12,31	18,47	24,63	30,79	36,94	43,10	49,26	55,42	61,58
32	6,313	8,04	16,08	24,13	32,17	40,21	48,26	56,30	64,34	72,38	80,42
36	7,990	10,18	20,36	30,54	40,74	50,90	61,07	71,25	81,43	91,61	101,79
40	9,865	12,57	25,13	37,70	50,26	62,83	75,40	87,96	100,53	115,08	125,66

Lemarva táblázat

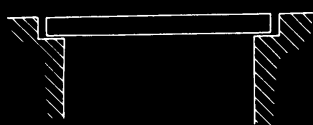
t cm	Acélátmérõ mm.									
	5,5	7	8	10	12	14	16	18	20	22
7	3,40	5,50	7,18	11,22	16,16	21,99	28,75	36,36	44,87	54,30
7,5	3,17	5,14	6,70	10,47	15,08	20,52	26,81	33,93	41,88	50,81
8	2,97	4,81	6,28	9,82	14,14	19,24	25,13	31,81	39,26	47,51
8,5	2,80	4,53	5,91	9,24	13,31	18,11	23,65	29,94	36,95	44,72
9	2,65	4,28	5,59	8,75	12,57	17,10	22,34	28,28	34,90	42,23
9,5	2,50	4,05	5,29	8,27	11,90	16,20	21,16	26,79	33,06	40,01
10	2,38	3,85	5,03	7,85	11,31	15,39	20,11	25,45	31,41	38,01
10,5	2,27	3,67	4,59	7,48	10,77	14,66	19,15	24,24	29,92	36,20
11	2,16	3,50	4,57	7,14	10,28	13,99	18,28	23,14	28,56	34,95
11,5	2,07	3,35	4,37	6,85	9,84	13,39	17,48	22,13	27,32	33,05
12	1,97	3,21	4,19	6,54	9,42	12,83	16,76	21,21	26,18	31,67
12,5	1,91	3,08	4,02	6,28	9,05	12,32	16,08	20,36	25,13	30,41
13	1,83	2,96	3,87	6,04	8,70	11,84	15,47	19,57	24,17	29,24
13,5	1,76	2,85	3,72	5,82	8,38	11,40	14,89	18,85	23,27	28,16
14	1,70	2,75	3,59	5,61	8,08	11,00	14,36	18,18	22,44	27,15
14,5	1,64	2,65	3,47	5,42	7,80	10,62	13,87	17,55	21,67	26,21
15	1,58	2,57	3,35	5,24	7,54	10,26	13,40	16,96	20,94	25,34
16	1,49	2,41	3,14	4,91	7,07	9,62	12,57	15,90	19,63	23,76
17	1,40	2,26	2,96	4,62	6,65	9,06	11,83	14,97	18,48	22,36
18	1,32	2,14	2,79	4,36	6,28	8,55	11,17	14,14	17,45	21,12
19	1,25	2,05	2,65	4,13	5,95	8,10	10,58	13,39	16,53	20,01
20	1,19	1,92	2,51	3,93	5,65	7,70	10,05	12,72	15,71	19,01

Gerendahidak osztályozása keresztmetszet szerint



1. / 1.

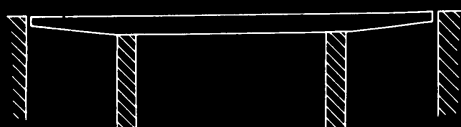
A főtartó kialakítása statikai szempontból.



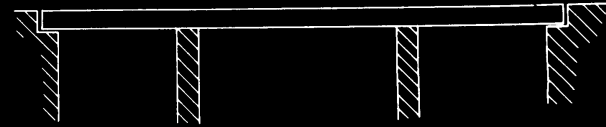
Kéttámaszú



Csuklós többtámaszú

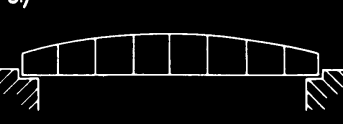
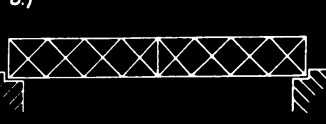
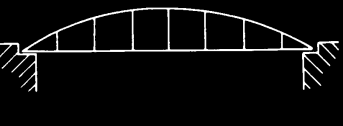
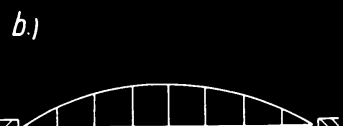
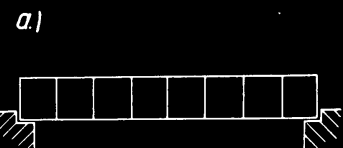
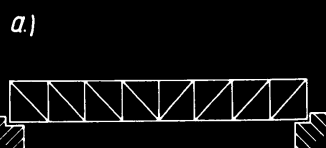


Konzolos kéttámaszú



Folytatólagos többtámaszú

A főtartó kialakítása szerkezeti szempontból.



Tömör

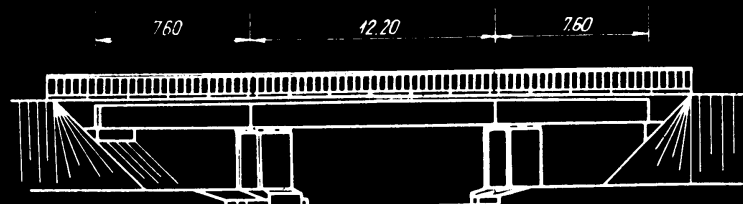
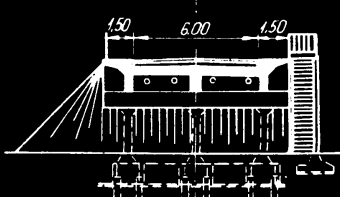
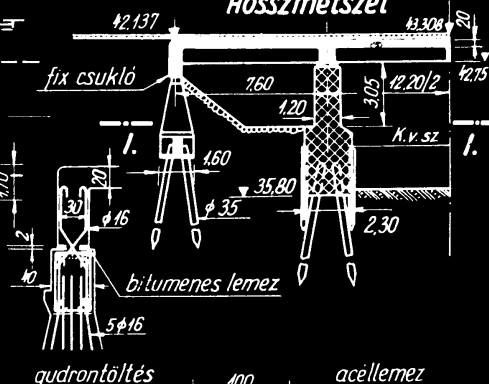


Rácsos

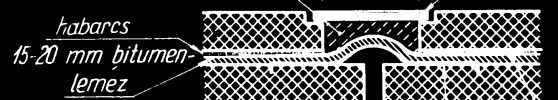
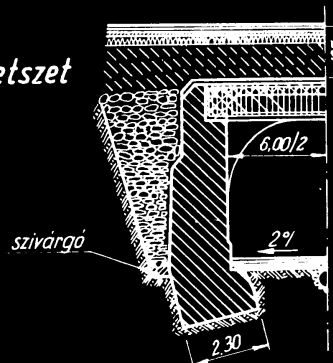
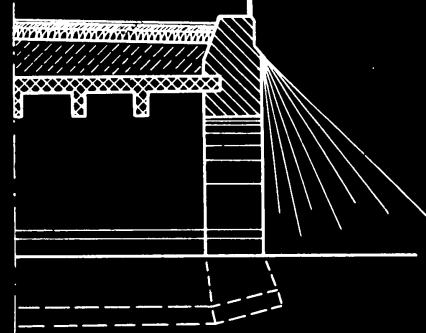
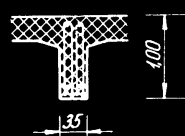
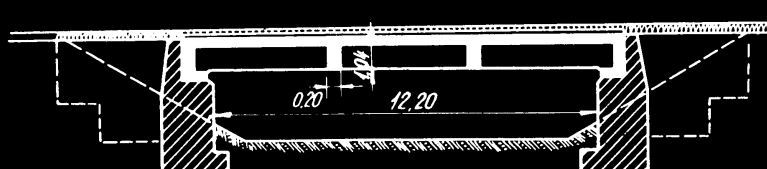
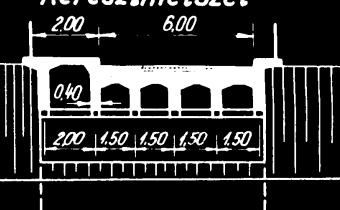


Vierendel

1/1.

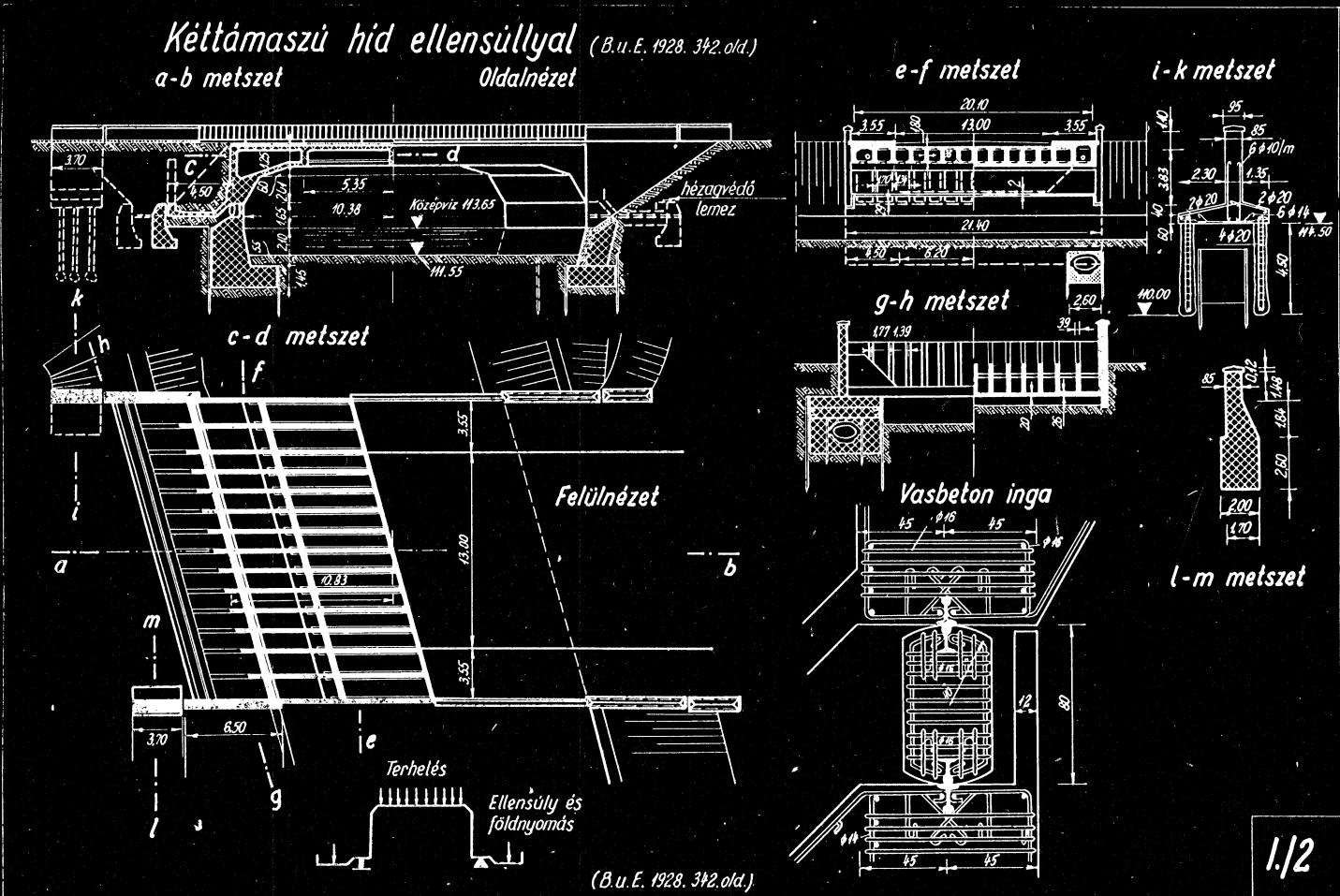
Nézet*Keresztmetszet**Hosszmetszet**Felülnézet (K.98.old) 1-1 metszet*

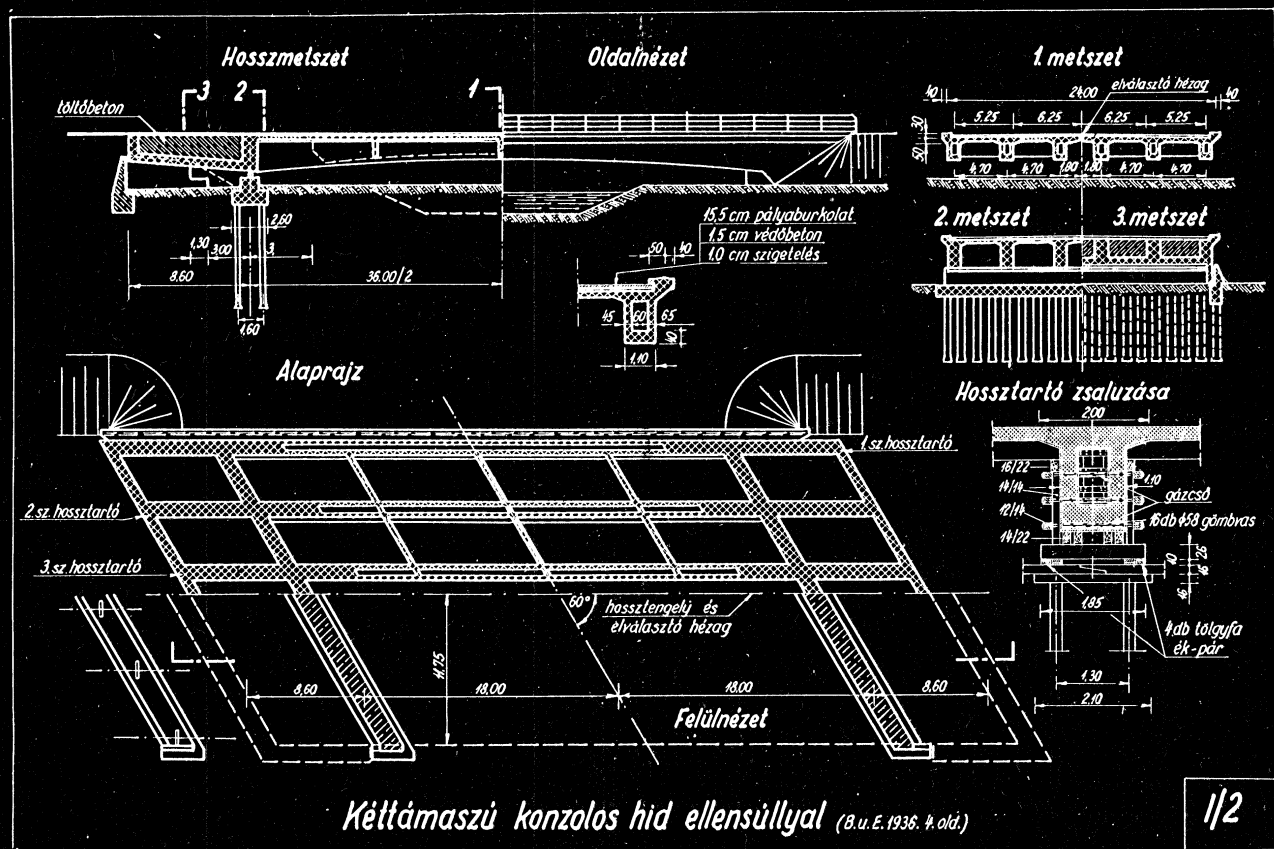
*Kis közúti hid
földüt felett*

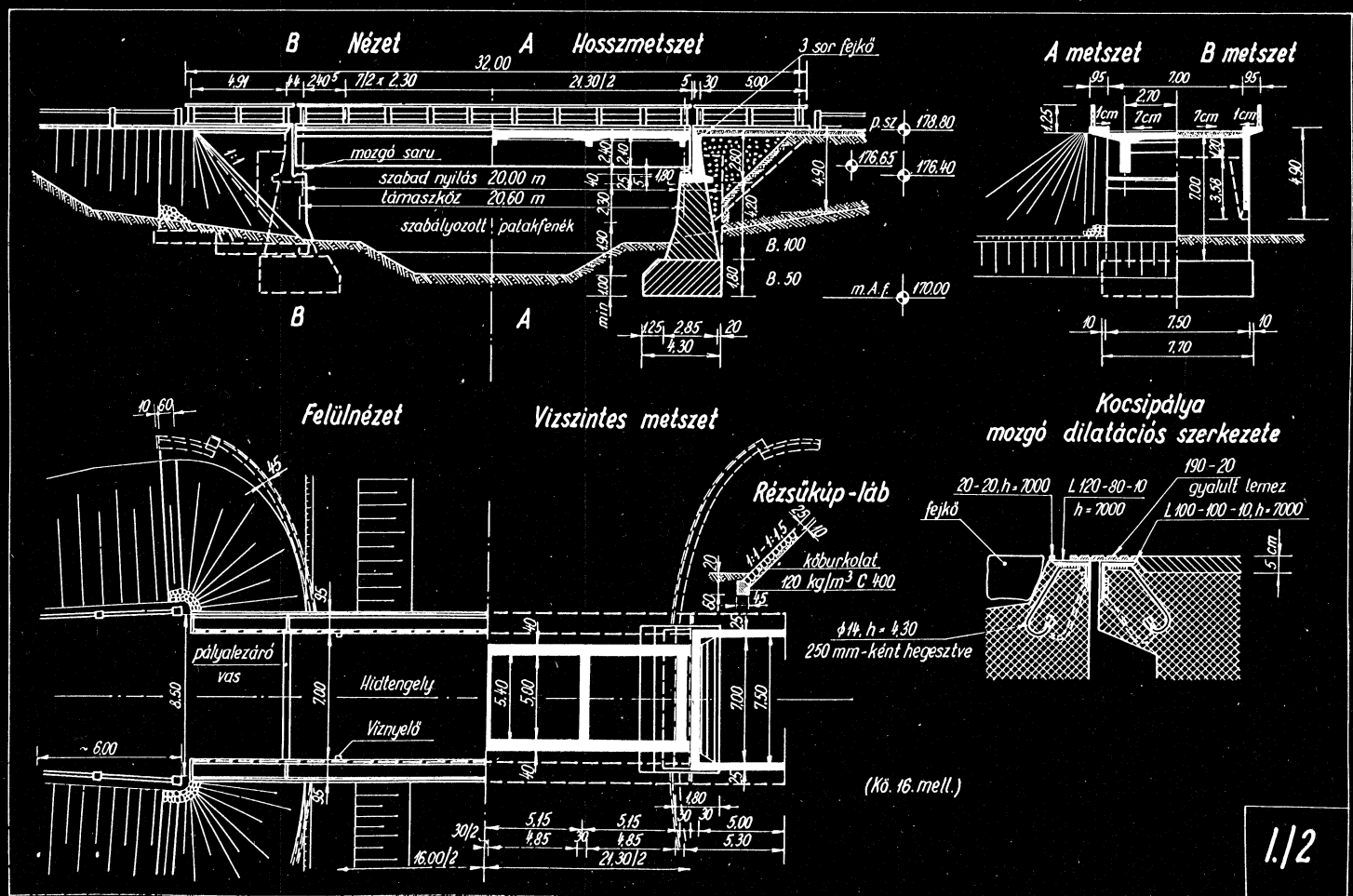
*cinklemez**Hosszmetszet**Keresztmetszet**Hosszmetszet**Keresztmetszet*

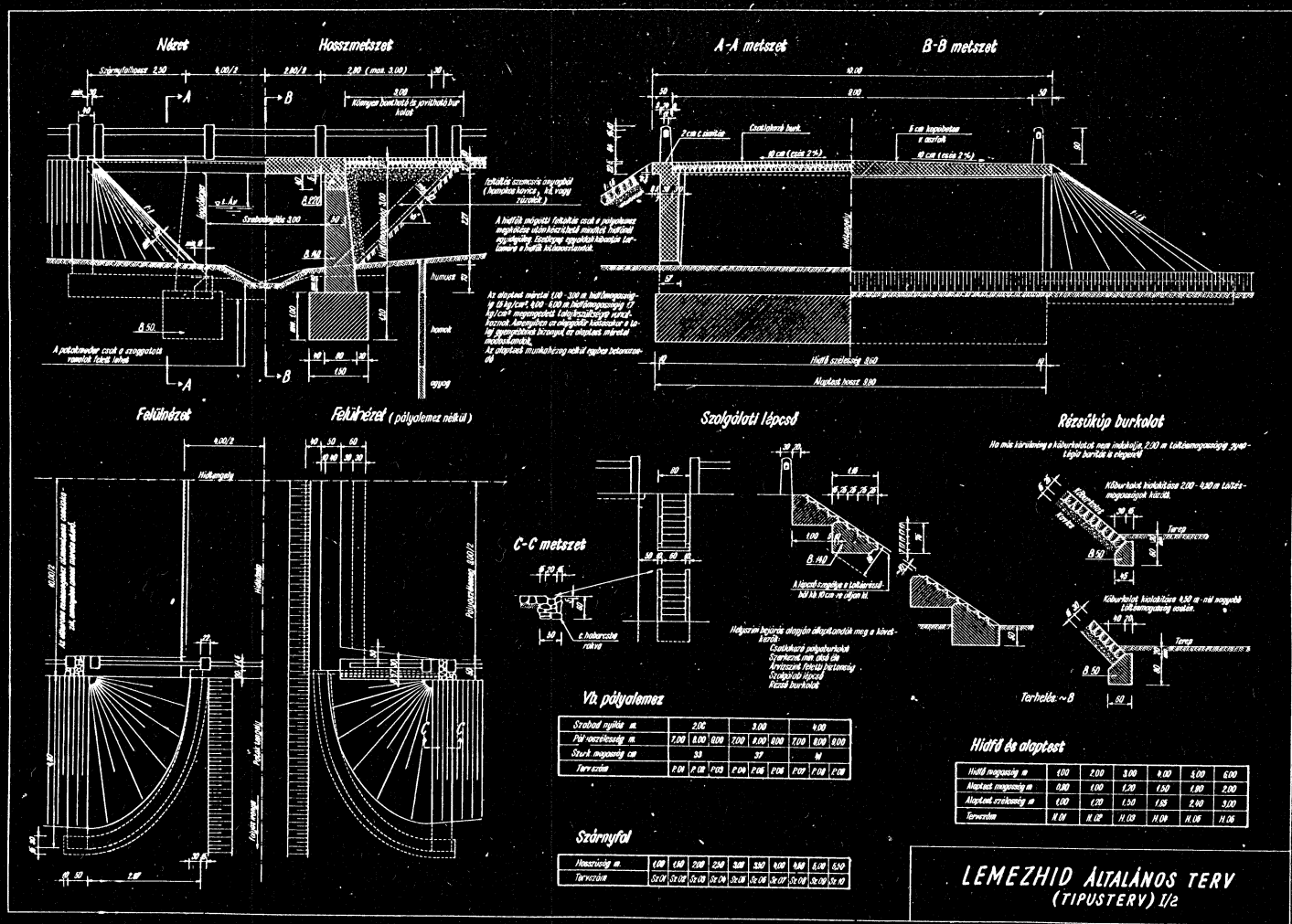
Közúti hid egyoldalú gyalogjáróval (K.85.old.)

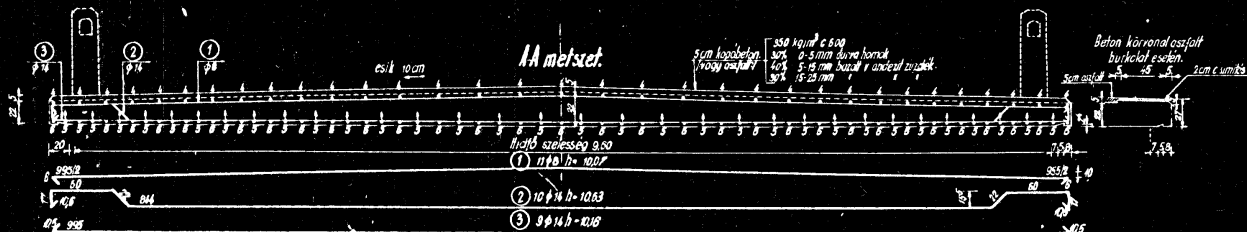
Kéttámaszú hid ellensúllyal (B.U.E. 1928. 342.old.)
a-b metszet Oldalnézet



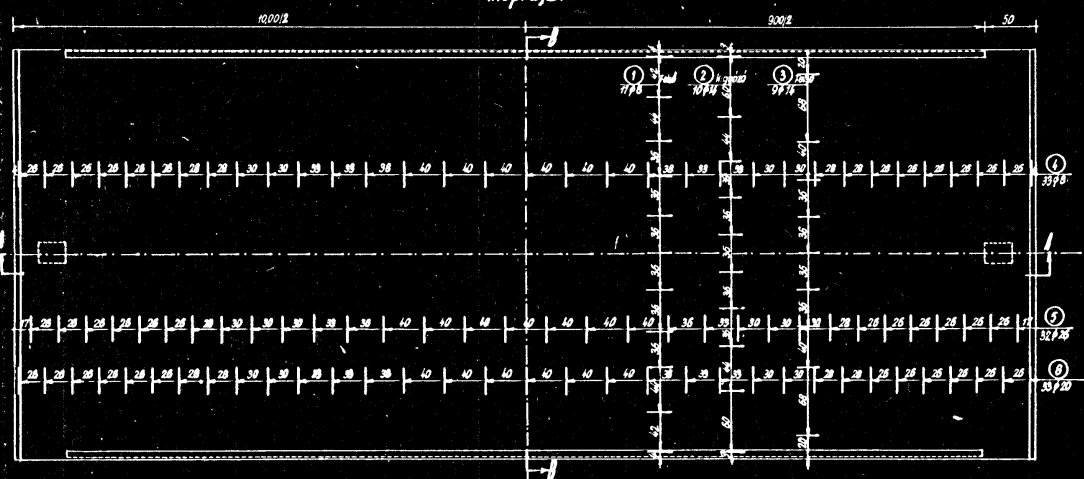




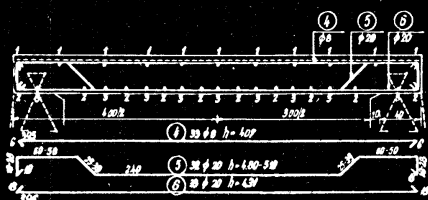




Mopraje.



8 metsz.



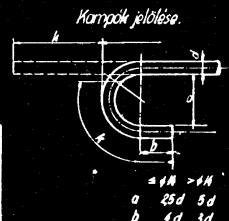
Megjegyzés:

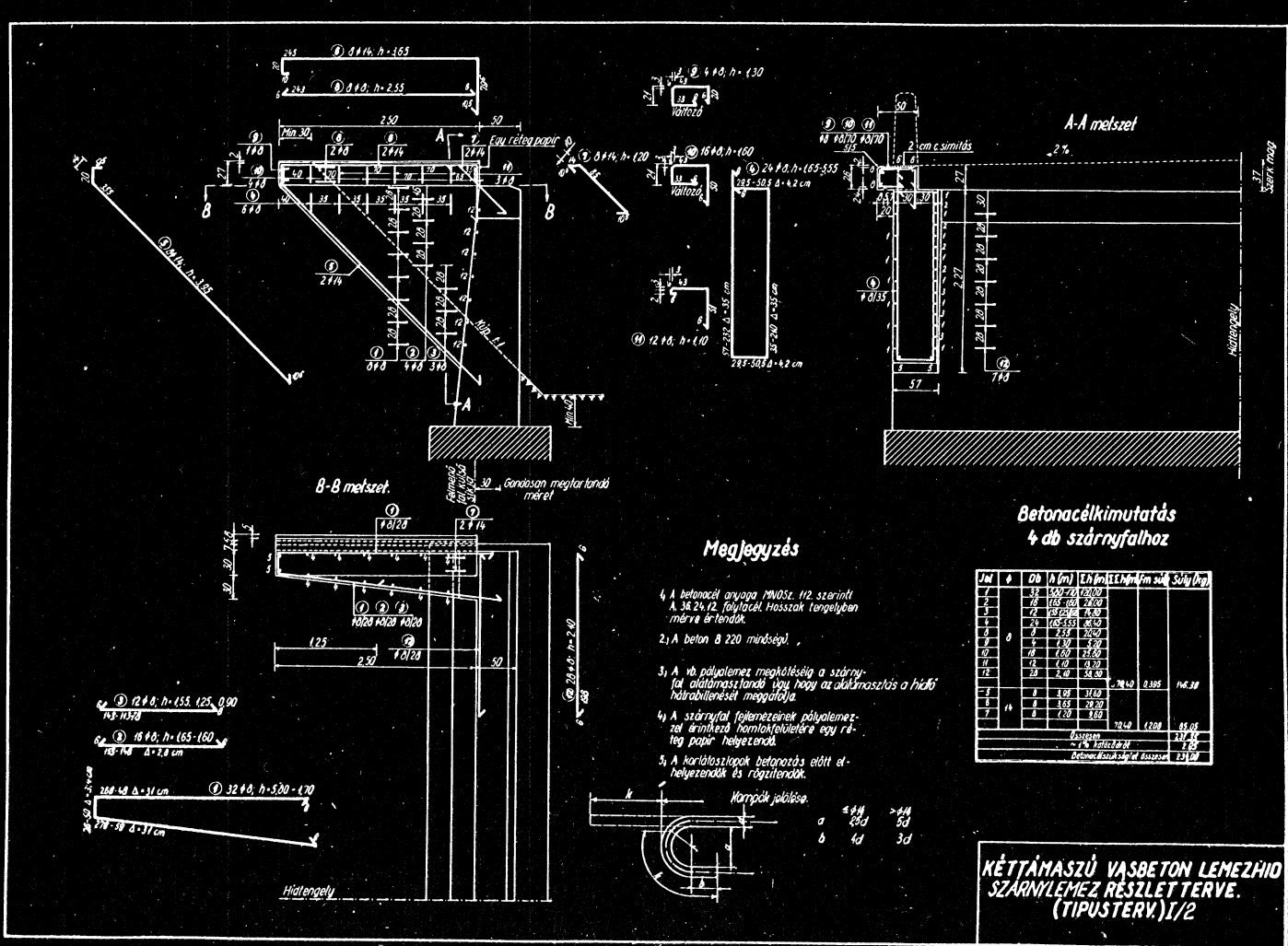
- 1) Betonocél anyaga M100, mű serű I 32/26 a folyadék használata korlátozásra kerül.
- 2) I beton 1200 minőségi.
- 3) I lapátból a polímerkezetlőről betonozott és a kátralégtelenített felületen megfelelő hirtelenben lezuhant.
- 4) Kerepedő karcsú szigetelés és körbefutó részterhelés körül a vonalakat feszítendő.
- 5) I szabványos karcsú keret mindenkorral a hidak is általában I körbefutó a polímeres betonozással előírja, és betonozott a polímerkezettel együtt.
- 6) Lehetőleg a körök belső oldalukat sűrítő -3 rend.

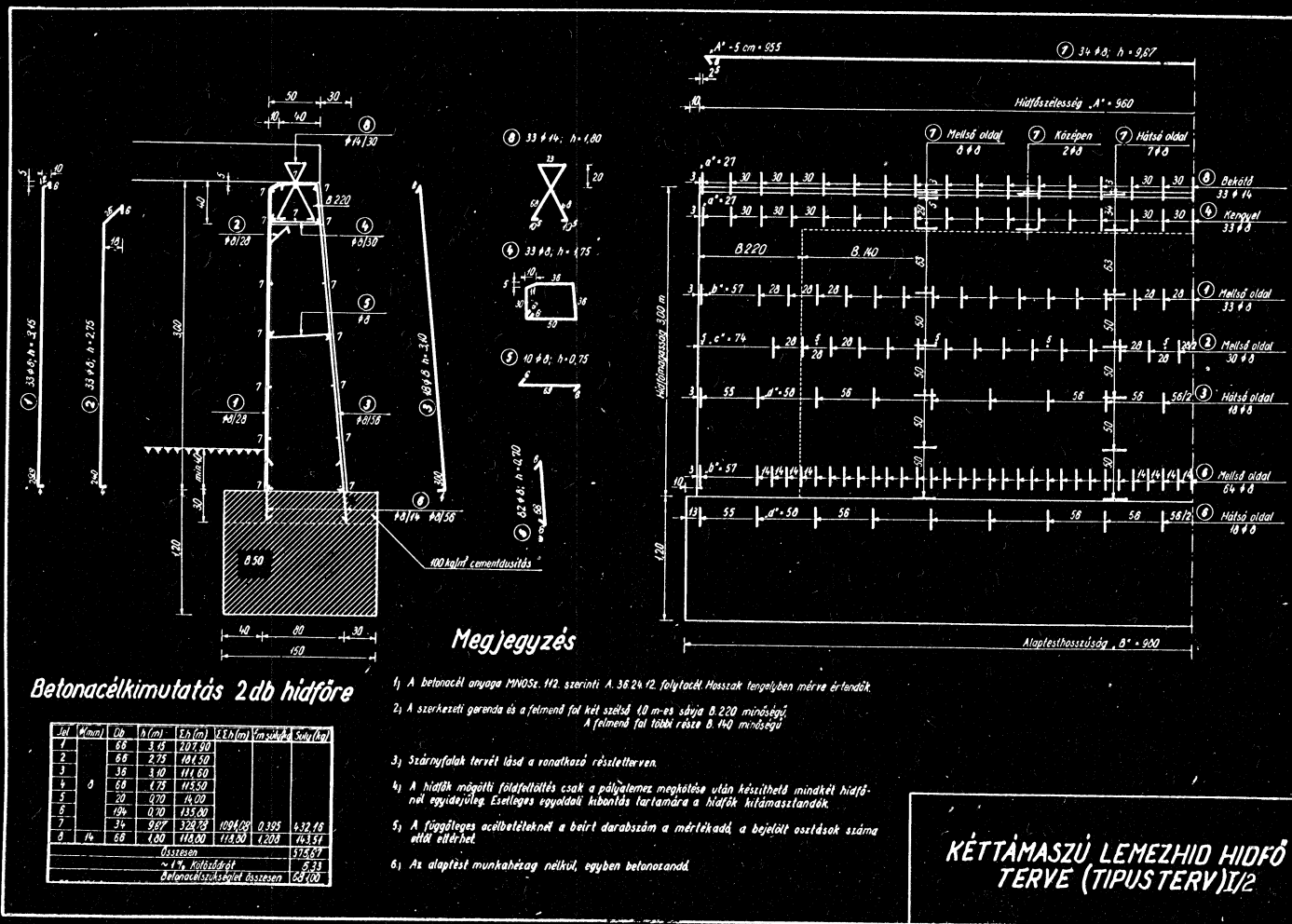
Betonocél kimutatás

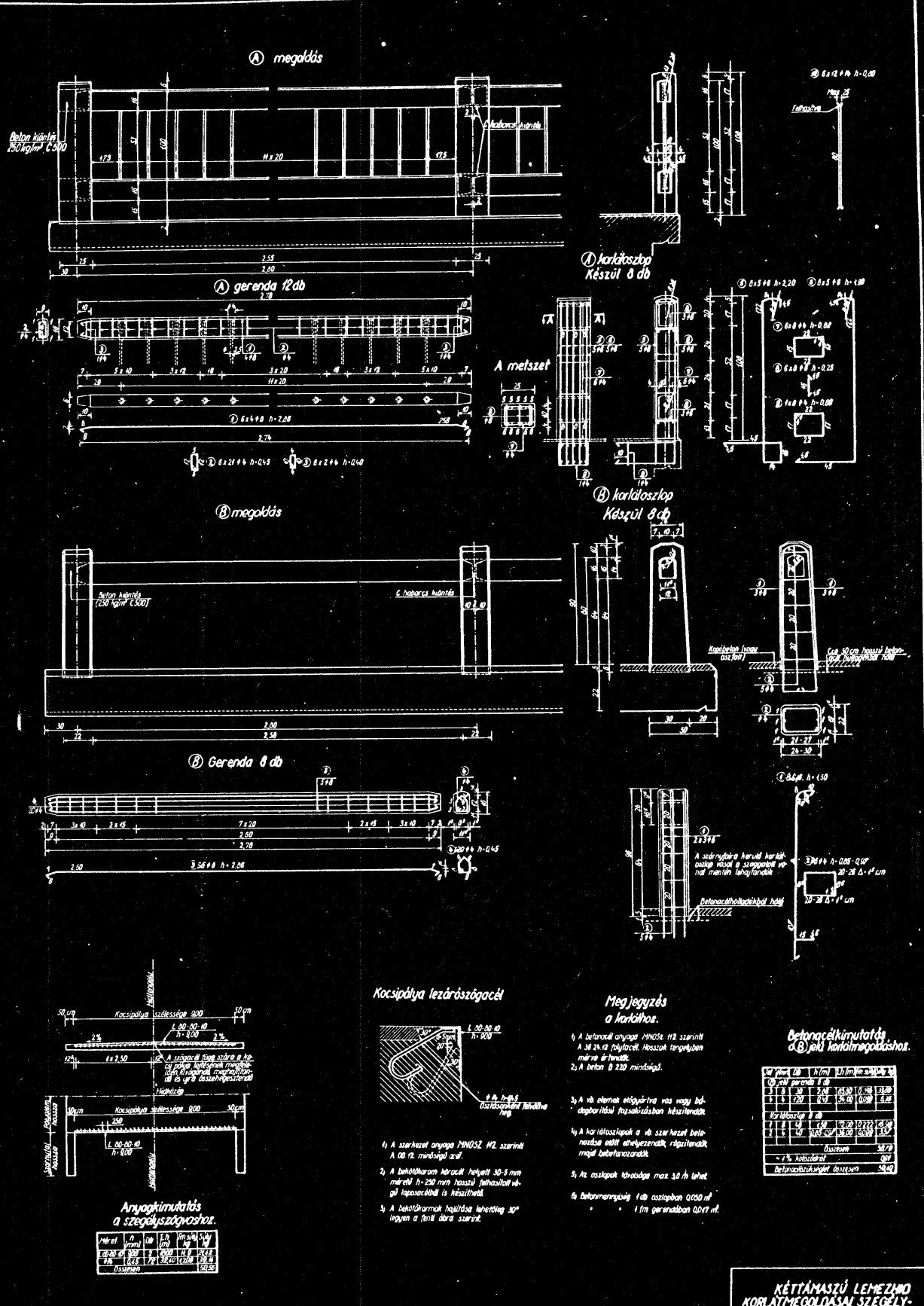
#	d / mm	a	b / mm	c / mm	d / mm	e / mm	f / kg
1	11	10	10.60	140.77			
1	10	10	10.60	140.77	205.00	0.328	50.40
2	10	10	10.60	140.77			
3	10	10	10.60	140.77	107.70	1.200	230.00
4	10	10	10.60	140.77	107.70	2.600	701.00
5	10	10	10.60	140.77	107.70	1.200	230.00
6	10	10	10.60	140.77	107.70	2.600	701.00
							1000.00
							Betonocél tömeg
							1000.00

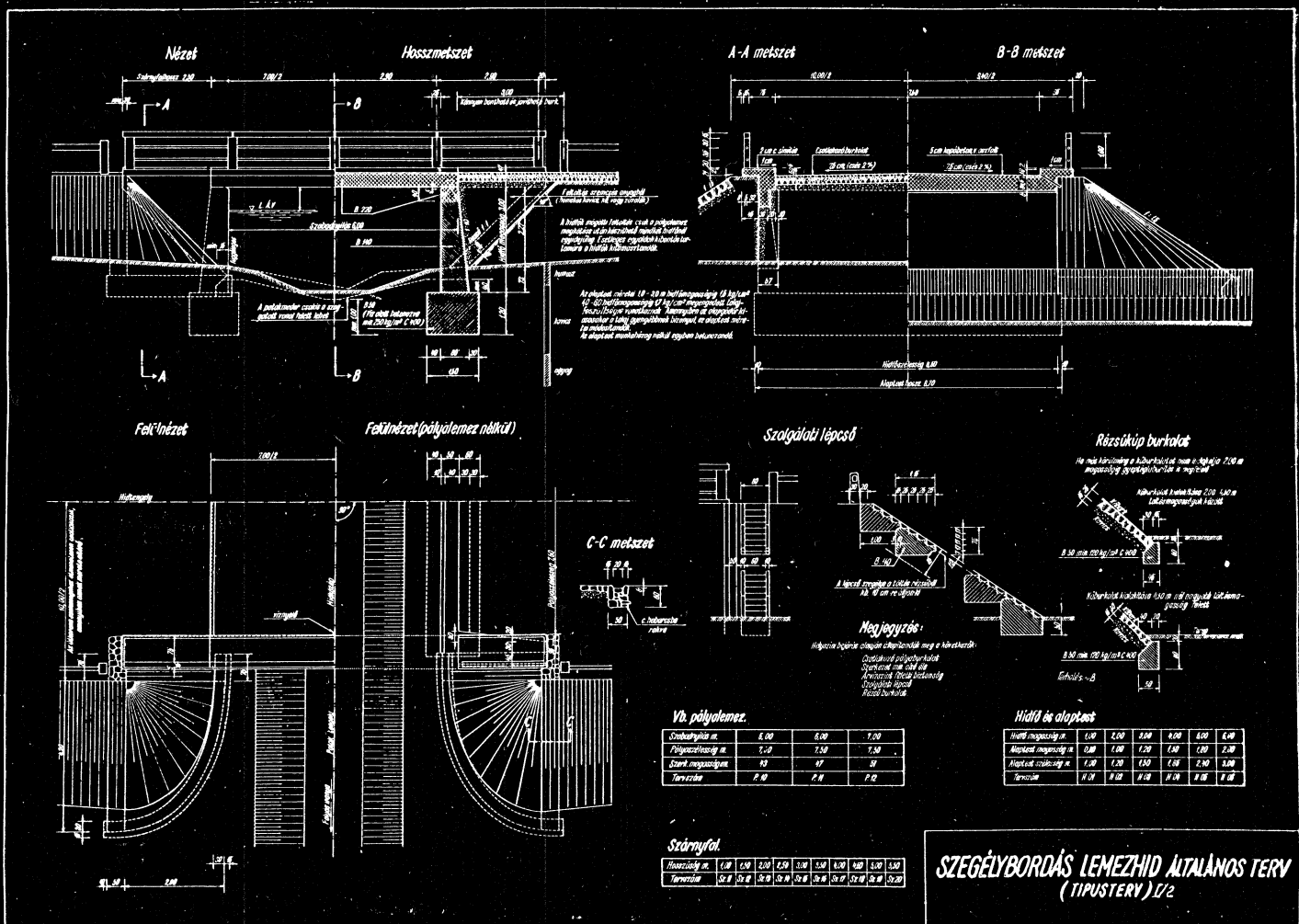
LÉMEZNÖ RÉSZLETTERV.
(TÍPUSTERV) I/2

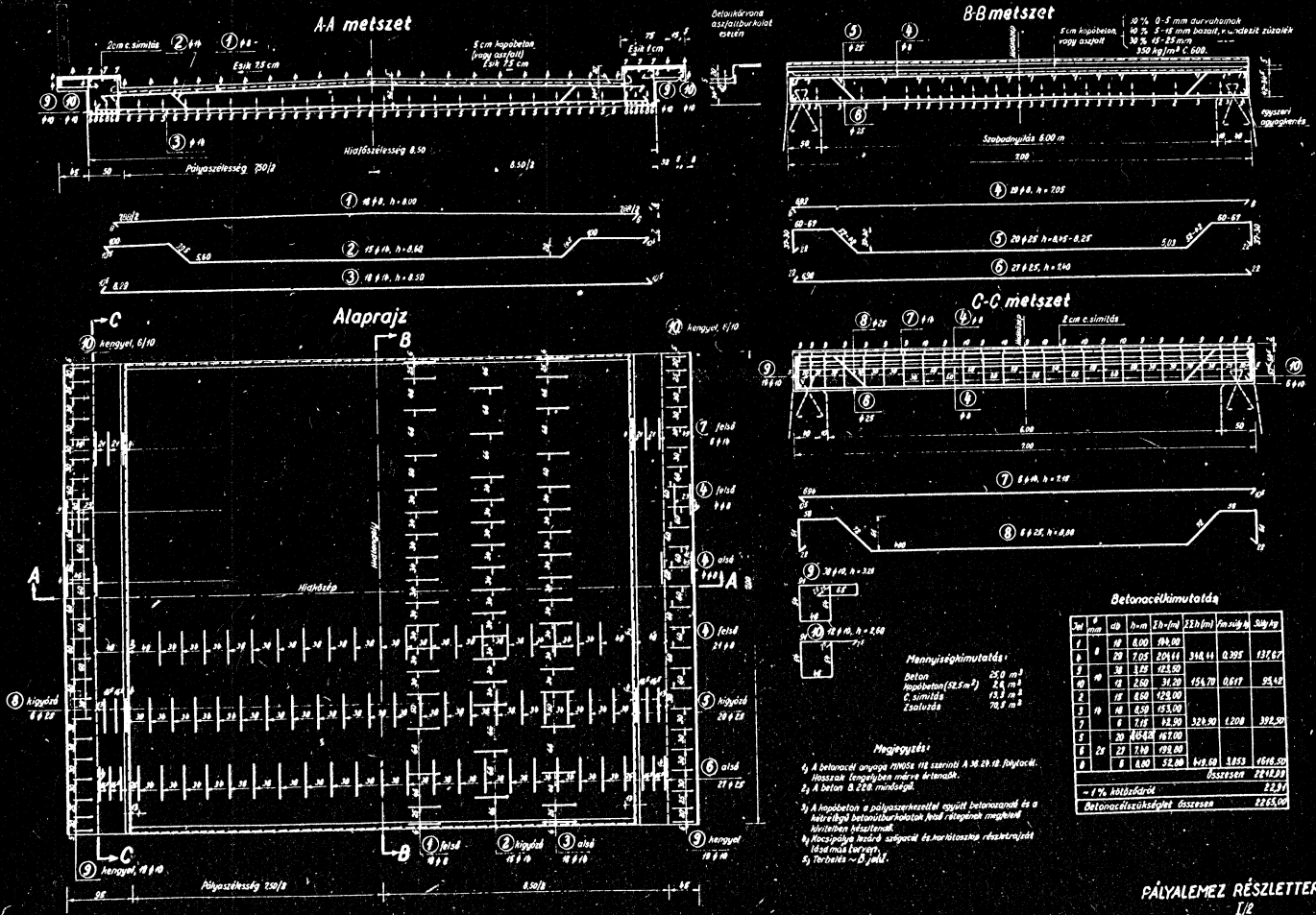




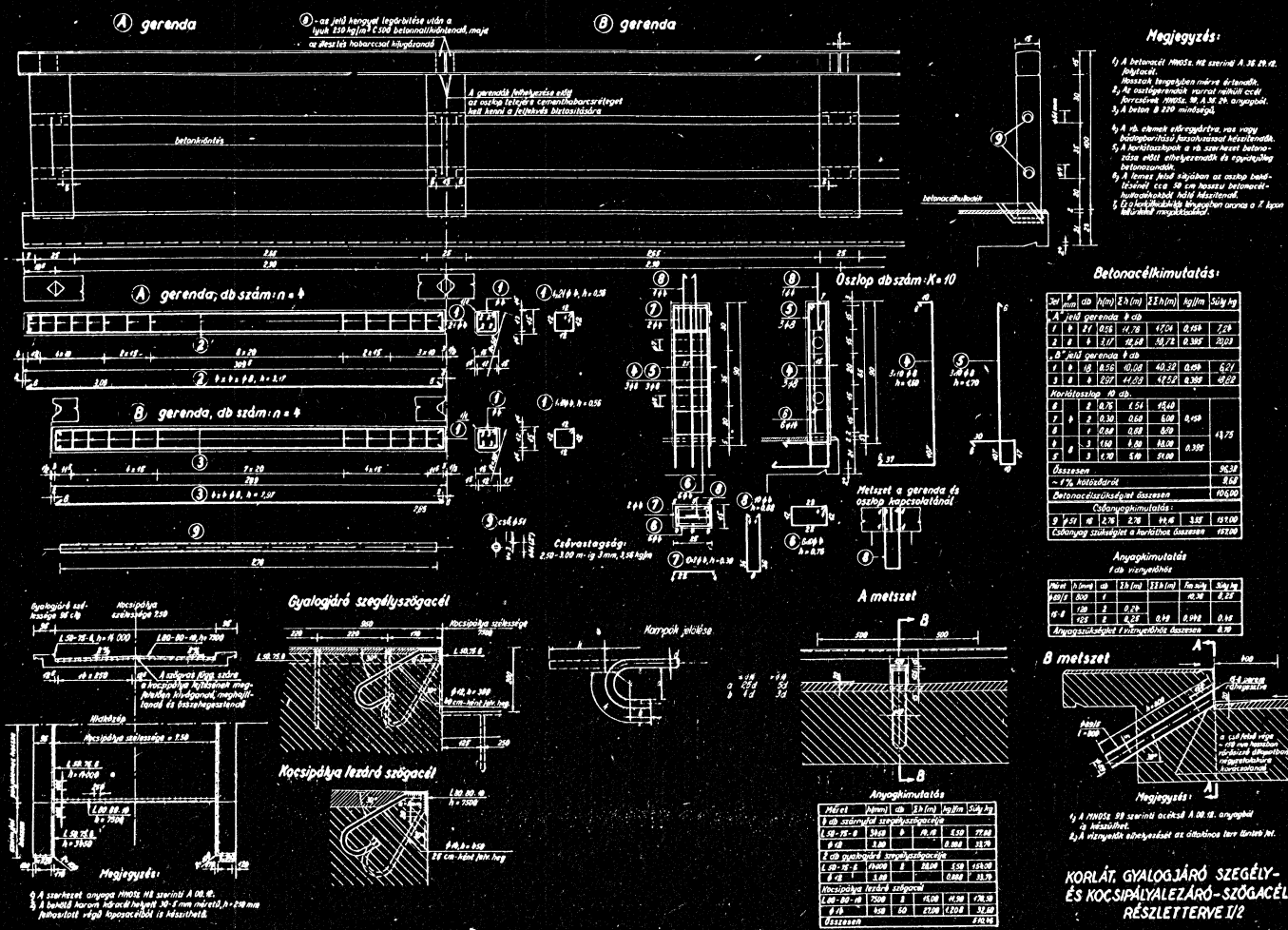


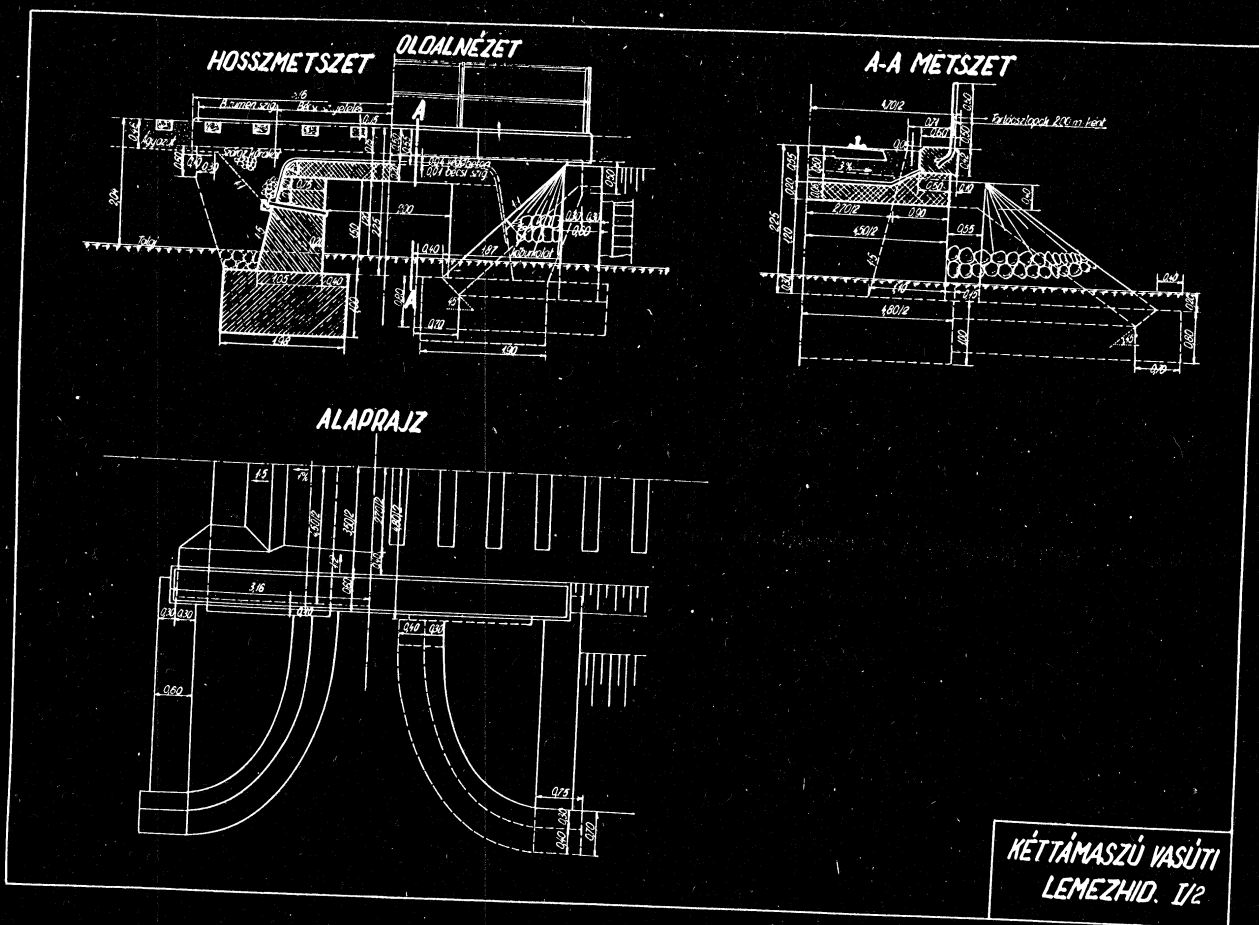




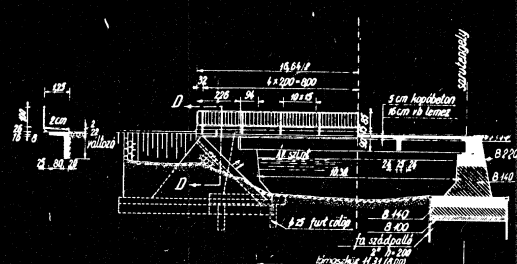


PÁLYALEMEZ RÉSZLETTERVE.
I/2





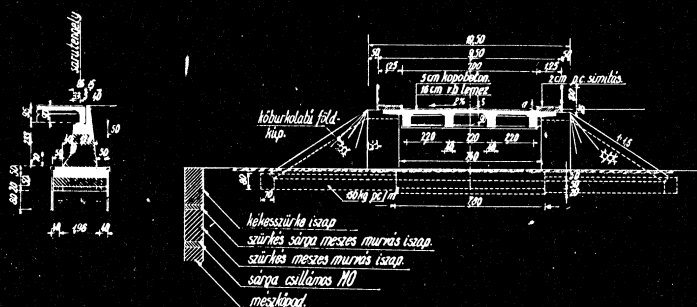
O-O metszet.



Nézet.

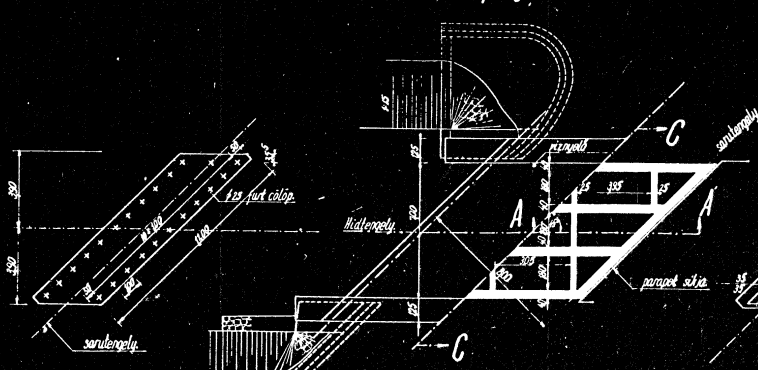


β - β metszet.

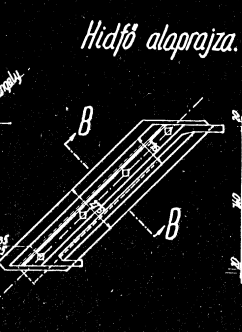


C-C metszet.

Cölöpkiosztás.



Alaprajz.

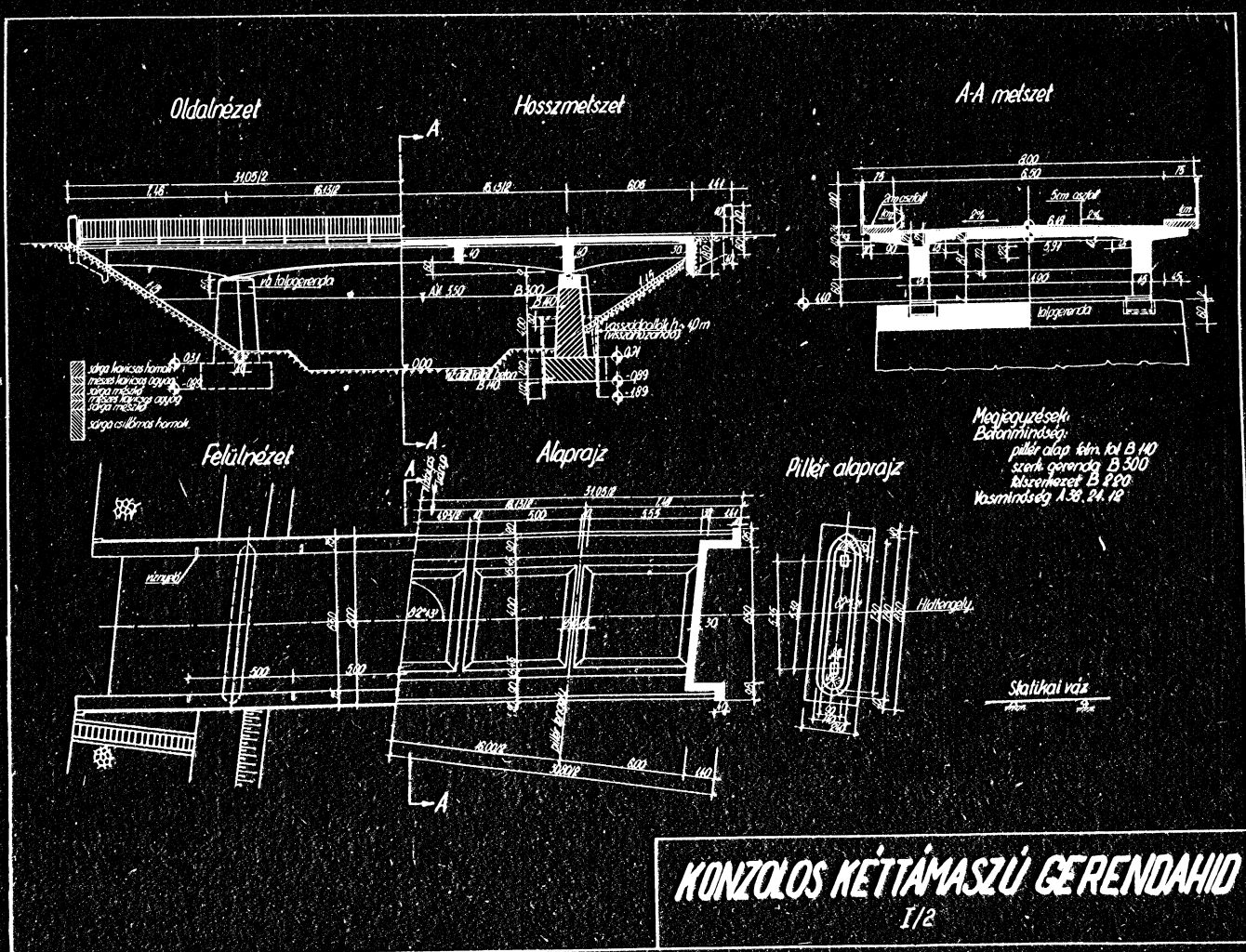


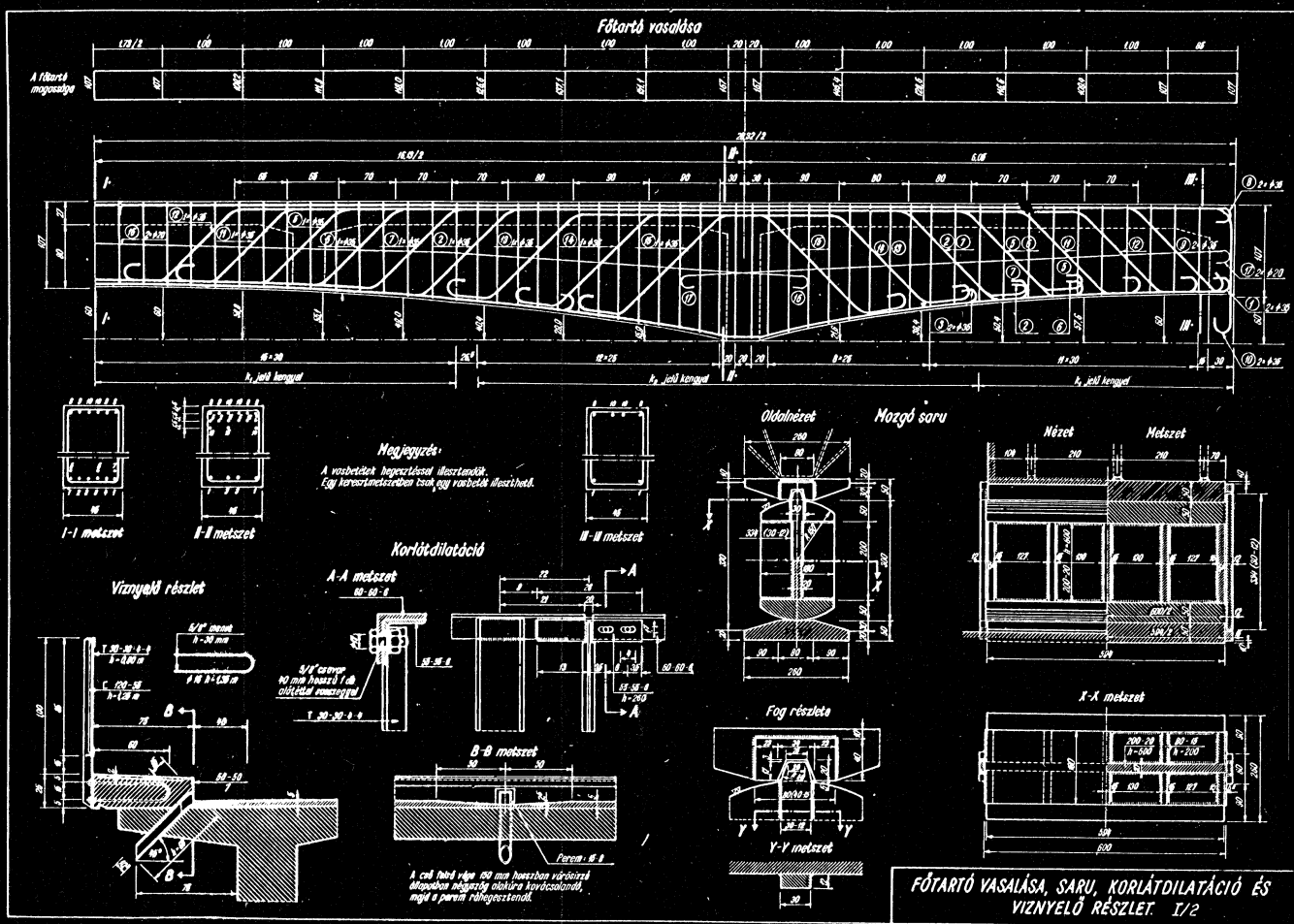
Hidfö gloomiza

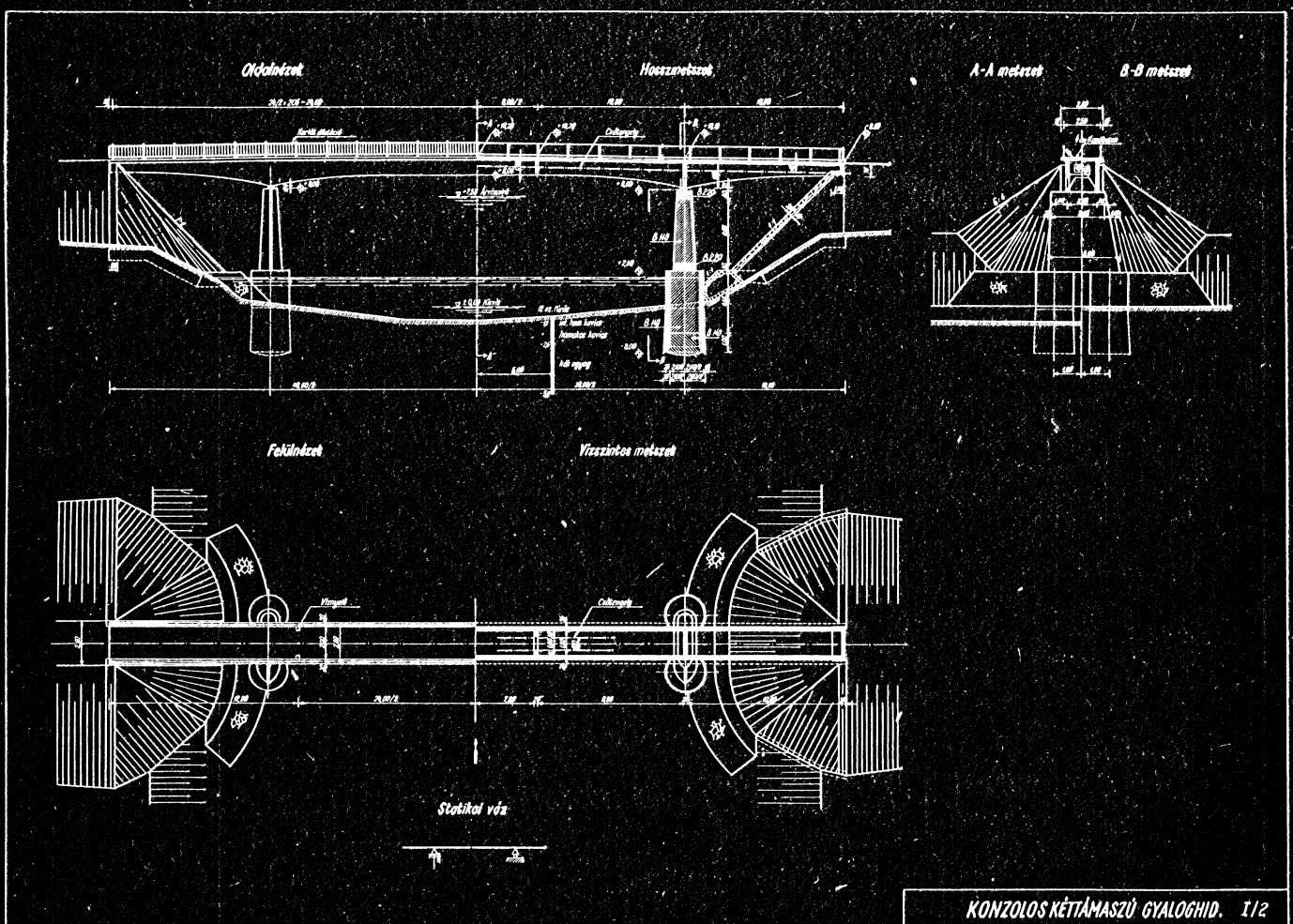


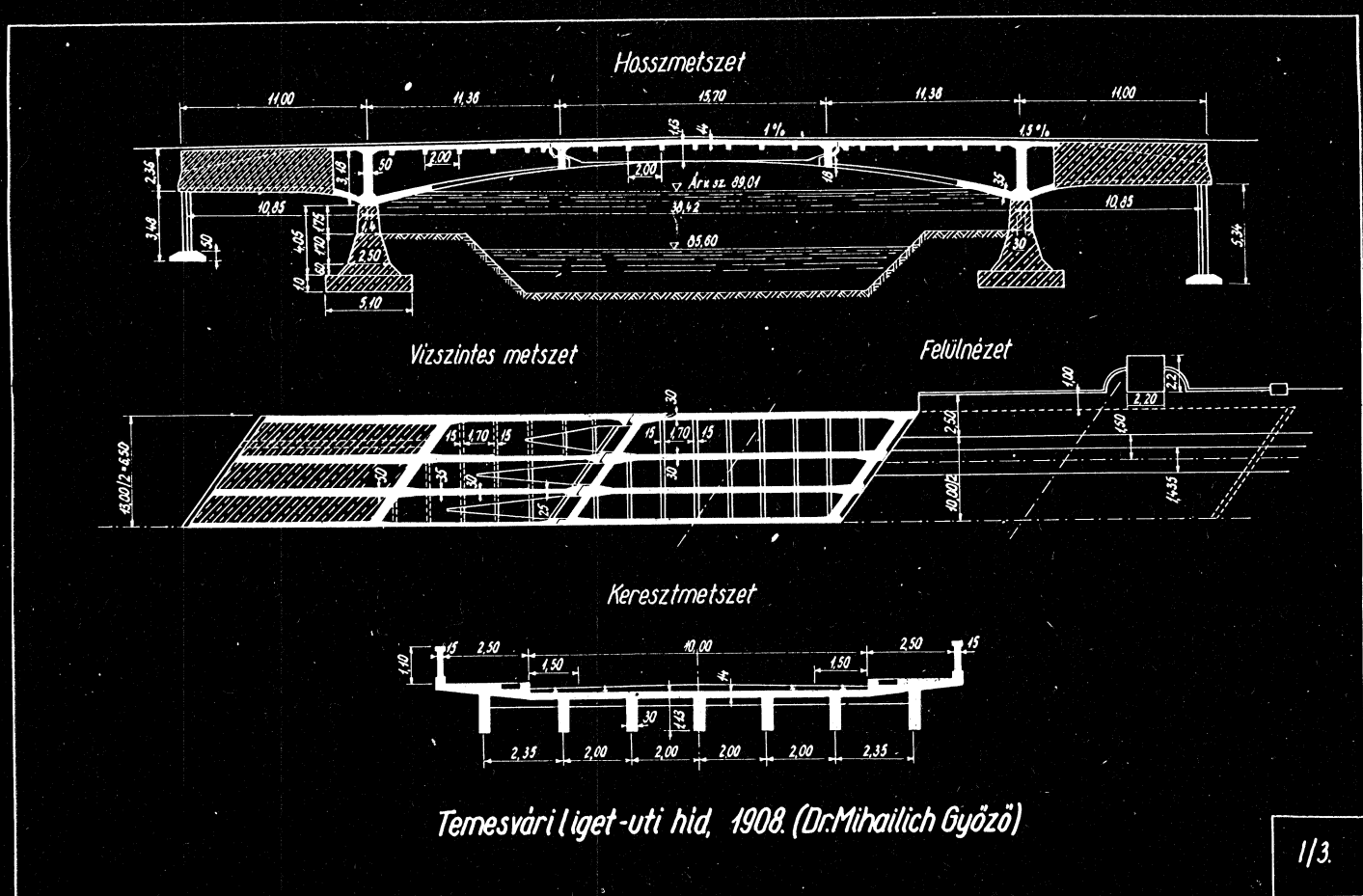
Terhélezés: B-C

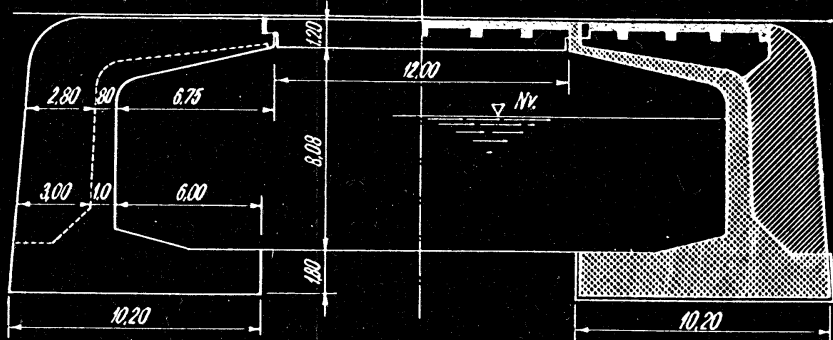
KÉTTÁMASZÚ BORDÁS
HÍD. I/2



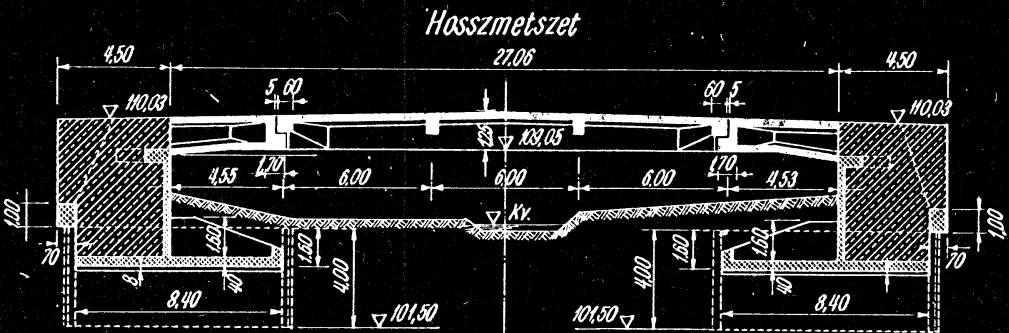




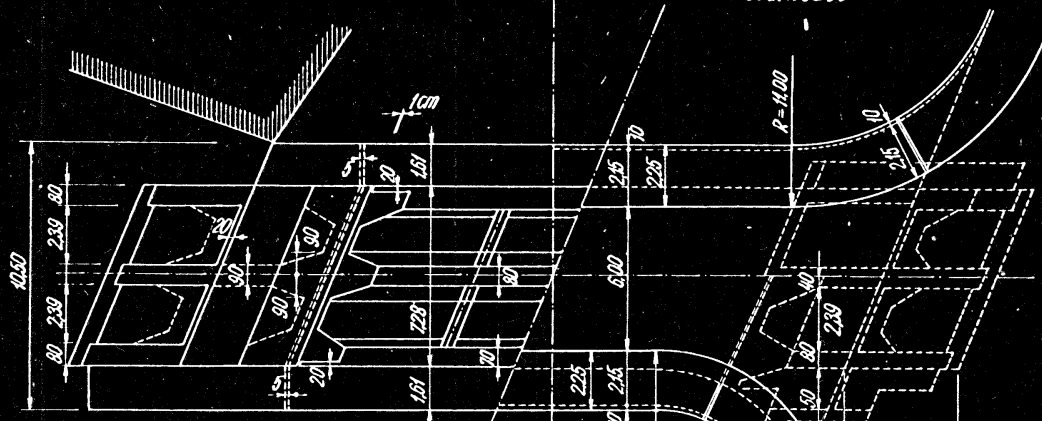




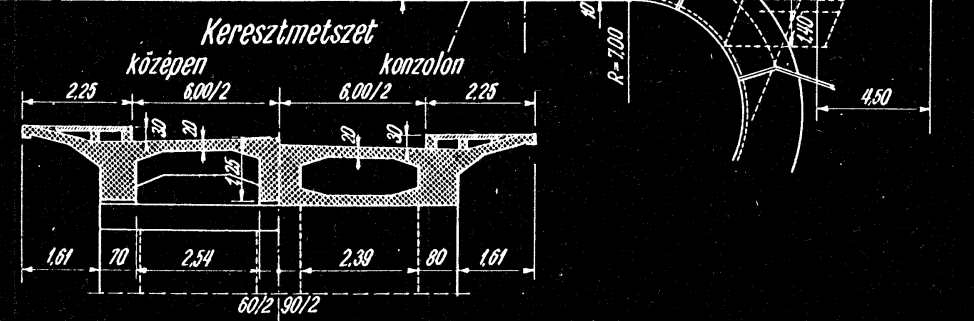
Laibachi Szent Jakab-híd (K. 1928. 82. oldal)



Alulnézet

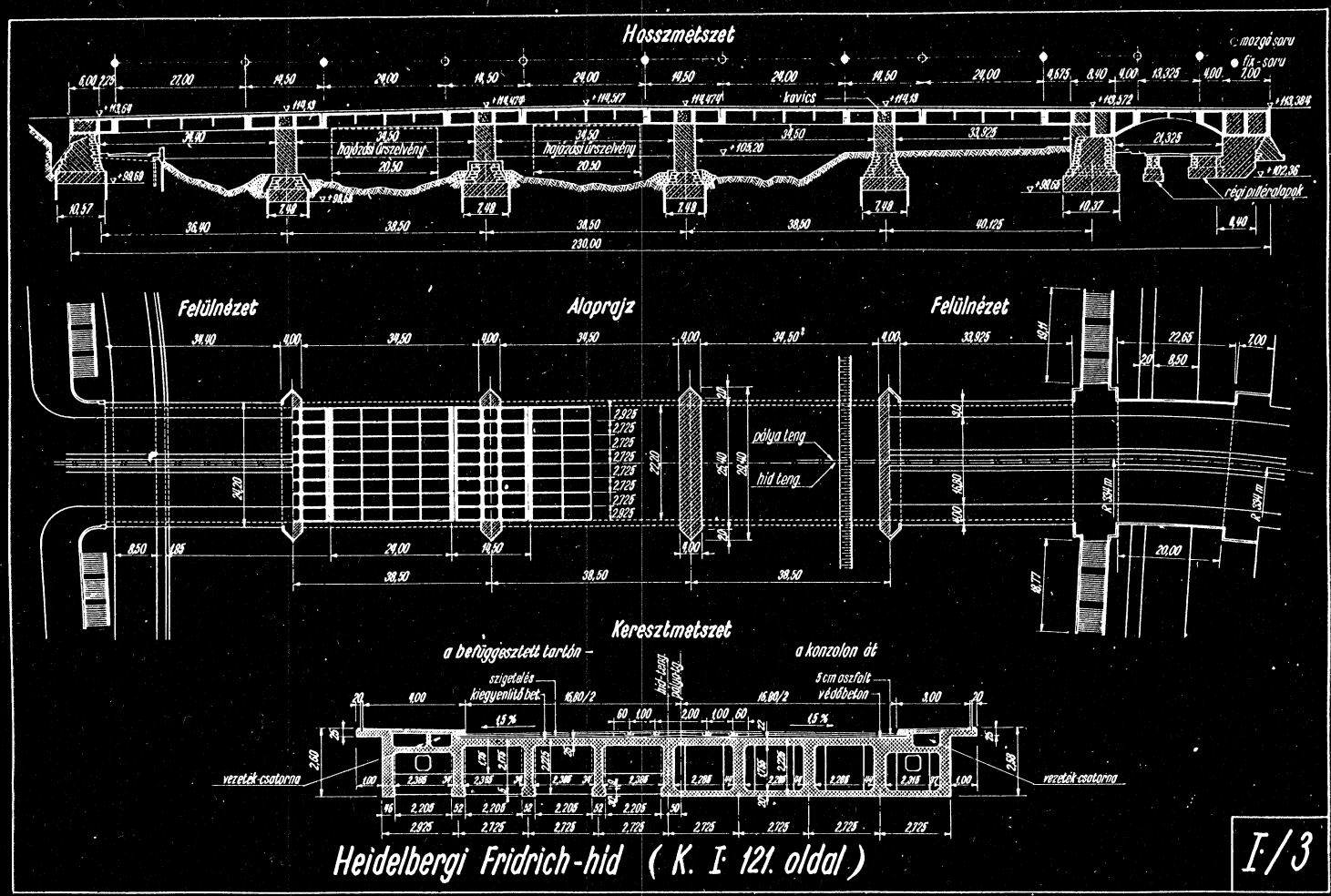


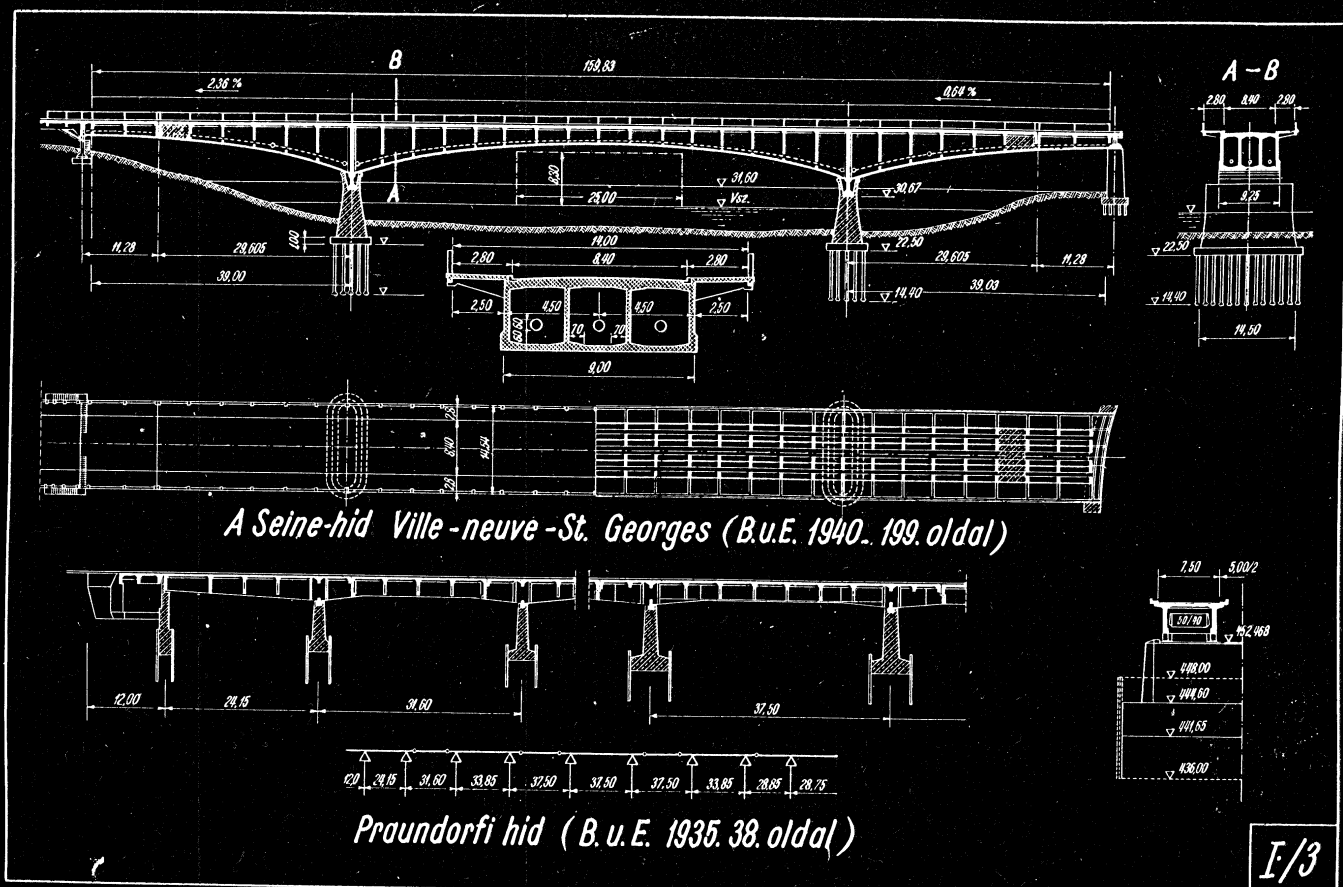
Felülnézet

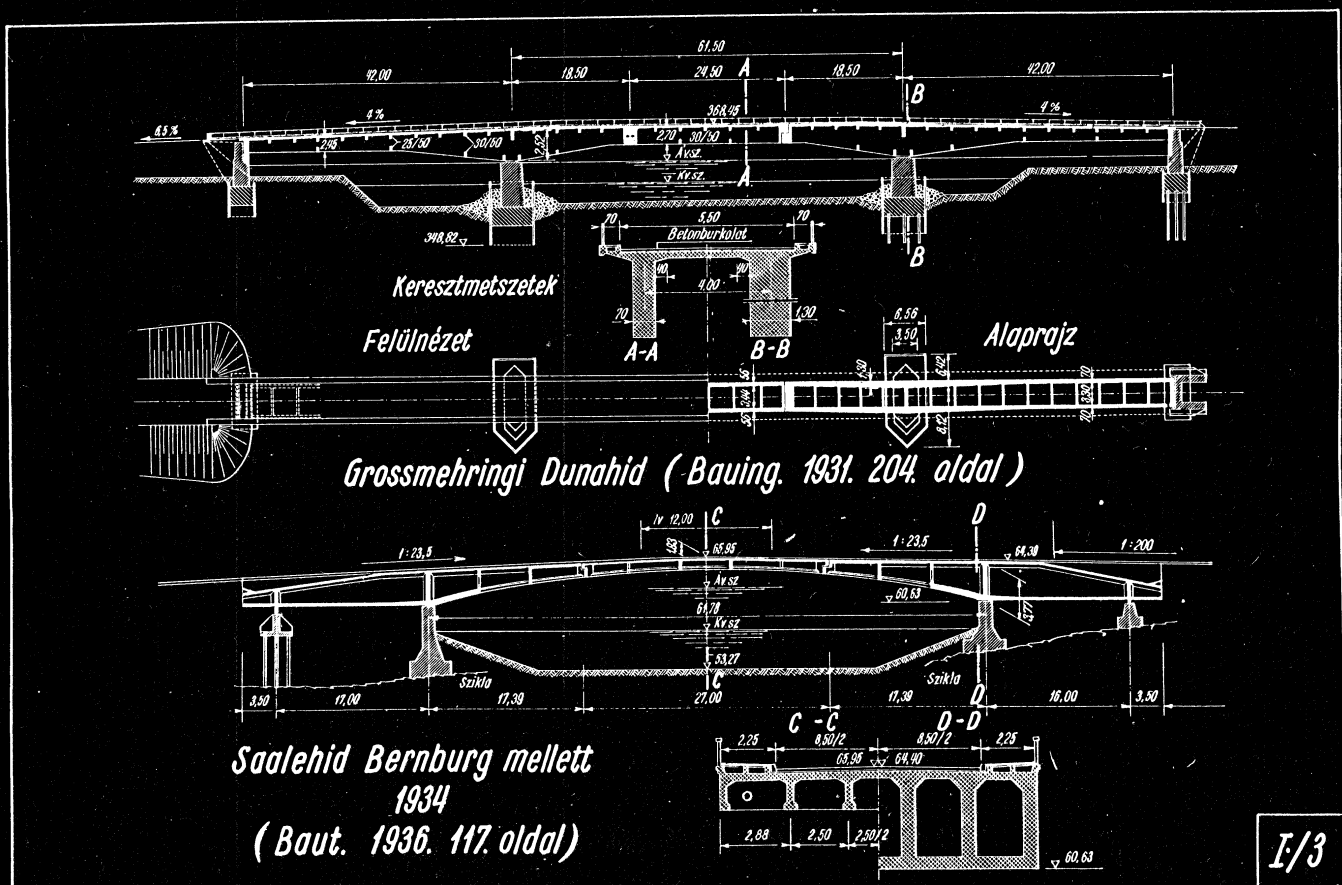


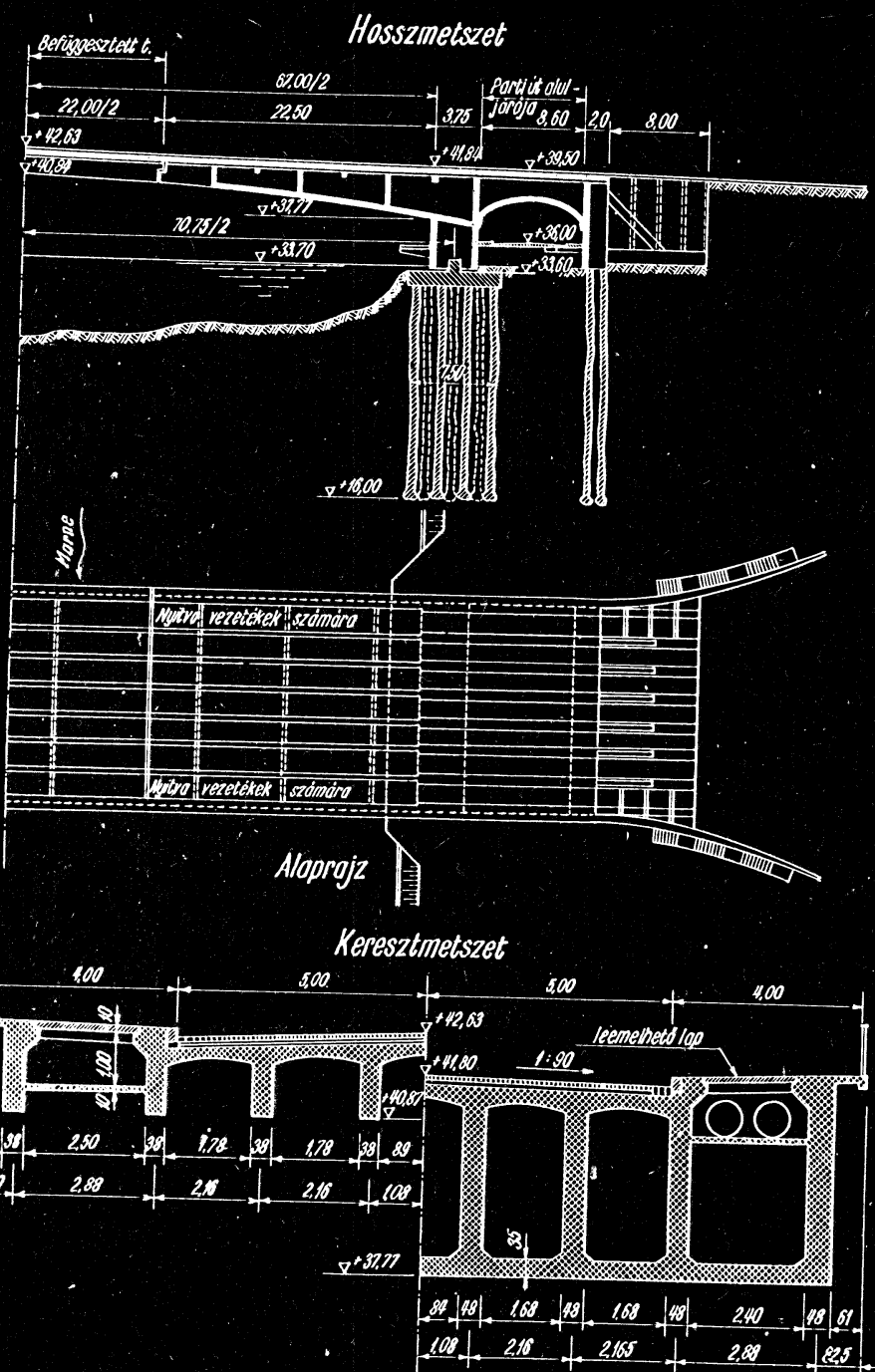
Weinheimi Weschnitz-hid (Baut. 1931. 732.oldal)

I/3



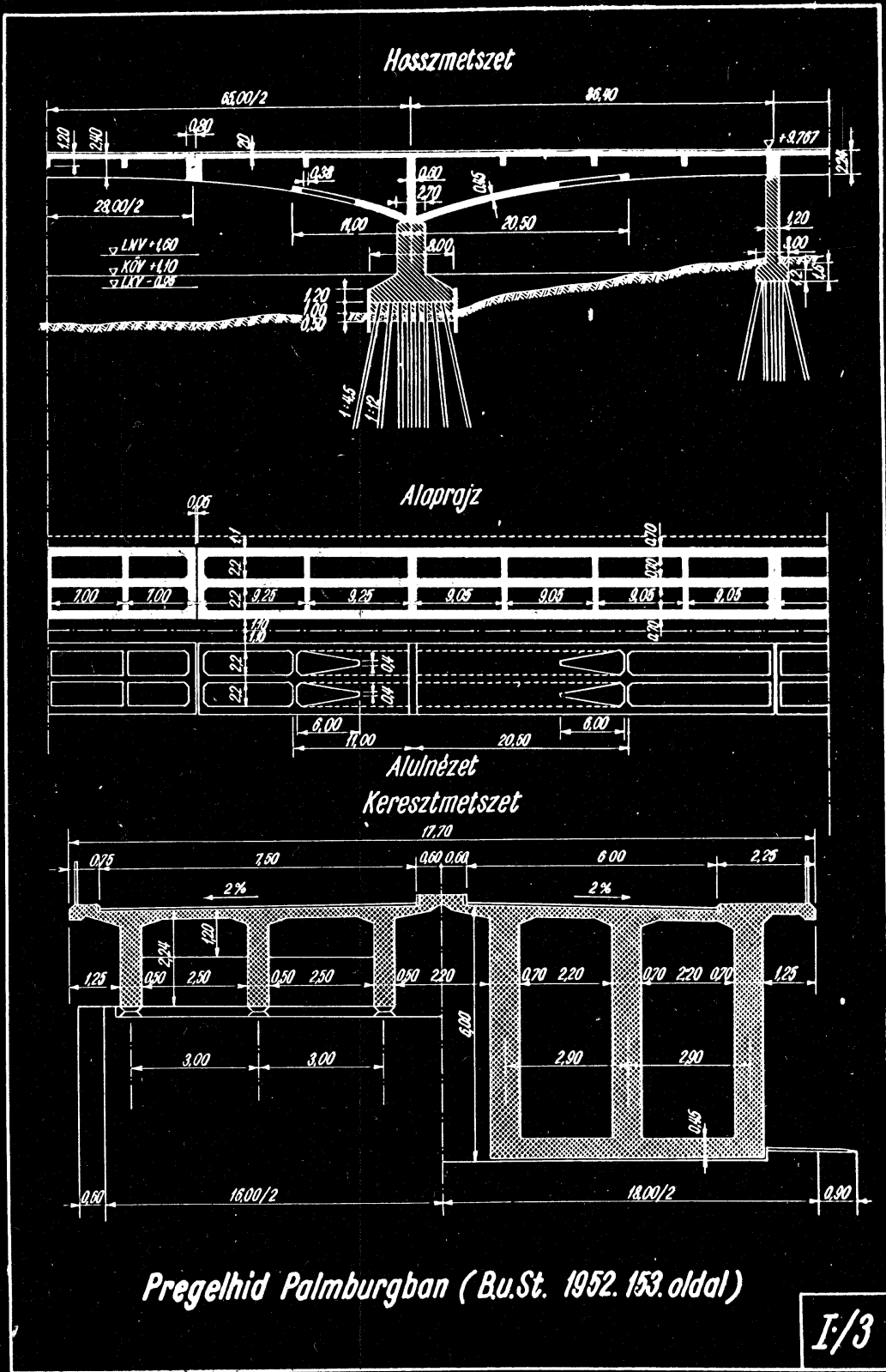


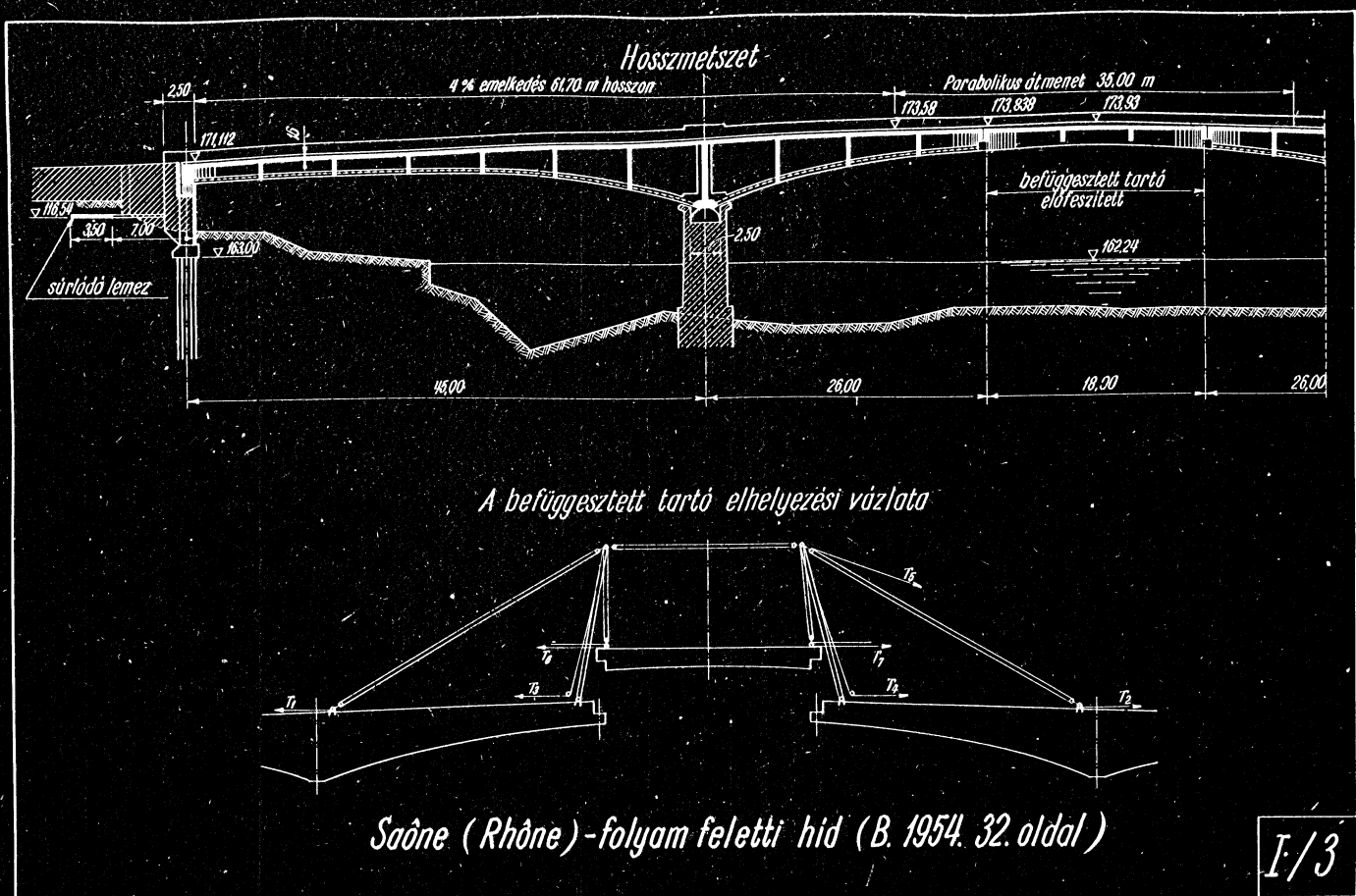


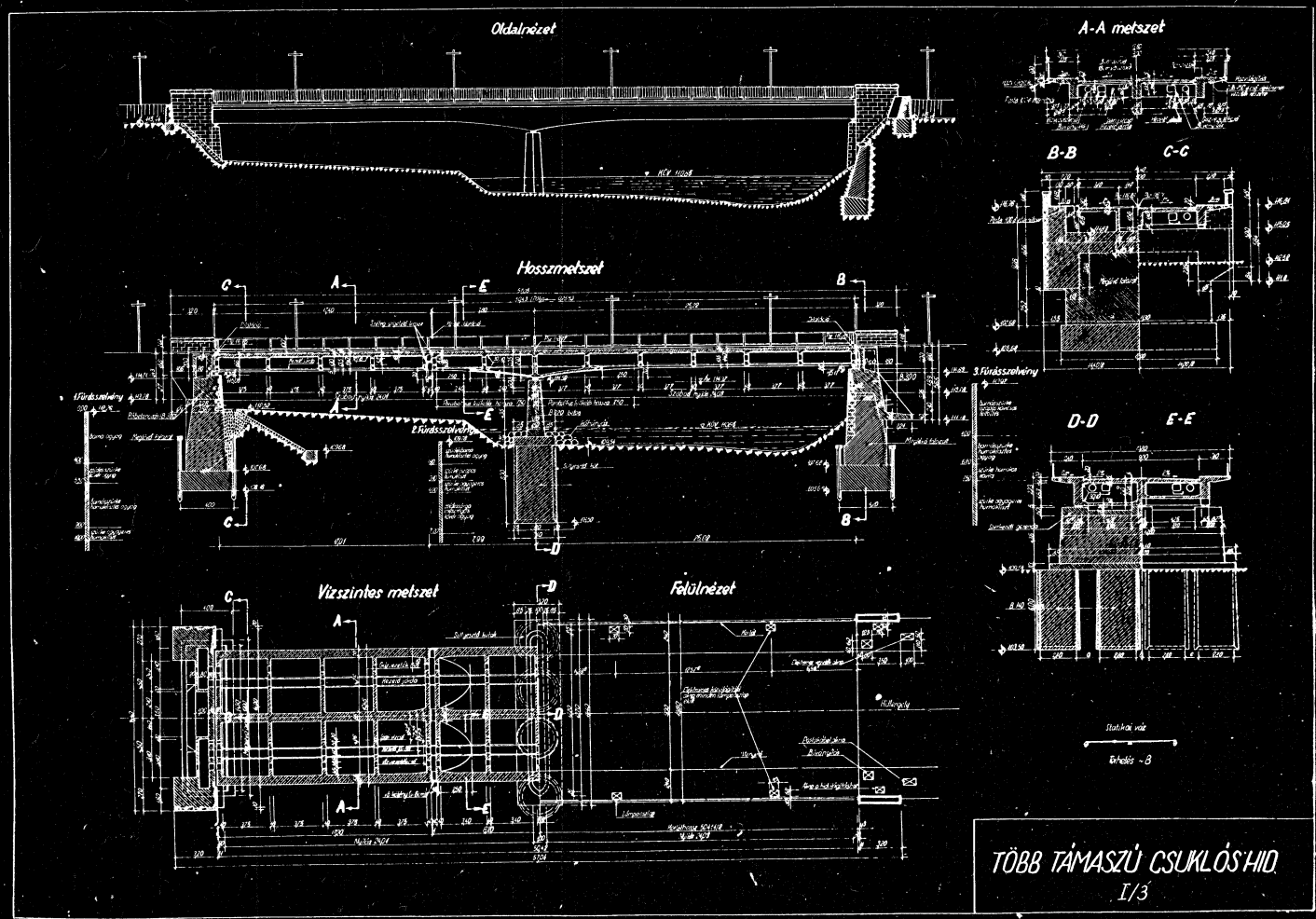


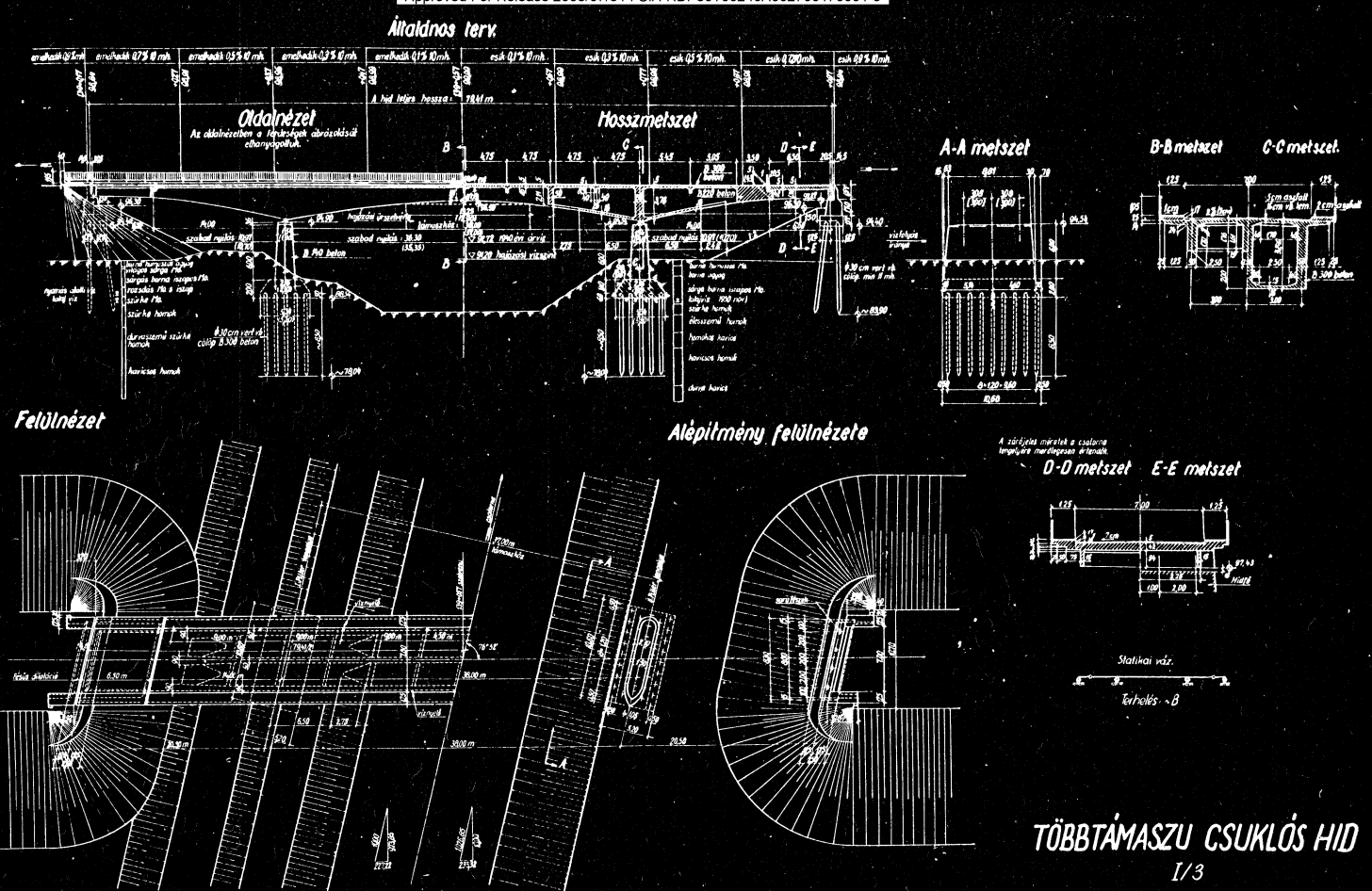
Marnehid Bry mellett (Bauing. 1939; 155. oldal)

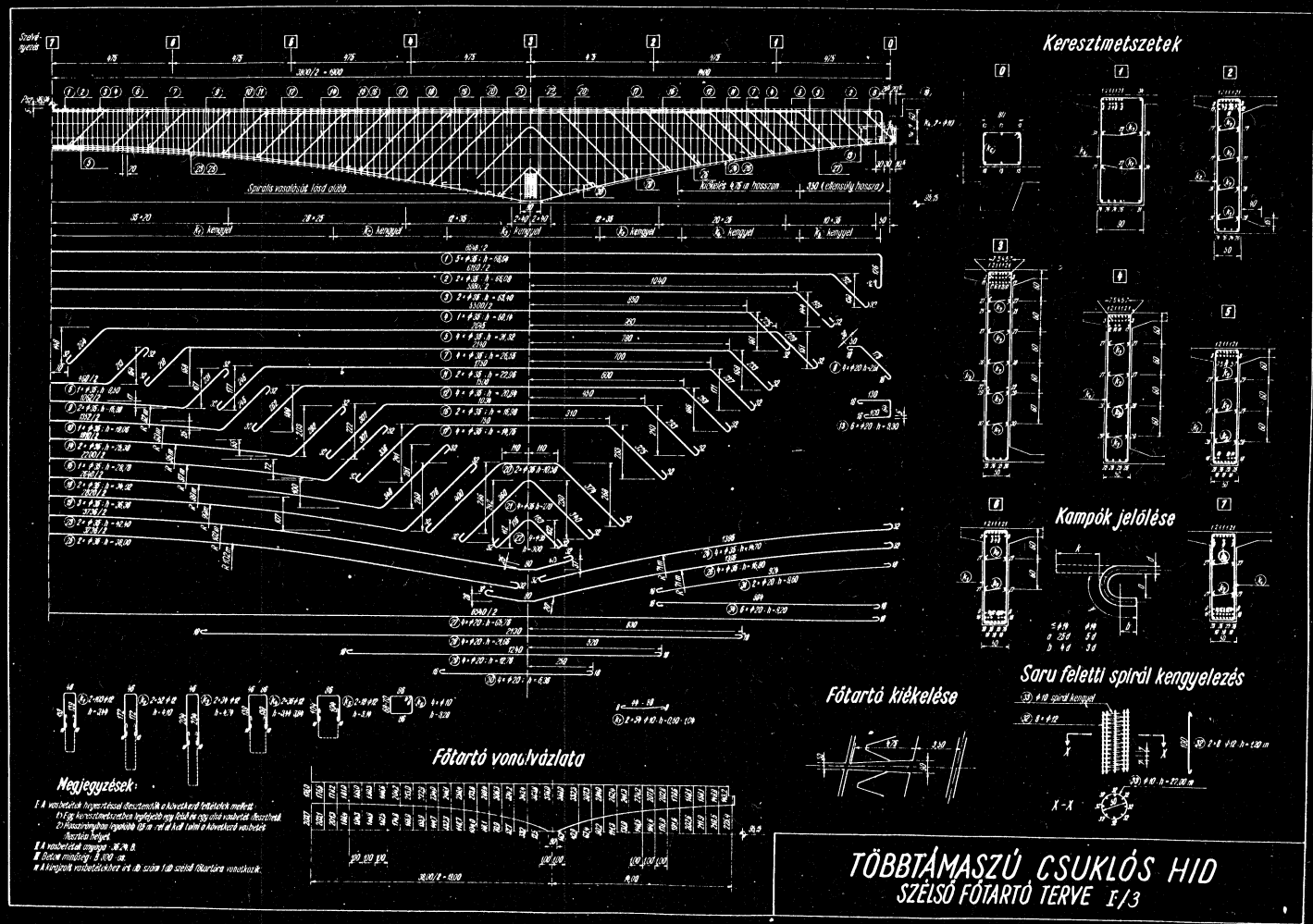
I/3

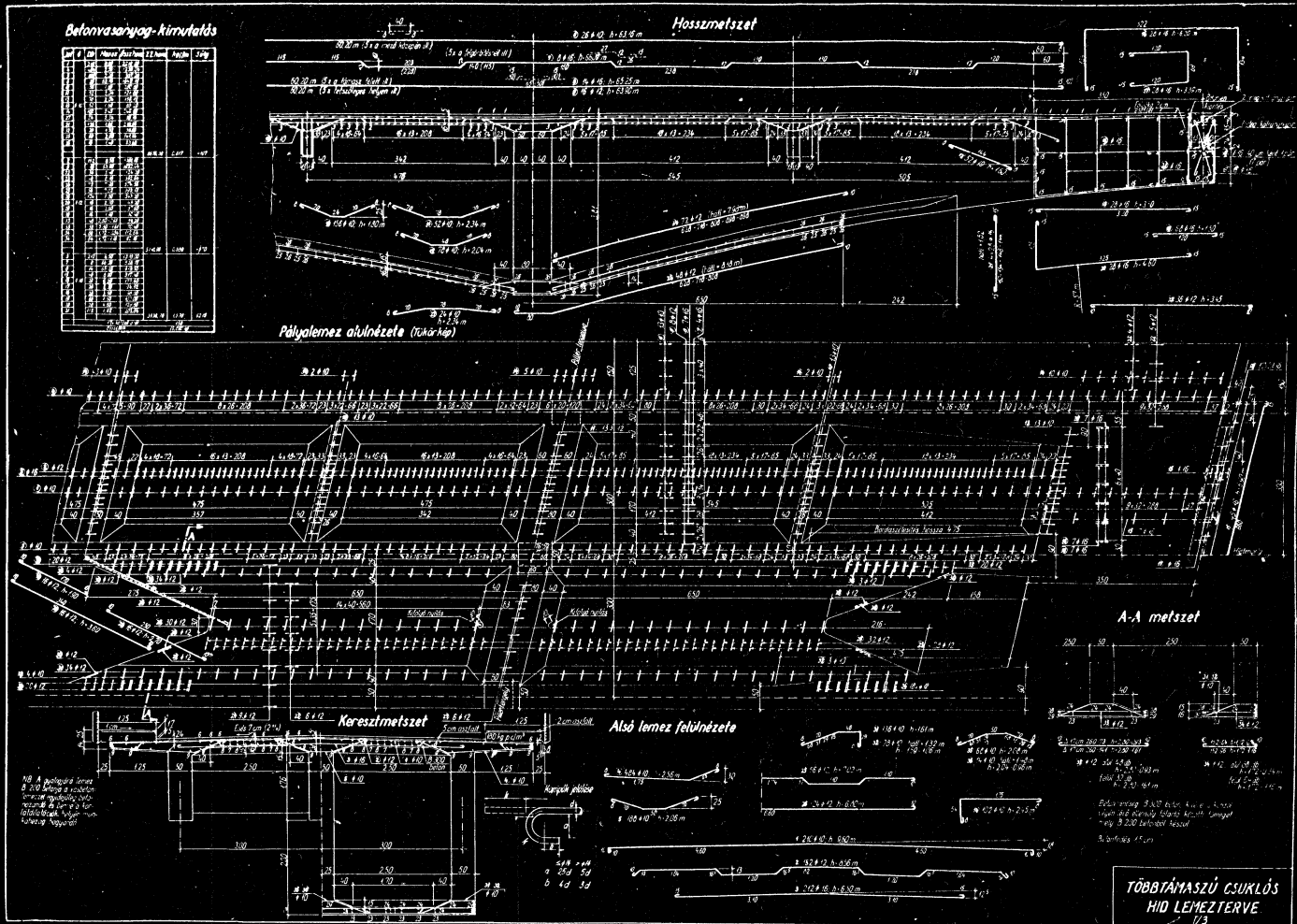


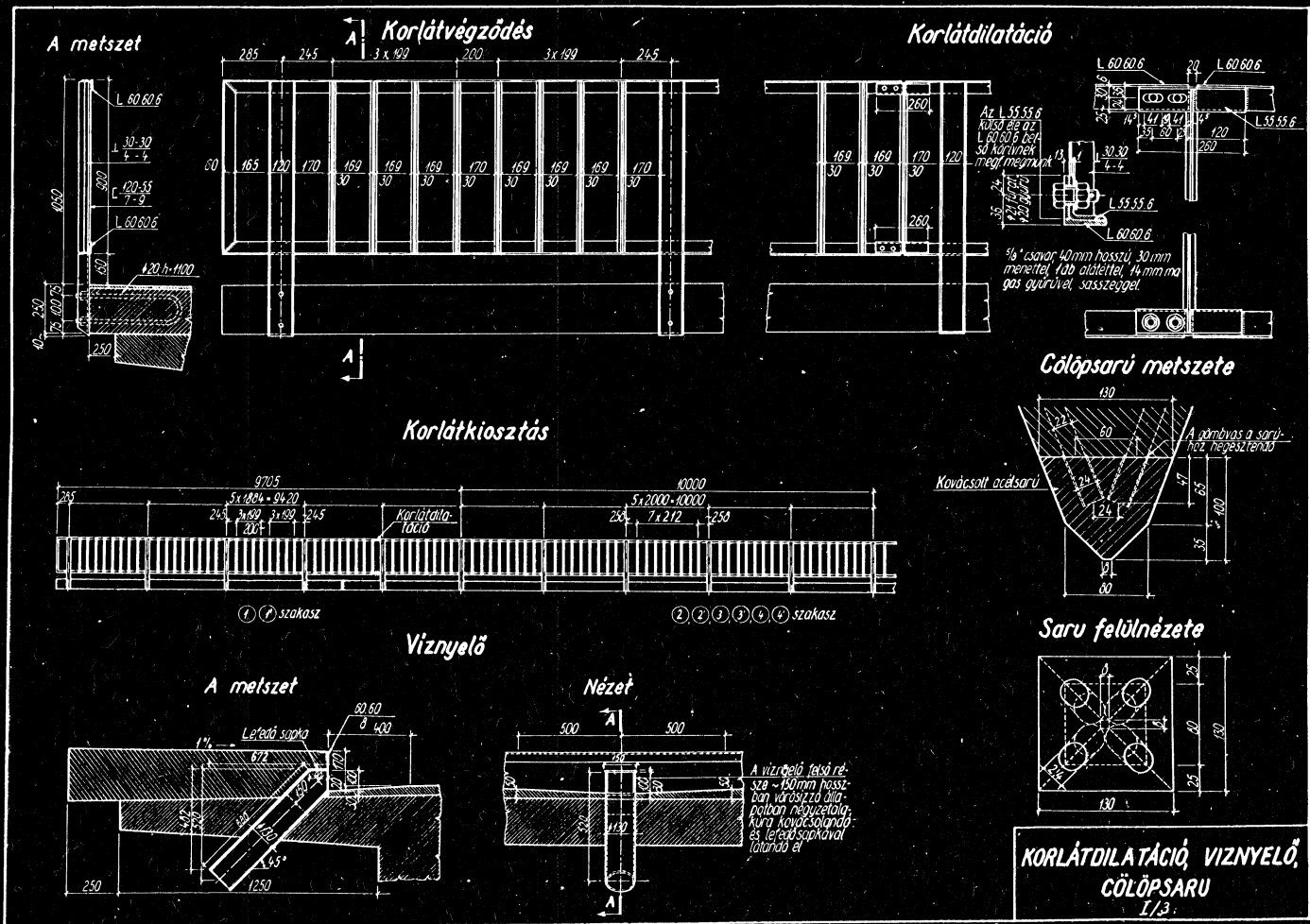


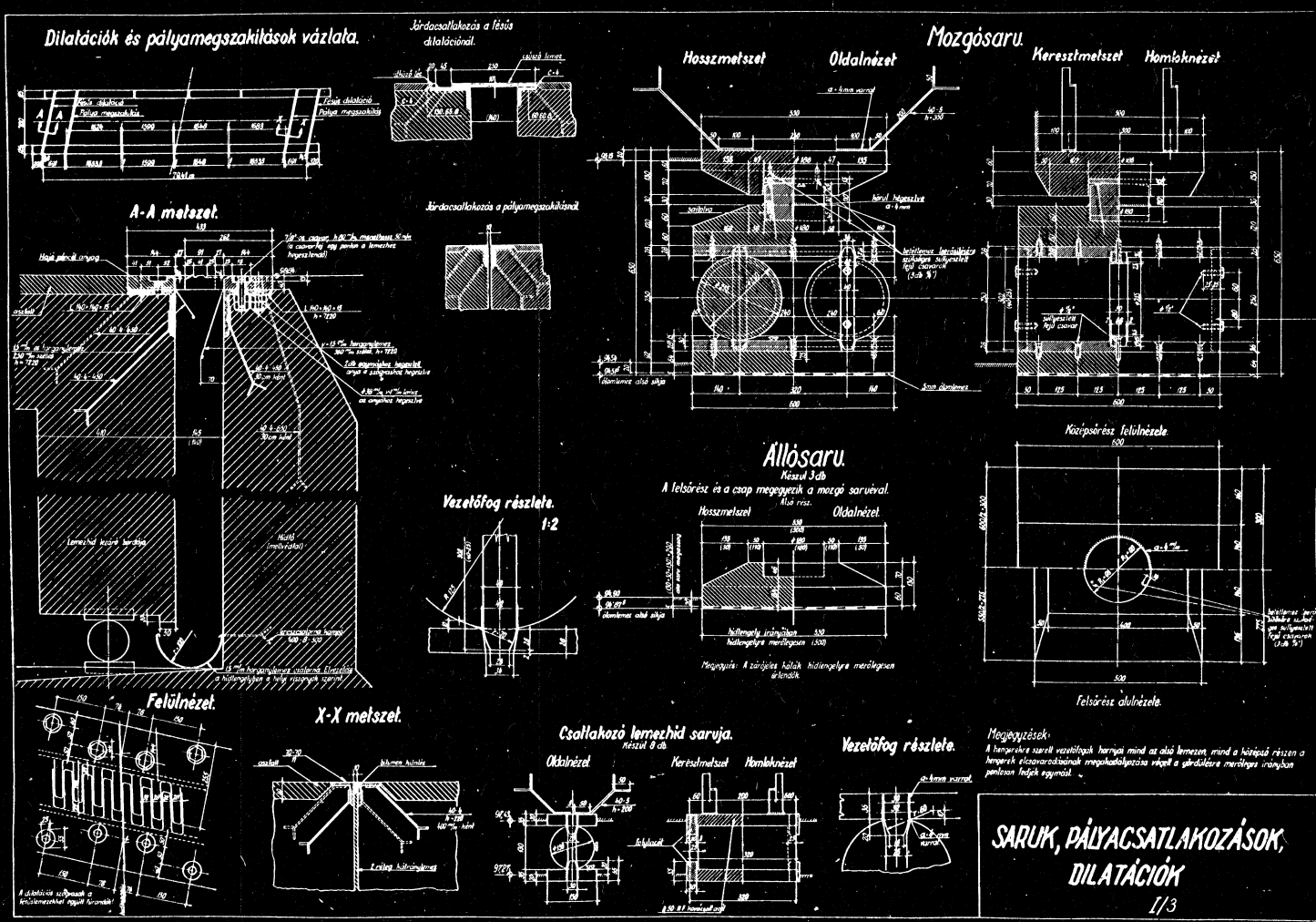


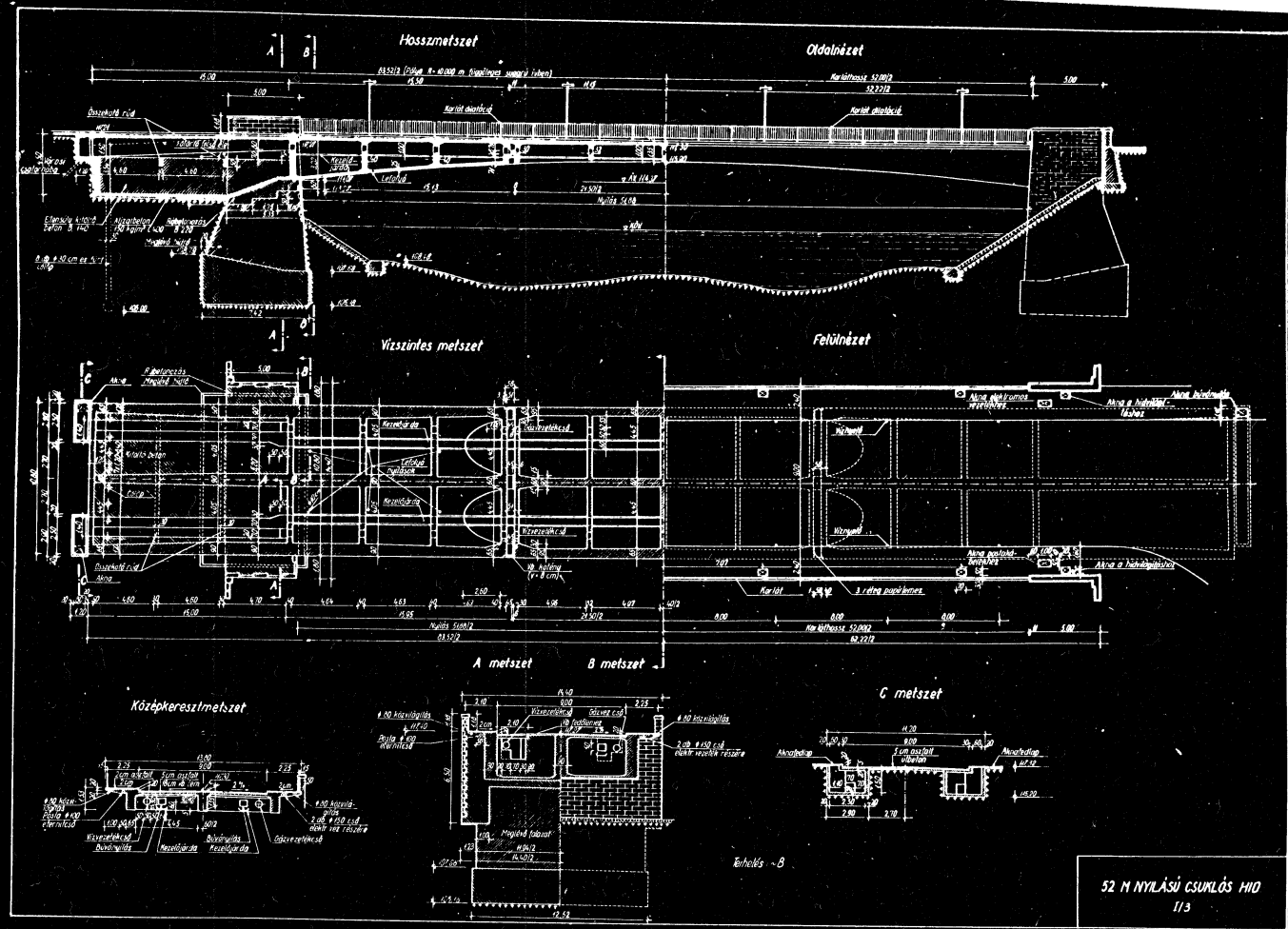


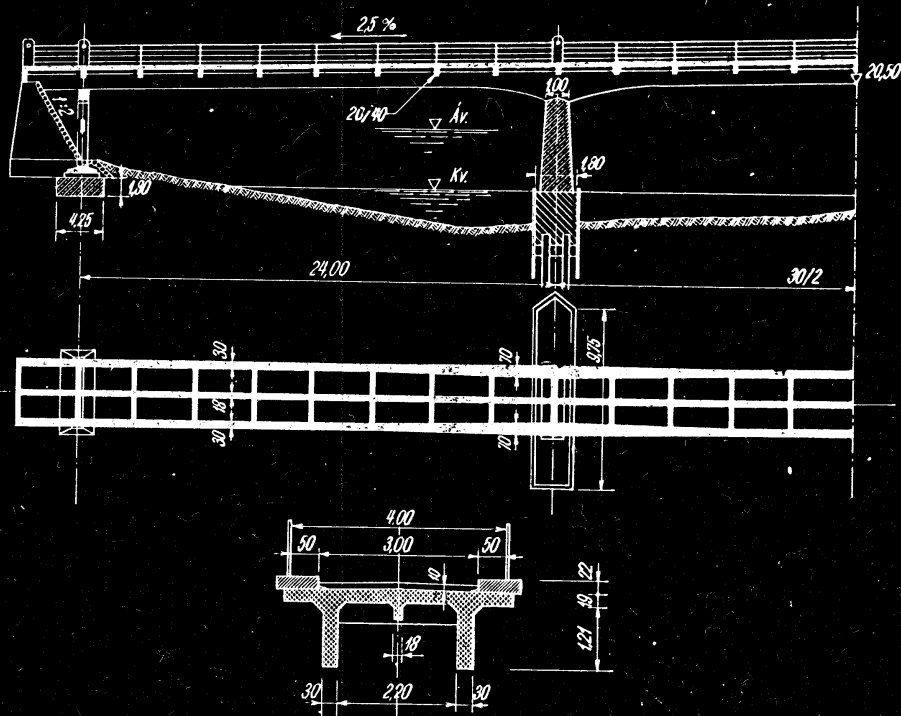




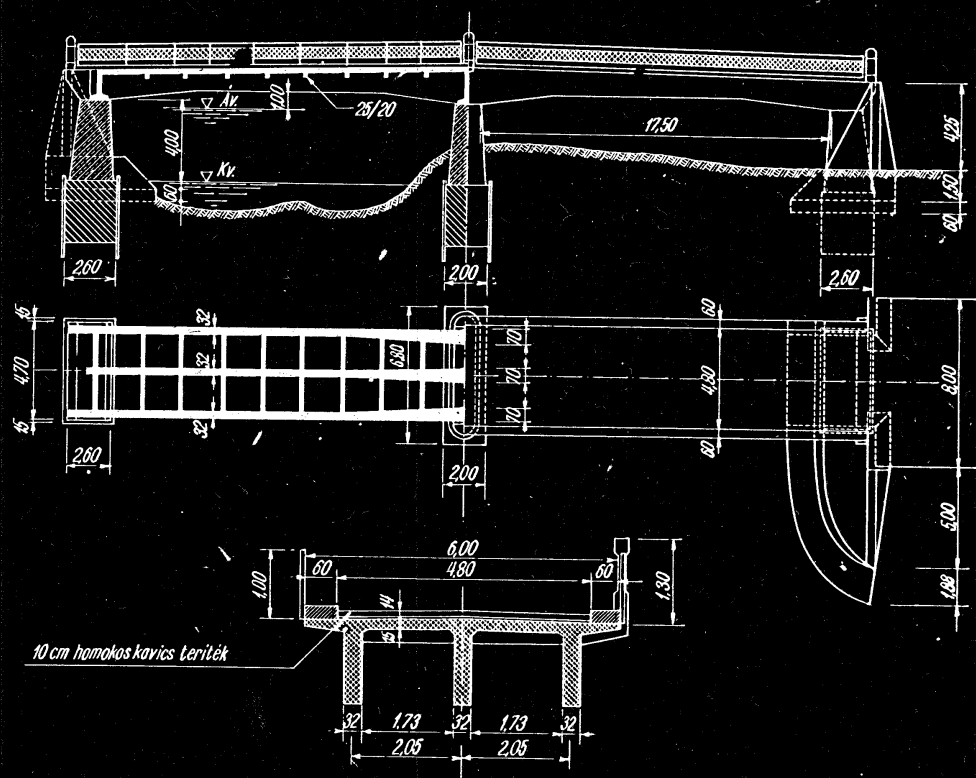






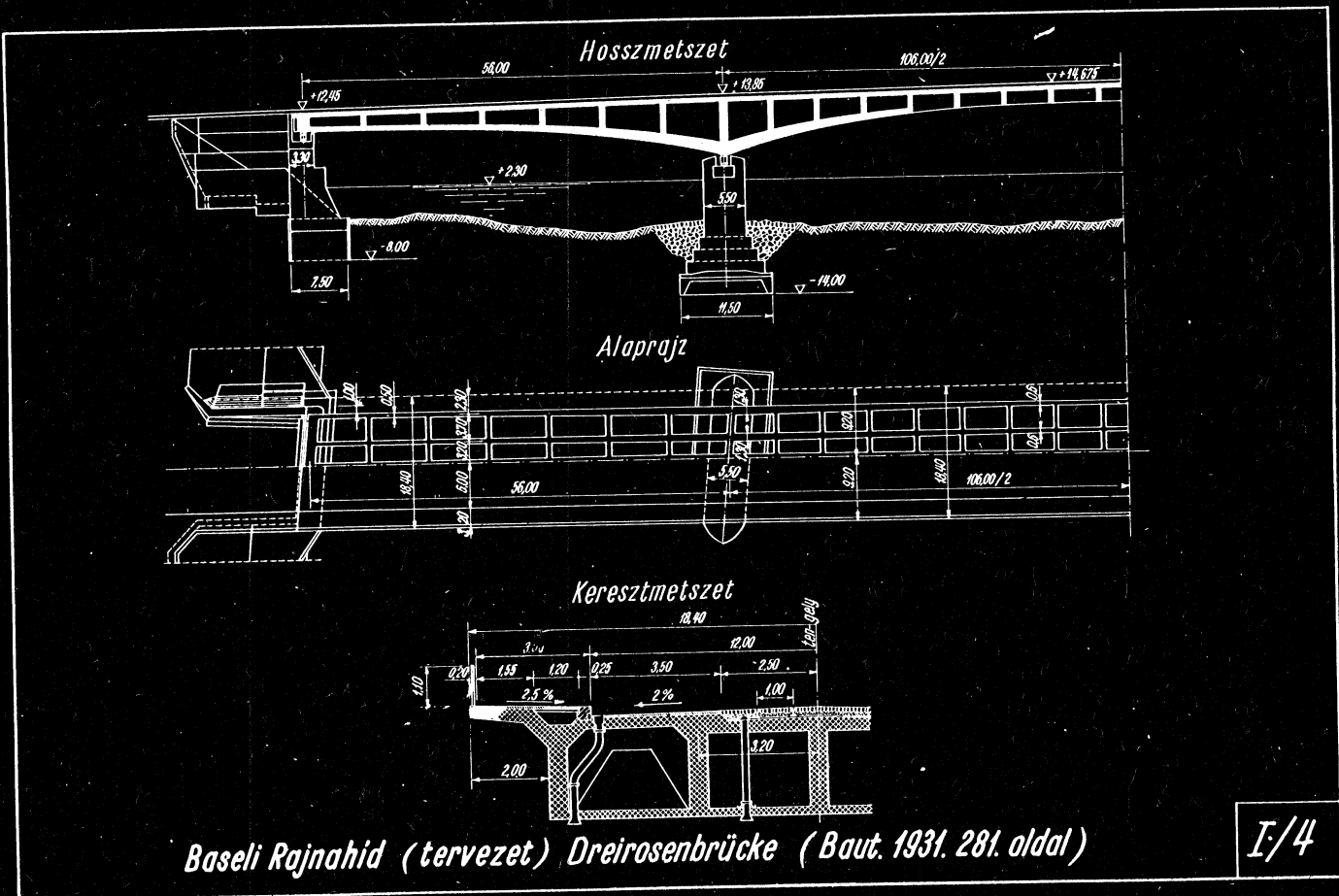


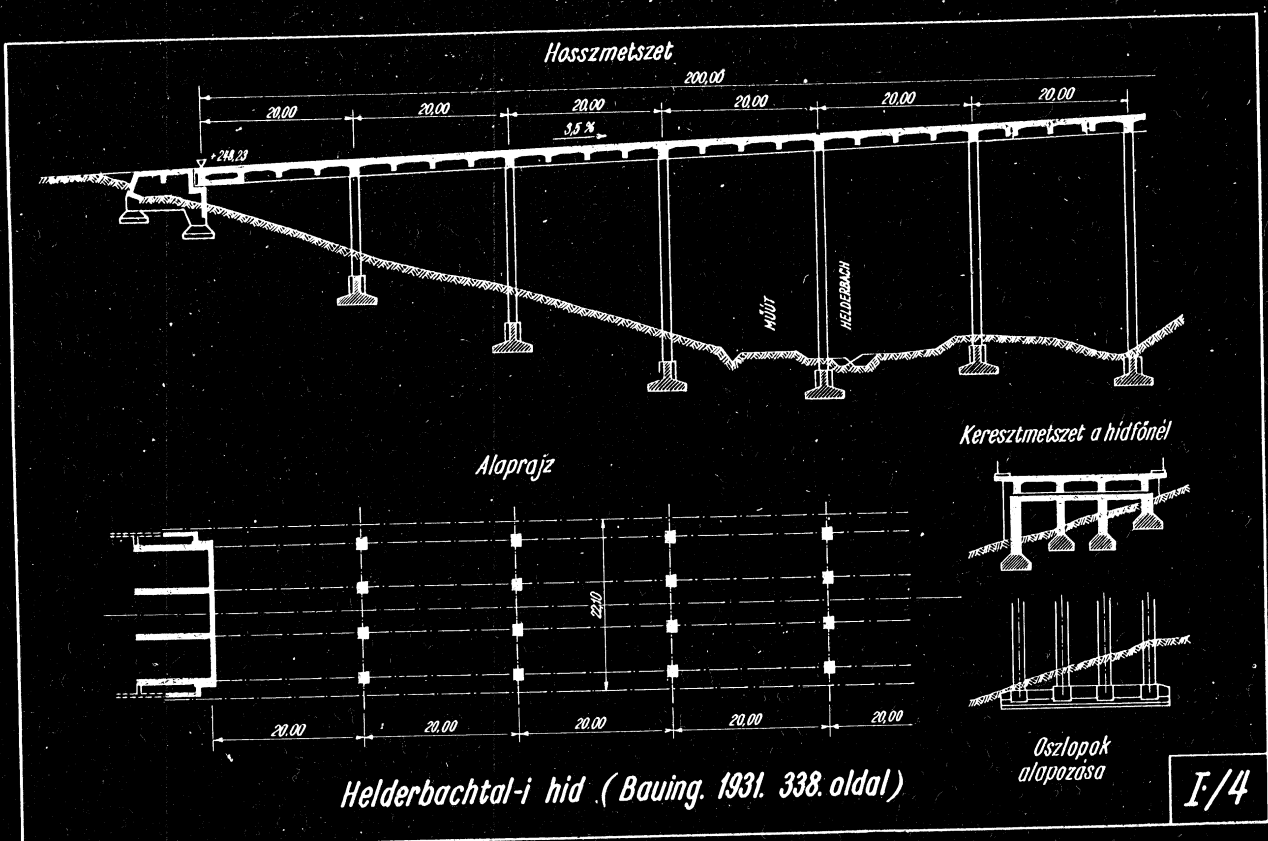
Kéméndi Garam-hid (Mi. 20.oldal)

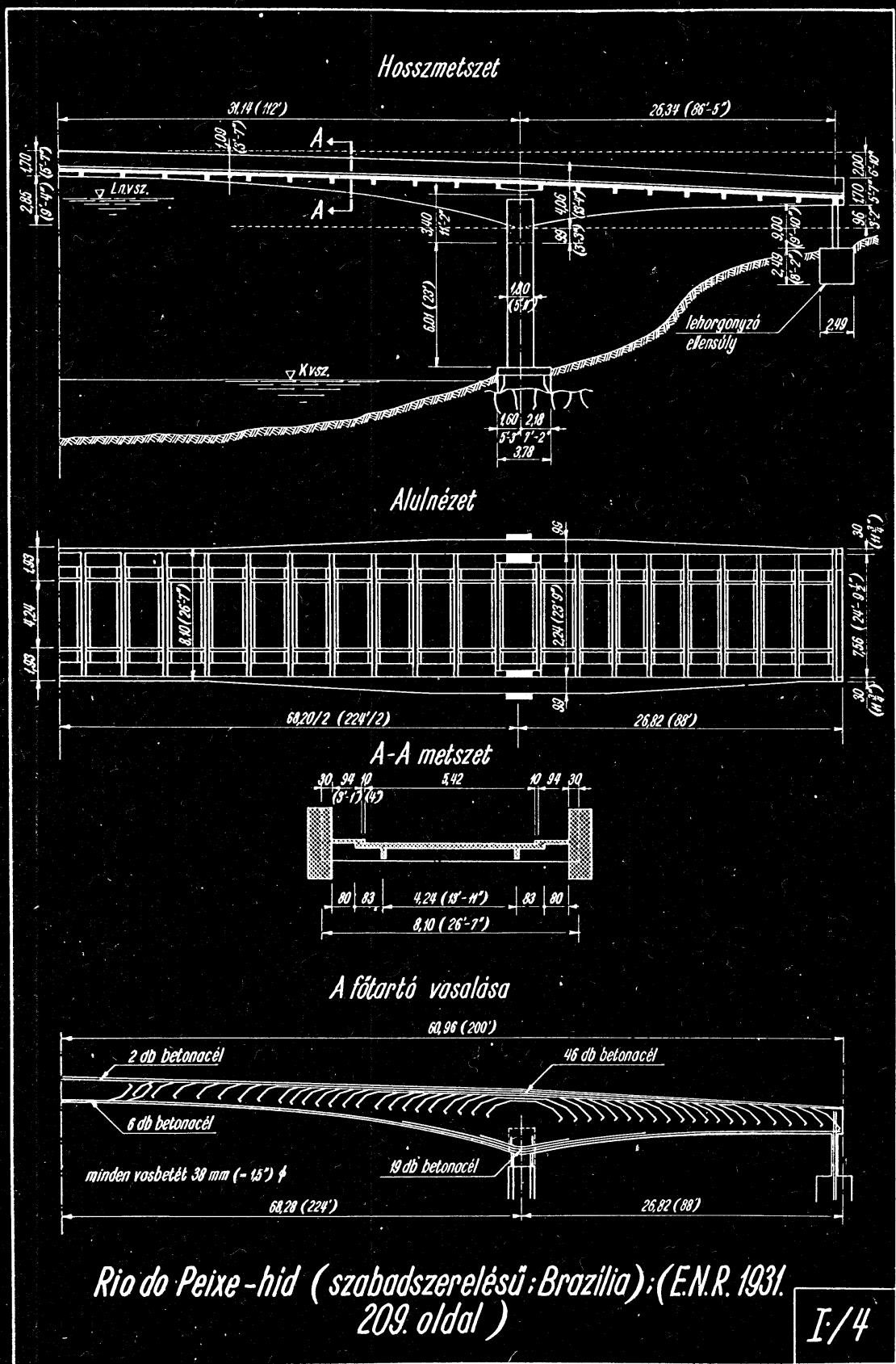


Málnási Olt-híd (Mi. 18. oldal)

I/4

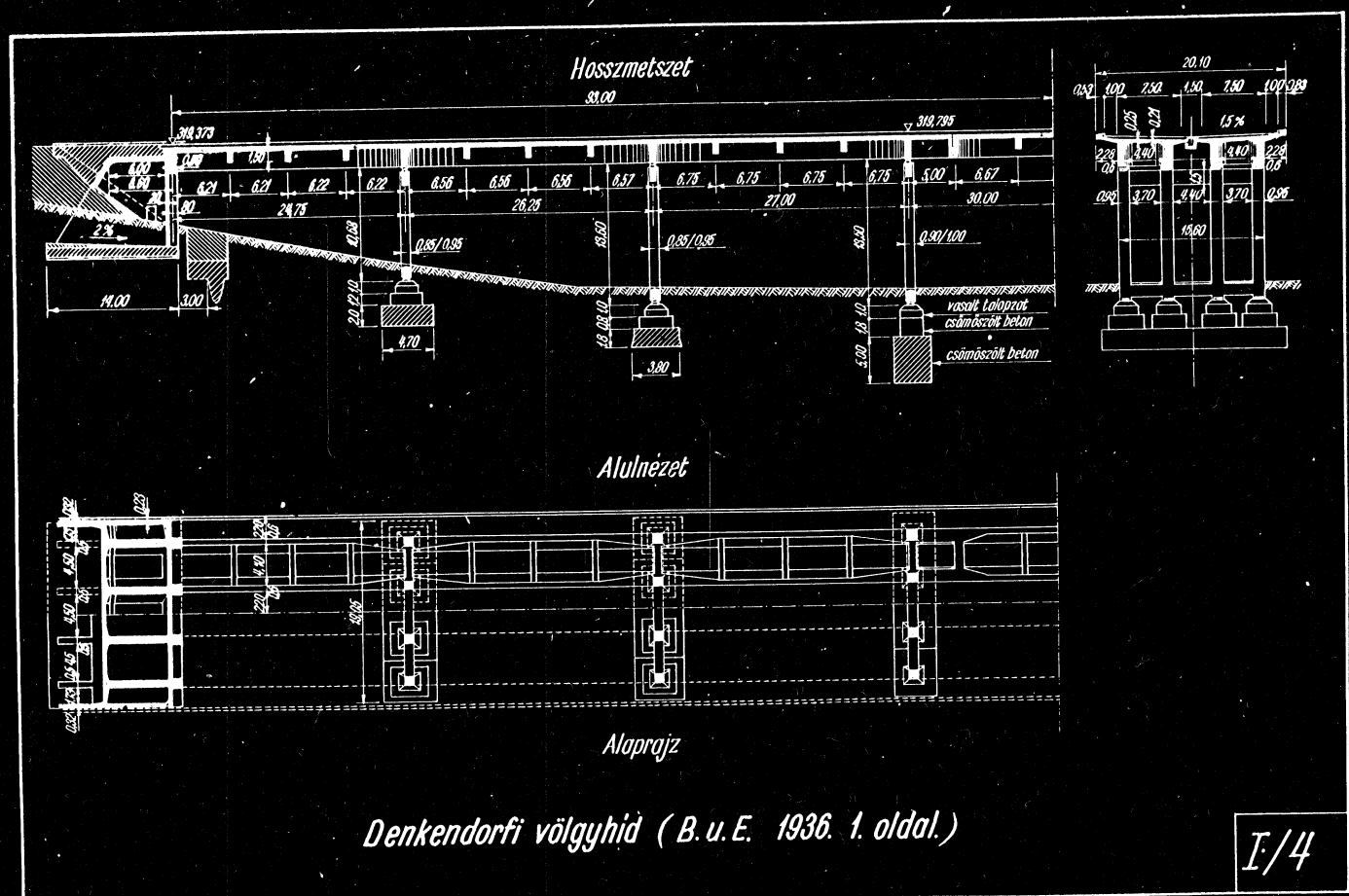


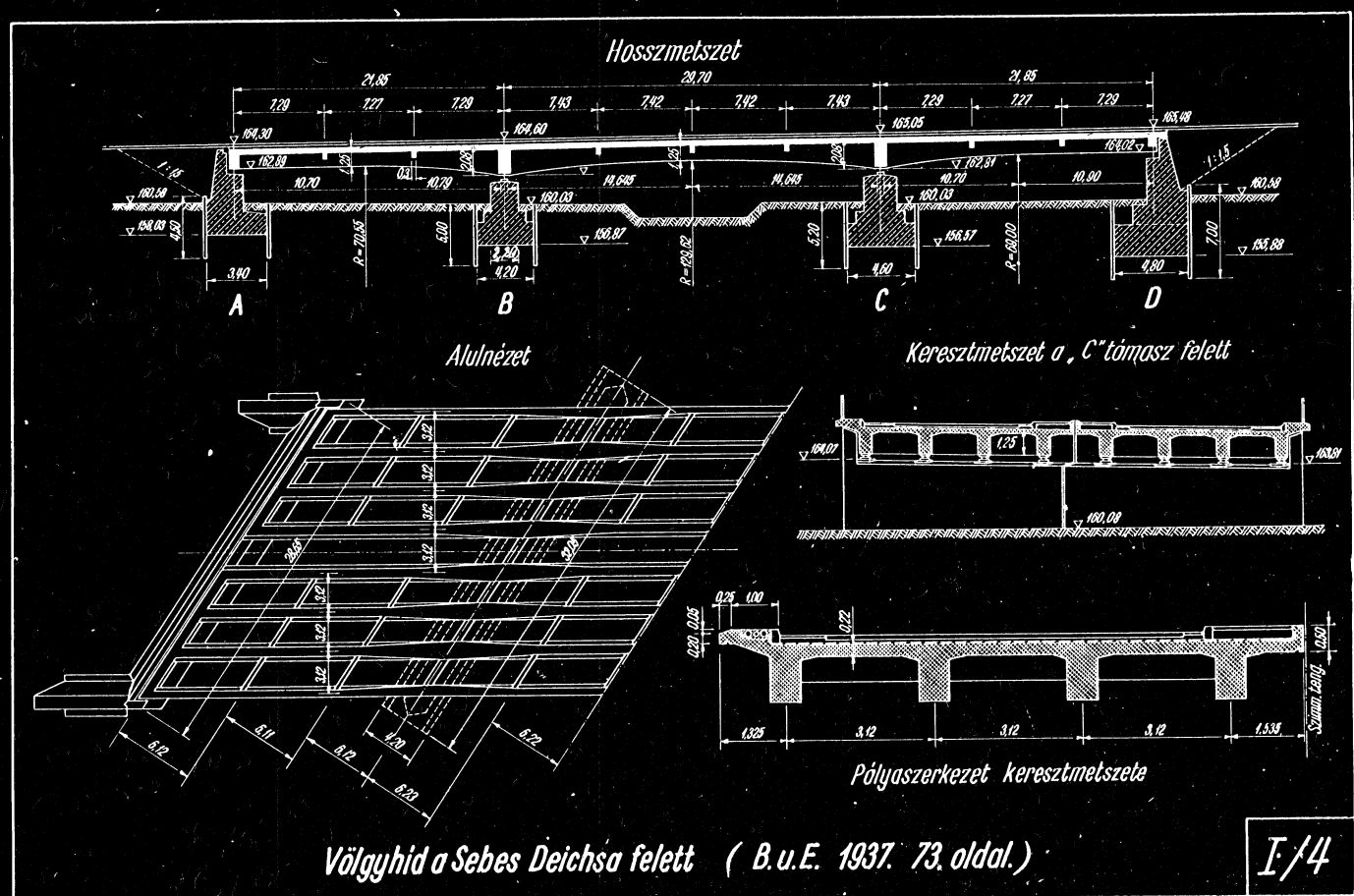


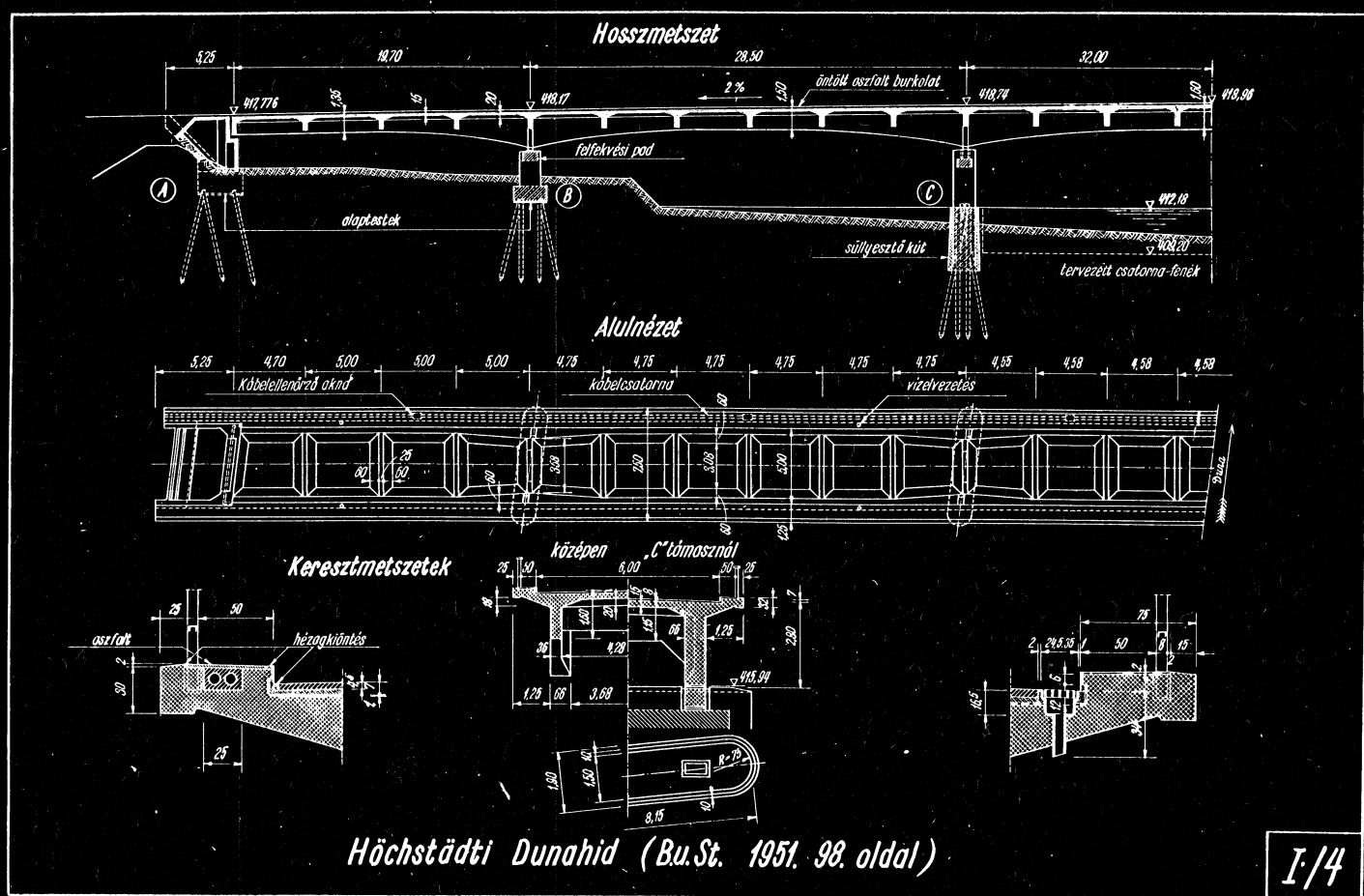


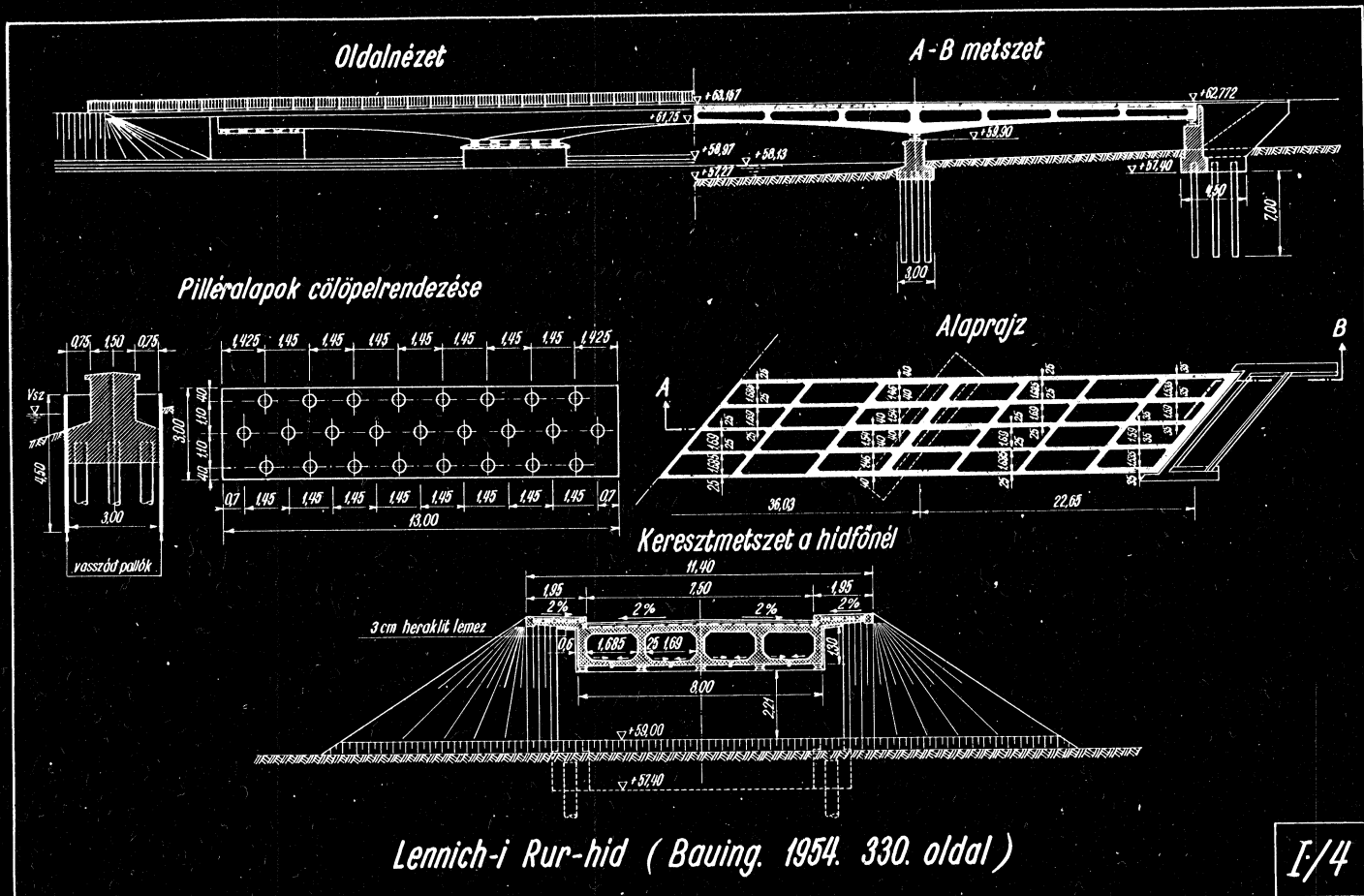
*Rio do Peixe-híd (szabadszerelésű: Brazília): (E.N.R. 1931.
209. oldal)*

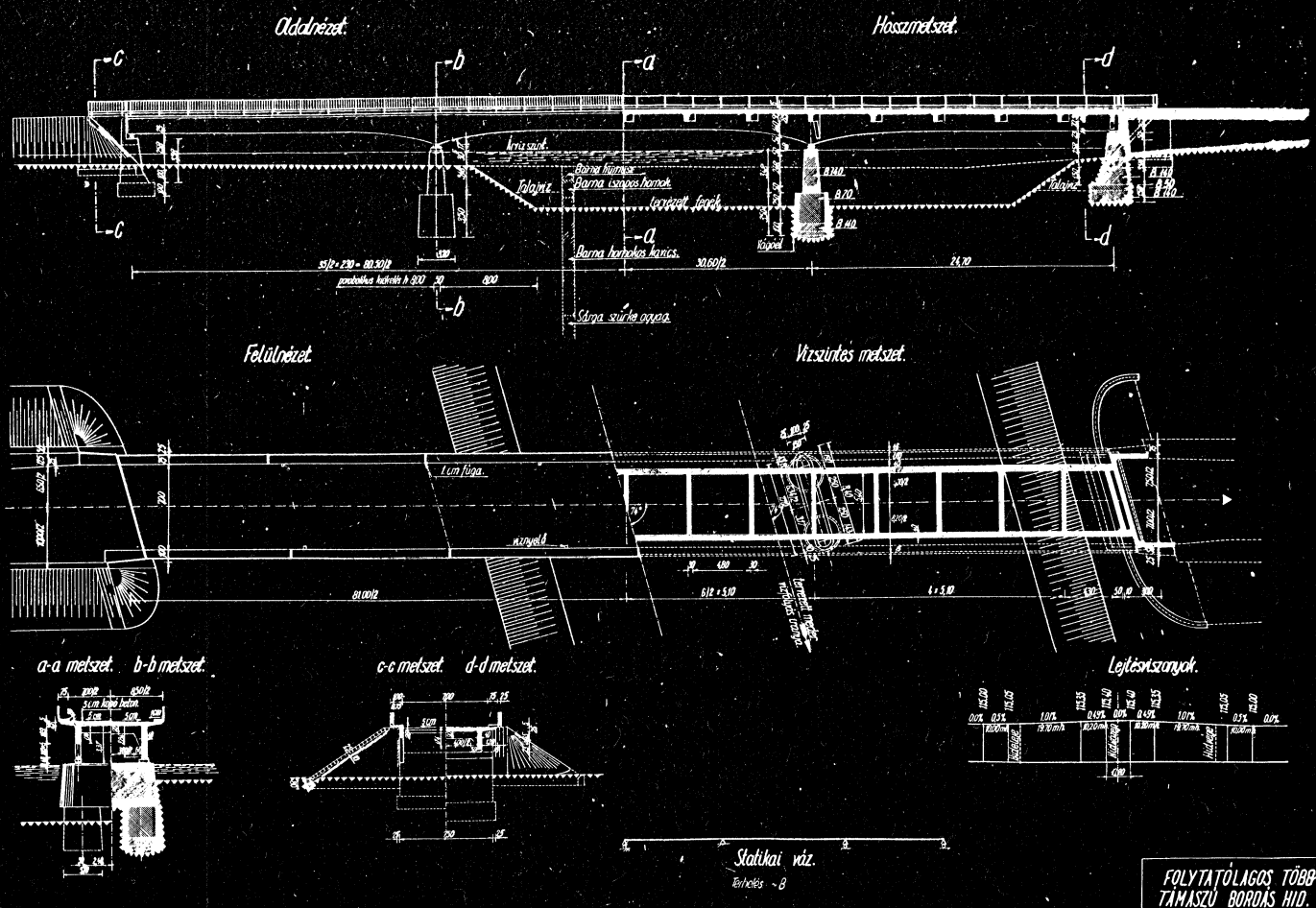
I-4

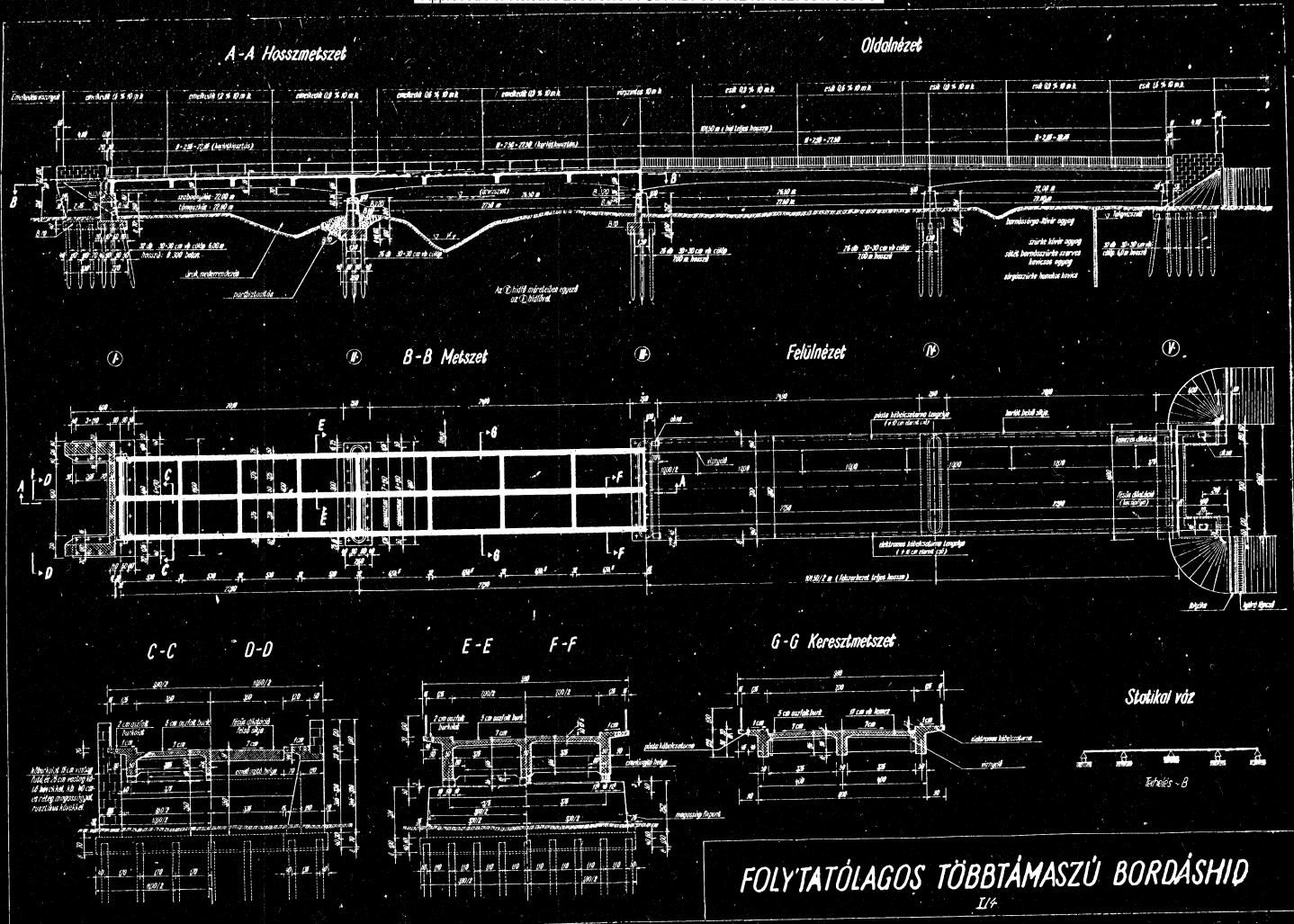


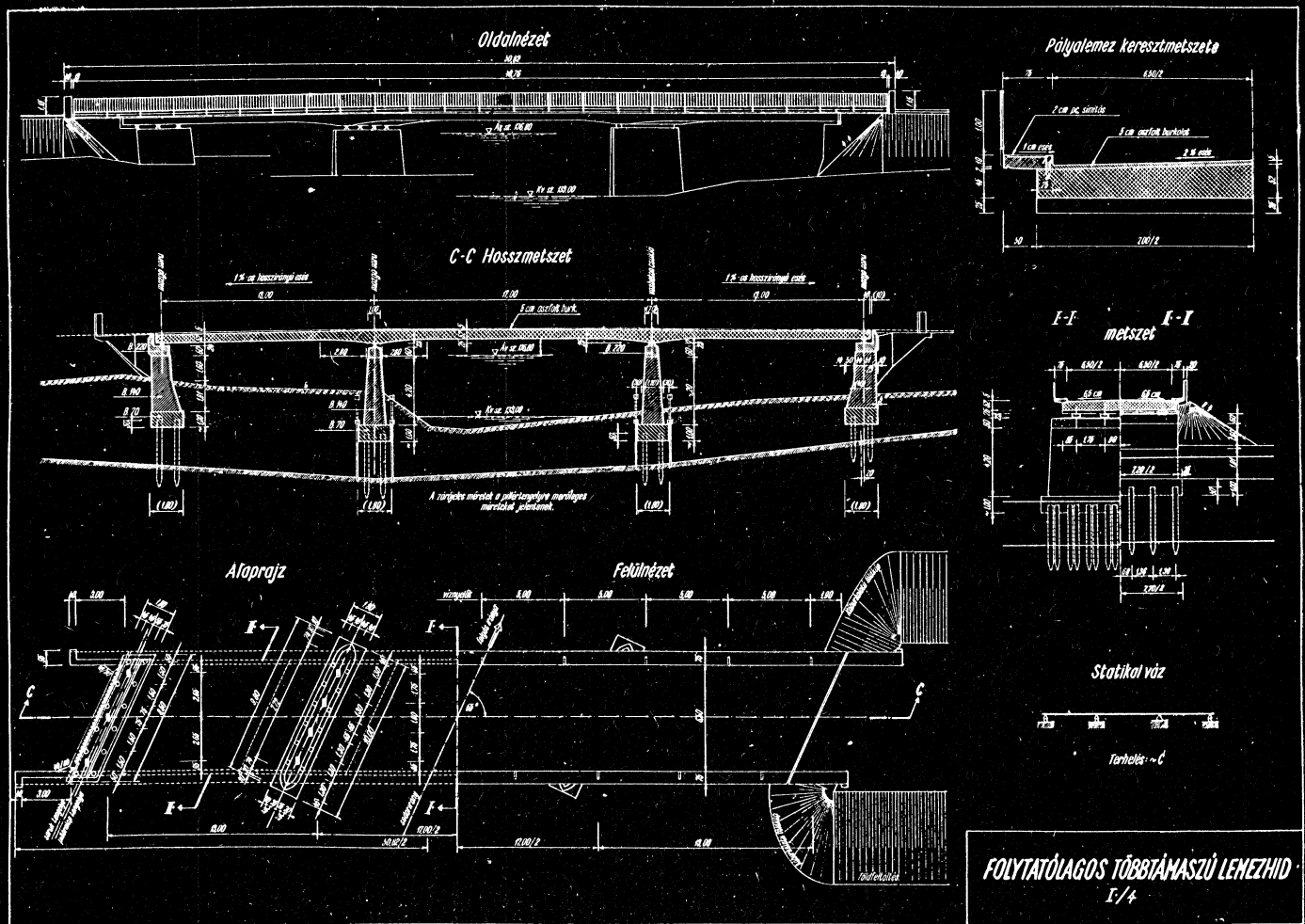






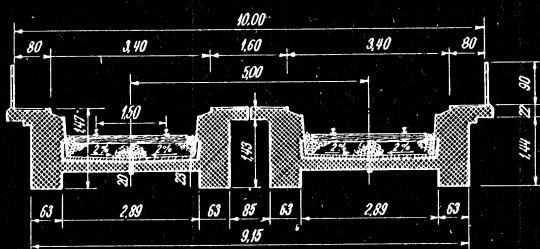




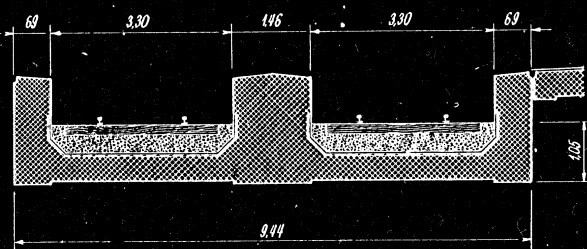


Alsópályás tömör föltartós hidak keresztmetszeti elrendezése

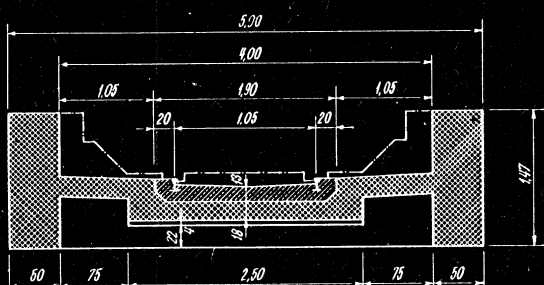
Vasúti hidak



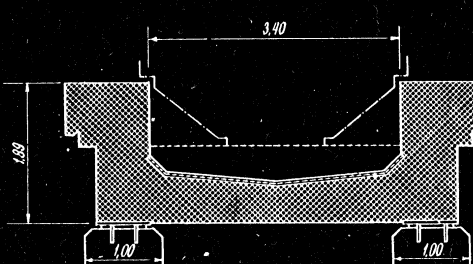
(B.u.e. 1932. 331. oldal.)



(Mö. 47. oldal.)



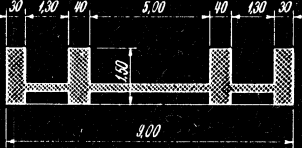
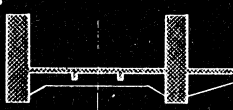
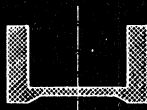
(Bk. 51 II. 231. oldal)



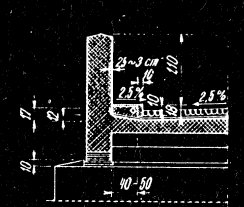
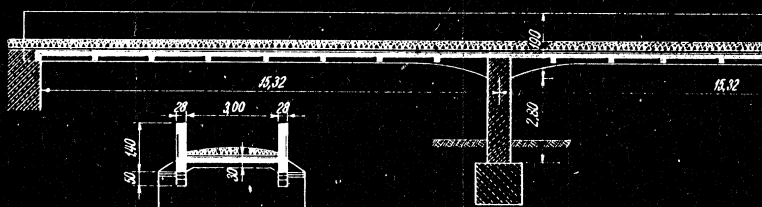
(Bk. 51. II. 231 oldal)

I/5

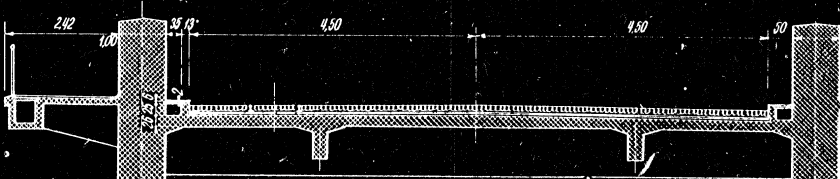
*Alsópályás tömör főtartós hidak keresztmetszeti elrendezései
Közúti hidak*



(K. 89 és 90. oldal)



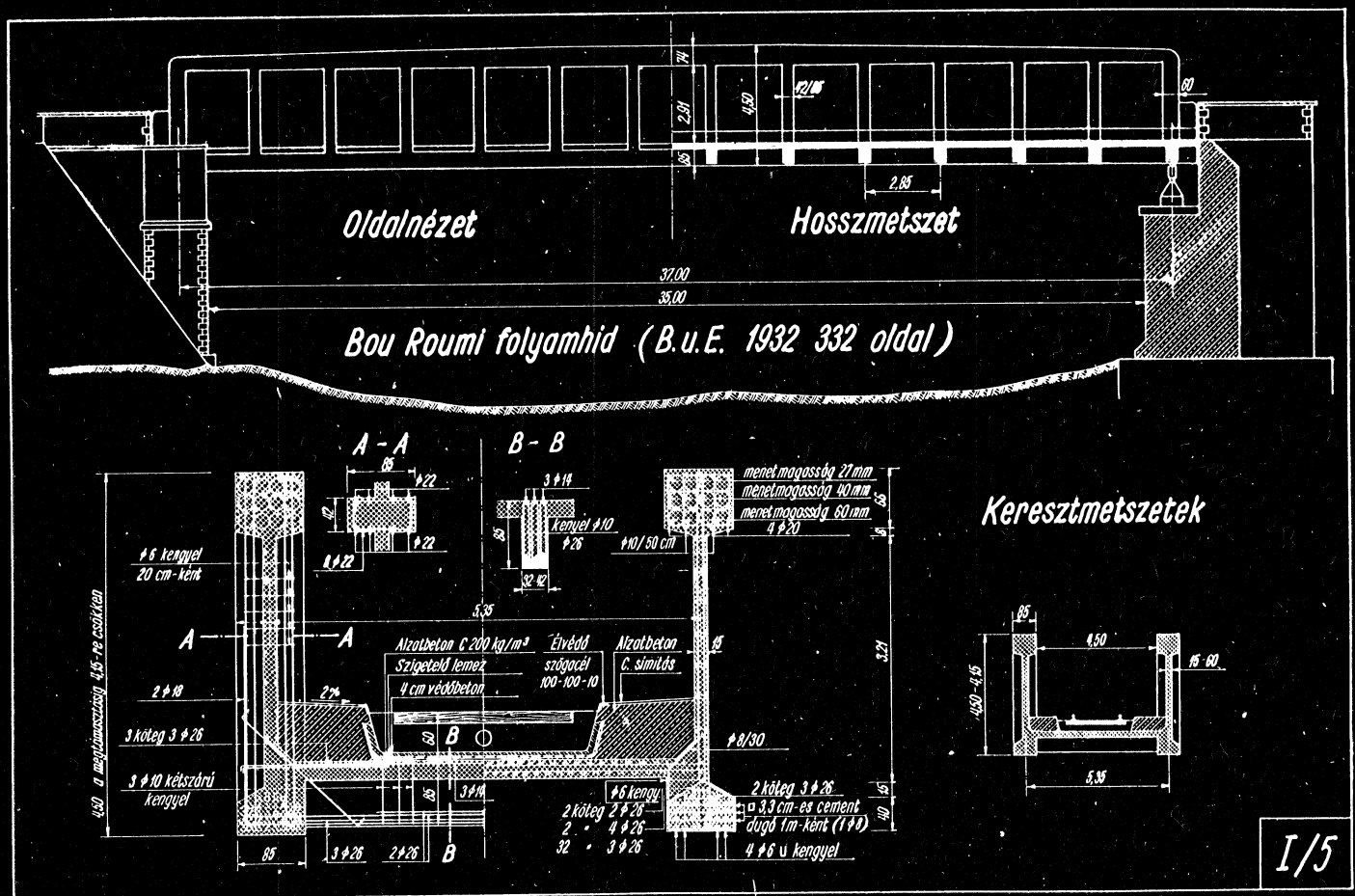
(K. 146 és 90. oldal)



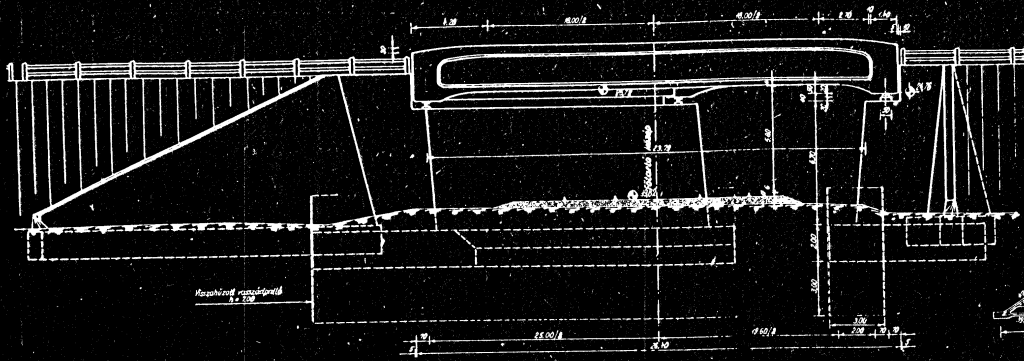
(K. 90. old.)

E/5

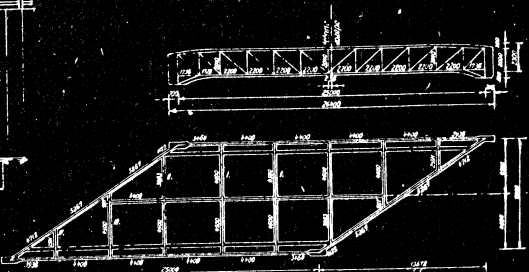
(B.u.E. 1932. 342. oldal)



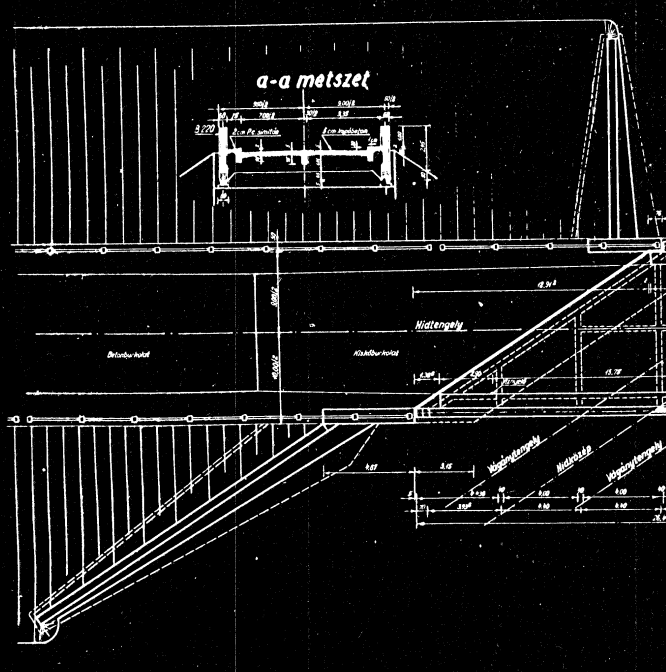
Oldalnézet



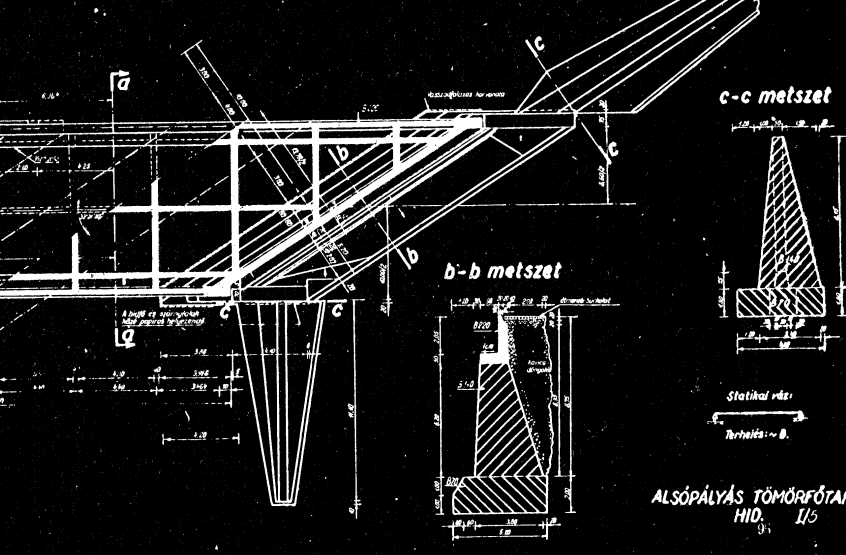
Vasszerkezet hálózati terve:



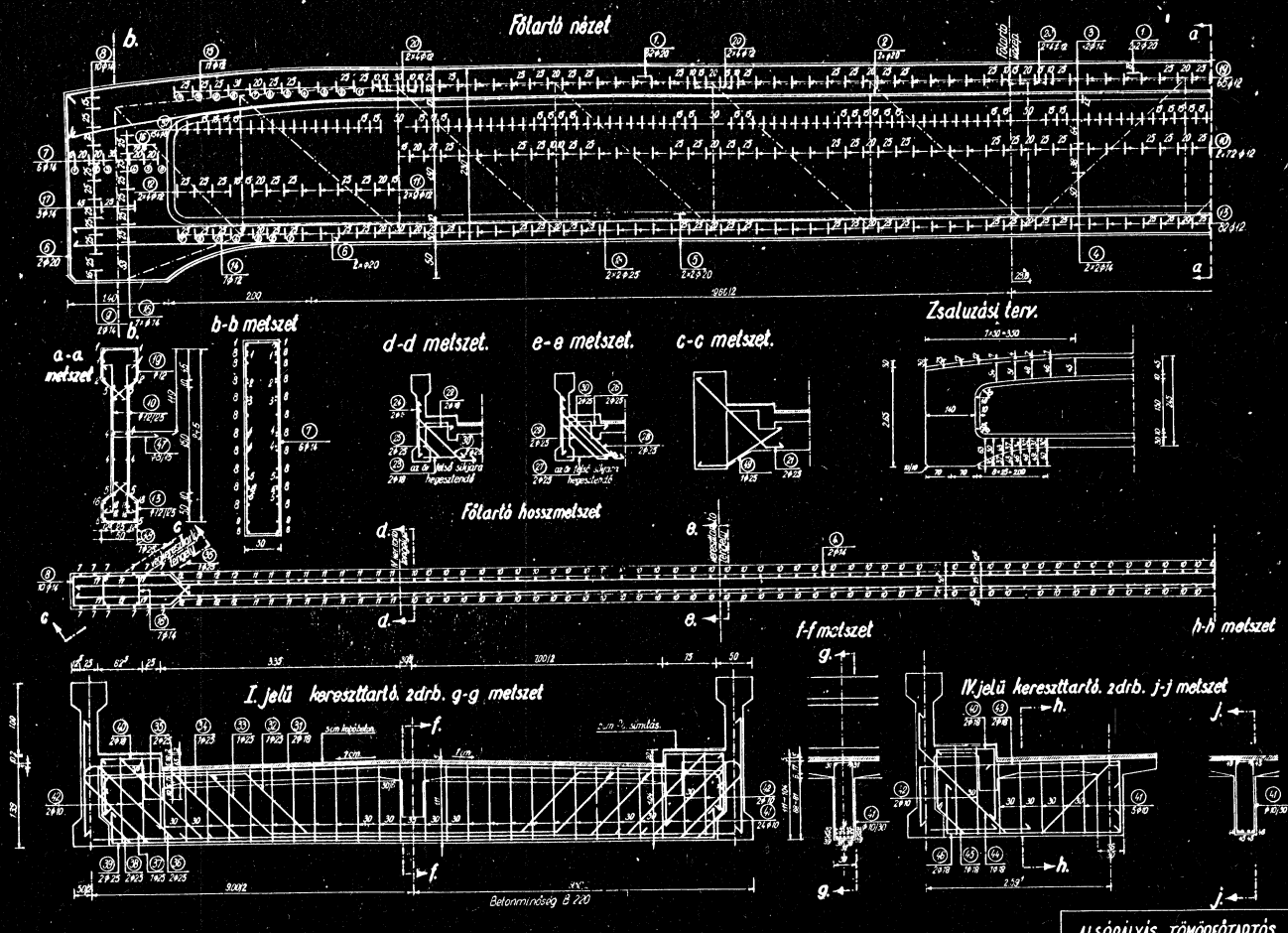
Felülvizsga



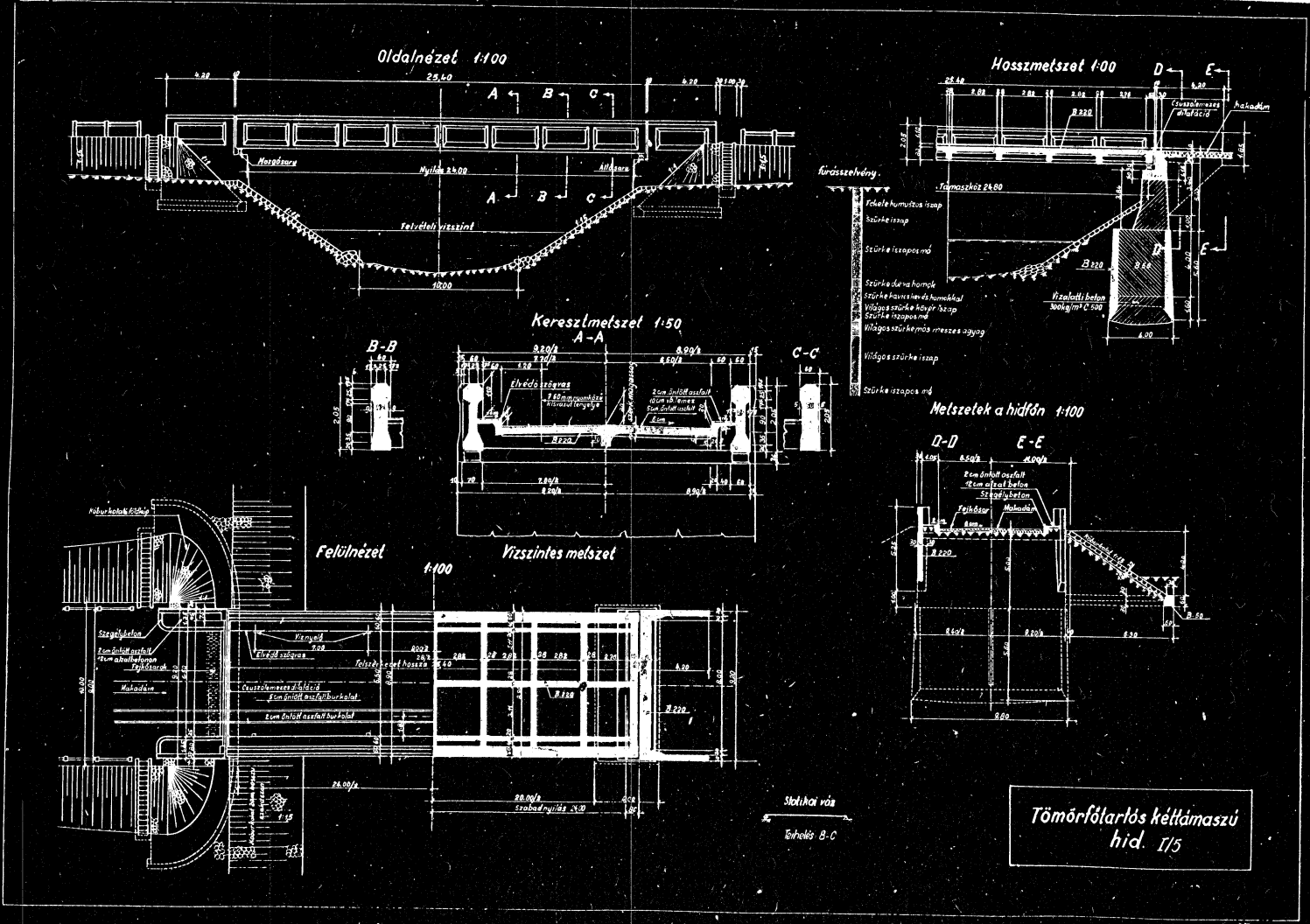
Vízszintes metszet

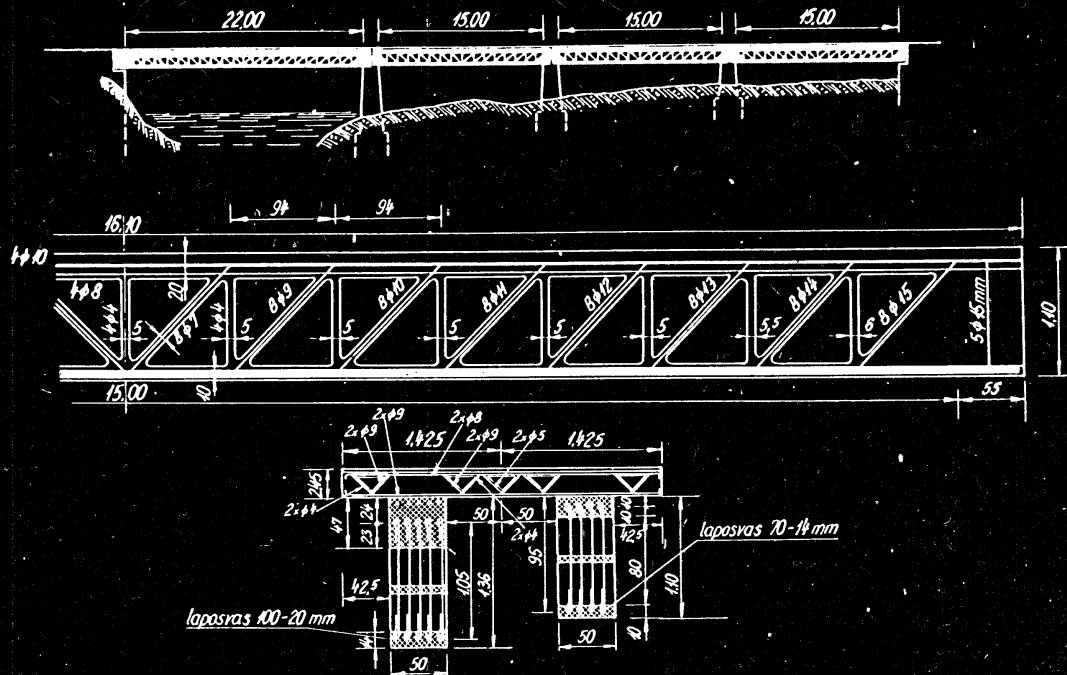


ALSÓPÁLYÁS TÖMÖRFŐTARTÓS
HÍD. 1/5

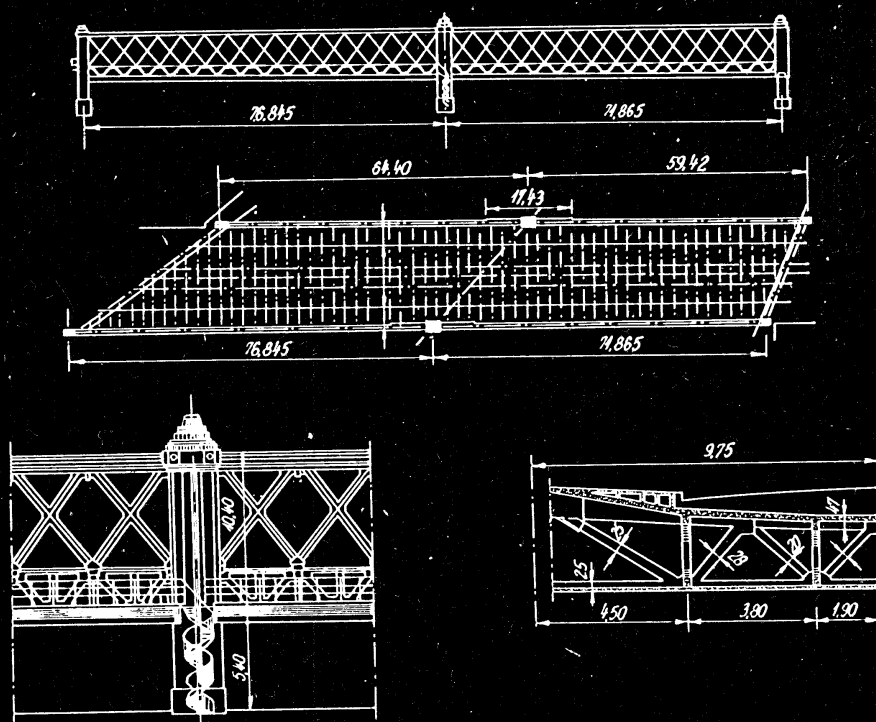


ALSÓPÁLYÁS TÖMÖRFŐTARTÓS
HÍD RÉSZLETTERVE. I/5



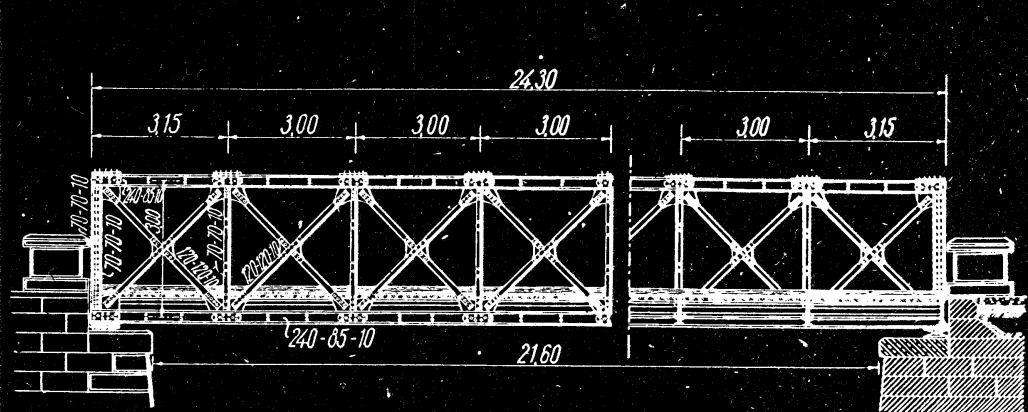


Visintini rendszerű rácsos hid (B.u.E. 220.old.)

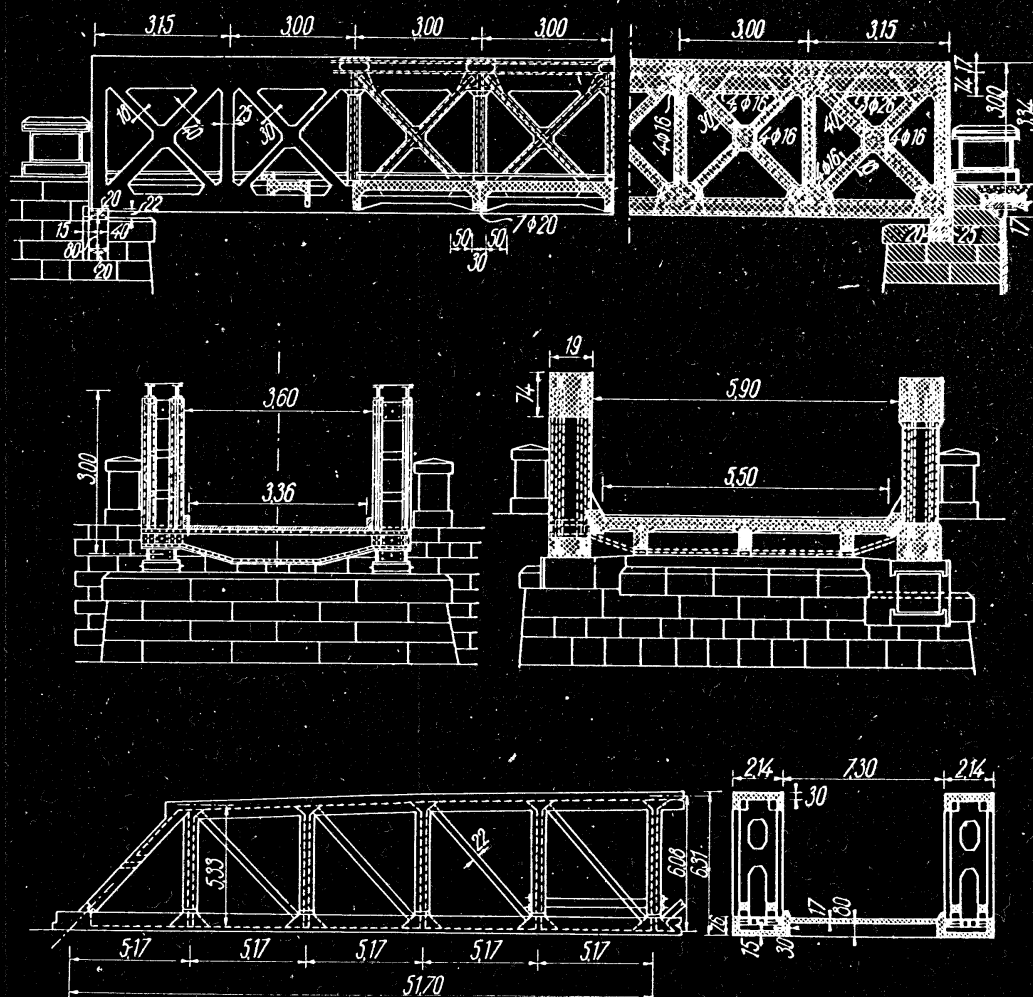


Párisi Lafayette-uti hid (Le Génie Civil 1928. II. 518. old.)

116.

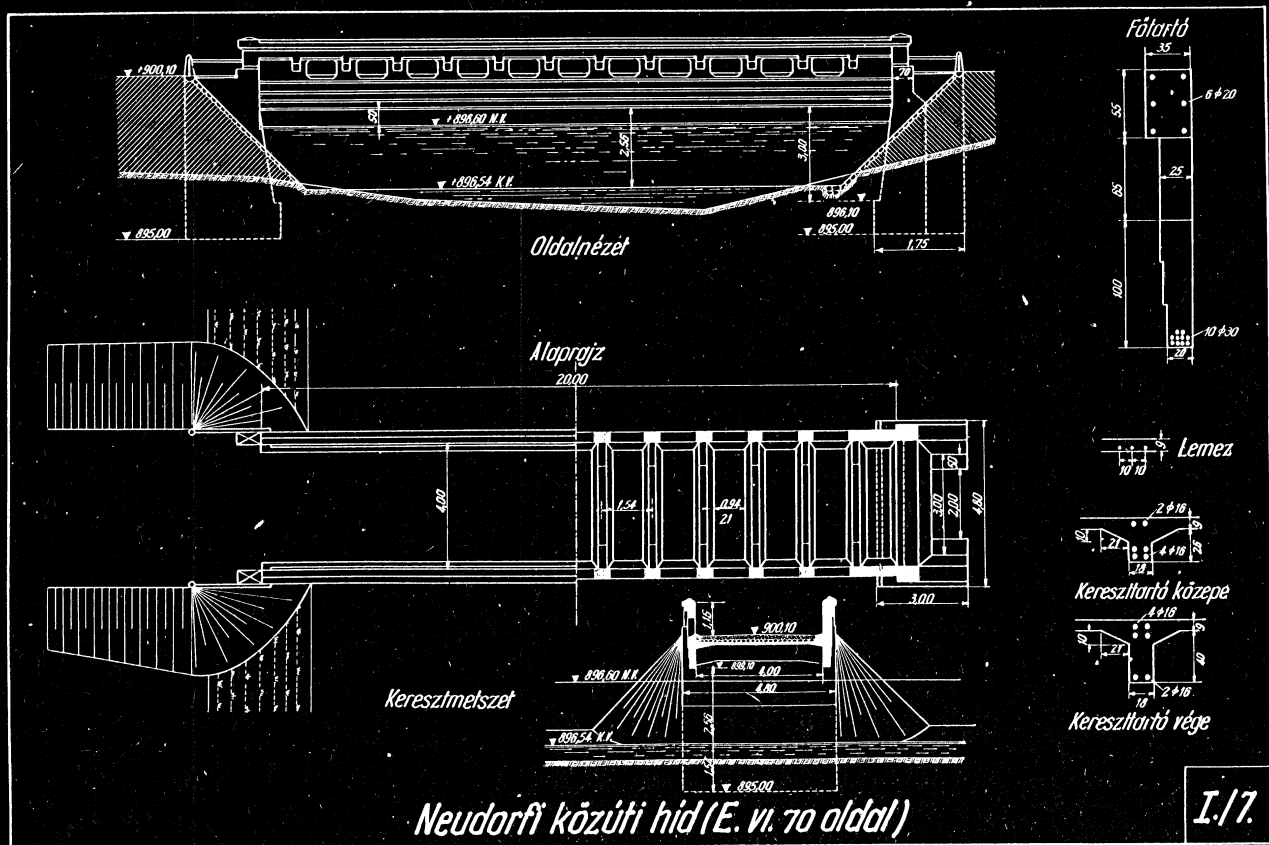


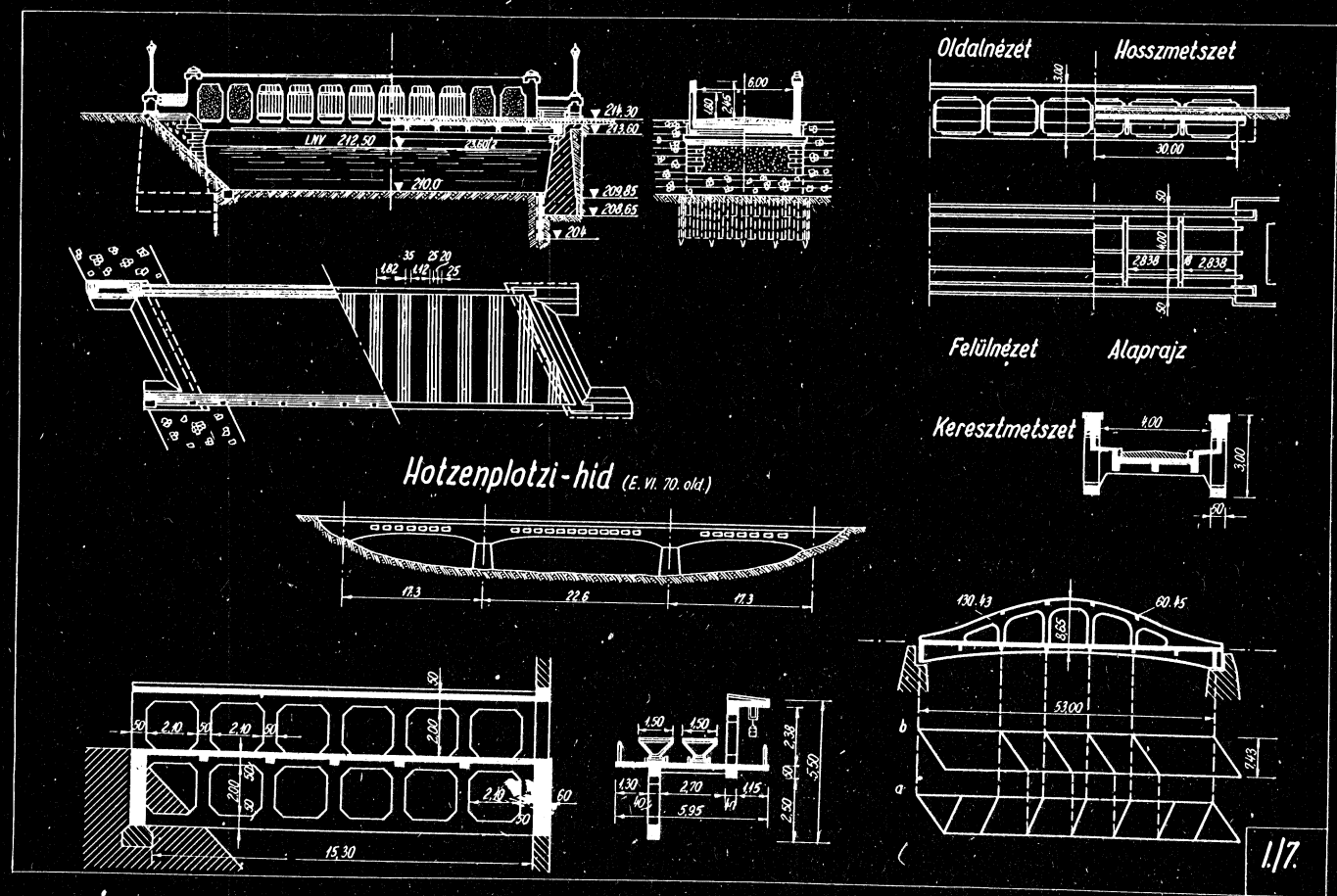
Vashid utólagos megerősítése (B.u.E. 1932. 306.old.)



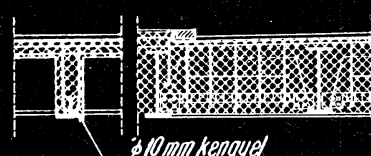
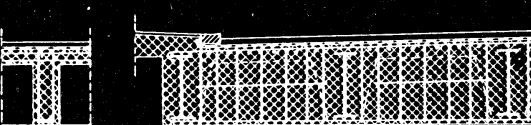
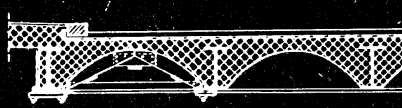
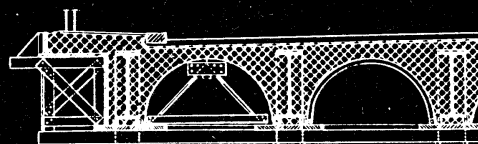
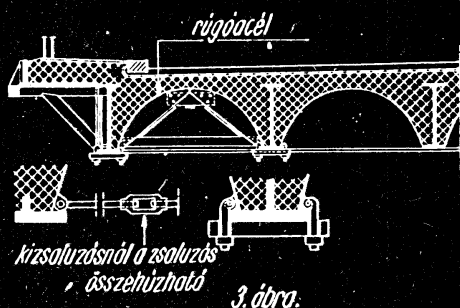
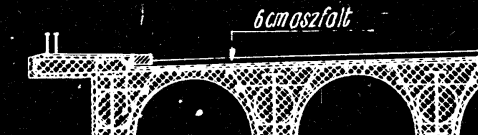
Vasbeton rácisos hid. (Baut. 1936. 475.old.)

I/6

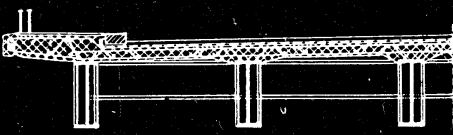




*Meret vasbetétes hidak
Keresztmetszeti elrendezés*

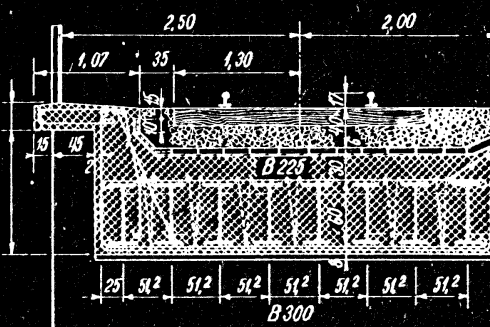
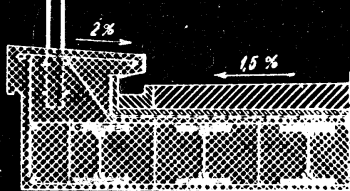


(Baut. 1940. 360. oldal)



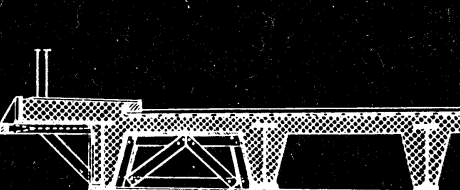
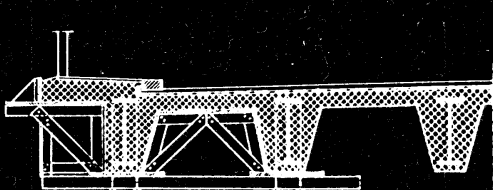
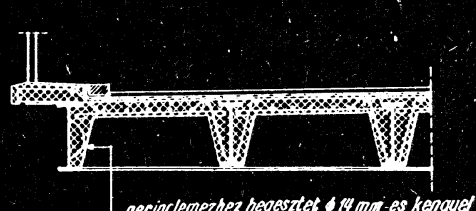
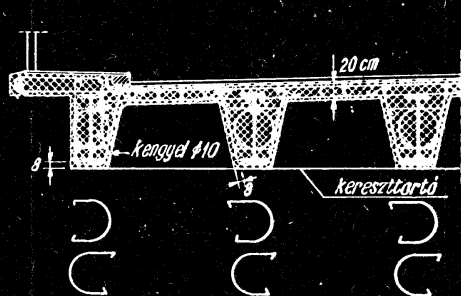
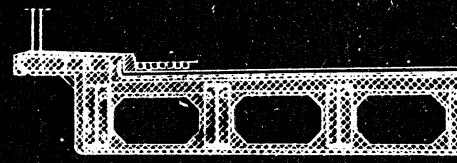
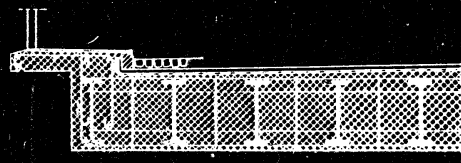
I/8

Merev vasbetétes hidak keresztmetszeti elrendezései



(Baut. 1935. 499. oldal.)

(Bk. 1951. II. 233. oldal.)

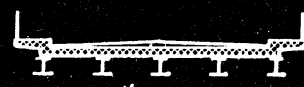


(Baut. 1940. 360. oldal.)

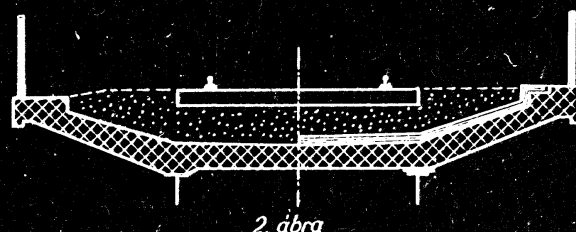
I/8

Vastartós vasbetonlemezes hidak.

Közüti hidak keresztmetszeti elrendezései



Vasúti hidak keresztmetszeti elrendezése

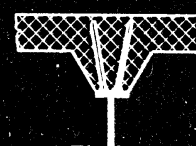


2. ábra

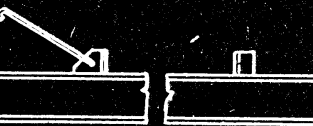
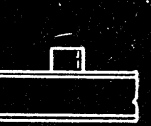
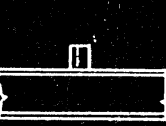
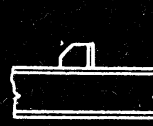
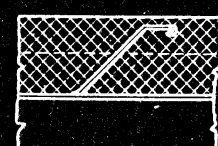
A vastartó és vasbetonlemez együttolgozása biztosításának különböző módjai



3/a. ábra



3/b. ábra



3/c. ábra

3/d. ábra

3/e. ábra

3/f. ábra

3/g. ábra

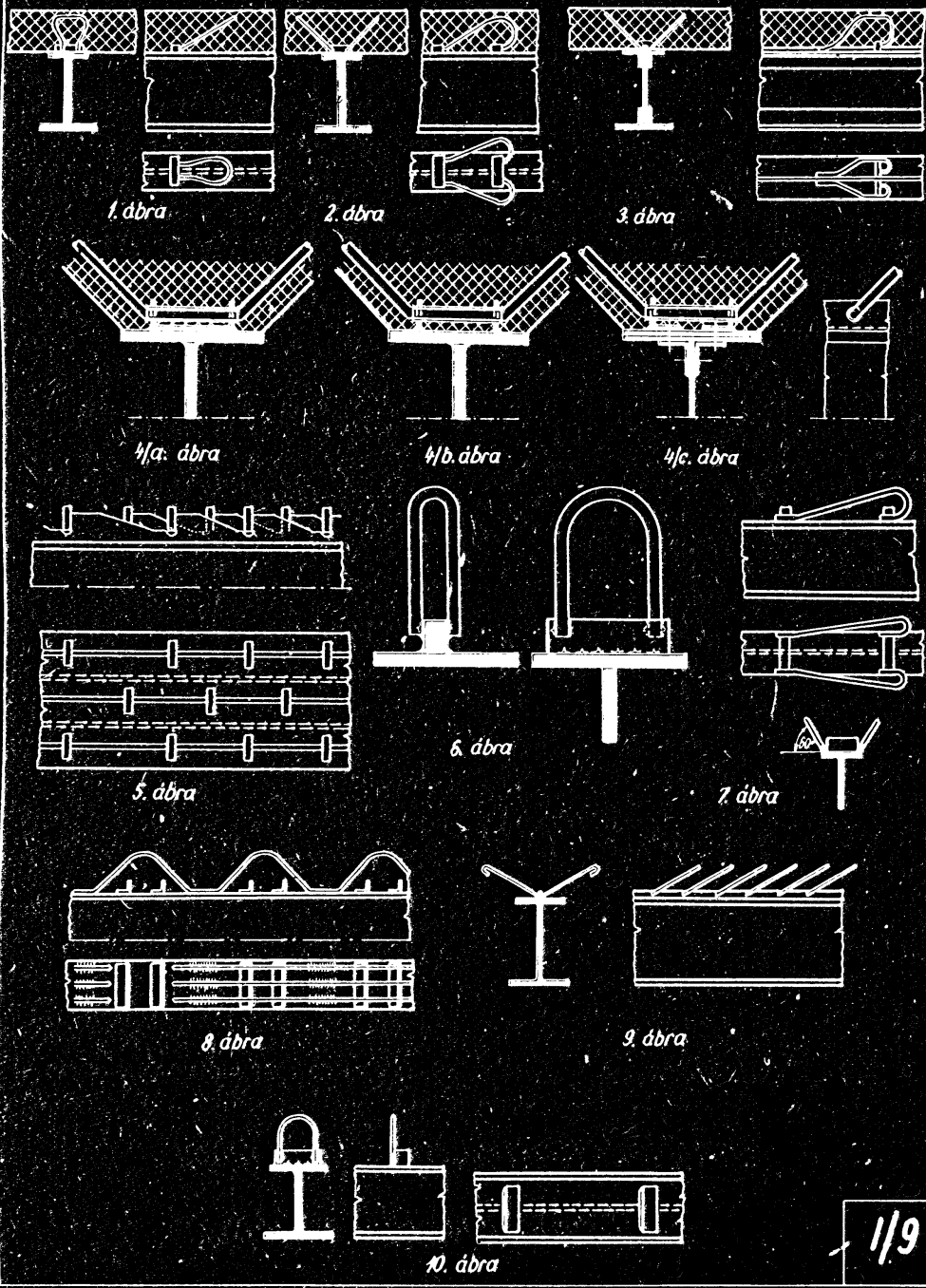


3/h. ábra

119.

Vastartós vasbetonlemezes hidak.

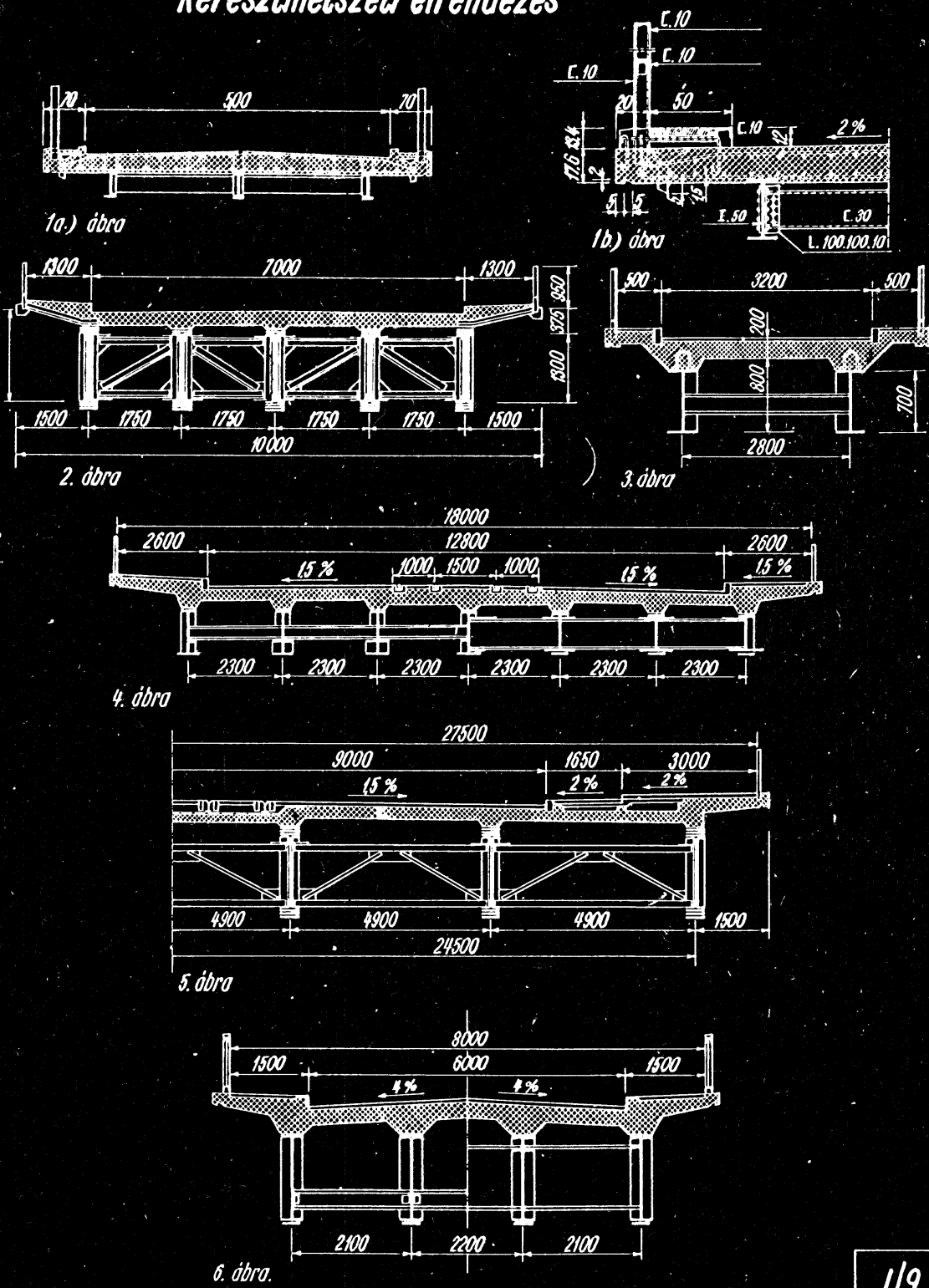
A vastartó és vasbetonlemez együtt dolgozásá
biztosításának különböző módjai



1/9

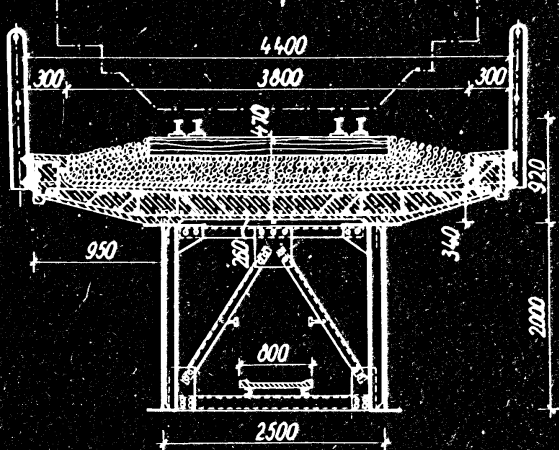
Vastartós vasbetonlemezes hidak

Keresztmetszeti elrendezés

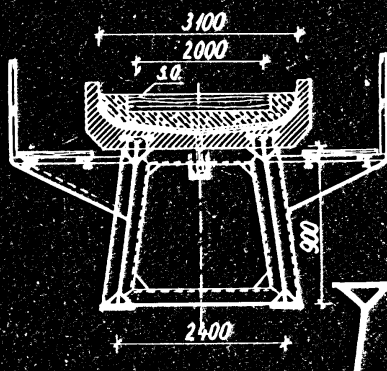


Vastartós vasbetonlemezes hidak.

Vasúti hidak keresztmetszeti elrendezése.

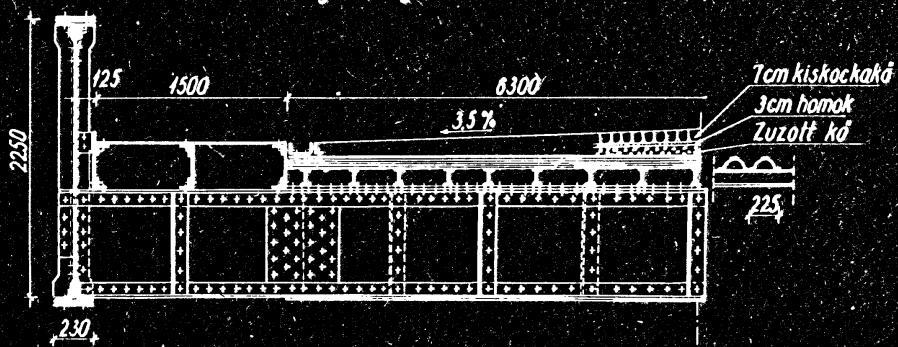


1. ábra

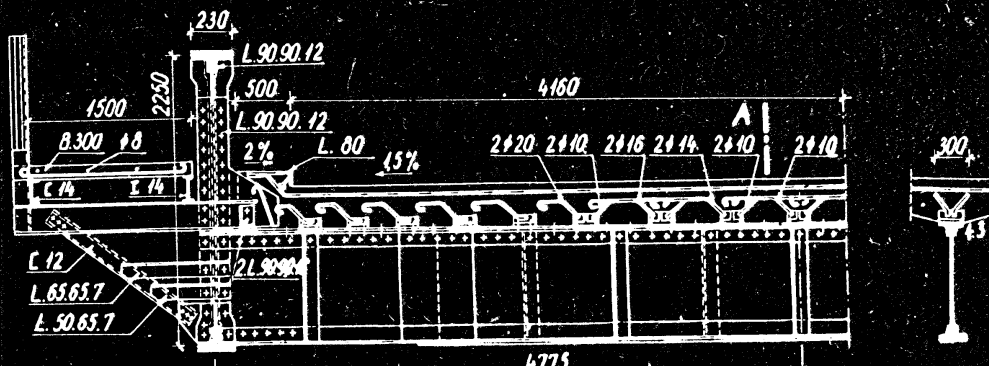


2. ábra

Meglévő vashidak pályászerkezetének szélesítése és utólagos megerősítése.



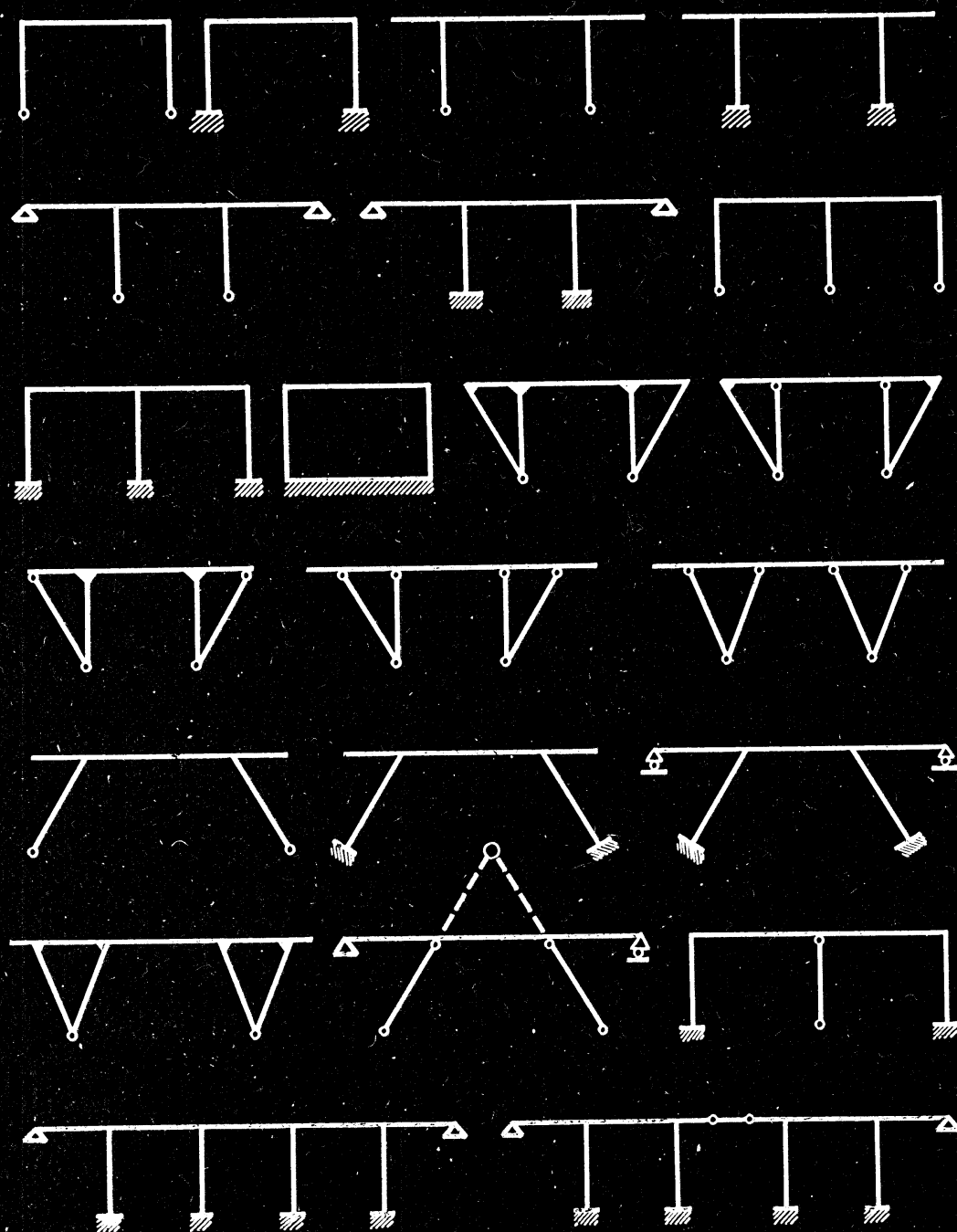
3a. ábra. Régi keresztmetszet.



3b. ábra. Megerősített keresztmetszet.

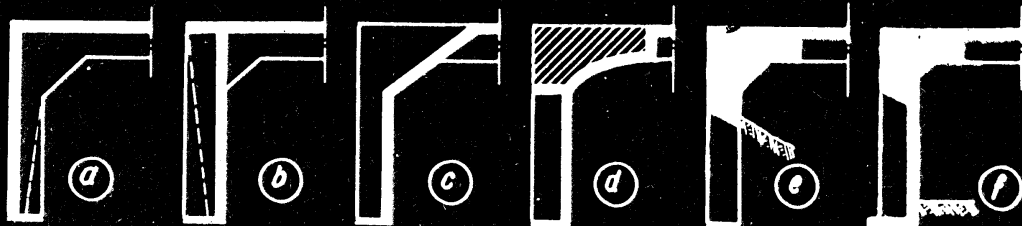
1/9

Kerethidak statikai váza

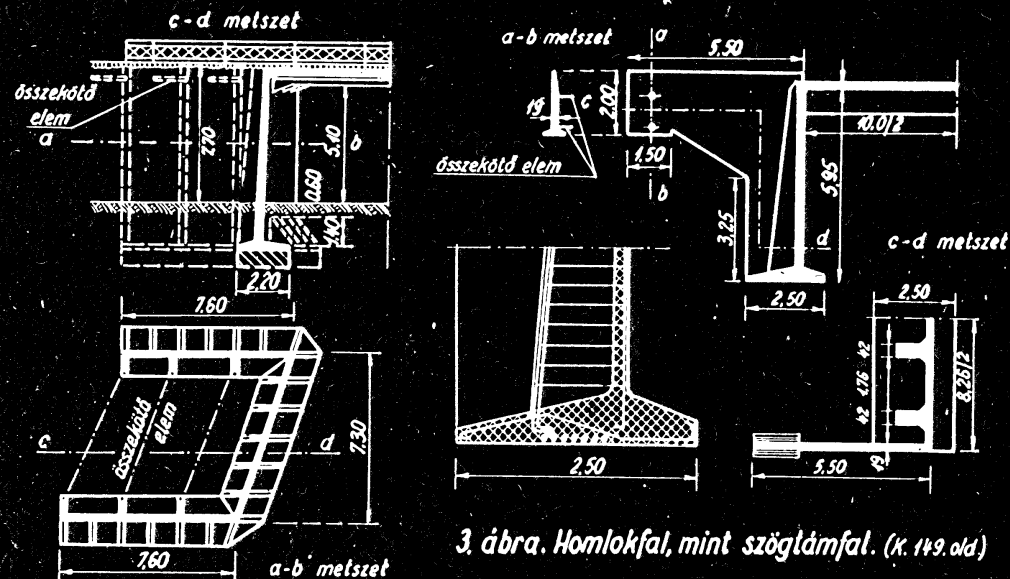


III./1.

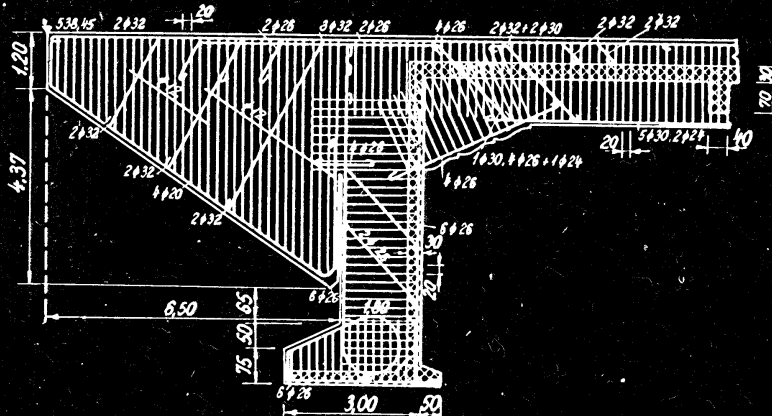
Kerethidak



1.) ábra (K. M. old.)



2. ábra (K. 149. old.)

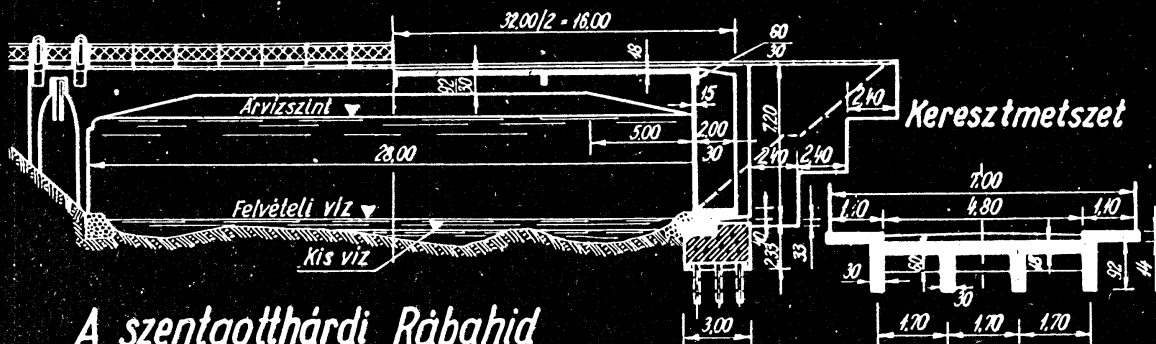


4. ábra. Vasúti hid. Szabadnyilás 13 m. (X. 149. old.)

11. / 2

Oldalvetület

Hosszmetszet

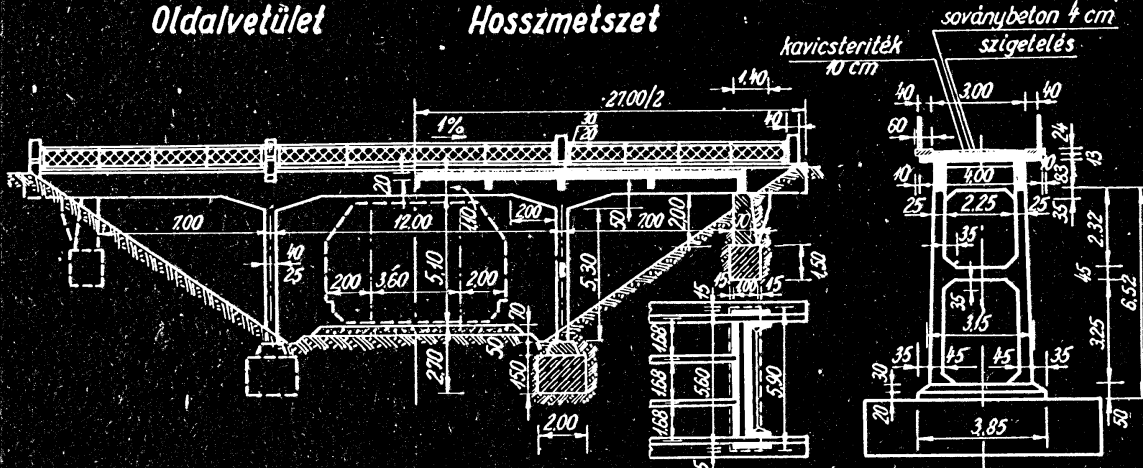


A szentgotthárdi Rábahid

(Mj. 23. old.)

Oldalvetület

Hosszmetszet

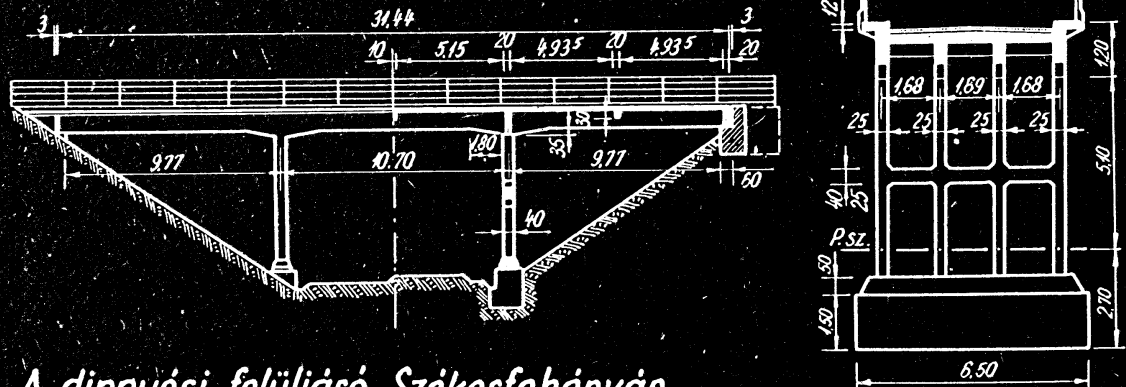


Felüljáró a rákos-ujszászi vonalon

(Mi. 23. old.)

Oldalvetület

Hosszmetszet

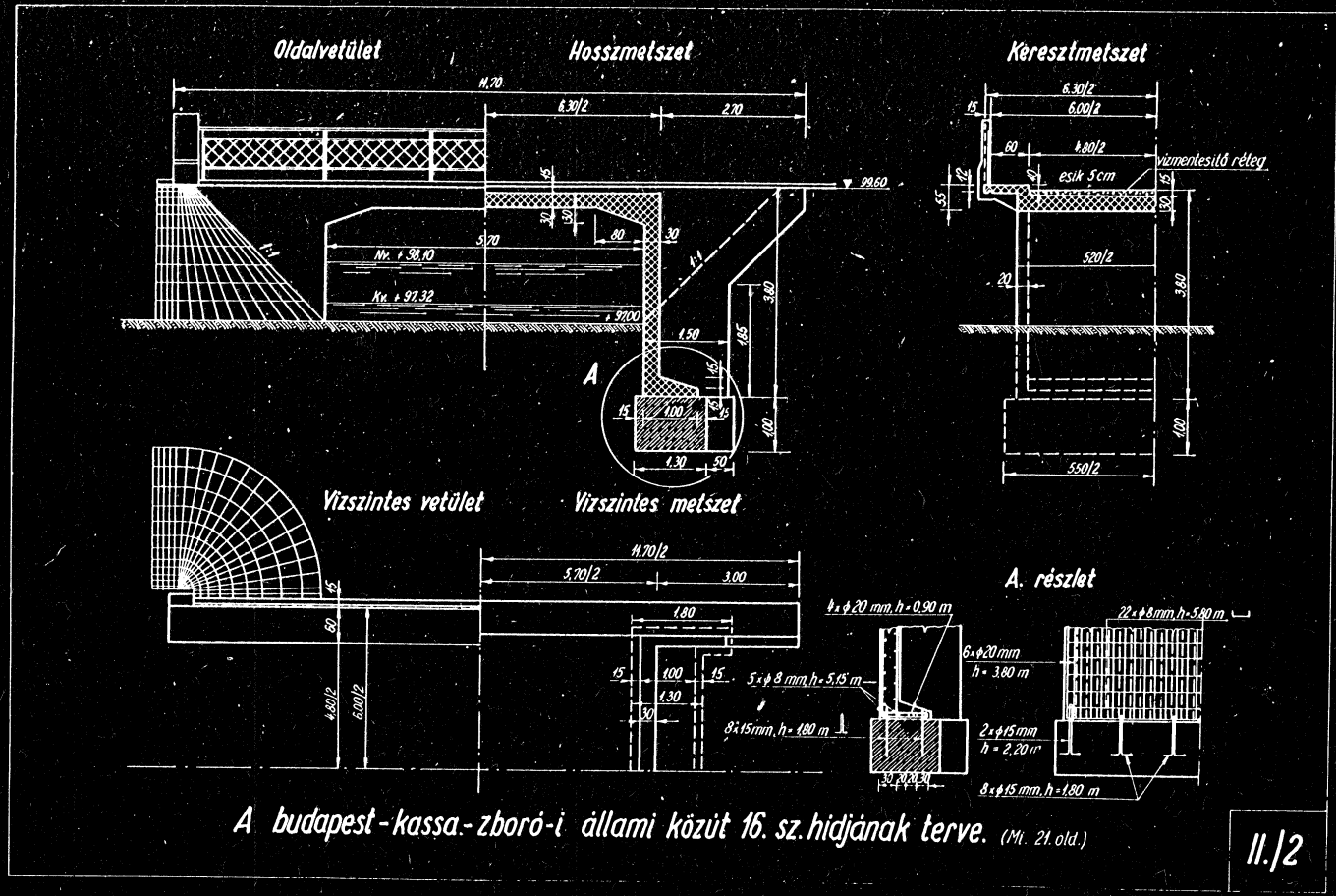


A dinnyési felüljáró Székesfehérvár

(Mi 23 8/d)

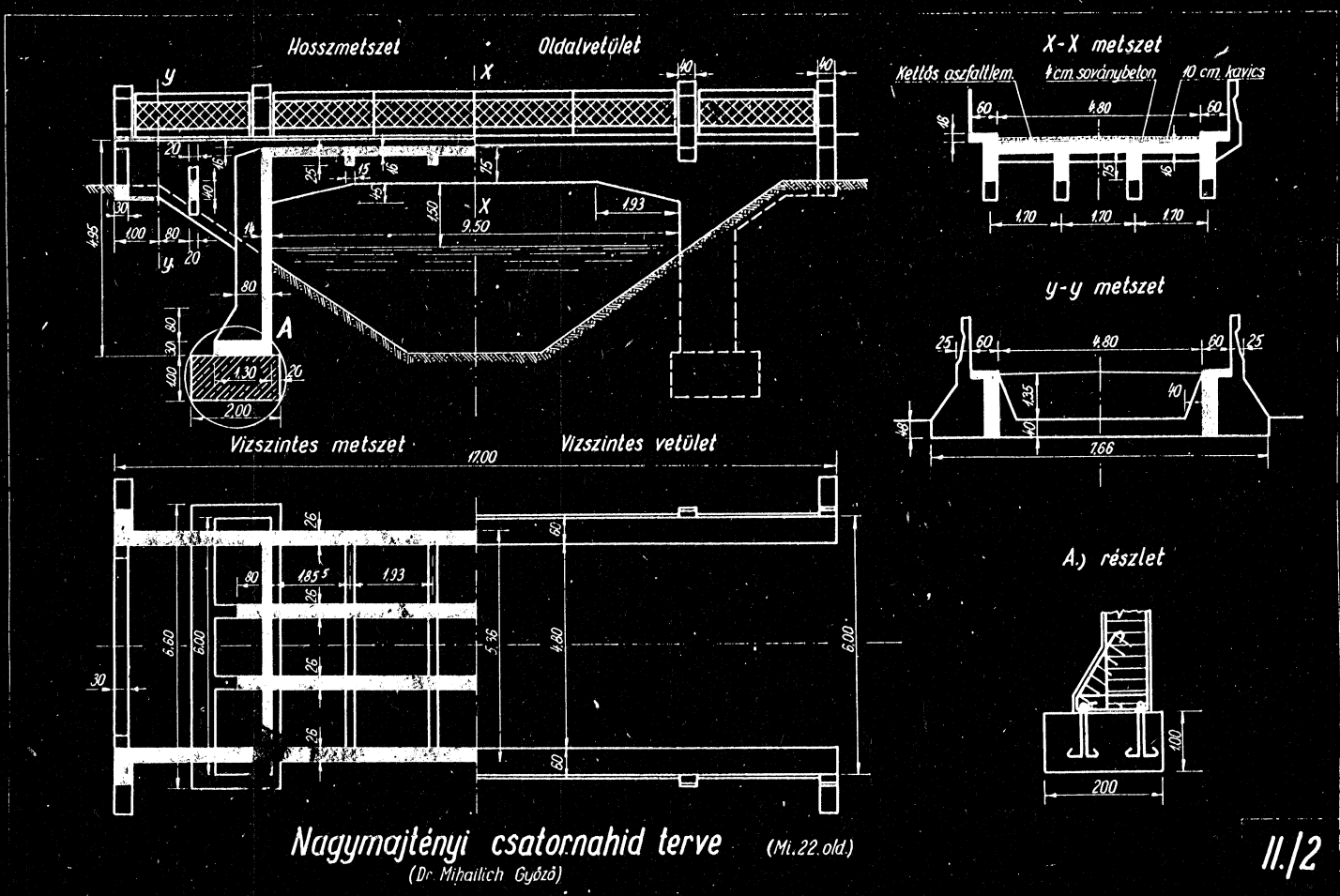
(Dr. Michailich Guózó)

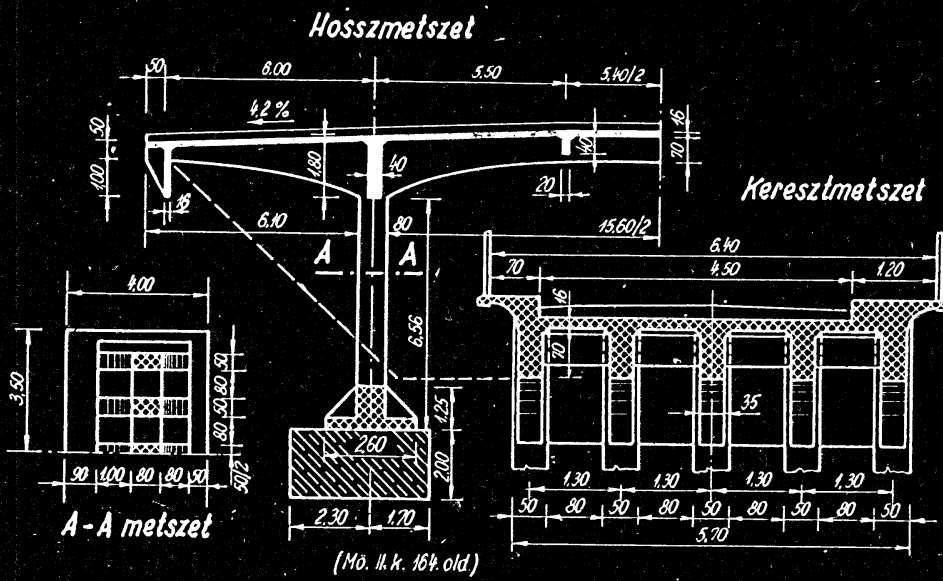
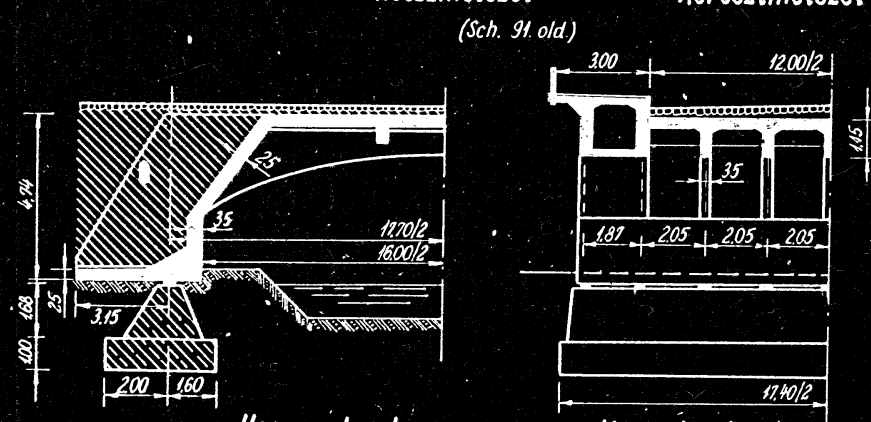
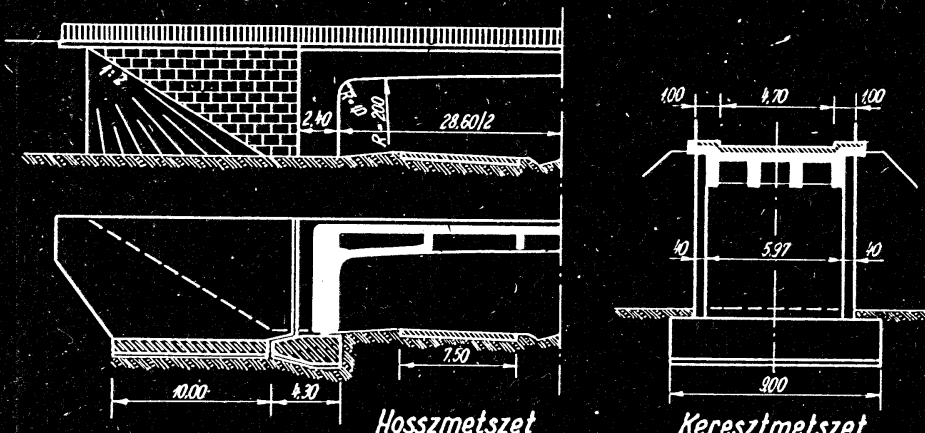
11.12



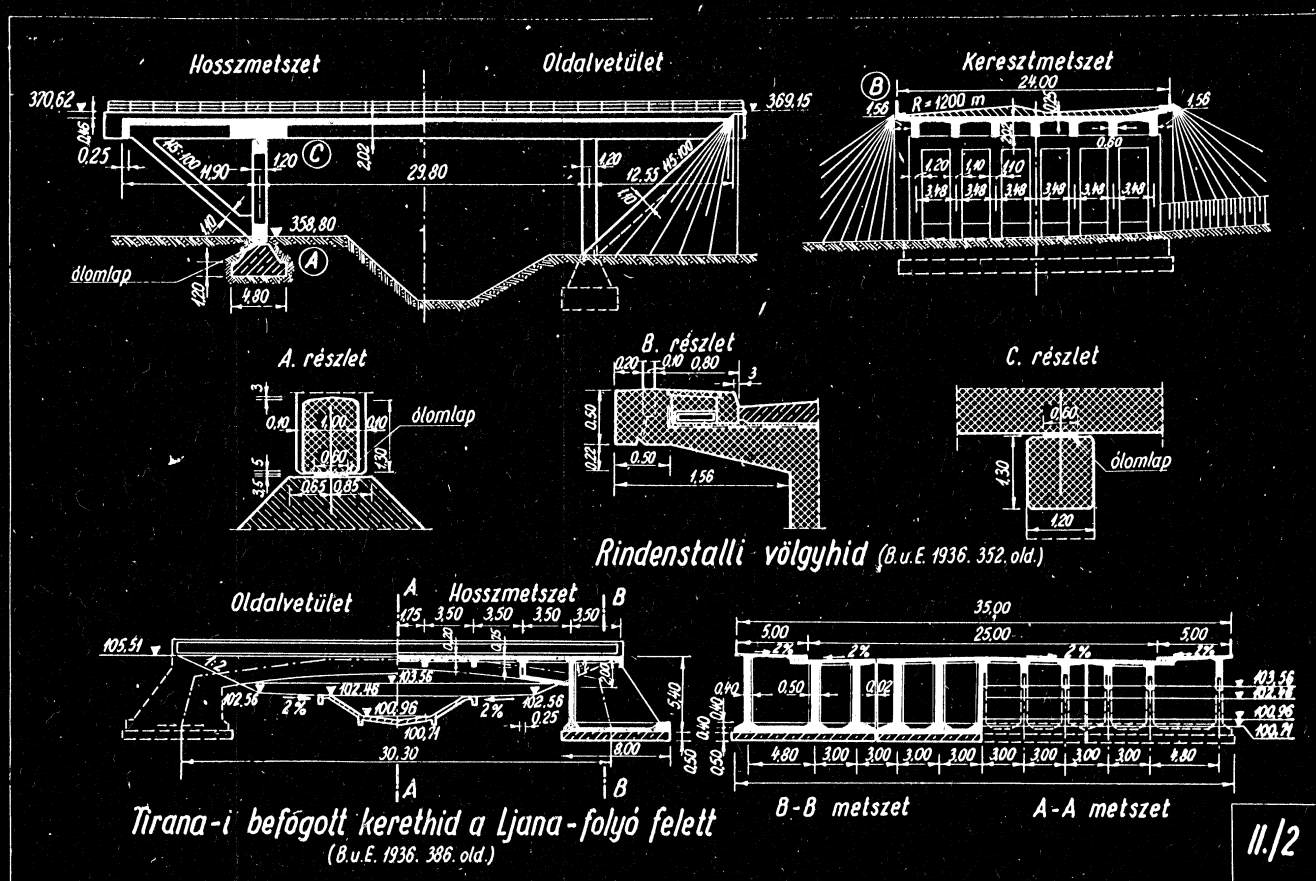
A budapest-kassa-zboró-i állami közút 16. sz. hidjának terve. (M. 21 old.)

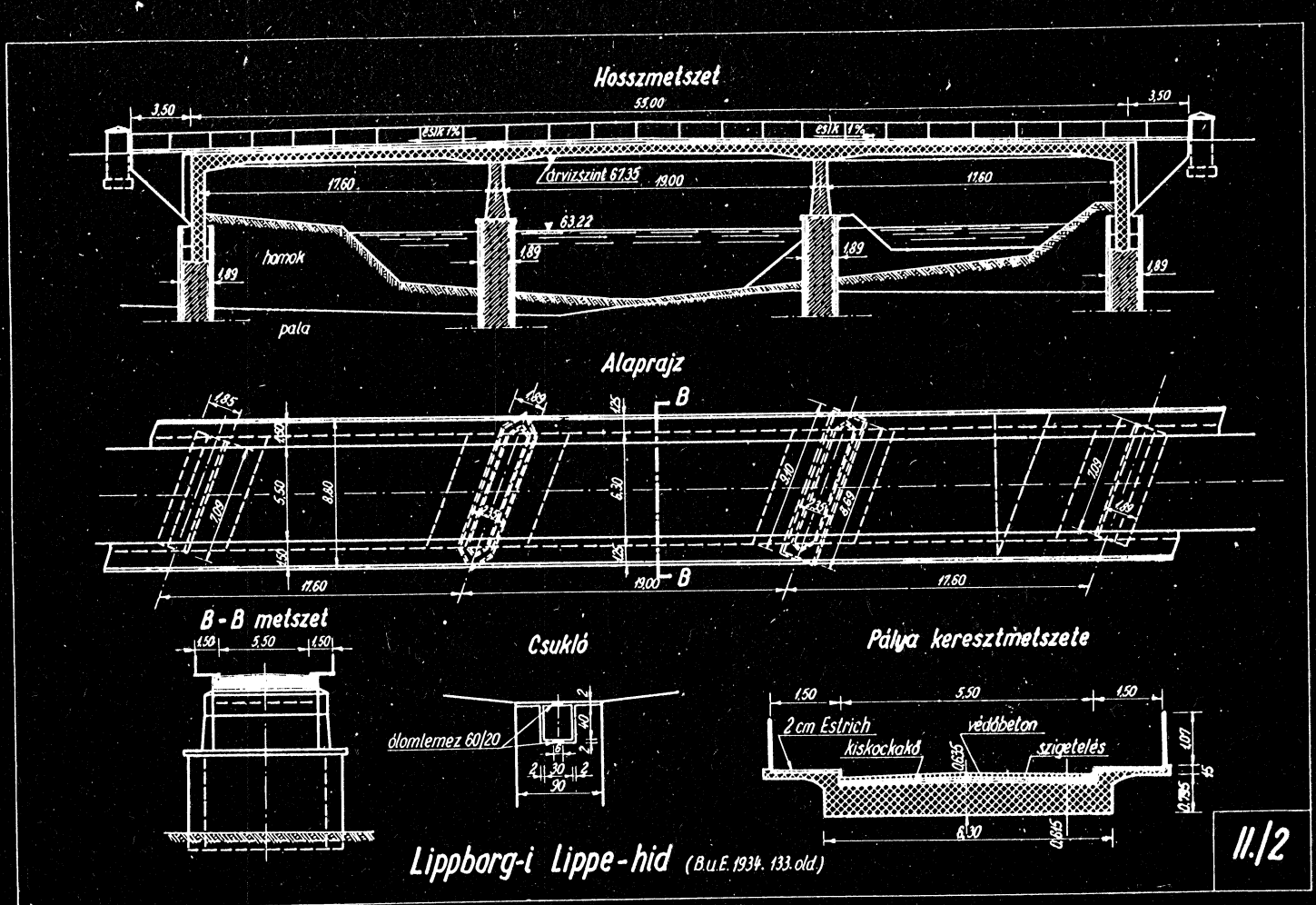
11.12

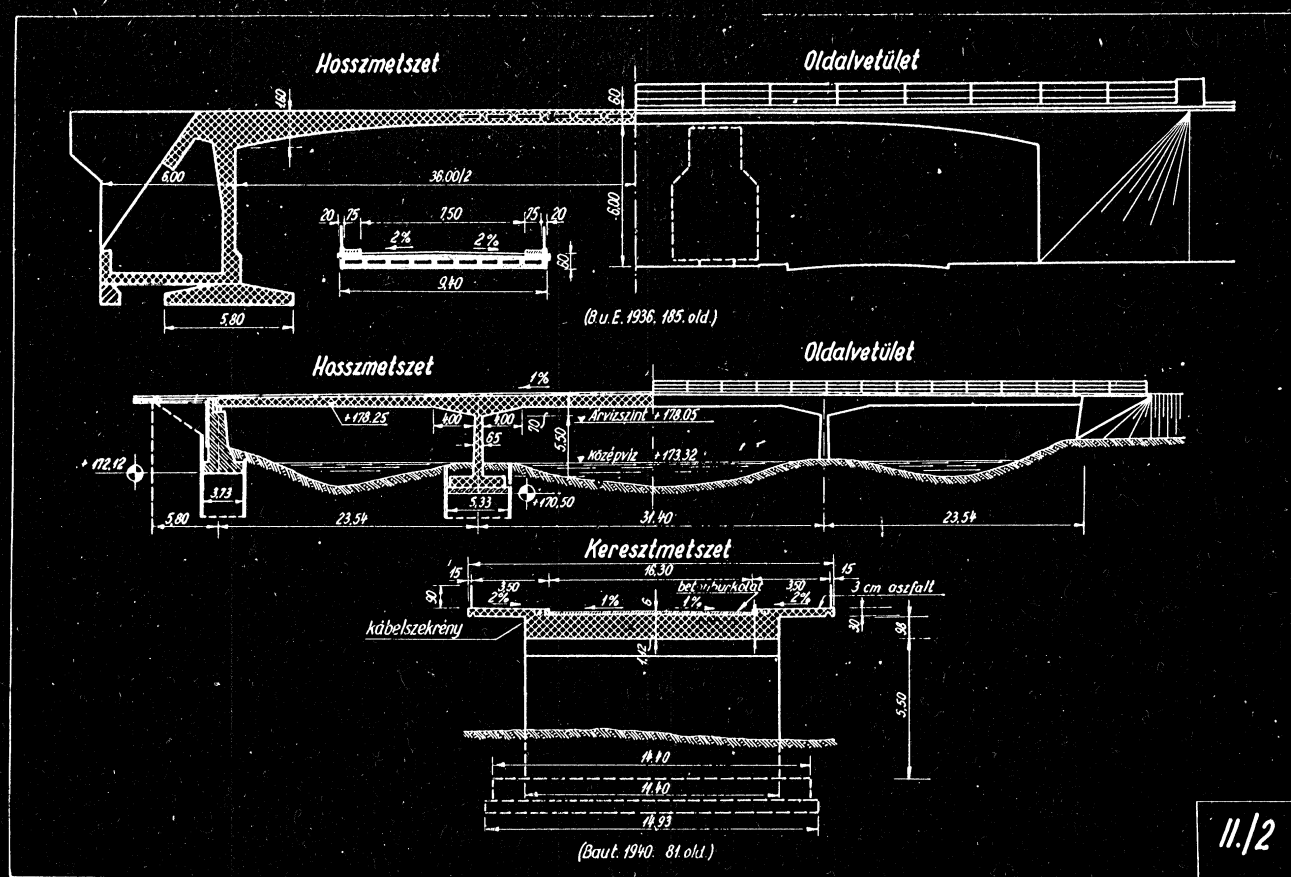


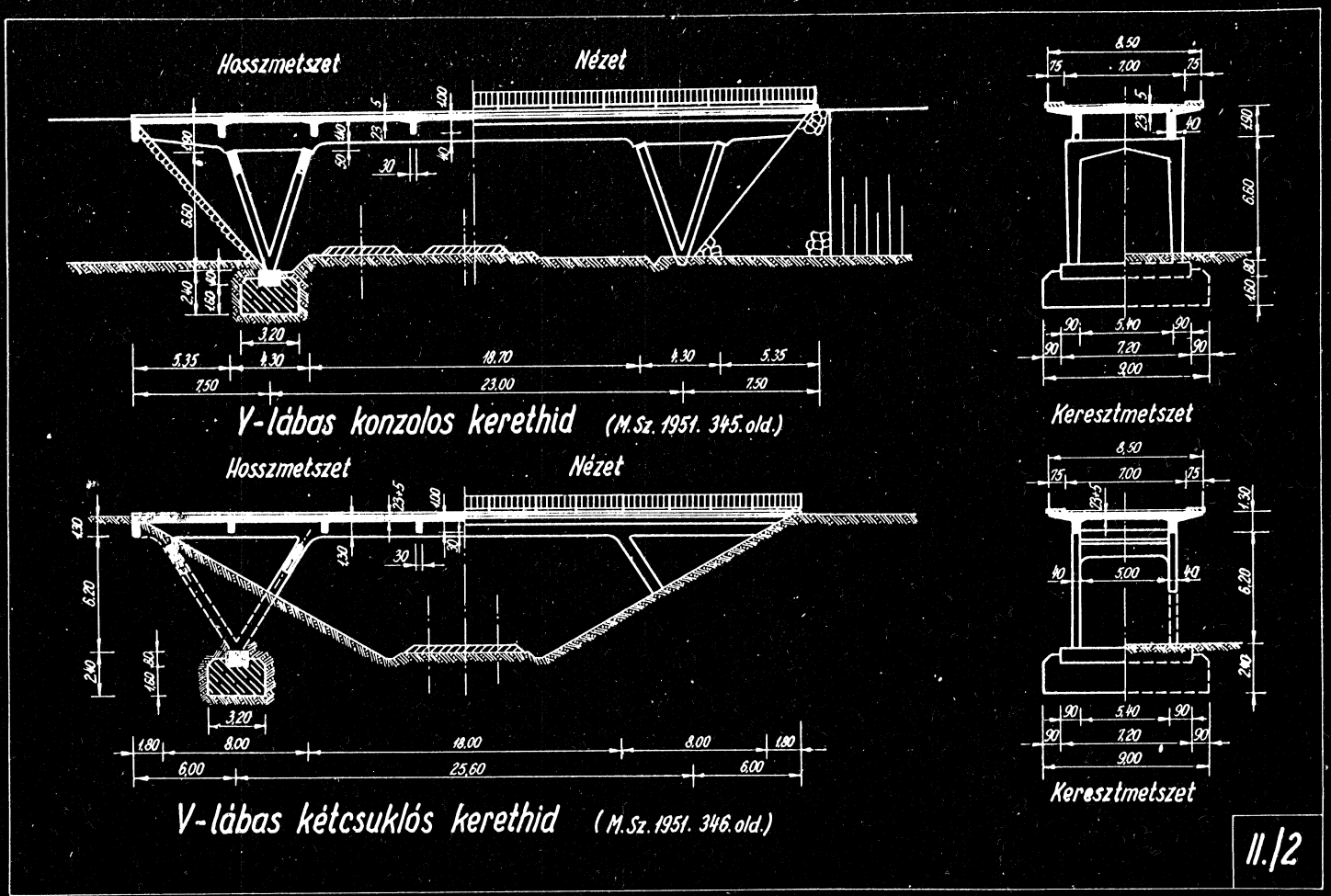
*Nézet**Zeppelin - hid (Karlsruhe) (Mö. II.k. 187.old)*

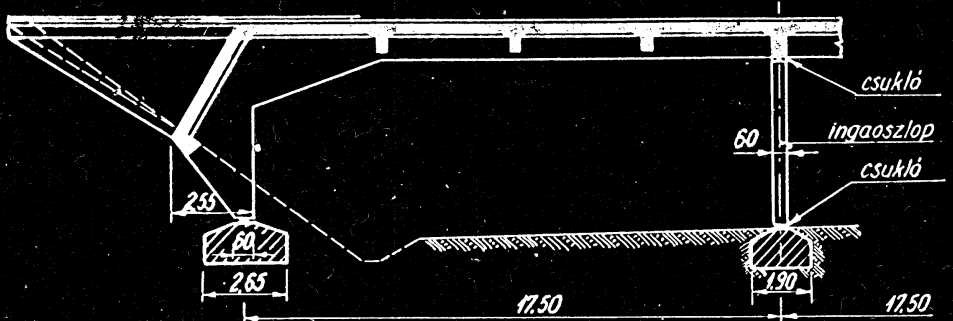
II./2



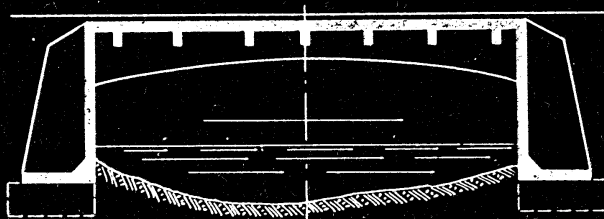
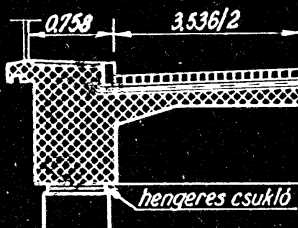






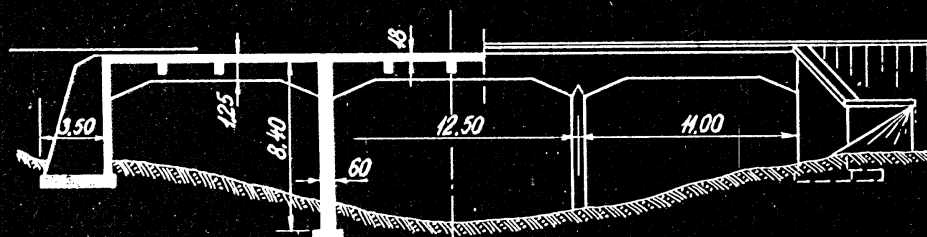


1.a) Hosszmetszet (Baut. 1939. 233. old.)

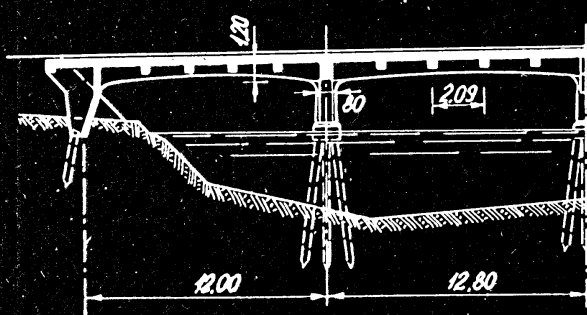


Kereszmetszet

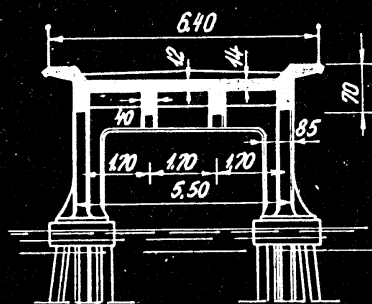
2.) Hosszmetszet (Me. II.k. 247.old.)



Vasuti hid Olaszországban (K. 158. old.)



Hosszmetszet

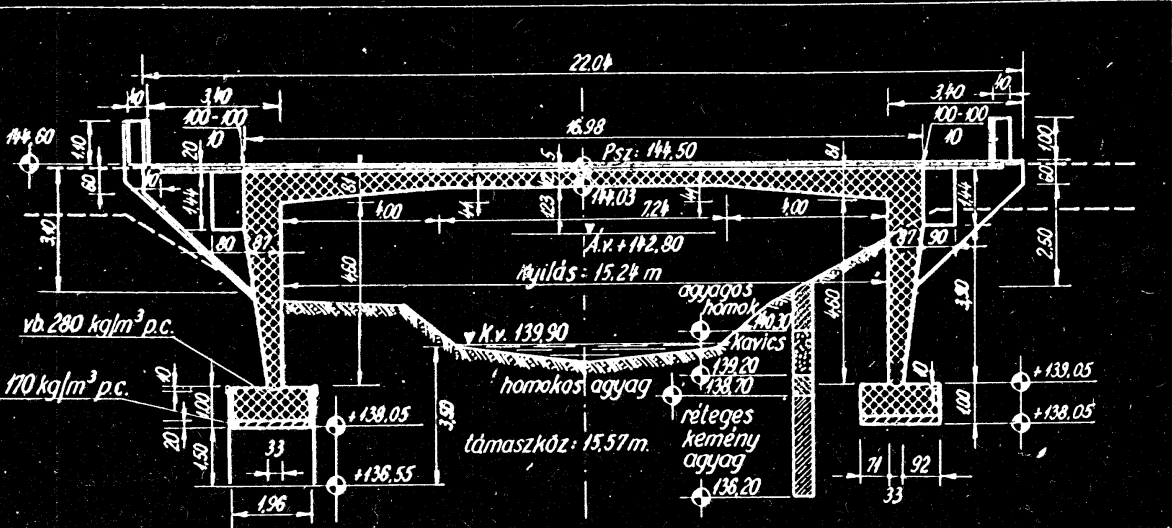


Kereszmetszet

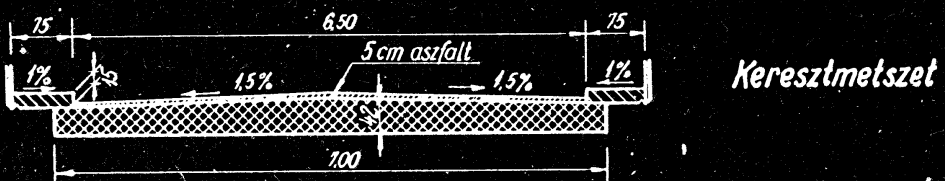
Közutti hid Elzászban

(K. 157. old.)

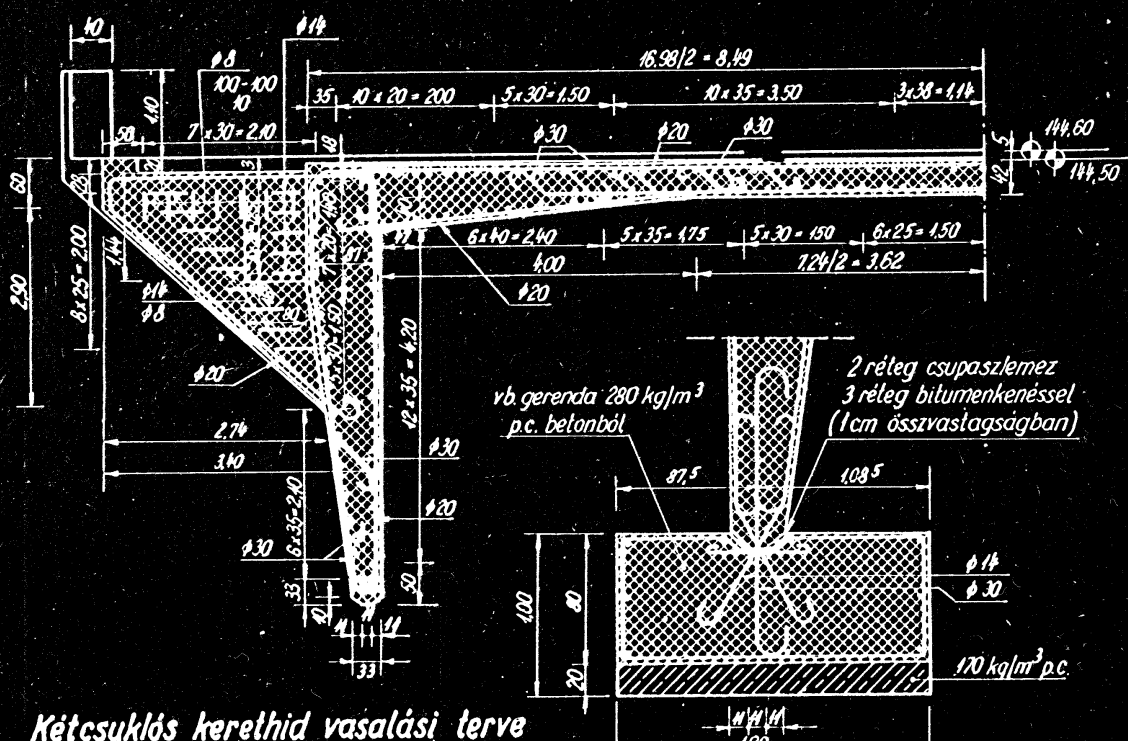
II./2



Hosszmetszet



Keresztmetszet

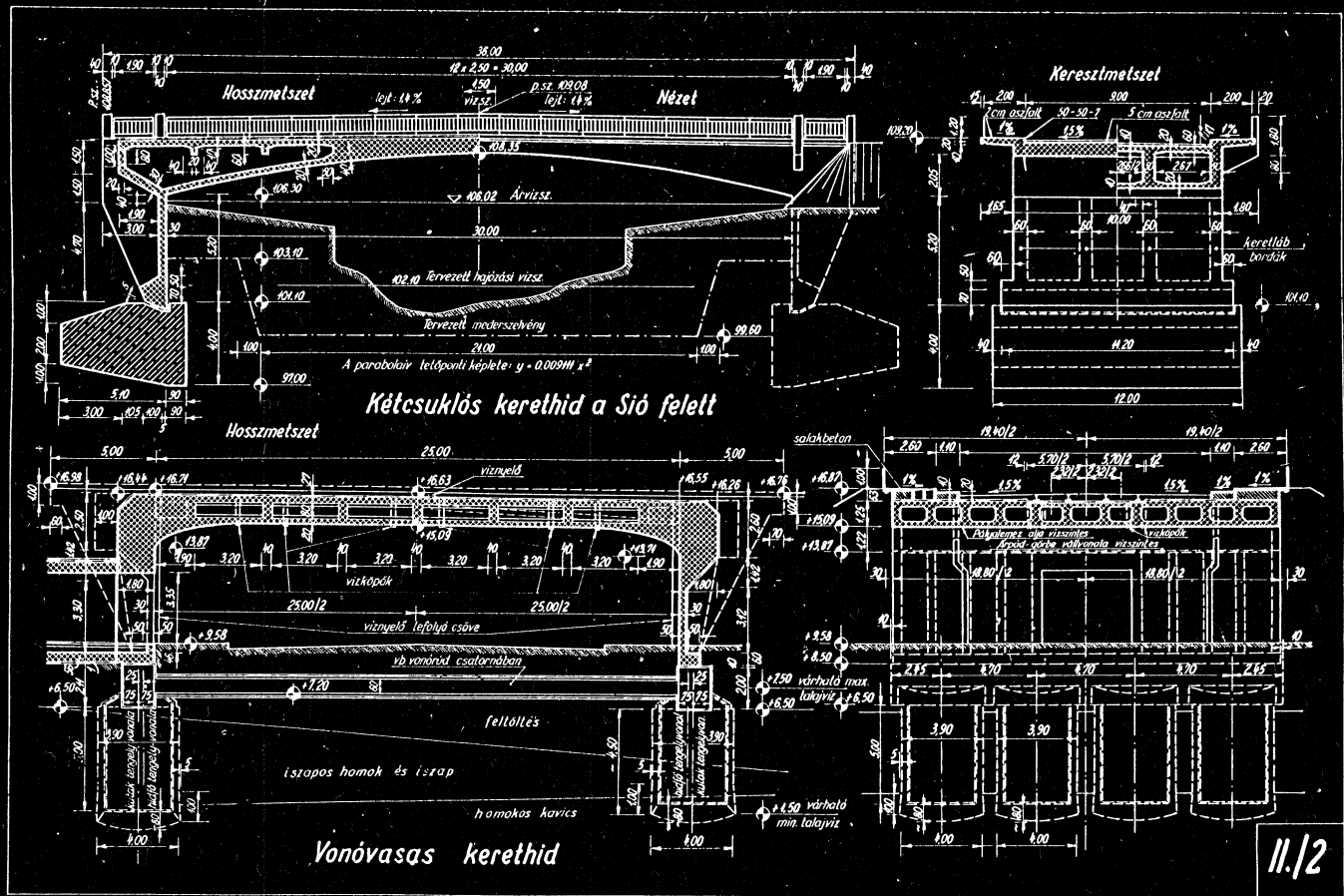


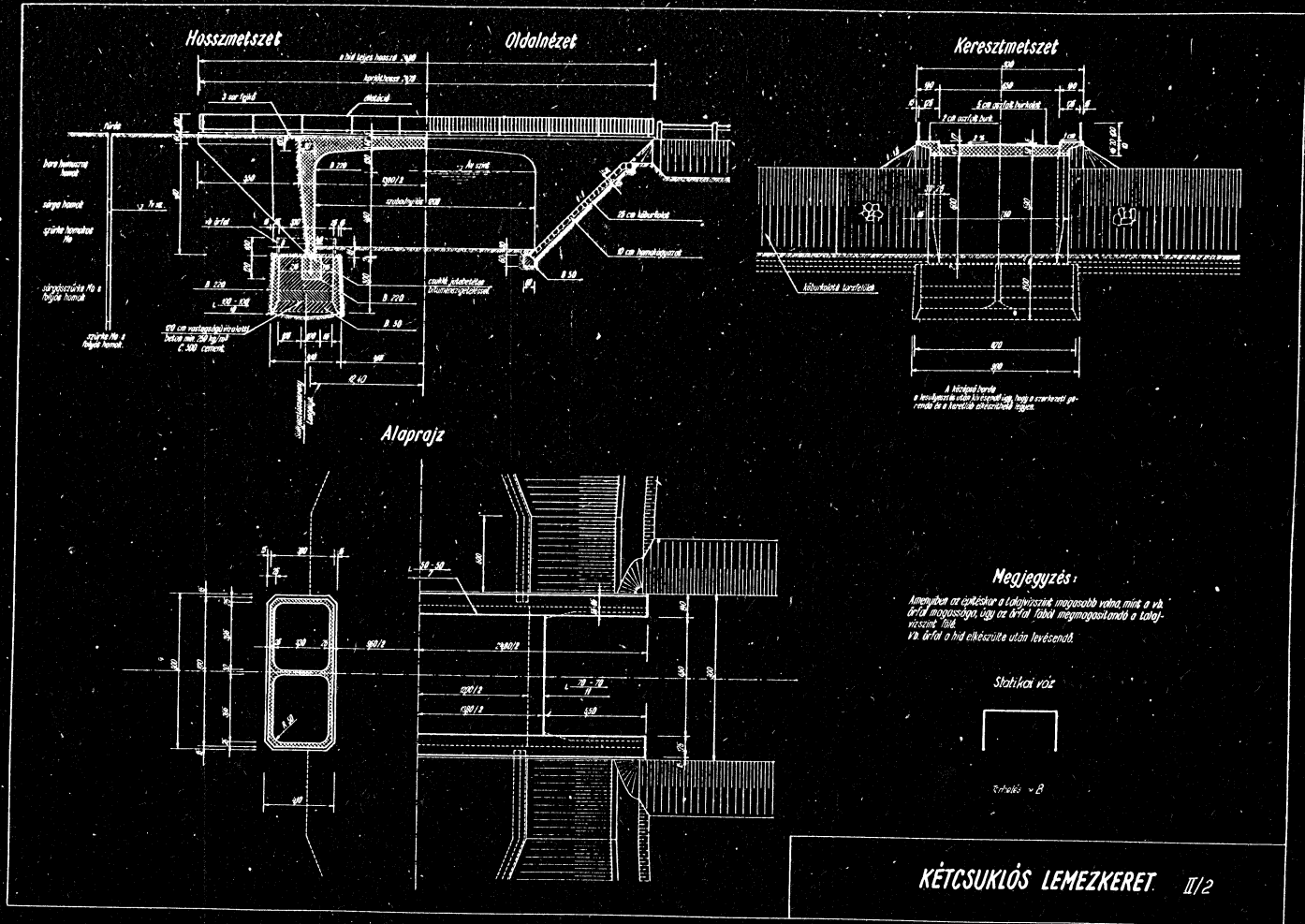
Kétsuklós kerethid vasalási terve

Vb csukló részletrajza

Kétsuklós kerethid (Lemez szerkezet. ÁMTI.)

11.12





*A-A metszet**Gyalogjáró elvédő szágvás**B-B metszet**Csukló axometrikus képe*

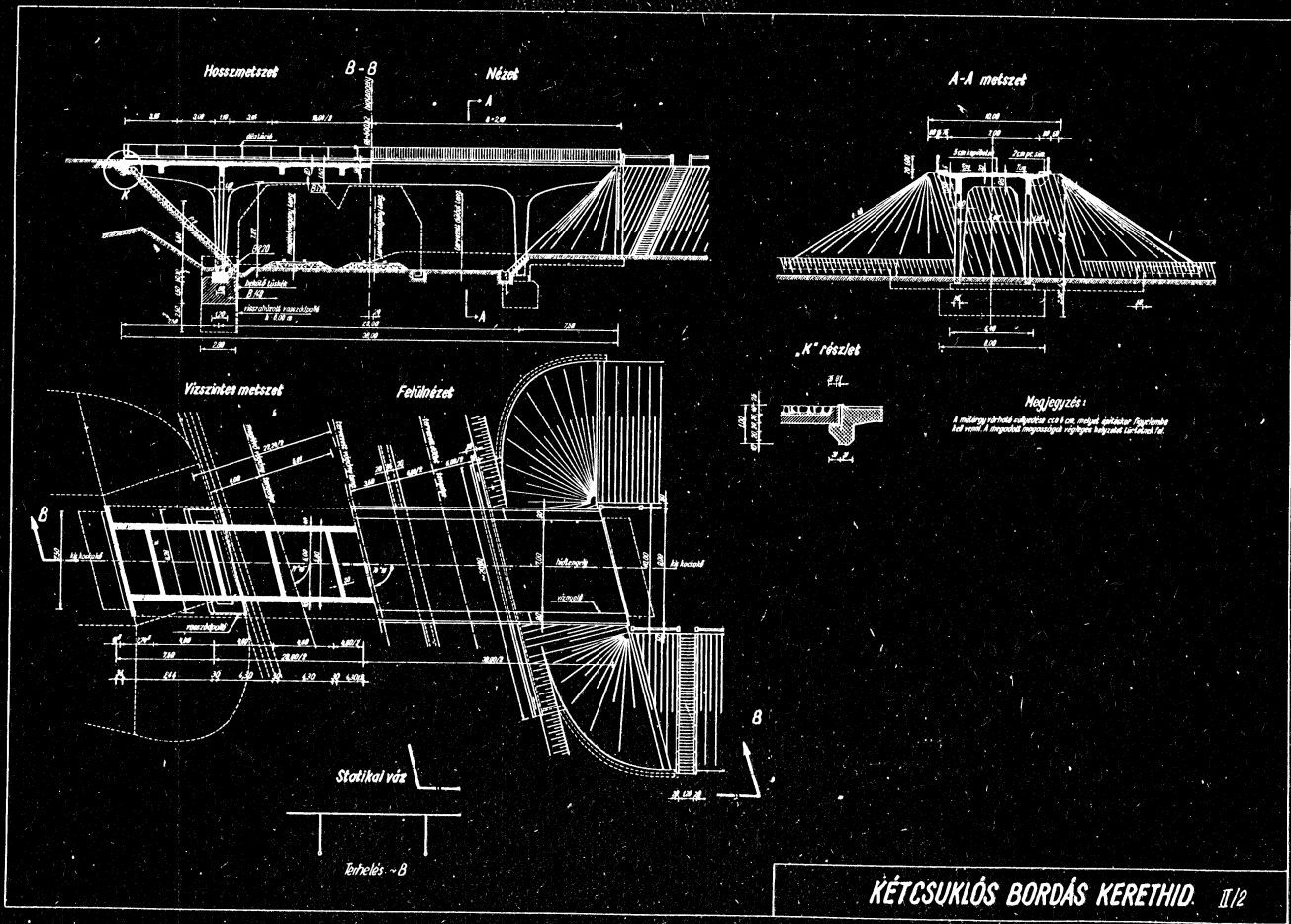
Két két személyes 3 félű vasúr a ferde
műben összekötendő

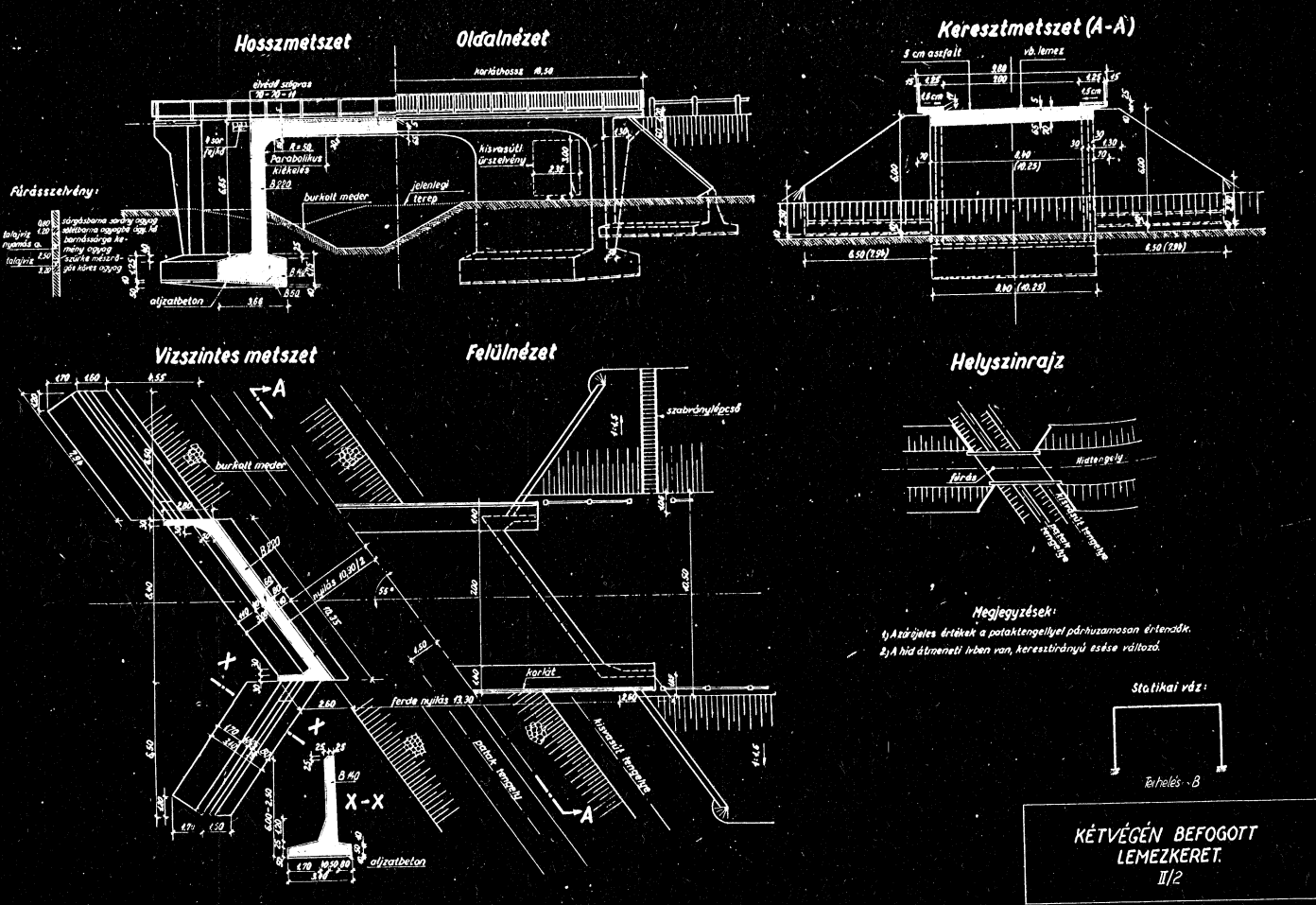
C-C metszet

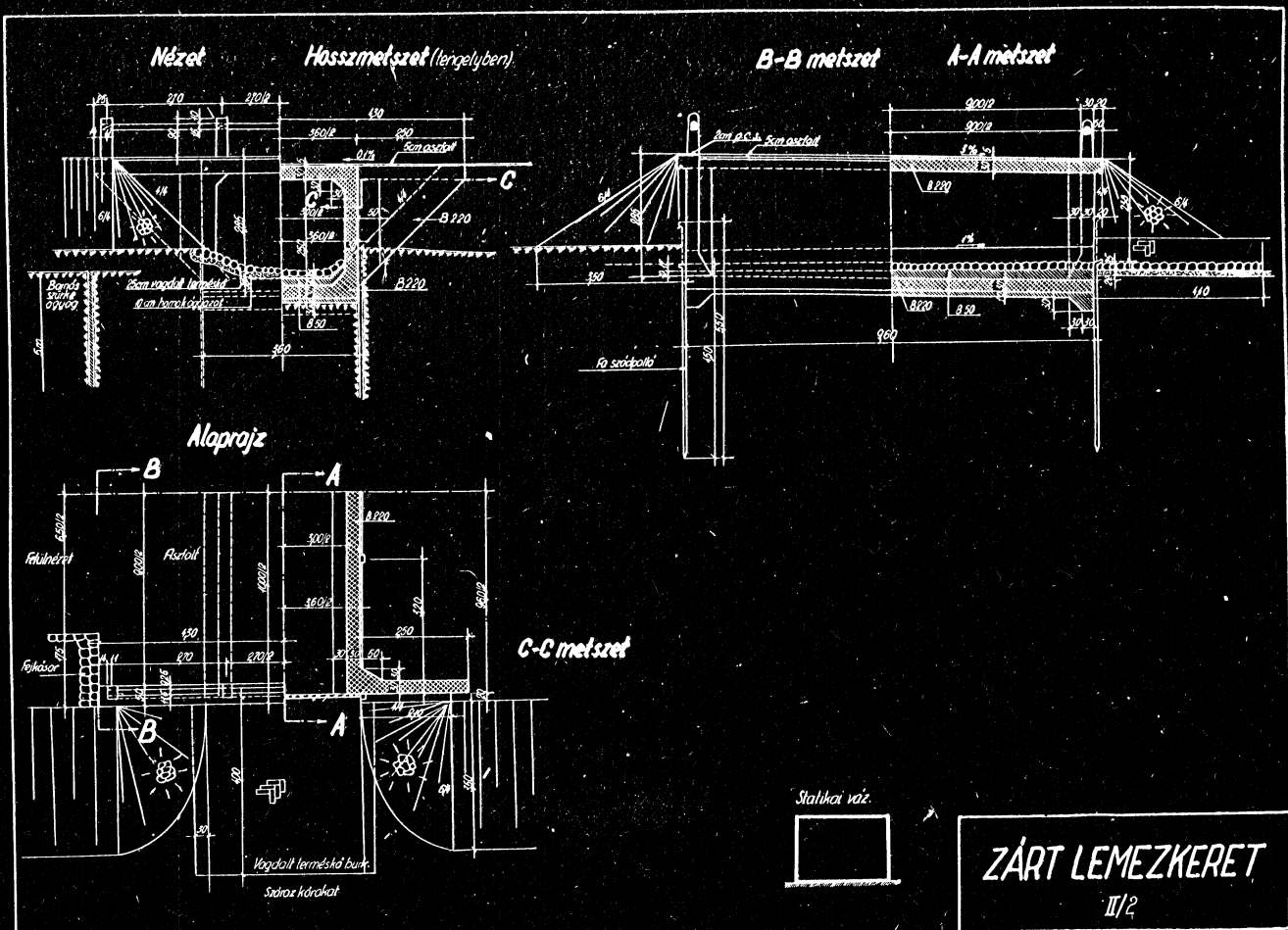
- 1) A (①) jelek vasak hosszasa arányos a (②) jelek vasak hosszával.
- 2) A (③) jelek vasak fele a (④) jelek vasak vannak.
- 3) (⑤) jelek vasak fele a (⑥) jelek vasak vannak.
- 4) (⑦) jelek vasak fele a (⑧) jelek vasak vannak.

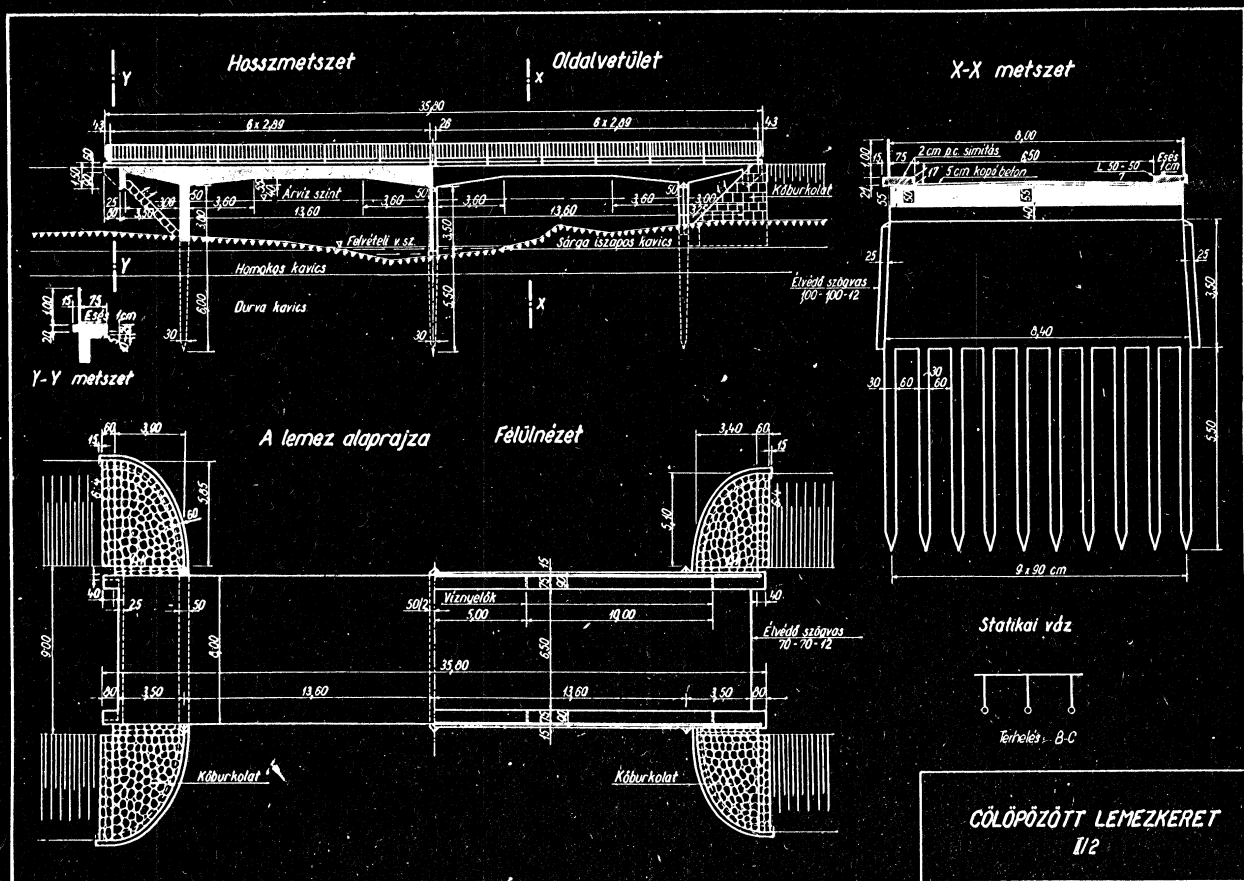
5) (⑨) jelek vasak & hosszának változása:

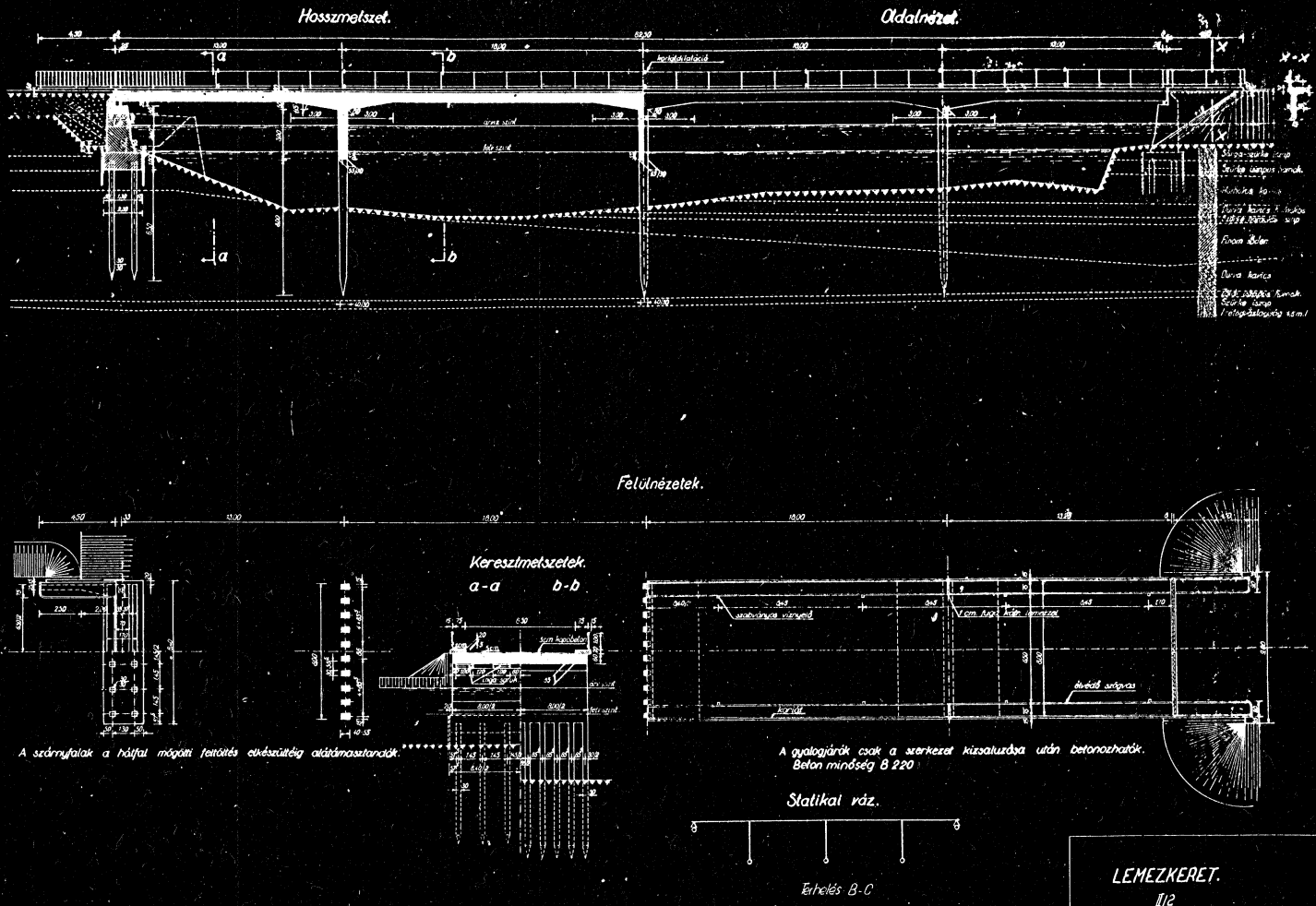
1	2	3	4	5	6	7	8	9	10	11	12	13	14	15	16	17	18	19	20	21	22	23	24	25	26	27	28	29	30	31	32	33	34	35	36	37	38	39	40	41	42	43	44	45	46	47	48	49	50	51	52	53	54	55	56	57	58	59	60	61	62	63	64	65	66	67	68	69	70	71	72	73	74	75	76	77	78	79	80	81	82	83	84	85	86	87	88	89	90	91	92	93	94	95	96	97	98	99	100	101	102	103	104	105	106	107	108	109	110	111	112	113	114	115	116	117	118	119	120	121	122	123	124	125	126	127	128	129	130	131	132	133	134	135	136	137	138	139	140	141	142	143	144	145	146	147	148	149	150	151	152	153	154	155	156	157	158	159	160	161	162	163	164	165	166	167	168	169	170	171	172	173	174	175	176	177	178	179	180	181	182	183	184	185	186	187	188	189	190	191	192	193	194	195	196	197	198	199	200	201	202	203	204	205	206	207	208	209	210	211	212	213	214	215	216	217	218	219	220	221	222	223	224	225	226	227	228	229	230	231	232	233	234	235	236	237	238	239	240	241	242	243	244	245	246	247	248	249	250	251	252	253	254	255	256	257	258	259	260	261	262	263	264	265	266	267	268	269	270	271	272	273	274	275	276	277	278	279	280	281	282	283	284	285	286	287	288	289	290	291	292	293	294	295	296	297	298	299	300	301	302	303	304	305	306	307	308	309	310	311	312	313	314	315	316	317	318	319	320	321	322	323	324	325	326	327	328	329	330	331	332	333	334	335	336	337	338	339	340	341	342	343	344	345	346	347	348	349	350	351	352	353	354	355	356	357	358	359	360	361	362	363	364	365	366	367	368	369	370	371	372	373	374	375	376	377	378	379	380	381	382	383	384	385	386	387	388	389	390	391	392	393	394	395	396	397	398	399	400	401	402	403	404	405	406	407	408	409	410	411	412	413	414	415	416	417	418	419	420	421	422	423	424	425	426	427	428	429	430	431	432	433	434	435	436	437	438	439	440	441	442	443	444	445	446	447	448	449	450	451	452	453	454	455	456	457	458	459	460	461	462	463	464	465	466	467	468	469	470	471	472	473	474	475	476	477	478	479	480	481	482	483	484	485	486	487	488	489	490	491	492	493	494	495	496	497	498	499	500	501	502	503	504	505	506	507	508	509	510	511	512	513	514	515	516	517	518	519	520	521	522	523	524	525	526	527	528	529	530	531	532	533	534	535	536	537	538	539	540	541	542	543	544	545	546	547	548	549	550	551	552	553	554	555	556	557	558	559	560	561	562	563	564	565	566	567	568	569	570	571	572	573	574	575	576	577	578	579	580	581	582	583	584	585	586	587	588	589	590	591	592	593	594	595	596	597	598	599	600	601	602	603	604	605	606	607	608	609	610	611	612	613	614	615	616	617	618	619	620	621	622	623	624	625	626	627	628	629	630	631	632	633	634	635	636	637	638	639	640	641	642	643	644	645	646	647	648	649	650	651	652	653	654	655	656	657	658	659	660	661	662	663	664	665	666	667	668	669	670	671	672	673	674	675	676	677	678	679	680	681	682	683	684	685	686	687	688	689	690	691	692	693	694	695	696	697	698	699	700	701	702	703	704	705	706	707	708	709	710	711	712	713	714	715	716	717	718	719	720	721	722	723	724	725	726	727	728	729	730	731	732	733	734	735	736	737	738	739	740	741	742	743	744	745	746	747	748	749	750	751	752	753	754	755	756	757	758	759	760	761	762	763	764	765	766	767	768	769	770	771	772	773	774	775	776	777	778	779	780	781	782	783	784	785	786	787	788	789	790	791	792	793	794	795	796	797	798	799	800	801	802	803	804	805	806	807	808	809	810	811	812	813	814	815	816	817	818	819	820	821	822	823	824	825	826	827	828	829	830	831	832	833	834	835	836	837	838	839	840	841	842	843	844	845	846	847	848	849	850	851	852	853	854	855	856	857	858	859	860	861	862	863	864	865	866	867	868	869	870	871	872	873	874	875	876	877	878	879	880	881	882	883	884	885	886	887	888	889	890	891	892	893	894	895	896	897	898	899	900	901	902	903	904	905	906	907	908	909	910	911	912	913	914	915	916	917	918	919	920	921	922	923	924	925	926	927	928	929	930	931	932	933	934	935	936	937	938	939	940	941	942	943	944	945	946	947	948	949	950	951	952	953	954	955	956	957	958	959	960	961	962	963	964	965	966	967	968	969	970	971	972	973	974	975	976	977	978	979	980	981	982	983	984	985	986	987	988	989	990	991	992	993	994	995	996	997	998	999	1000	1001	1002	1003	1004	1005	1006	1007	1008	1009	1010	1011	1012	1013	1014	1015	1016	1017	1018	1019	1020	1021	1022	1023	1024	1025	1026	1027	1028	1029	1030	1031	1032	1033	1034	1035	1036	1037	1038	1039	1040	1041	1042	1043	1044	1045	1046	1047	1048	1049	1050	1051	1052	1053	1054	1055	1056	1057	1058	1059	1060	1061	1062	1063	1064	1065	1066	1067	1068	1069	1070	1071	1072	1073	1074	1075	1076	1077	1078	1079	1080	1081	1082	1083	1084	1085	1086	1087	1088	1089	1090	1091	1092	1093	1094	1095	1096	1097	1098	1099	1100	1101	1102	1103	1104	1105	1106	1107	1108	1109	1110	1111	1112	1113	1114	1115	1116	1117	1118	1119	1120	1121	1122	1123	1124	1125	1126	1127	1128	1129	1130	1131	1132	1133	1134	1135	1136	1137	1138	1139	1140	1141	1142	1143	1144	1145	1146	1147	1148	1149	1150	1151	1152	1153	1154	1155	1156	1157	1158	1159	1160	1161	1162	1163	1164	1165	1166	1167	1168	1169	1170	1171	1172	1173	1174	1175	1176	1177	1178	1179	1180	1181	1182	1183	1184	1185	1186	1187	1188	1189	1190	1191	1192	1193	1194	1195	1196	1197	1198	1199	1200	1201	1202	1203	1204	1205	1206	1207	1208	1209	1210	1211	1212	1213	1214	1215	1216	1217	1218	1219	1220	1221	1222	1223	1224	1225	1226	1227	1228	1229	1230	1231	1232	1233	1234	1235	1236	1237	1238	1239	1240	1241	1242	1243	1244	1245	1246	1247	1248	1249	1250	1251	1252	1253	1254	1255	1256	1257	1258	1259	1260	1261	1262	1263	1264	1265	1266	1267	1268	1269	1270	1271	1272	1273	1274	1275	1276	1277	1278	1279	1280	1281	1282	1283	1284	1285	1286	1287	1288	1289	1290	1291	1292	1293	1294	1295	1296	1297	1298	1299	1300	1301	1302	1303	1304	1305	1306	1307	1308	1309	1310	1311	1312	1313</

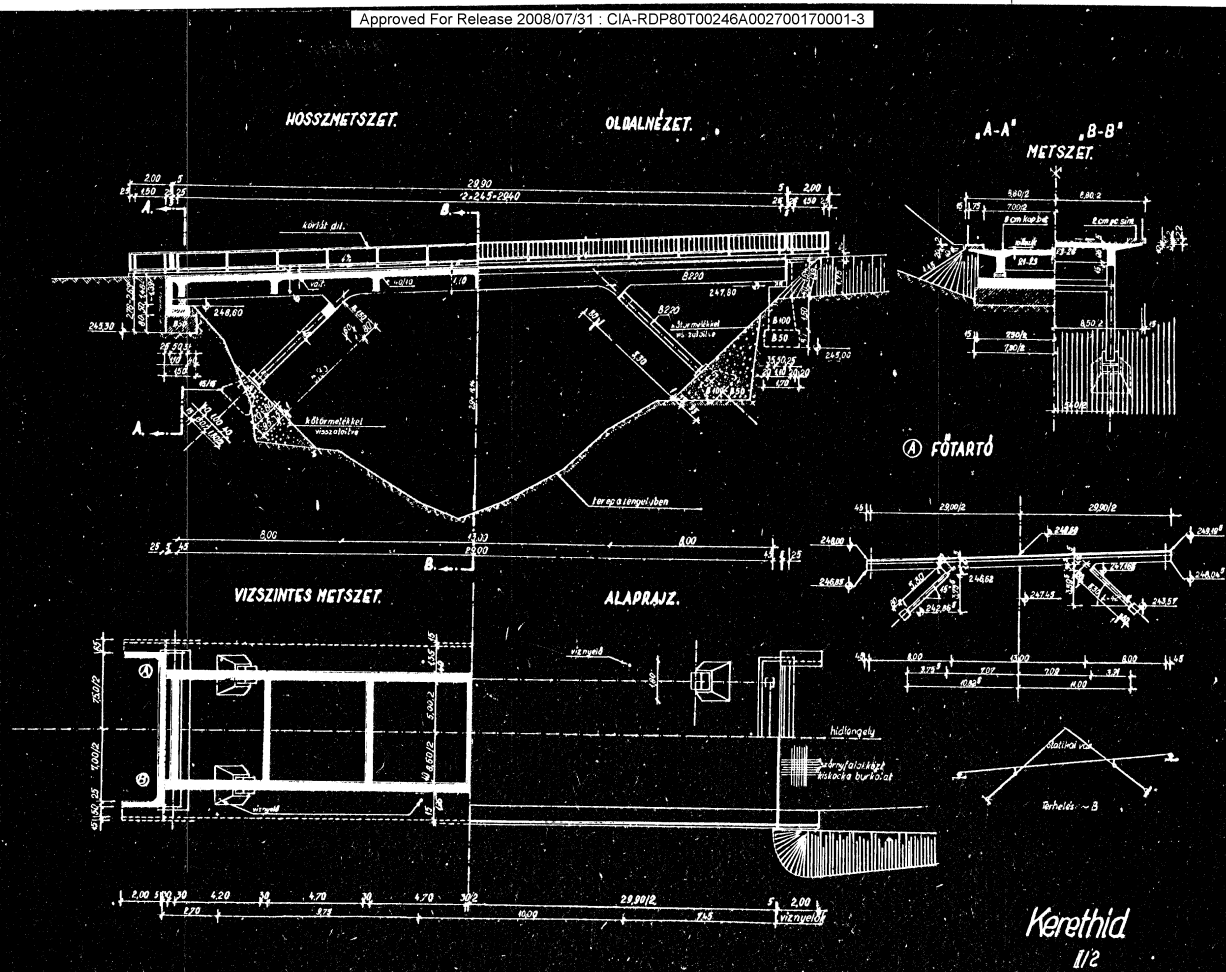






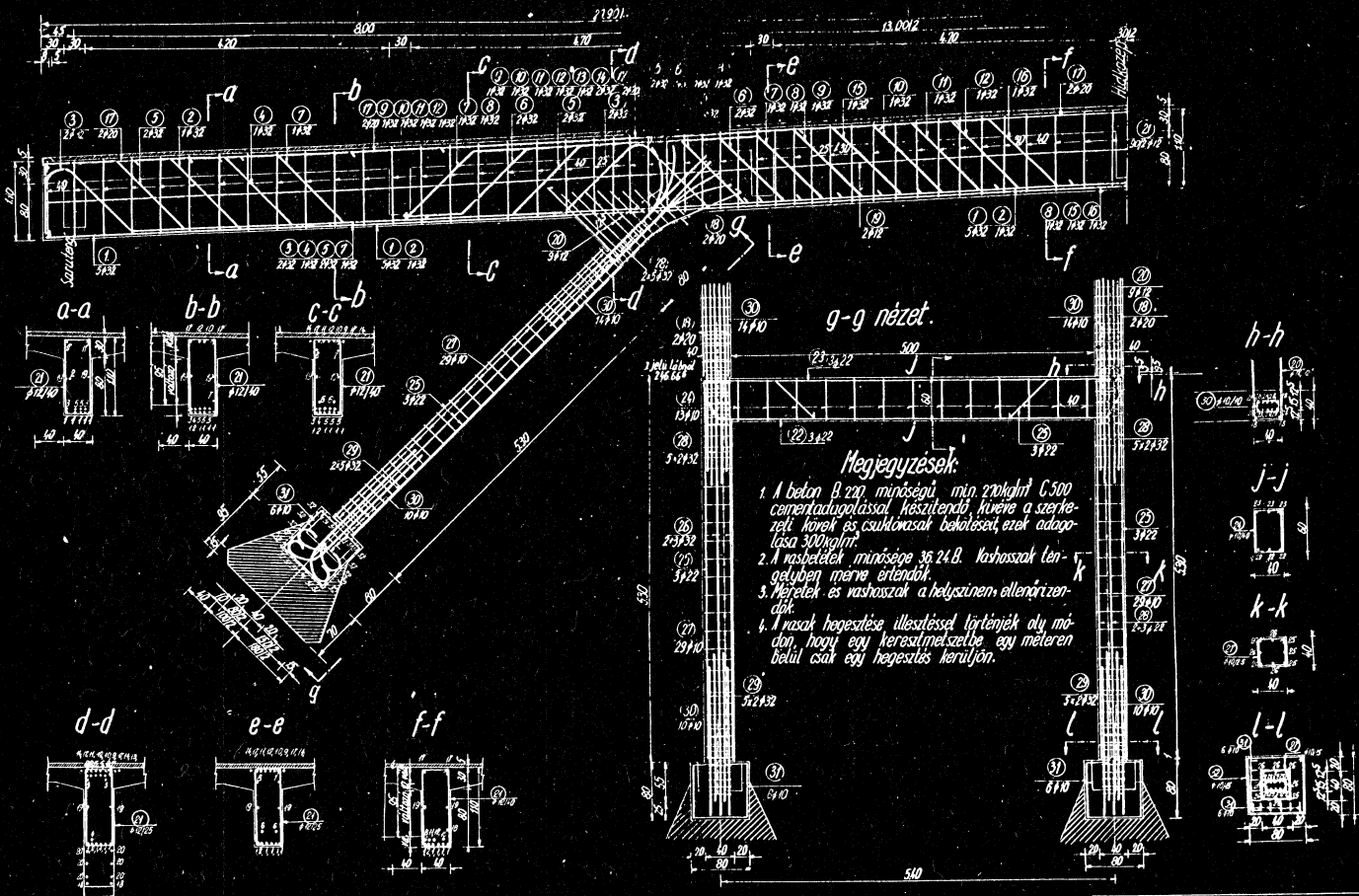




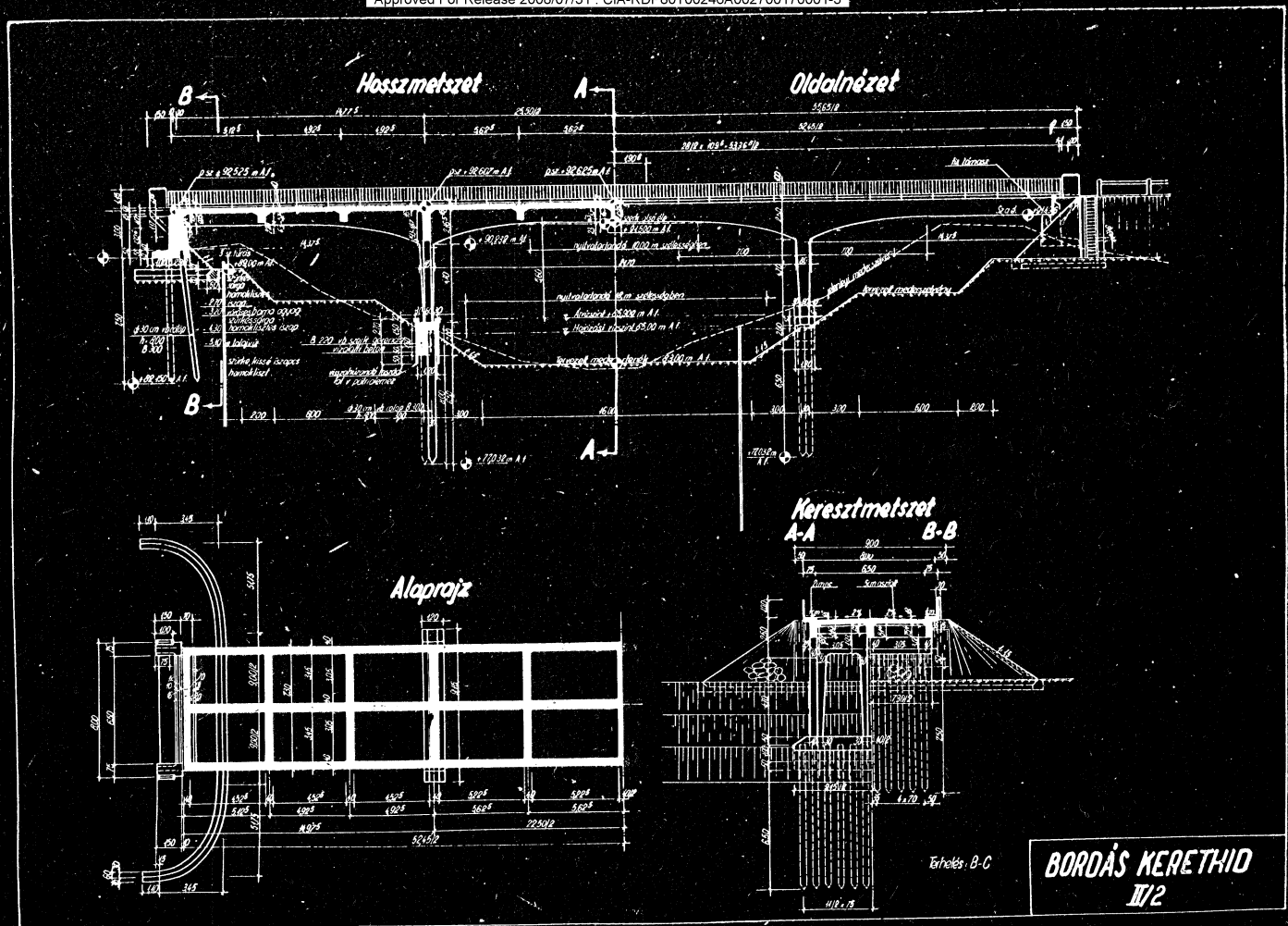


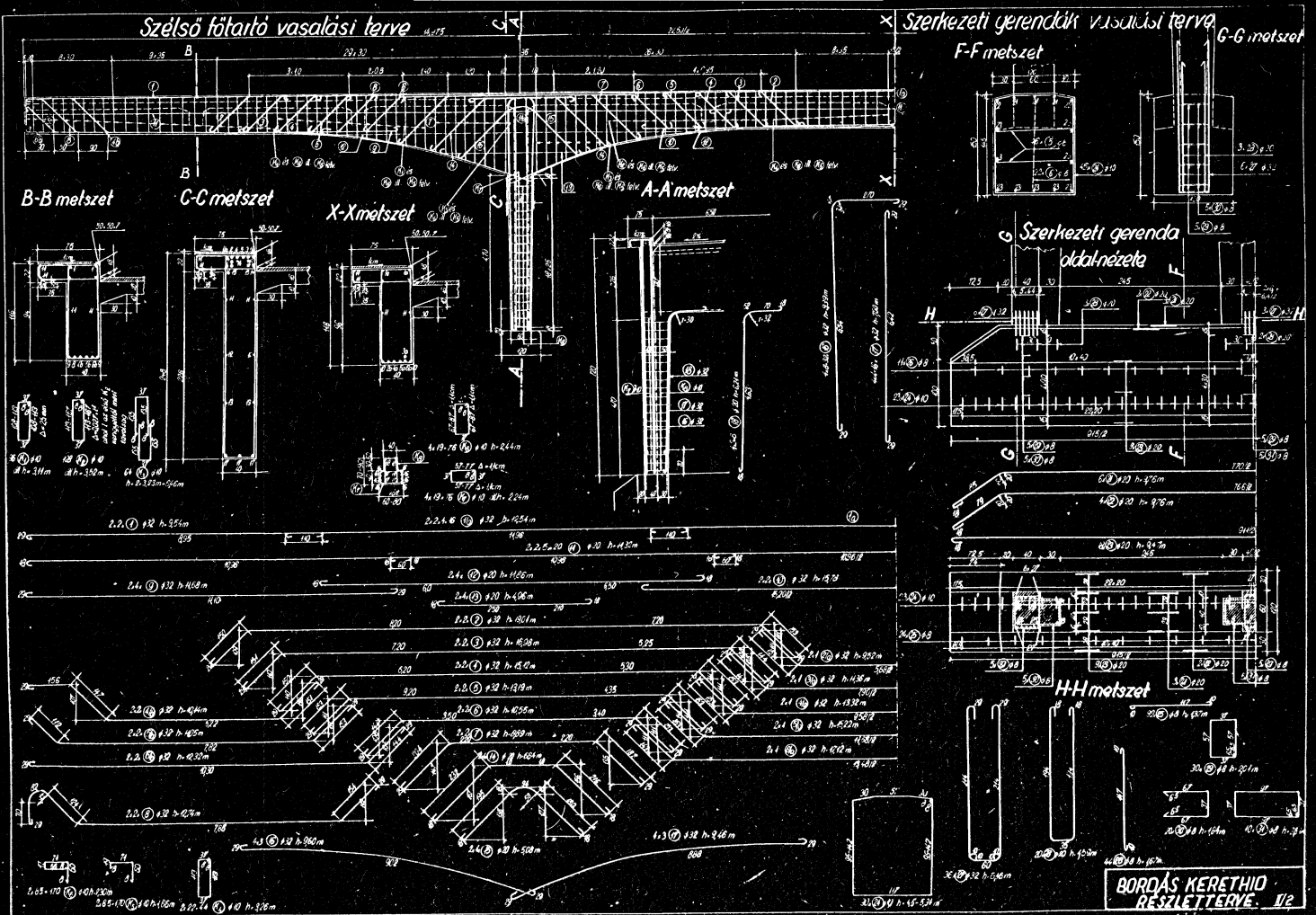
Kerethid
II/2

Főtartó oldalnézet



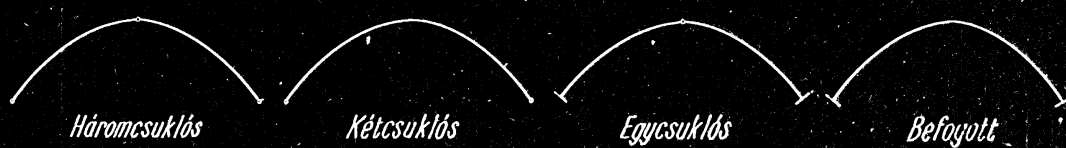
KERETHÍDŐ, FŐTARTÓK,
LÁBAK. II/2 1.0





Ivek osztályozása a főtartó rendszere szerint

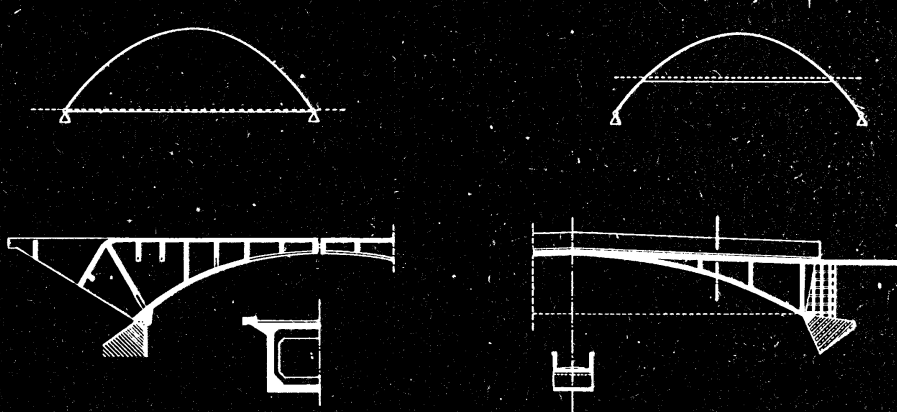
Valódi iveauk



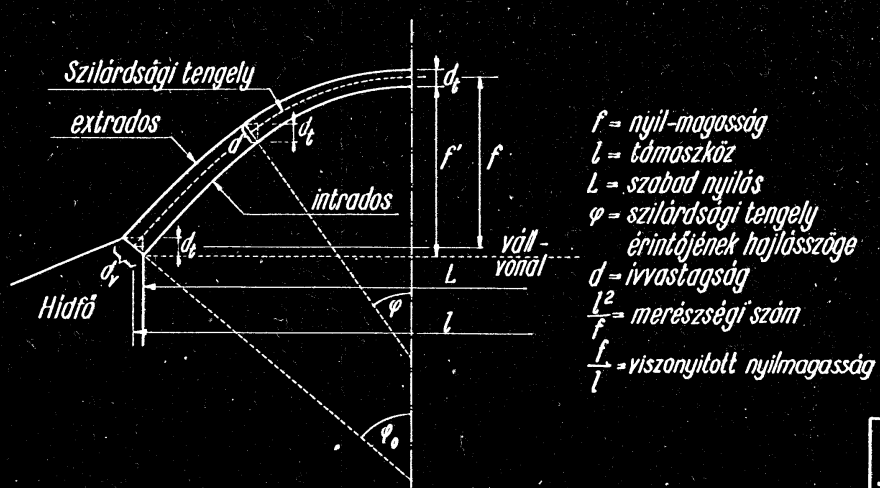
Al-iveauk



Kombinált iveauk



Jelölések

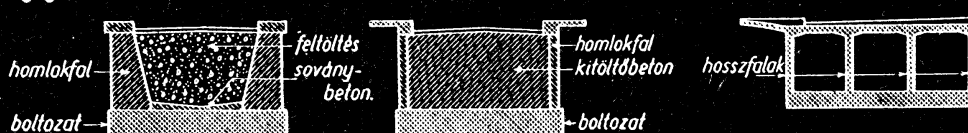


III/1

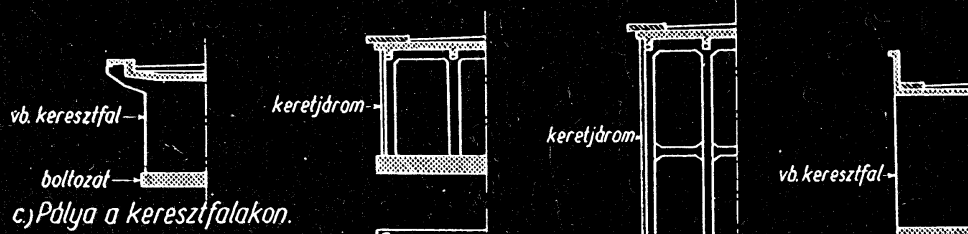
Ivek osztályozása keresztmetszeti elrendezés szerint.

(A) Felsőpályás elrendezés.

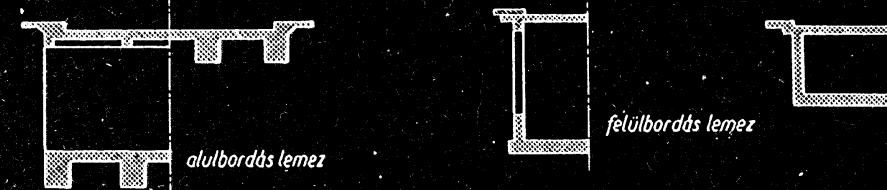
1.) Végigmenő tömör boltozat.



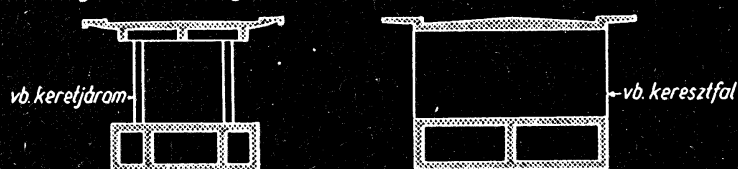
a) Pálya a homlokfalak közt lévő kitöltőbányagon. b) Pálya a hosszfalakon.



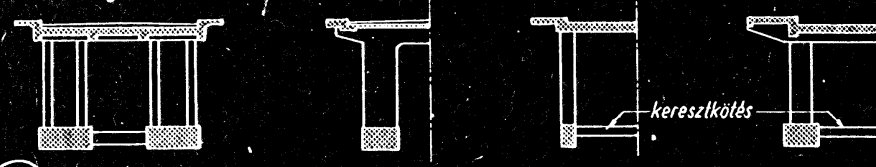
2.) Végigmenő bordás lemez.



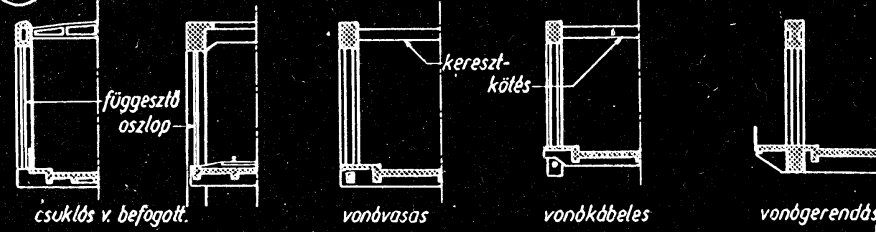
3.) Végigmenő szekrényes szelvény.



4.) Osztott szelvényű félartó.

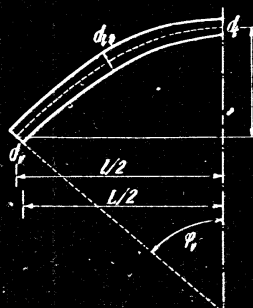


(B) Alsópályás elrendezés.



III./1.

Az ívtartó közelítő méretei.



Az előző gyakorlati képletek közötti hidaknál B 200-as beton, B jelű terhelés, két járatú lemezes vasbeton hid esetén érvényesek. Vasúti hidnál B jelű terhelésű egyvágányú hidra vonatoknak. A gyakorlati kiképzése konzolos.

$$\text{Beton boltzatokra } d_t = 0.3 + 0.01L + 0.02r$$

$$r = \frac{H^2 + L^2}{8F}$$

$$\text{vagy } d_t = 0.3 + 0.018 + 0.02 \frac{l^2}{F} \quad (\text{B 40})$$

$$d_t = 0.2 + 0.05L + 0.013 \frac{l^2}{F} \quad (\text{B 200})$$

$$\text{Vasbeton boltzatokra } d_t = 0.10 + 0.005L + 0.0009 \frac{l^2}{F}$$

Célszerű nyílás mag.	Háromszuklós $\frac{f}{t} \leq \left(\frac{f}{10} \sim \frac{f}{12}\right)$	Kétsuklós $\left(\frac{f}{8} \sim \frac{f}{7}\right) \leq \frac{f}{t} \leq \left(\frac{f}{10} \sim \frac{f}{12}\right)$	Befogott $\frac{f}{t} \geq \frac{f}{8} \sim \frac{f}{7}$	Vonásas $\frac{f}{t} = \frac{f}{3} \sim \frac{f}{7}$
Közúti hidak	$d_{t/4}$ $\frac{2}{3} d_t$ d_v $\frac{d_t}{\cos \varphi_v}$	$0.018(l+15)$ $\frac{2}{3} d_{t/4}$ $d_{t/4}$ $\frac{d_t}{\cos \varphi_v}$	$d_{\text{OH}} = 0.015(l+15)$ $\approx \frac{l}{35}$	$\frac{d_t}{\cos \varphi_{t/4}}$ $0.008(l+15)$ $\frac{d_t}{\cos \varphi_v}$ $\frac{d_t}{\cos \varphi_{t/4}}$
	d_t	$0.028(l+20)$ $\frac{2}{3} d_t$ d_v $\frac{d_t}{\cos \varphi_v}$	$d_{\text{OH}} = 0.022(l+20)$ $\approx \frac{l}{35}$	$0.018(l+20)$ $\frac{d_t}{\cos \varphi_v}$
	$d_{t/4}$			$d = \frac{l}{25}$
Vasúti hid	$d_{t/4}$ d_t d_v	$0.028(l+20)$ $\frac{2}{3} d_{t/4}$ $\frac{d_t}{\cos \varphi_v}$	$d_{\text{OH}} = 0.022(l+20)$ $\approx \frac{l}{35}$	$0.018(l+20)$ $\frac{d_t}{\cos \varphi_v}$
	d_t			
	$d_{t/4}$			
A merésszegi szám függvénye benn.				
Közúti hid	d_t $d_{t/4}$	$0.18 + 0.007l + 0.0007 \frac{l^2}{F}$ $\frac{2}{3} d_t$	$d_{\text{OH}} = 0.22 + 0.009l + 0.001 \frac{l^2}{F}$	$0.10 + 0.005l + 0.0005 \frac{l^2}{F}$ $\frac{d_t}{\cos \varphi_{t/4}}$
	$d_{t/4}$			
Vasúti hid	d_t $d_{t/4}$	$0.38 + 0.011l + 0.001 \frac{l^2}{F}$ $\frac{2}{3} d_t$	$d_{\text{OH}} = 0.44 + 0.014l + 0.0014 \frac{l^2}{F}$	$0.20 + 0.008l + 0.0008 \frac{l^2}{F}$ $\frac{d_t}{\cos \varphi_{t/4}}$
	$d_{t/4}$			

Összött szelvényű főtartó esetén

$$\text{a szelvénymagasság } D = \frac{3}{2} d \quad \text{ahol } d \text{ a lemeziránt számított ivastagság}$$

$$\text{szelvényszélesség } \approx \frac{2}{3} D$$

$$\text{vasúti hidon } D = \frac{4}{3} d$$

$$\text{n-járatú hid esetén közúti hid } D_n = \frac{n+2}{4} D$$

$$\text{vasúti hid } D_n = \frac{n+1}{2} D$$

Merevitőgerendás innél az ivméret a vonásas ivének $2/3$ -a

$$\text{a merevitő gerenda magassága } \frac{l}{25} \sim \frac{l}{30}$$

Ökoliszabály a felvett méretek ellenorzsésére.

$$H_{\text{felv}} = g_i R$$

$$\sigma_{\text{felv}} = \frac{H}{F} = \frac{g_i}{F} R = \sigma_i R = \pi \frac{l^2}{8F} \leq \sigma_o$$

R a tetejpontról görbületi sugara

σ_i ideális térfogatsúly: nagy feszítavú, lapos boltzatotól $\sigma_i = 3.0 \text{ t/m}^3$
kis feszítavú, magas boltzatotól $\sigma_i = 4.0 \text{ t/m}^3$

Háromszuklós és befogott ivnál $\sigma_d = (0.3 - 0.4) \sigma_{\text{onyH}}$

Kétsuklós ivnál $\sigma_d = (0.25 - 0.3) \sigma_{\text{onyH}}$

Vonásas ivnál $\sigma_d = (0.25 - 0.3) \sigma_{\text{onyH}}$

Merevitett ivnál $\sigma_d = (0.4 - 0.45) \sigma_{\text{onyH}}$

III/2

A szilárdsági tengely tervezése

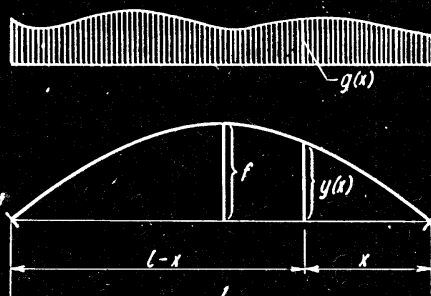
Általános esetben

Feltelet: A tómaszvonal fedje a szilárdsági tengelyt, állandó vagy állandó + $1/2 \rho$ leherre.

Alapegyenlet: $\frac{d^2 M(x)}{dx^2} = -g(x)$

A tómaszvonal meghatározásához vagy a kettőmaszű szabadon elforduló vagy a konzolartóból indulunk ki. A konzolartó szimmetria esetén előnyös:

- Alapelvek:
- 1.) Adott a terhelés, keresendő a szilárdsági tengely.
 - 2.) Adott a szilárdsági tengely geometriai alakja, keresendő a terhelés.
 - 3.) Adott a terhelés, keresendő a szilárdsági tengely.

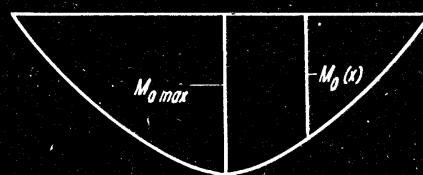


$$M(x) = M_{0x} - H_g y(x) = 0$$

M_{0x} az l tómaszközű, kettőmaszű tartó nyomatéka

H_g a kötélerő viszintes összetevője

$$H_g = \frac{M_{0max}}{f}$$



$$\text{tehát } y(x) = \frac{M_{0x}}{H_g} = \frac{M_{0x} f}{M_{0max}}$$

- 1a) Adott a terhelés függvényalakja $g(x) = \text{constans}$



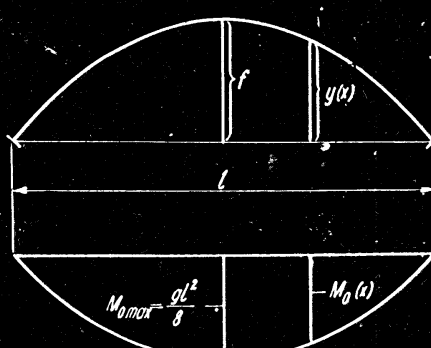
$$M_{0x} = \frac{gl^2}{2} \cdot \xi(1-\xi); \text{ ha } \xi = \frac{x}{l}$$

$$\xi = \frac{1}{2} \text{ esetén}$$

$$M_{0x} = M_{0max} = \frac{gl^2}{8}$$

$$H_g = \frac{M_{0max}}{\rho} = \frac{gl^2}{8\rho}$$

$$y(x) = \frac{M_{0x}}{H_g} = 4f \xi(1-\xi)$$



III/2

A szilárdsgági tengely tervezése

(b) A terhelés másodfokú parabola alakban adott keresendő a szilárdsgági tengely.

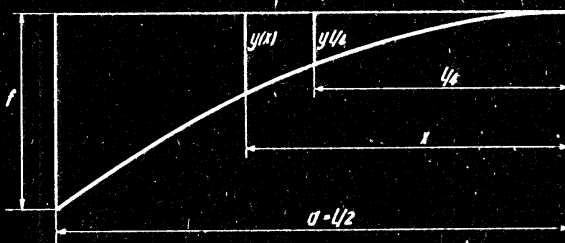


Adott a terhelés

$$g/x = g_f + Eg_f s^2 - g_f(1+E s^2)$$

$$\text{ha } g_f - g_f - Eg_f$$

$$\text{és } s \cdot \frac{x}{d} = \frac{s}{U_2}$$



A féliren mint konzolon végezzük a számítást

A völtnél a nyomaték maximális

$$M_r = g_f \frac{\sigma^2}{2} + Eg_f \frac{\sigma^2}{12} = \frac{4g_f^2}{12} (1+E)$$

$$H_g = \frac{M_r}{F} = g_f \frac{\sigma^2}{2F} + Eg_f \frac{\sigma^2}{12F} = \frac{4g_f^2}{12F} (1+E)$$

$$M_0(x) = g_f \frac{x^2}{2} + Eg_f \frac{x^2}{2} \frac{x^2}{12} = g_f \frac{x^2}{12} (1+E s^2)$$

$$y(0) = \frac{M_0(x)}{H_g} = \frac{g_f x^2}{12} (1+E s^2) \frac{12F}{g_f \sigma^2 (1+E)} = F \frac{3^2 (1+E s^2)}{6 \cdot E}$$

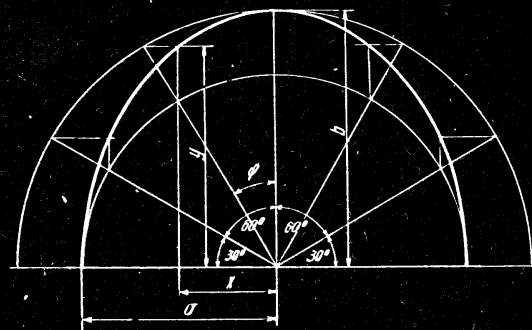
$$y(x) = F \frac{3^2 (1+E s^2)}{6 \cdot E} = \eta_F$$

Az η értékeit E és s függvényében az alábbi táblázat tartalmazza.

E	$\frac{g_f}{g_f}$	η értékek							
		0,00	0,25	0,50	0,75	1,00	1,10	1,20	1,30
0,00	1,00	0,0625	0,2500	0,5630			1,2100	1,440	1,6900
0,25	1,25	0,0602	0,2425	0,5540			1,2200	1,4680	1,7370
0,50	1,50	0,0580	0,2354	0,5440			1,2300	1,4880	1,7600
0,75	1,75	0,0560	0,2292	0,5360			1,2300	1,5100	1,8200
1,00	2,00	0,0542	0,2232	0,5280			1,2460	1,5300	1,8560
1,25	2,25	0,0524	0,2177	0,5210			1,2540	1,5400	1,8900
1,50	2,50	0,0508	0,2125	0,5140			1,2610	1,5670	1,9220
1,75	2,75	0,0493	0,2075	0,5070			1,2670	1,5830	1,9530
2,00	3,00	0,0479	0,2031	0,5020			1,2730	1,5980	1,9820

A szilárdsági tengely tervezése.

2. Adott a szilárdsági tengely geometriai alakja, keresendő a terhelés.



Adott az ellipszis egyenlete

$$x = a \sin \varphi$$

$$y = b \cos \varphi$$

és a felülponti leher: g_a

Keresendő: $g(x)$

Megoldjuk $\frac{d^2 M_0(x)}{dx^2} = -g(x)$ egyenletet.

$$M_0(x) = Hg y = Hg b \cos \varphi$$

$$\frac{d M_0(x)}{dx} = Hg \frac{dy}{dx} = Hg \frac{dy}{d\varphi} \frac{d\varphi}{dx} = -Hg \frac{b \sin \varphi}{a \cos \varphi} = -Hg \frac{b}{a} \operatorname{tg} \varphi$$

$$\text{mivel } \frac{dx}{d\varphi} = a \cos \varphi$$

$$\frac{d^2 M_0(x)}{dx^2} = \frac{d}{d\varphi} \left(\frac{d M_0(x)}{dx} \right) \frac{d\varphi}{dx} = -Hg \frac{b}{a^2} \frac{1}{\cos^2 \varphi} = g(x)$$

ha $\varphi = 0$

$$g(x) = g_a = Hg \frac{b}{a^2}$$

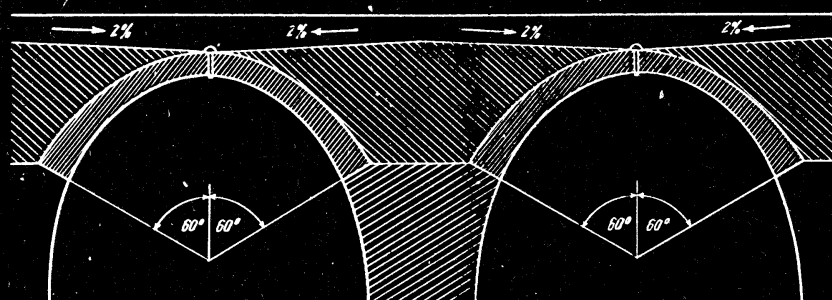
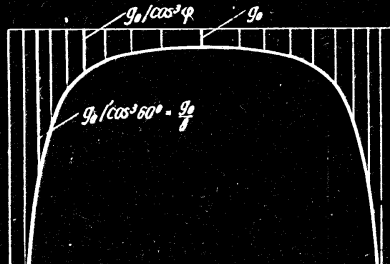
$$\text{ebből } Hg = \frac{a^2}{b} g_a$$

Iehát

$$g(x) = g_a \frac{1}{\cos^2 \varphi}$$

$\varphi = 90^\circ$ esetén $g(x) = \infty$

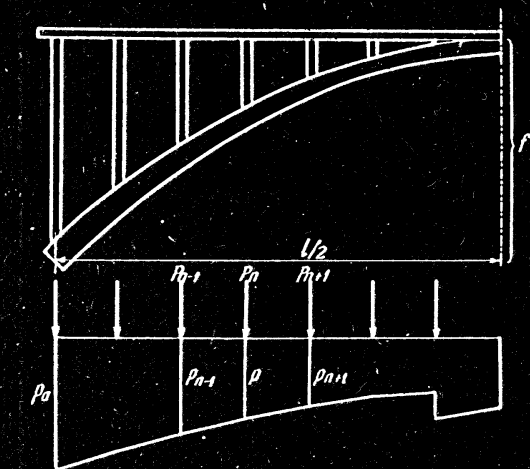
A vállakat rendszerint $\varphi = 60^\circ$ -nál képezik ki.



III/2

A szilárdsági tengely tervezése

A terhelés nem függvénytelenben ismert, keresendő a szilárdsági tengely.



Irodolt $p(x)$ és P .

Keresendő y

$p(x) \rightarrow$ az átviteli függőlegesekbe redukáljuk.

$$P_n = \frac{\Delta x_{n,n+1}}{6} (2p_n + p_{n+1}) + \frac{\Delta x_{n-1,n}}{6} (p_{n-1} + 2p_n)$$

ha $\Delta x = \text{constans}$

$$P'_n = \frac{\Delta x}{6} (p_{n-1} + 4p_n + p_{n+1})$$

$$P'_0 = \frac{\Delta x}{6} (2p_0 + p_1)$$

ha parabolikusok töltsék fel p_n változását

$$P'_n = \frac{\Delta x}{12} (p_{n-1} + 10p_n + p_{n+1})$$

$$P'_0 = \frac{\Delta x}{12} (3.5p_0 + 3p_1 - 0.5p_2)$$

$$\delta_n = P_n + P'_n$$

A θ terhelésből számítjuk a nyíró- M illetve eredő-erőket (R)

$$R_{n,n+1} = R_{n-1,n} - \delta_n$$

Ha a terhelés nem szimmetrikus, akkor először a reakciódereket kell meghatározni.

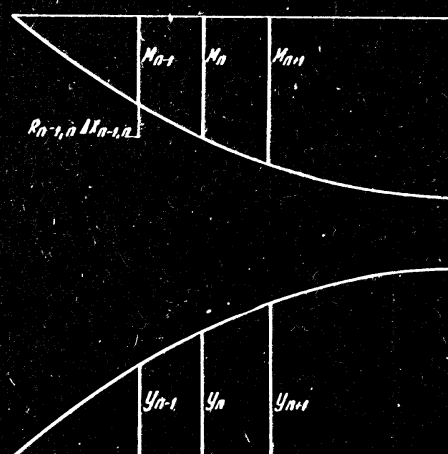
A nyomaték

$$M(x) = M_{n-1} + R_{n-1,n} \Delta x_{n-1,n}$$

A szilárdsági tengely egyenlete

$$y_n = \frac{M_n(x)}{H_g} = \frac{M_n(x)f}{M_{\max}}$$

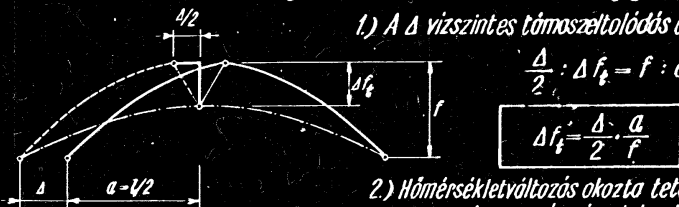
$$\text{mivel } H_g = \frac{M_{\max}}{f}$$



III./2

Csuklómozgások hatásának figyelembevétele

1.) A vízszintes támosszétolódás okozta tetőponti függőleges csuklóeltolódás



2.) Hőmérsékletváltozás okozta tetőponti függőleges csuklóeltolódás

A mozgás vízszintes komponense: $\alpha \cdot t \cdot 2a$

A mozgás függőleges komponense: $\alpha \cdot t \cdot f$

$$\Delta f_t = \pm \left[\alpha t a \frac{q}{f} + \alpha t f \right] = \pm \alpha t \left(\frac{a^2 + f^2}{f} \right) = \pm \alpha t \frac{b^2}{f}; \text{ ha } b^2 = a^2 + f^2$$

α hőátágulási együttható, t a hőmérséklet C° ban.

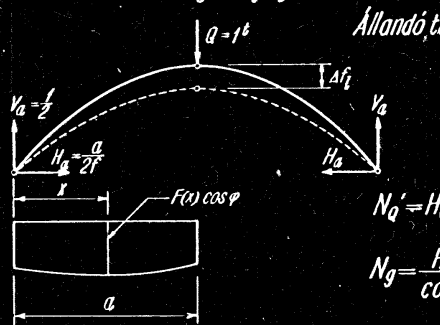
3.) Zsugorodás okozta tetőponti függőleges csuklóeltolódás (lásd MNOSz 15022 szabvány)

$$\Delta f_{zs} = \alpha t \frac{a^2 + f^2}{f} = \alpha t \frac{b^2}{f}$$

ahol $t' = -10 C^\circ$ hőmérsékletváltozással egyenértékű, α hőátágulási együttható

4.) Normális erők okozta ivásszenyomódásból a tetőponti csukló függőleges eltolódásq

A szilárdsági tengely a támosszonallal egybeesik,



$$\Delta f_t = 2 \int_0^a \frac{M_q M_g}{E J(x)} ds + 2 \int_0^a \frac{N_q N_g}{E F(x)} ds$$

$$M_g \approx 0; T \approx 0$$

$$\Delta f_t = 2 \int_0^a \frac{N_q N_g}{E F(x)} ds$$

$$N_q' = H_q \cos \varphi = \frac{a}{f} \frac{\cos \varphi}{2}; N_q'' = V_q \sin \varphi = \frac{1}{2} \sin \varphi$$

$$N_g = \frac{H_g}{\cos \varphi}; ds = \frac{dx}{\cos \varphi} \text{ vagy } ds = \frac{dy}{\sin \varphi}$$

$F(x) \cos \varphi \sim F_c$ helyettesítésekkel

$$\Delta f_t = \frac{H_g}{E F_c} \left[\frac{a}{f} \int_0^a dx + \int_0^a dy \right] = \frac{H_g}{E F_c} \frac{a^2 + f^2}{f} = \frac{H_g b^2}{E F_c f}$$

a képletben $E = \frac{E_0}{1+\varphi}$; $E_0 = 550000 \frac{k}{k+200}$; k = kockaszilárdság a terhelés felhordásakor (kioltványozás stb.)

X/X_{28}	$\varepsilon_{28} \%$	φ	$t (\text{nap})$
0.60	0.50	4.00	0
0.75	0.32	2.55	7
0.85	0.29	2.30	14
0.95	0.27	2.15	21
1.00	0.26	2.00	28
1.10	0.23	1.80	45
1.16	0.21	1.70	60
1.20	0.19	1.50	90
1.23	0.14	1.15	180
1.25	0.10	0.80	360

φ a betonminőségtől függő kúszási tényező értékei a mellékelt táblázatban.

H_g = az állandó tehernek megfelelő reakciószerők vízszintes összetevője

$$\Delta f = \Delta f_t + \Delta f_h + \Delta f_{zs} + \Delta f_p$$

b.) Mozgó (esetleges) teher

$$\Delta f_p = \frac{H_p}{E F_c} \frac{b^2}{f}$$

H_p az esetleges tehernek megfelelő reakciószerők vízszintes összetevője. F_c mint $4a$ alatt; $E = E_0$.

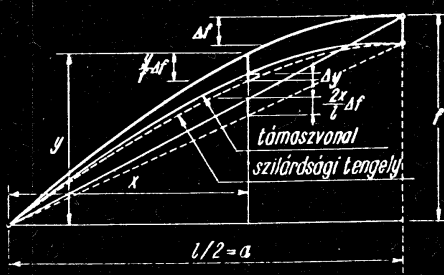
Az x -helyhez tartozó szilárdsági tengely és támosszonall
különbség $\Delta y = \Delta f \left(\frac{y}{f} - \frac{x}{a} \right)$

A pótnyomaték $\Delta M = \Delta y H$

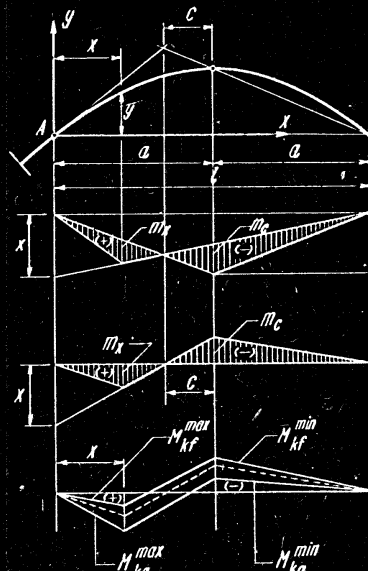
A reakciószerő vízszintes összetevőjének növekedése

$$\Delta H = H \frac{\Delta f}{f}$$

III./3



Mozgó teherből származó nyomatékok meghatározása közelítéssel



$$\xi = \frac{x}{l/2} = \frac{x}{a} \quad \text{és} \quad \eta = \frac{y}{f}$$

$$M_c = \frac{ly}{4f} + \frac{x}{2} = \frac{l}{4} \left(\frac{y}{f} + \frac{x}{a} \right) = \frac{l}{4} (\eta + \xi)$$

$$M_x = x \frac{l-x}{l} - \frac{ly}{4f} \frac{x}{l/2} = \frac{x}{l/2} \frac{l}{4} \left(2 - \frac{x}{l/2} - \frac{y}{f} \right) = \frac{l}{4} \xi (2 - \xi - \eta)$$

$$c = \frac{l}{2} \frac{M_c}{x - M_c} = \frac{l}{2} \frac{\eta - \xi}{\eta + \xi}$$

$$M_{\max}^{(+)} = \frac{pl^2}{8} \left[\frac{2}{\eta + \xi} - 1 \right] \xi^2$$

$$M_{\min}^{(-)} = \frac{pl^2}{8} \eta \frac{\eta - \xi}{\eta + \xi}$$

A magponți nyomatékoknál y helyébe y_f lép

$\sigma_{f\max}$	$M_{ka\min}$ -ból	$\sigma_{f\min}$	$M_{ka\max}$ -ból
$\sigma_{a\max}$	$M_{kf\max}$ -ból	$\sigma_{a\min}$	$M_{kf\min}$ -ból

Feszültségkiegyenlítés $x = l/4$ -ben az önsúlyra centrikusan nyomott támosszíronál változtatásával

$$\text{nyomott boltzat } \Delta y = \frac{M_{f\max}^{(+)} + M_{f\min}^{(-)}}{2Hg} \quad (\Delta y \text{ negatív, } |M_{f\min}| > |M_{f\max}|)$$

$$\text{húzott boltzat } \Delta y = \frac{M_{f\max}^{(+)} + M_{f\min}^{(-)}}{2Hg} \quad (\Delta y \text{ pozitív, } |M_{f\max}| > |M_{f\min}|)$$

A hajlítónyomatékok $x = l/4$ -ben megoszló teherre

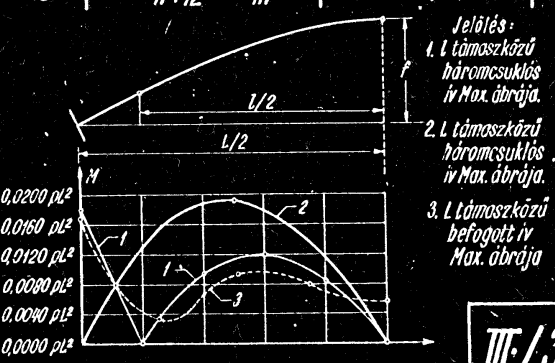
y	parabola										f
	0.70	0.72	0.74	0.75	0.76	0.78	0.80	0.82	0.84	0.86	
M_{\max}	0.0208	0.0200	0.0191	0.01875	0.0184	0.0175	0.0168	0.0161	0.0154	0.0147	pl^2
	1/48	1/50	1/5225	1/5330	1/5450	1/57	1/5940	1/6210	1/6490	1/68	
M_{\min}	-0.0146	-0.0162	-0.0179	-0.01875	-0.0196	-0.0213	-0.0231	-0.0249	-0.0267	-0.0285	pl^2
	-1/68,60	-1/64,50	-1/55,90	-1/53,30	-1/51	-1/47	-1/43,30	-1/40,20	-1/37,50	-1/35,10	
$M_{\max} - M_{\min}$	1/56,50	1/55,30	1/54	1/53,30	1/52,50	1/51,50	1/50,10	1/48,80	1/47,50	1/46,30	pl^2

A magponți nyomatékok a feszültségkiegyenlítésben $x = l/4$ -ben (p) megoszló és (P) koncentrált teher esetén $A_A P_y$ jelenti a koncentrált terhelésből származott redukált terhet

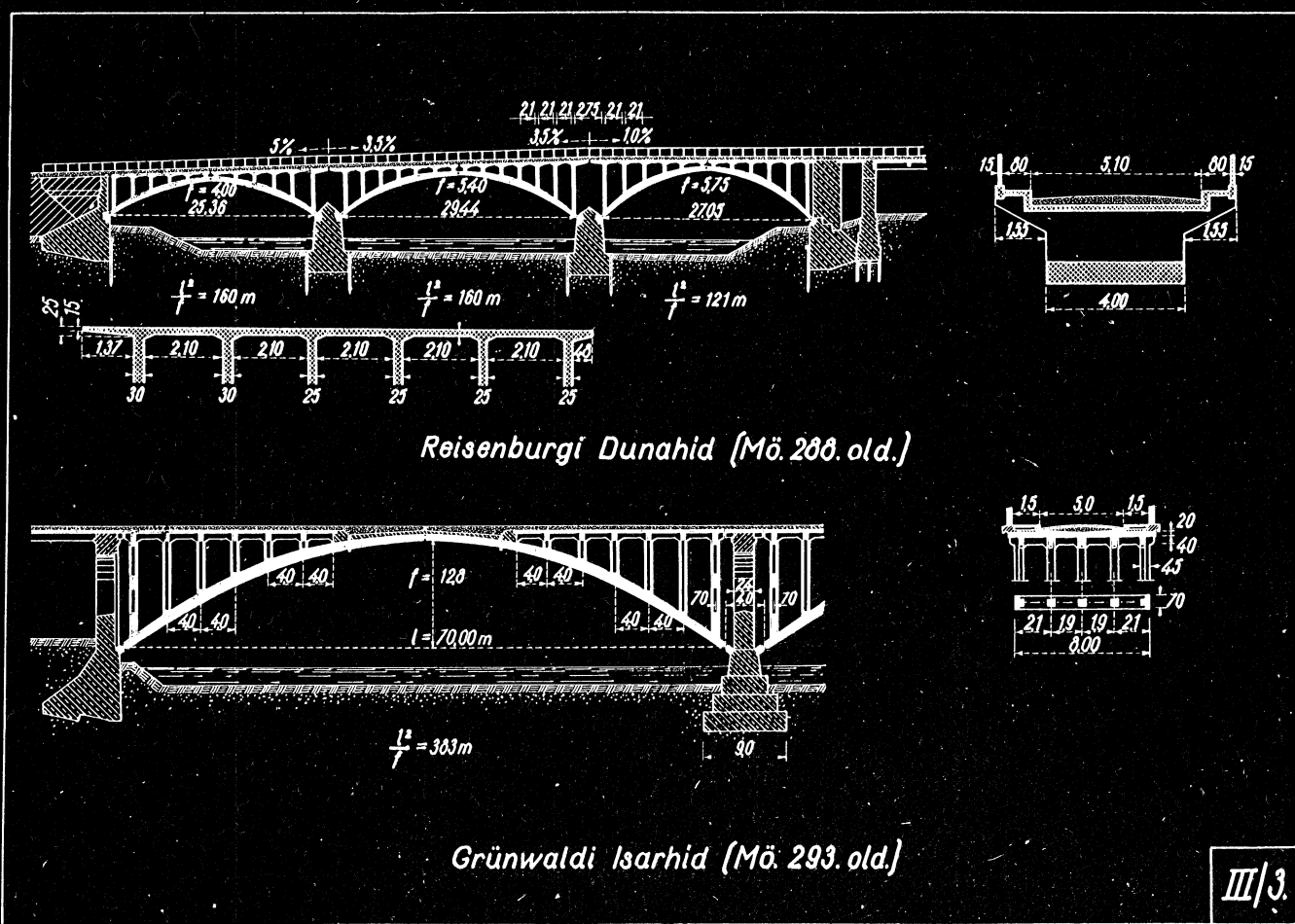
$$M = \frac{pl^2}{n} + \frac{Pl}{m}$$

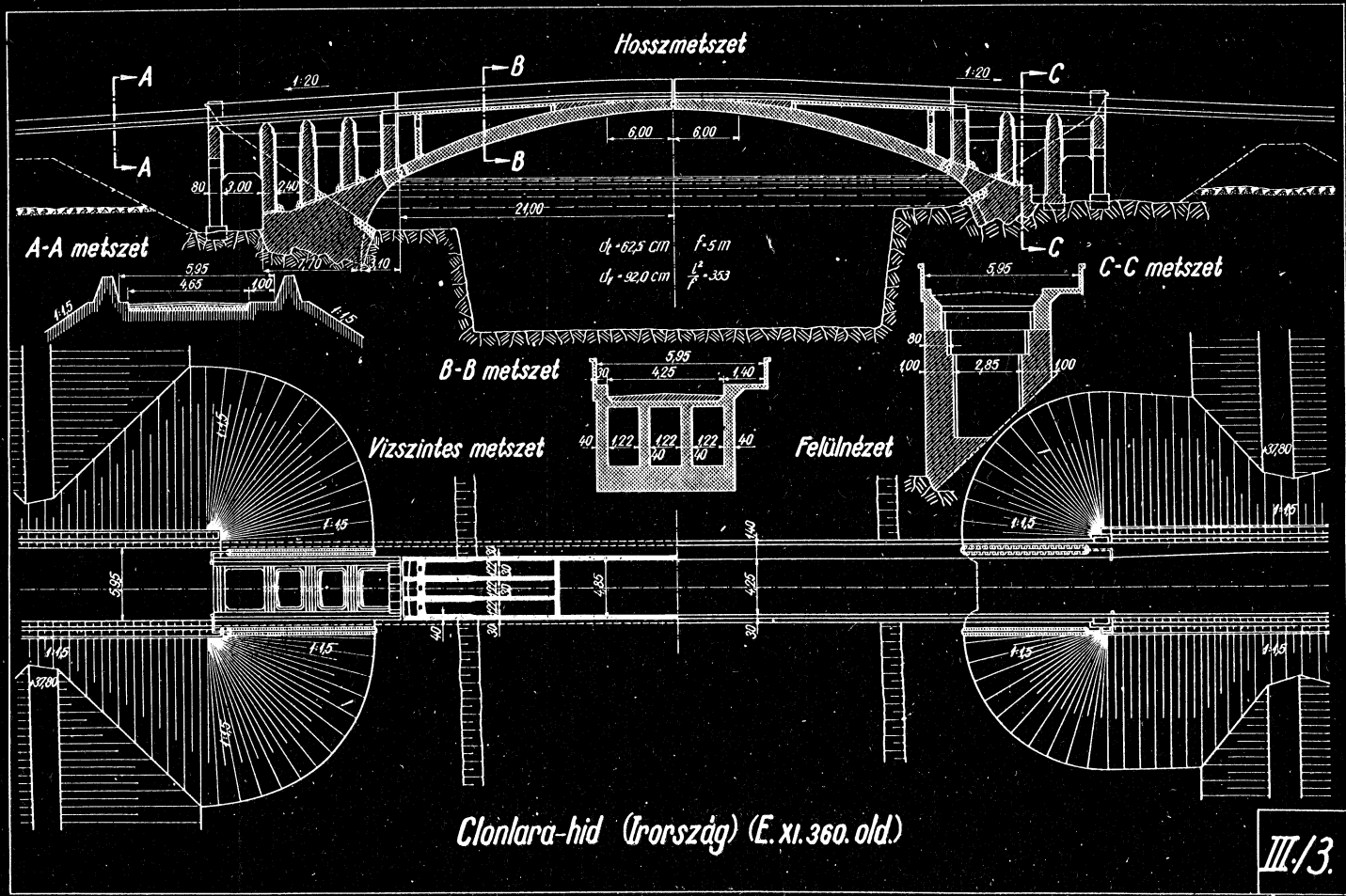
Szekrény keresztmetszet esetén

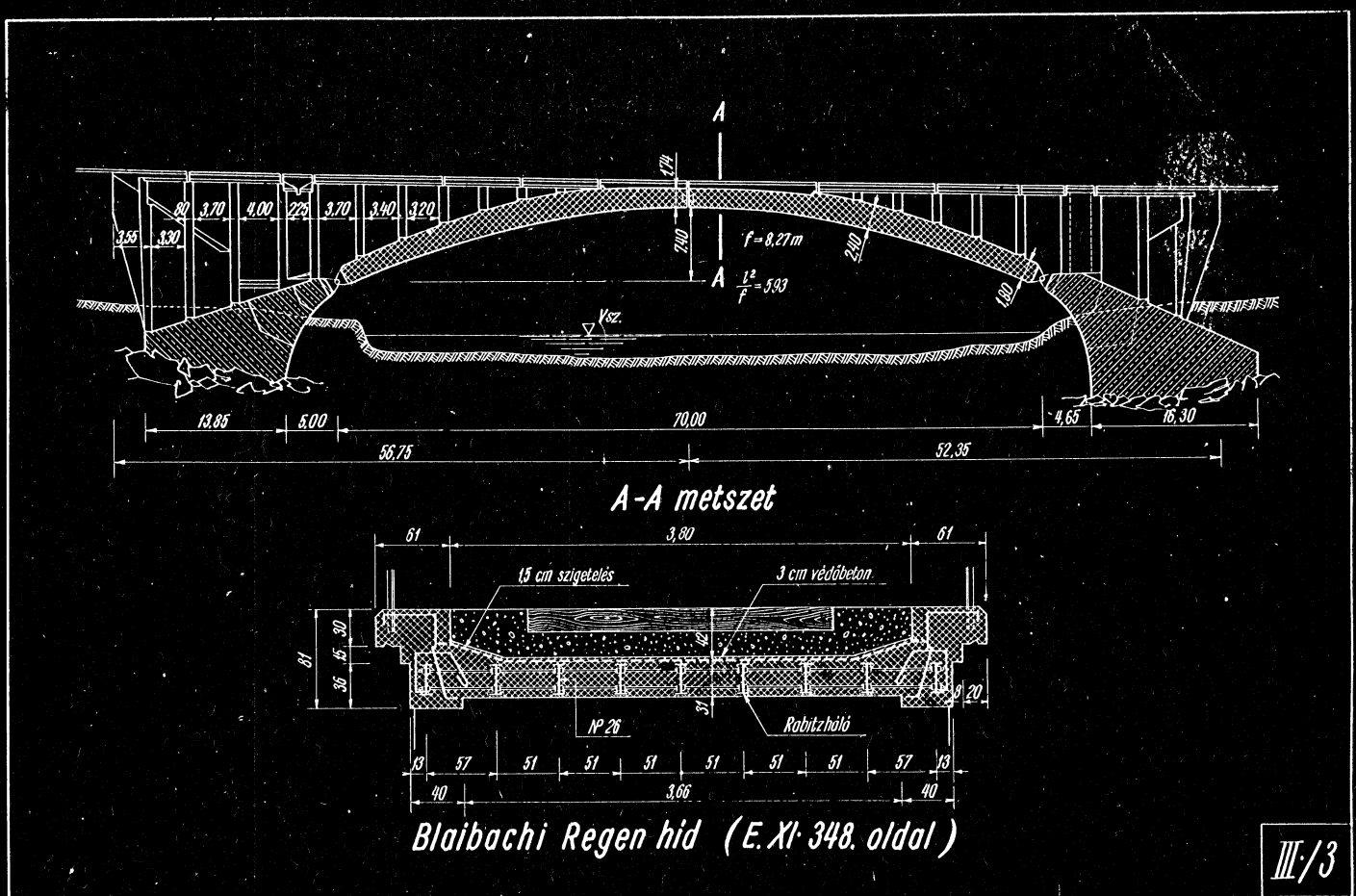
Közötti hid	nyomófeszültségekre	húzófeszültségekre
	$M = \frac{pl^2}{n-5} + p \frac{l}{m-1}$	$M = \frac{pl^2}{n-2}$
Vasúti hid	$M = \frac{pl^2}{n+12} + p \frac{l}{m}$	$M = \frac{pl^2}{n+4}$

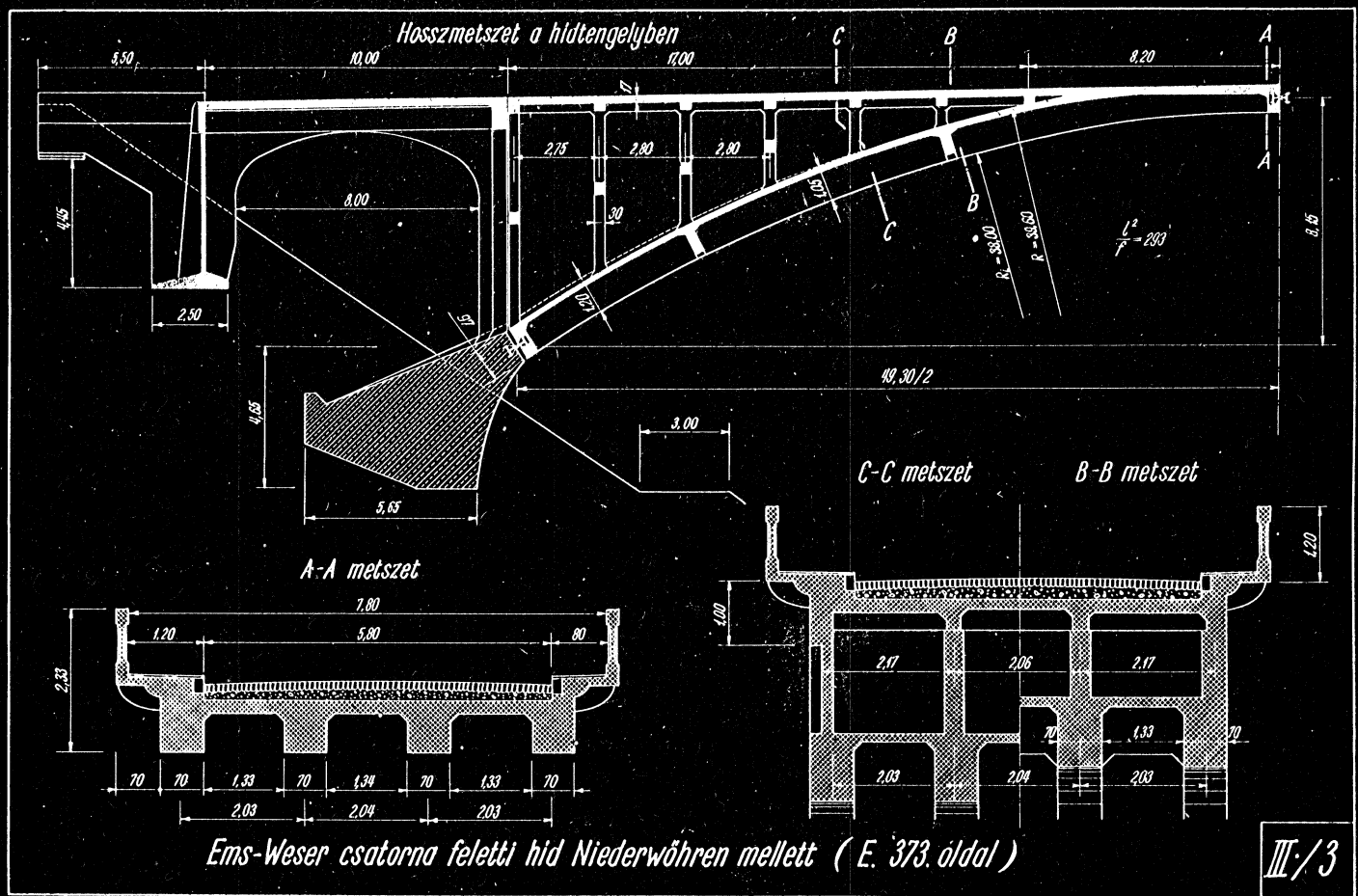


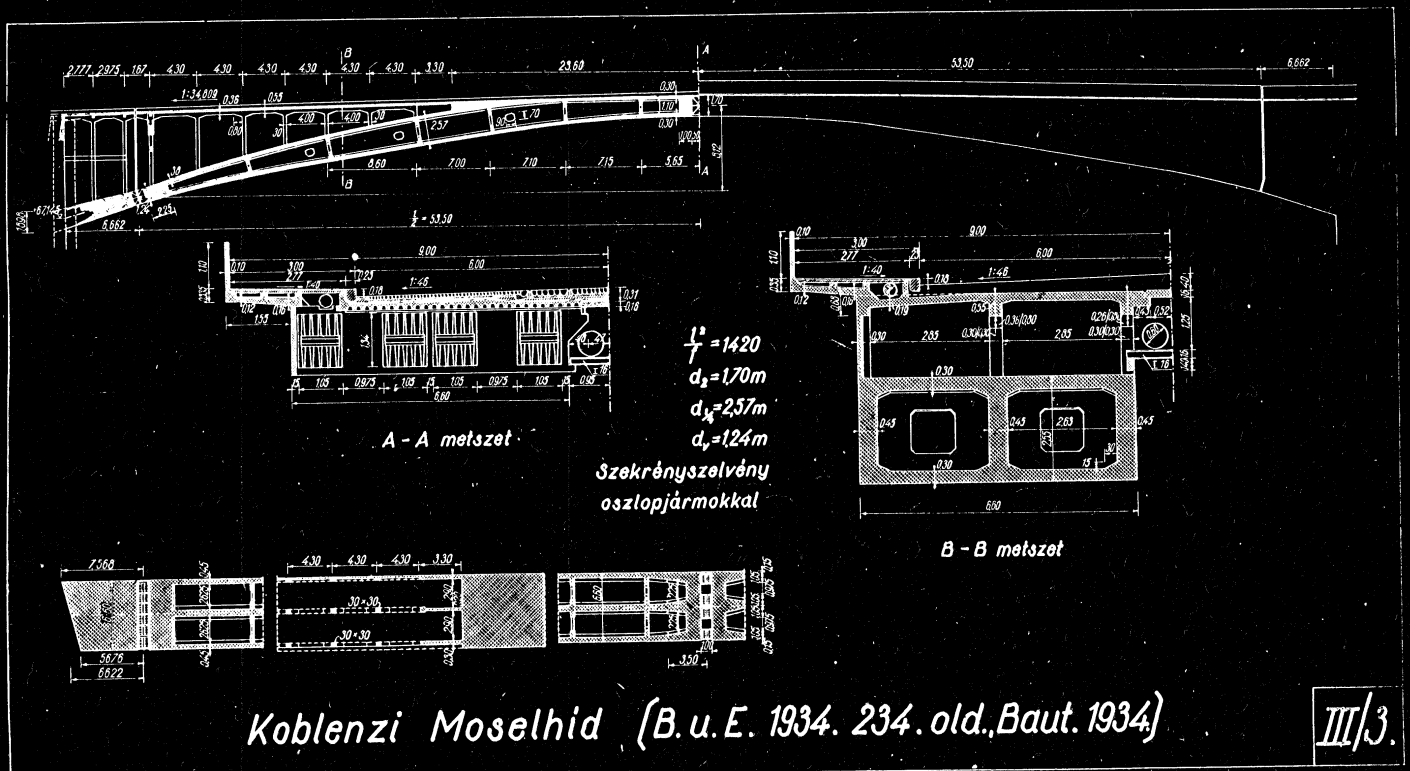
III/3

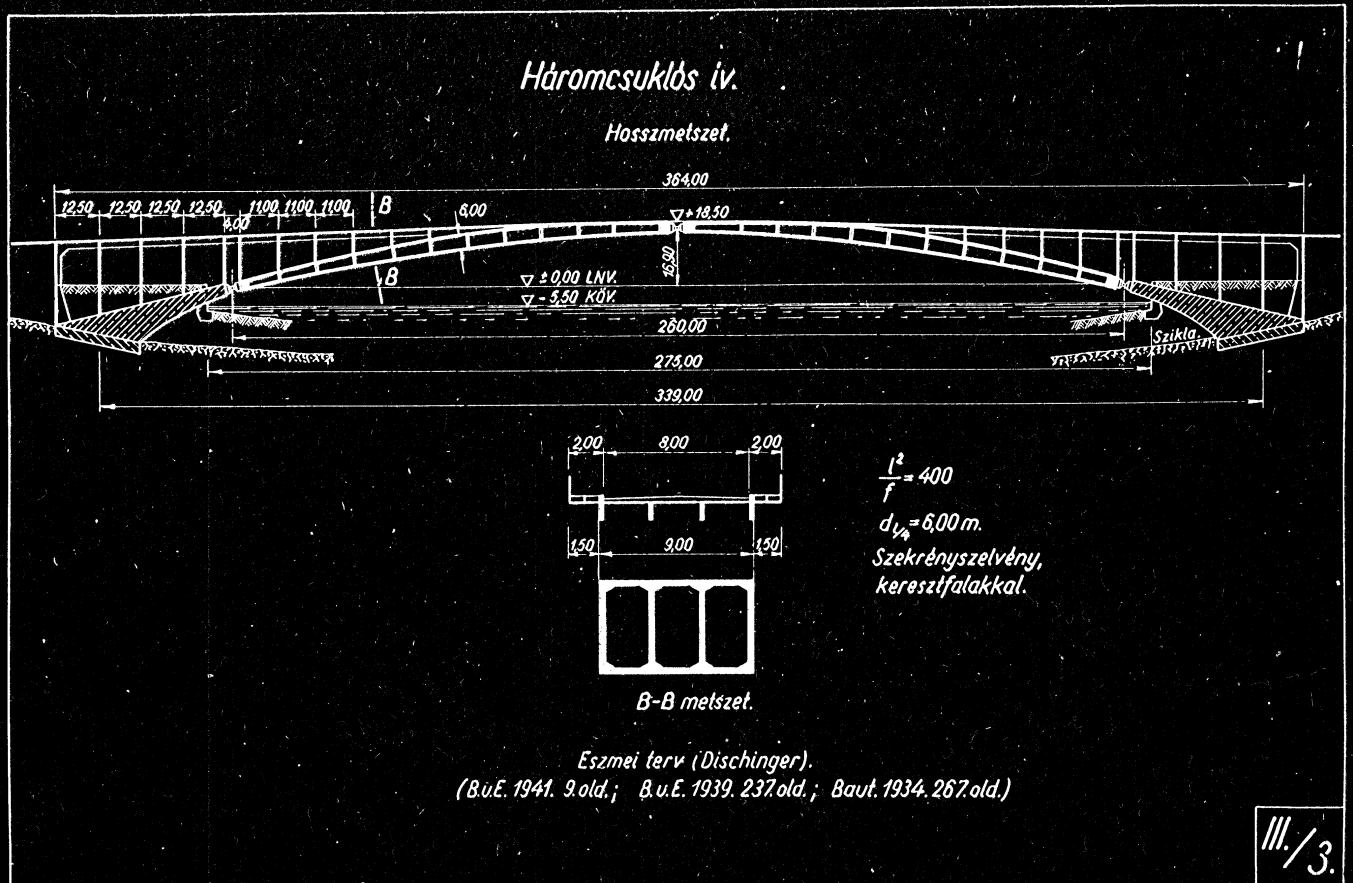


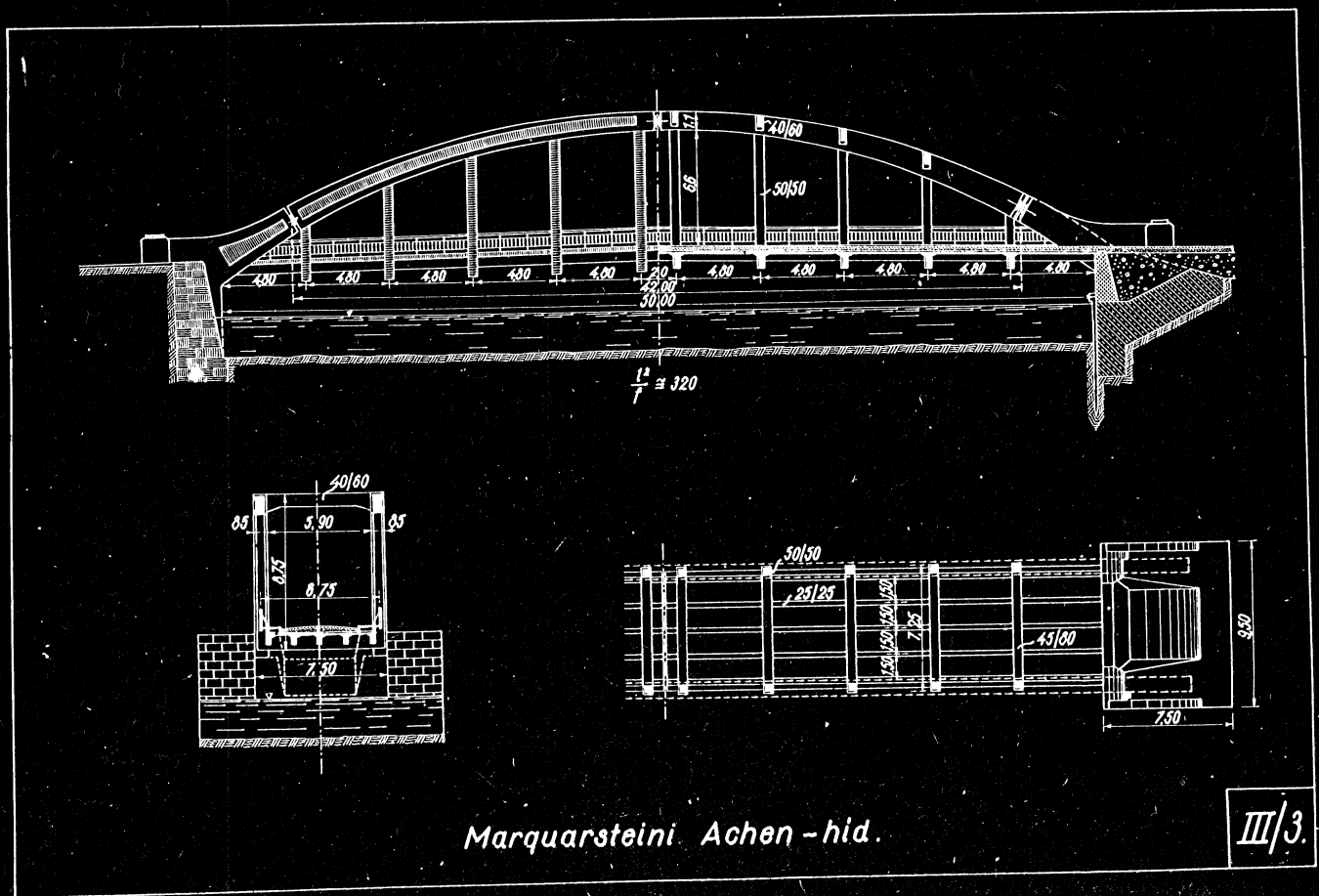


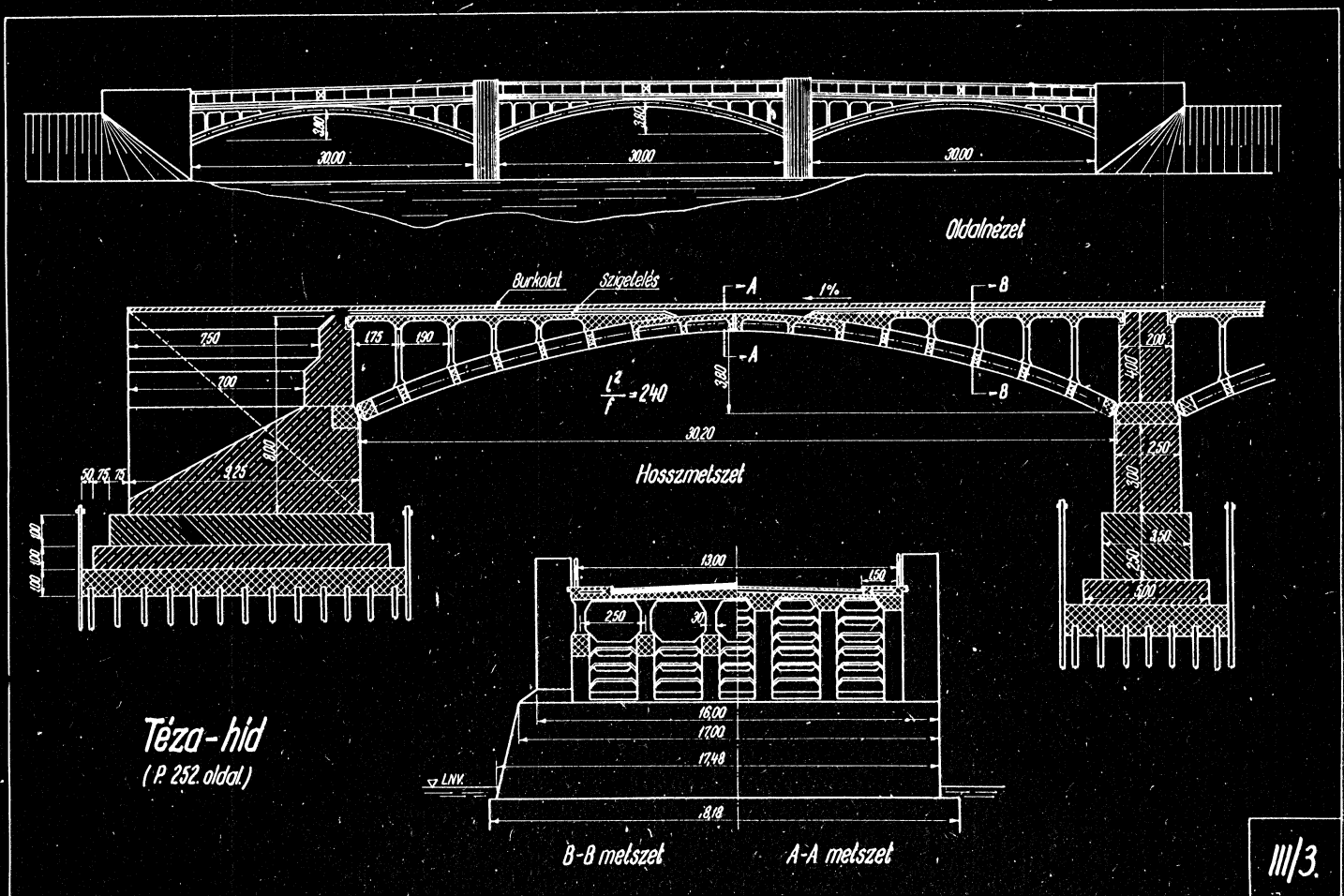






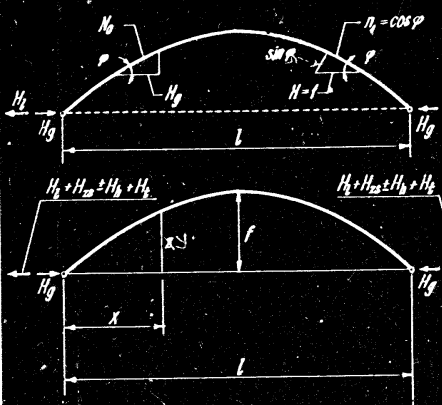






Kétsuklós iv számítása

1.) Önsúly-, zsugorodás-, hőmérsékletváltozás-, támaszmozgásból származó pótigénybevételek számítása
(Az iv állandó terhelésre centrikusan nyomott.)



$$\alpha_{tt} H + \alpha_{10} = 0$$

$$H = -\frac{\alpha_{10}}{\alpha_{tt}}$$

$$\alpha_{tt} = \int_0^r \frac{m_t^2 ds}{EJ(x)} - \int_0^r \frac{m_t^2 ds}{EF(x)}$$

$$H = 1 \quad \text{így } m_t = \cos \varphi \quad ; \quad m_t = y$$

$$\text{legyen } dx' = \frac{J_c}{J(x)} dx \quad \text{és } dx' = \frac{F_c}{F(x) \cos \varphi} dx$$

$$\alpha_{tt} = \int_0^r \frac{y^2 dx}{EJ(x) \cos \varphi} + \int_0^r \frac{\cos^2 \varphi}{EF(x)} \frac{dx}{\cos \varphi} = \frac{1}{EJ_c} \left[\int y^2 dx' + I_c^2 \int \cos^2 \varphi dx' \right]$$

$$\alpha_{10} = \int_0^r N_0 m_t \frac{ds}{EF(x)} + \int_0^r N_0 m_t \frac{ds}{EJ(x)} = \int_0^r N_0 \cos \varphi \frac{dx}{\cos \varphi EF(x)} = \frac{H_g}{EF_c} \int dx'$$

$$N_0 = \frac{H_g}{\cos \varphi}$$

$$H_t = -\frac{\alpha_{10}}{\alpha_{tt}} = -H_g \frac{I_c^2 \int dx'}{\int y^2 dx' + I_c^2 \cos^2 \varphi dx'} \quad \boxed{A. H_t \text{ erő csökkenése ivósz-szenyomódás miatt}}$$

H_g az önsúlyreakció vízszintes összetevője

$$\text{legyen: } J(x) \cos \varphi = J_c \quad ; \quad F(x) \cos \varphi = F_c \quad ; \quad \cos^2 \varphi \sim 1$$

$$\text{akkor } dx' = dx'' = dx$$

$$H_t = -H_g \frac{\alpha_{10}}{\frac{1}{I_c^2} \int y^2 dx + \int dx} = -H_g \frac{1}{\frac{1}{I_c^2} \int y^2 dx + 1}$$

$$\text{ha } y = 4f\xi(1-\xi),$$

$$\text{akkor: } H_t = -H_g \frac{1}{1 + \frac{8}{15} \frac{f^2}{\xi^2}}$$

$$\text{zsugorodásnál } \alpha_{10} = \alpha_{zs} tl \quad \text{és } H_{zs} = -EF_c \frac{\alpha_{zs} tl}{\frac{1}{I_c^2} \int y^2 dx + \int \cos^2 \varphi dx}$$

$$\text{hőmérsékletváltozásnál } \alpha_{10} = \alpha tl \quad \left. \begin{array}{l} H_h \\ H_t \end{array} \right\} \text{ezek hasonlóan}$$

$$\text{vízszintes támaszmozgásnál } \alpha_{10} = Al \quad \left. \begin{array}{l} H_h \\ H_t \end{array} \right\}$$

$$H_t \text{ erő összes csökkenése } H = H_t + H_{zs} + H_h + H_t$$

$$\text{A nyomaték } M = y(H_t + H_{zs} + H_h + H_t)$$

2.) Mozgó terhelés (Közeliítő nyomatékok)

A fejoldalas terhelés felbontva szimmetrikusra és antisimetrikusra

$$H_{p/2}^{se} = \frac{pl^2}{16F}$$

$$H_{p/2}^a = 0$$

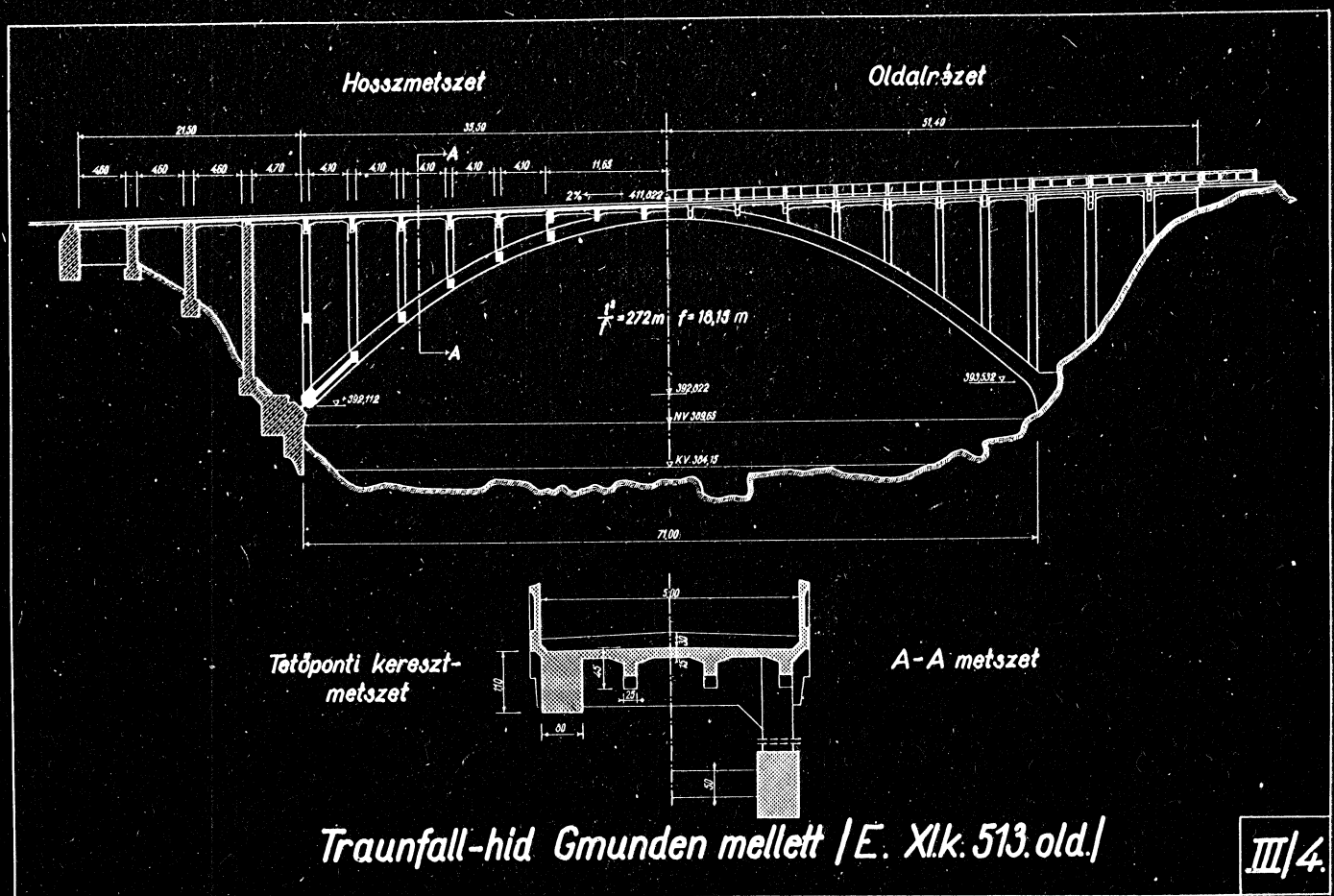
$$\text{A negyedben lévő nyomaték } M_{1/4} = \pm \frac{p}{2} \cdot \frac{a^2}{8} = \pm \frac{pl^2}{64}$$

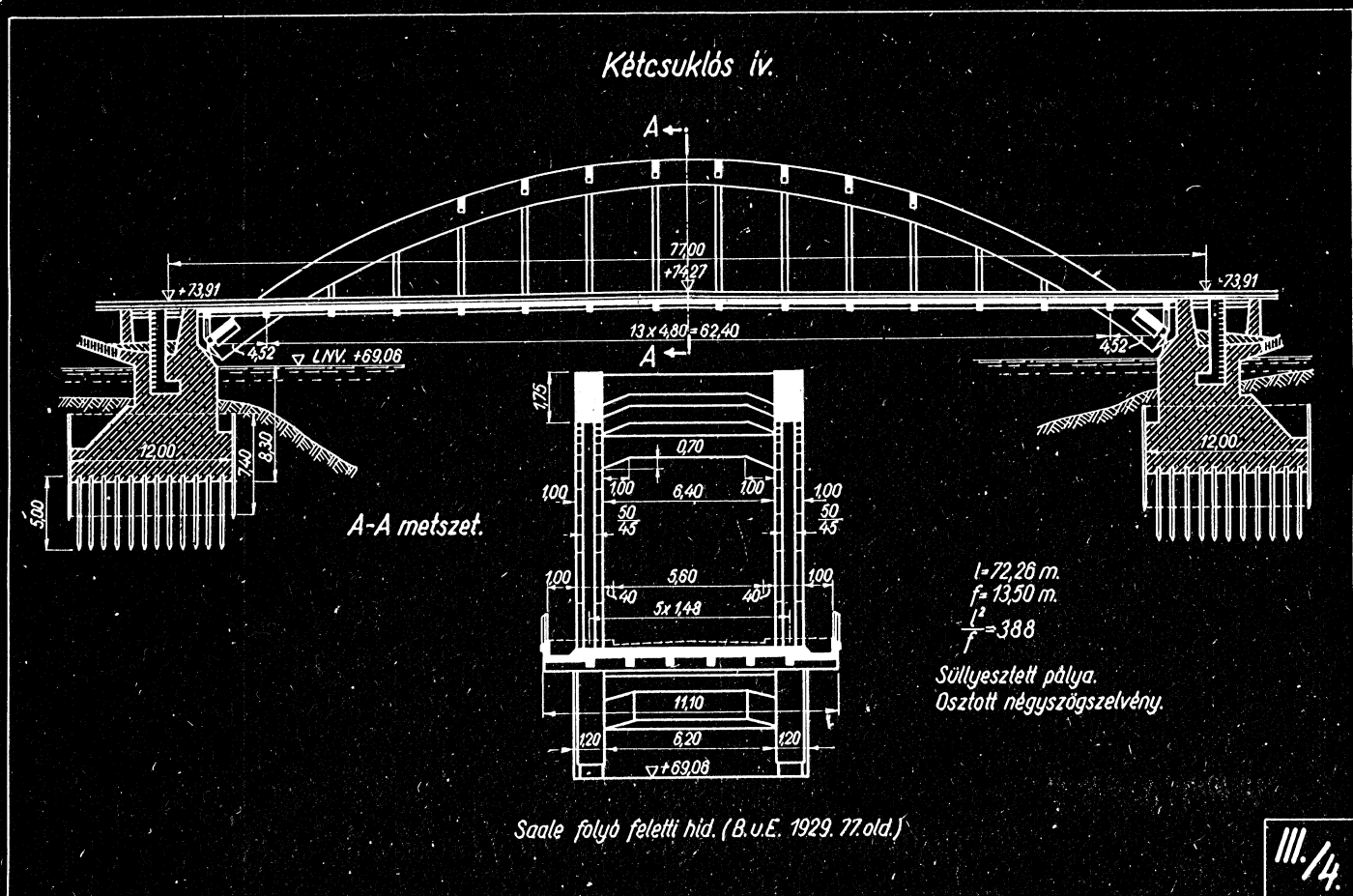
A ténylegesen fellépő nyomaték

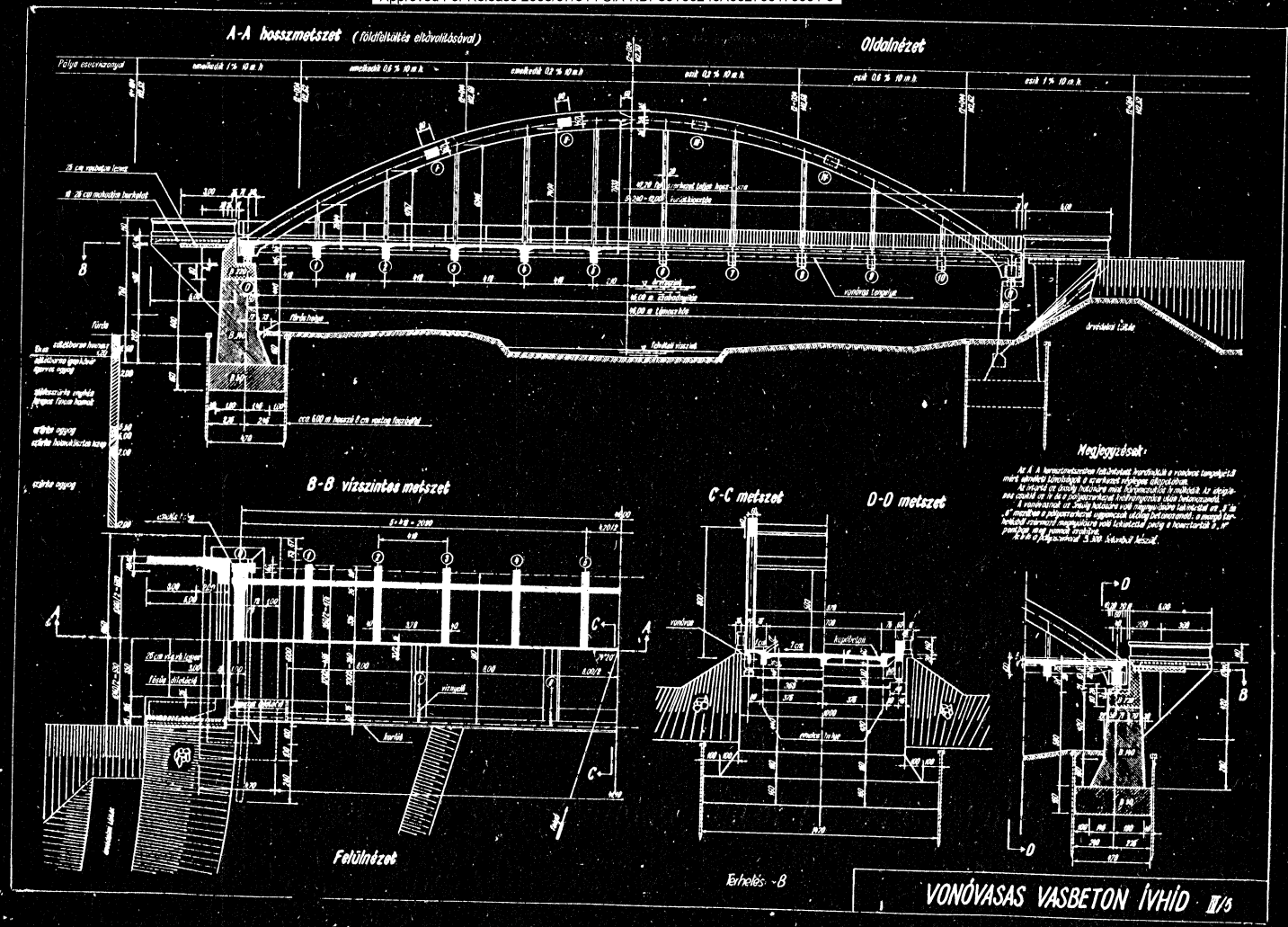
$$M_{1/4} = \pm \frac{pl^2}{57}$$

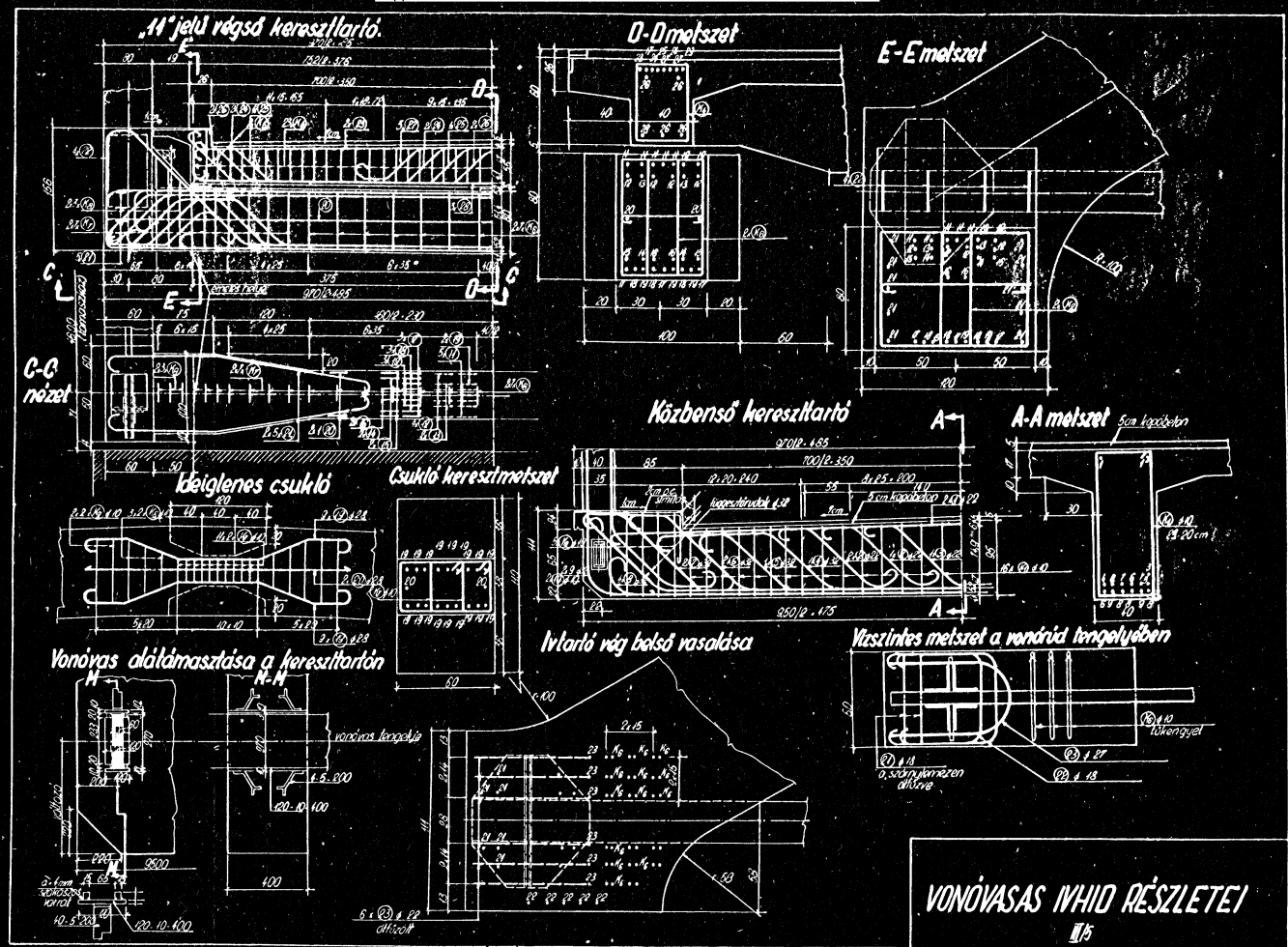
$$M_{1/2} = \pm \frac{pl^2}{730}$$

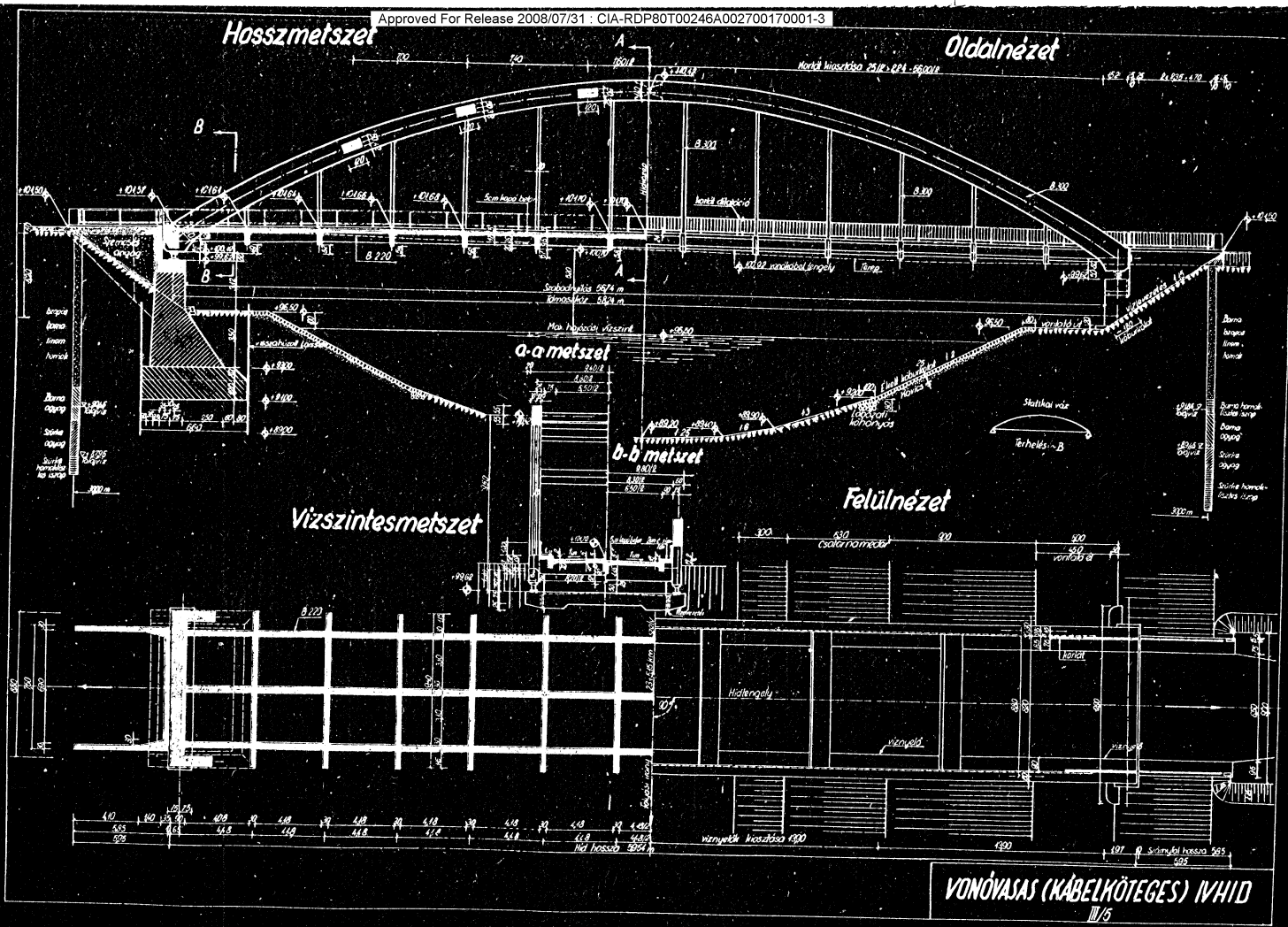
III/4





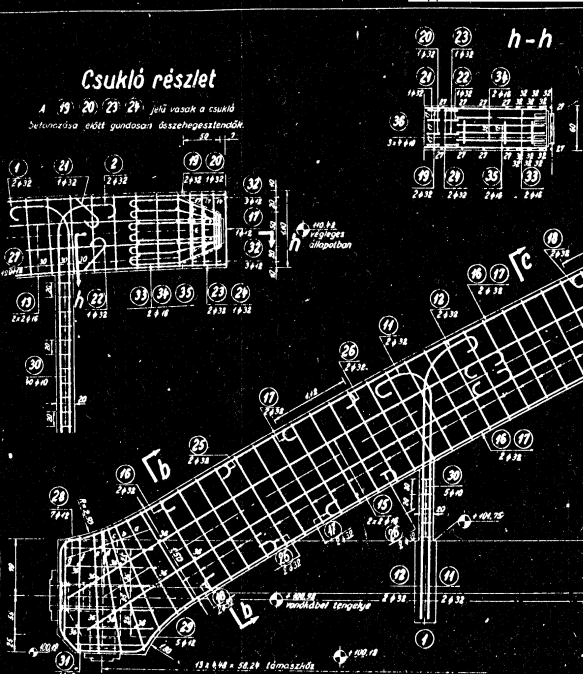






Csukló részlet

1 19 20 23 24 jelek vásárok a csukló
Autóverseny - 1974. január 26. Szeged - Szegedi Sportcsarnok



(A) jelű keresztkötés (2 db)



Magie und

- 4) Az 1. kerülettel összehozható legnagyobb belterület 8.000 m².

5) A rosettékkel mindenkor 36-38 db a vasúthoz kötött tengerben lévő területeken. Minél több a helyszínen elhelyezett rosetta, annál több a hajók által keltetett próbatárgyak.

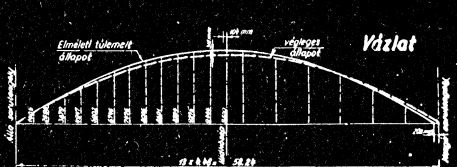
6) A hajókban a hajózás során keletkező hulladékot nem szabad lehagyni a tengerbe.

7) Az 1. kerületben foglalkozva rendelj a tanárival nyári hajózásra megegyező telmestert.

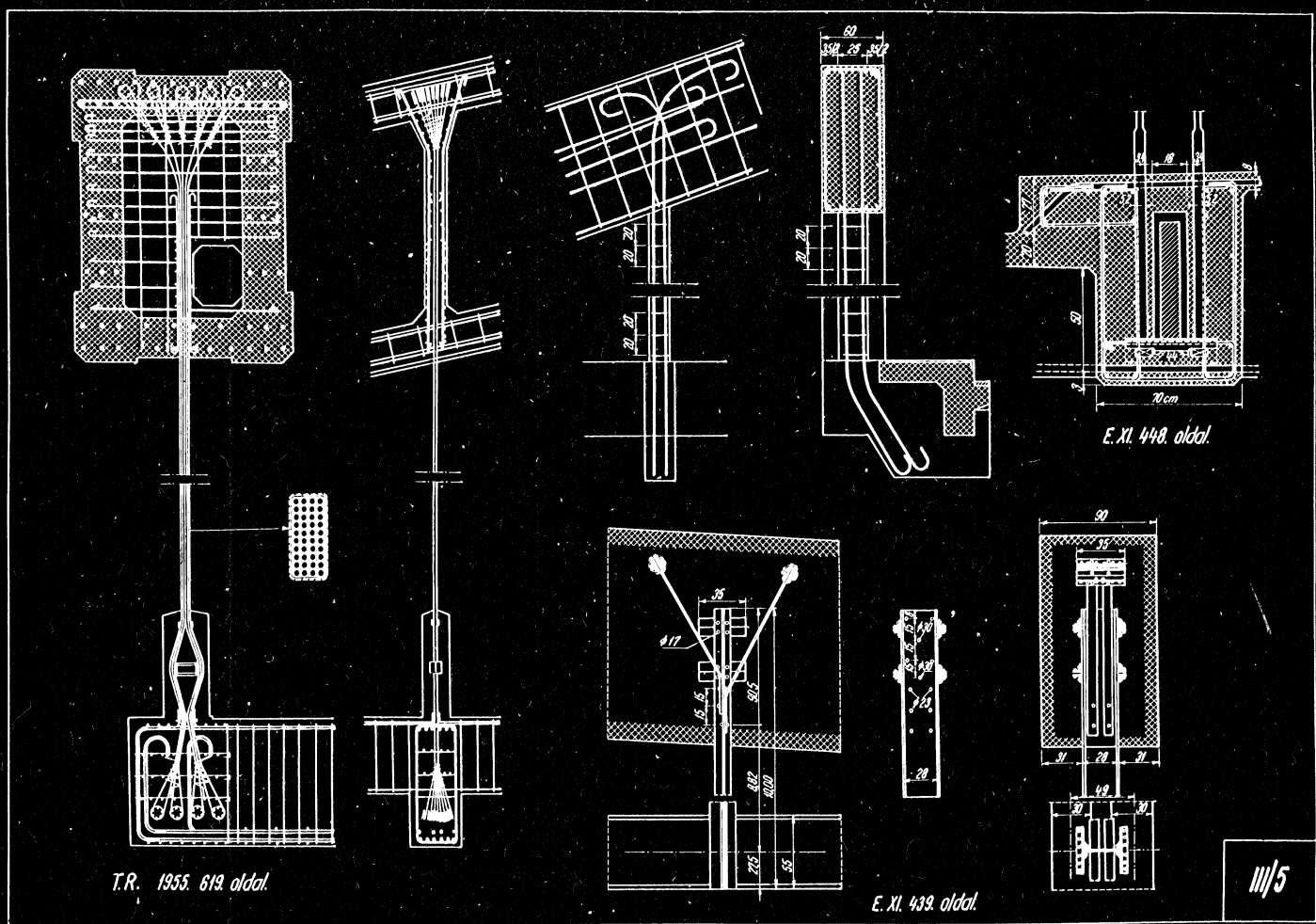
8) A hajózás csak akkor várományos döntéshozzájárulásával történhet, miközben a hajózásról szükséges önkormányzati belsőirányítás az előírtaknak felelősen után leférhető.

9) A meghajtott áberendezés megosszágolt adatok végeredményeit eldöntheti.

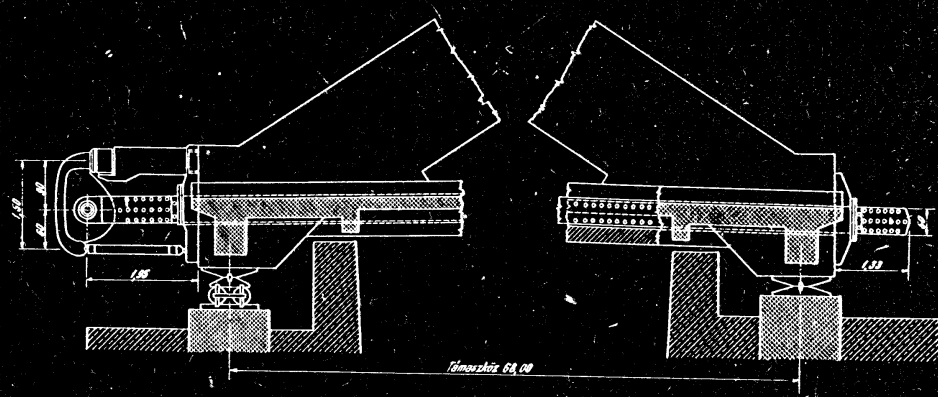
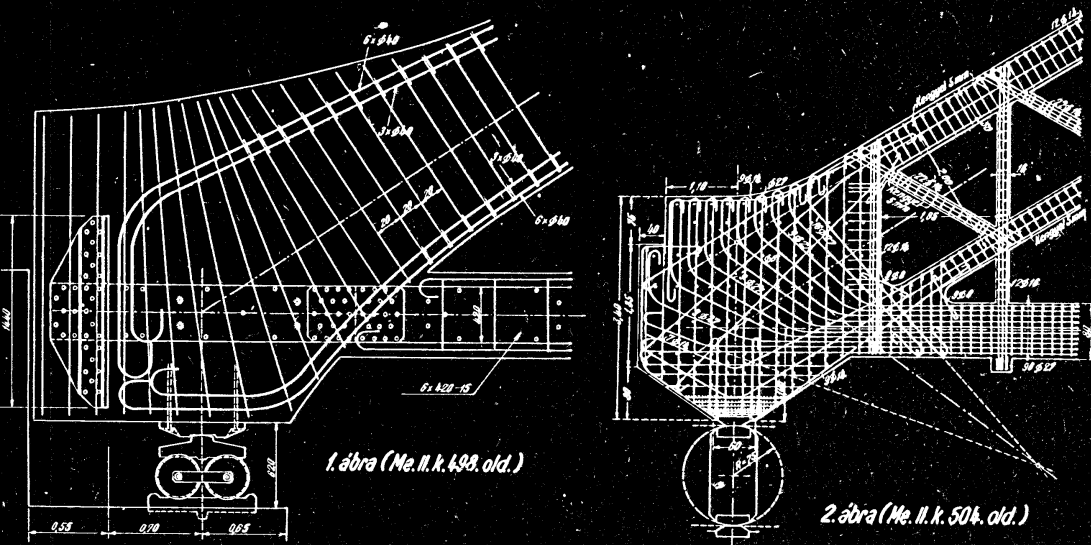
10) 3-6 hónapos korai hajózásra a hajón nincs.



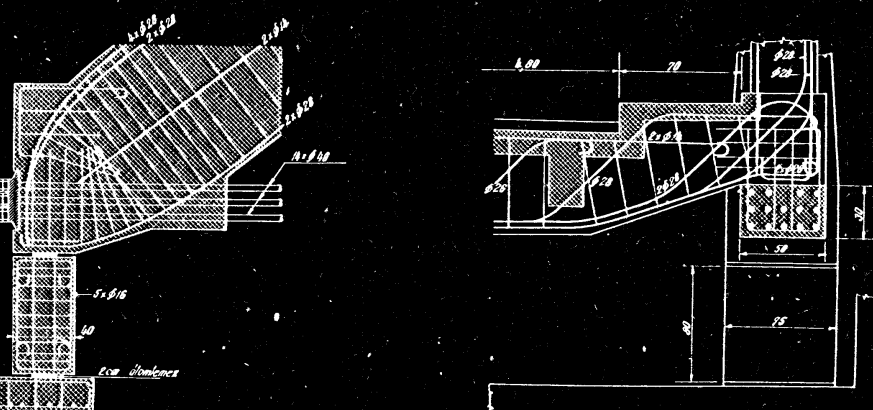
VONÓKÁBELES IV FŐTARTÓ TERVE.
1/5



Vonóvas - bekötések



3. ábra (M. II. k. 500. old.)



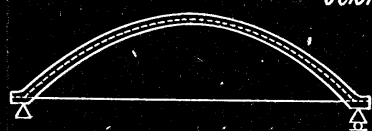
4. Astora (Mö. N. k. 2. r. 360. old.)

III/5

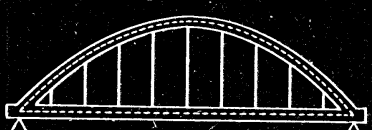
Merevitőgerendás ív számítása

- 1.) Az ív merevsége végletesen nagy a merevitőgerendához képest (vonóvasas ív) 1. ábra.
- 2.) Az ív is és merevitőgerenda is hajlítómerevséggel rendelkezik. 2. ábra.
- 3.) A merevitőgerenda merevsége végletesen nagy az ívéhez képest (Langér tartó) 3. ábra.

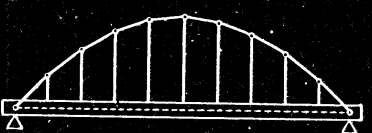
2.) Közeliít megoldás 4. ábra.



1. ábra



2. ábra



3. ábra

Jelölések:

$$\left. \begin{array}{l} \delta_{\text{ív}} \\ \delta_{\text{mer}} \end{array} \right\} = \text{az ugyanazon függőlegesben lévő ív és merevitőgerenda függőleges elmozdulása}$$
 $\lambda = \text{függesztőrud megnyúlása}$
 $EJ_{\text{mer}} = \text{merevitő-gerenda merevsége}$
 $EJ_{\text{ív}} = \text{az ív merevsége}$
 $F_{\text{mer}} : l, F_{\text{ív}} = \text{a merevitőgerenda illetve az ív keresztmetszeti területe}$

$$\delta_{\text{mer}} = \delta_{\text{ív}} + \lambda \quad \dots \quad 1)$$

$$\frac{d^2 \delta_{\text{mer}}}{dx^2} = \frac{d^2 \delta_{\text{ív}}}{dx^2} + \frac{d^2 \lambda}{dx^2} \simeq \frac{d^2 \delta_{\text{ív}}}{dx^2} + \frac{\Delta^2 \lambda}{\Delta x^2} \quad \dots \quad 2)$$

$$\frac{d^2 \delta_{\text{mer}}}{dx^2} = \frac{M_{\text{mer}}}{EJ_{\text{mer}}} \quad \text{és} \quad \frac{d^2 \delta_{\text{ív}}}{dx^2} = \frac{M_{\text{ív}}}{EJ_{\text{ív}} \cos \varphi} \quad \text{helyettesítve}$$

$$M_{\text{mer}} = \frac{EJ_{\text{mer}}}{EJ_{\text{ív}} \cos \varphi} M_{\text{ív}} + EJ_{\text{mer}} \frac{\Delta^2 \lambda}{\Delta x^2} = k M_{\text{ív}} + M_{\lambda}$$

$$\text{ha} \quad \frac{EJ_{\text{mer}}}{EJ_{\text{ív}} \cos \varphi} = k \quad \text{és} \quad EJ_{\text{mer}} \frac{\Delta^2 \lambda}{\Delta x^2} = M_{\lambda}$$

$$\text{útrendezéssel és} \quad \frac{\Delta^2 \lambda}{\Delta x^2} = 0 \quad \text{feltételezéssel}$$

$$\boxed{M_{\text{mer}} = \frac{k}{k+1} (M_{\text{ív}} + M_{\text{mer}})} \quad \dots \quad 3)$$

$$M_{\text{ív}} = \frac{1}{k+1} (M_{\text{ív}} + M_{\text{mer}})$$

$M_{\text{ív}} + M_{\text{mer}}$ bizonyítása az ívre, és merevitőgerendára szétvágott tartón

$$H = H' ; \quad M_B = -M'_B ; \quad M_A = -M'_A$$

$$M_{\text{ív}} = M_0^{\text{ív}} - H_y + \frac{M_0 x}{l} + \frac{M_A (l-x)}{l} + M_{\text{si}} \quad \dots \quad 4)$$

$$M_{\text{mer}} = M_0^{\text{mer}} + M_B \frac{x}{l} + M_A \frac{l-x}{l} + M_{\text{si}} \quad \dots \quad 5)$$

$M_0^{\text{ív}}$ és M_0^{mer} a P_i erők okozta nyomaték a kettőmaszű tartón

$M_{\text{si}} = M_{\text{si}}'$ a függestőrudak okozta nyomaték

$$(M_{\text{ív}} + M_{\text{mer}}) = M_0^{\text{ív}} + M_0^{\text{mer}} - H_y = M_0 - H_y$$

Az alakváltozási egyensúlyi egyenlet

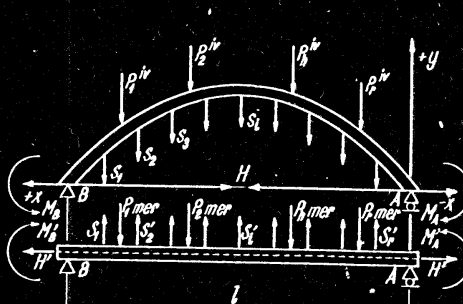
$$\int_A^B \frac{\partial M_{\text{ív}}}{EJ_{\text{ív}}} ds dy + \int_A^B \frac{\partial N ds}{EF_{\text{ív}}} \cos \varphi = \int_A^B \frac{H dx}{EF_{\text{mer}}}$$

$$M_{\text{ív}} = \frac{1}{k+1} (M_{\text{ív}} + M_{\text{mer}}) = \frac{1}{k+1} (M_0 - H_y) \quad \text{és} \quad N \simeq \frac{H}{\cos \varphi}$$

$$\frac{1}{k+1} \int_A^B \frac{M_0 - H_y}{EJ_{\text{ív}}} y ds + \int_A^B \frac{H ds}{EF_{\text{ív}}} = \int_A^B \frac{H dx}{EF_{\text{mer}}}$$

$$(k+1) J_{\text{ív}} = J_{\text{ív}} + \frac{J_{\text{mer}}}{\cos \varphi} \quad \text{helyettesítéssel}$$

$$\int_A^B \frac{M_0 - H_y}{EJ_{\text{ív}}} y ds + \int_A^B \frac{H ds}{EF_{\text{ív}}} = \int_A^B \frac{H dx}{EF_{\text{mer}}}$$

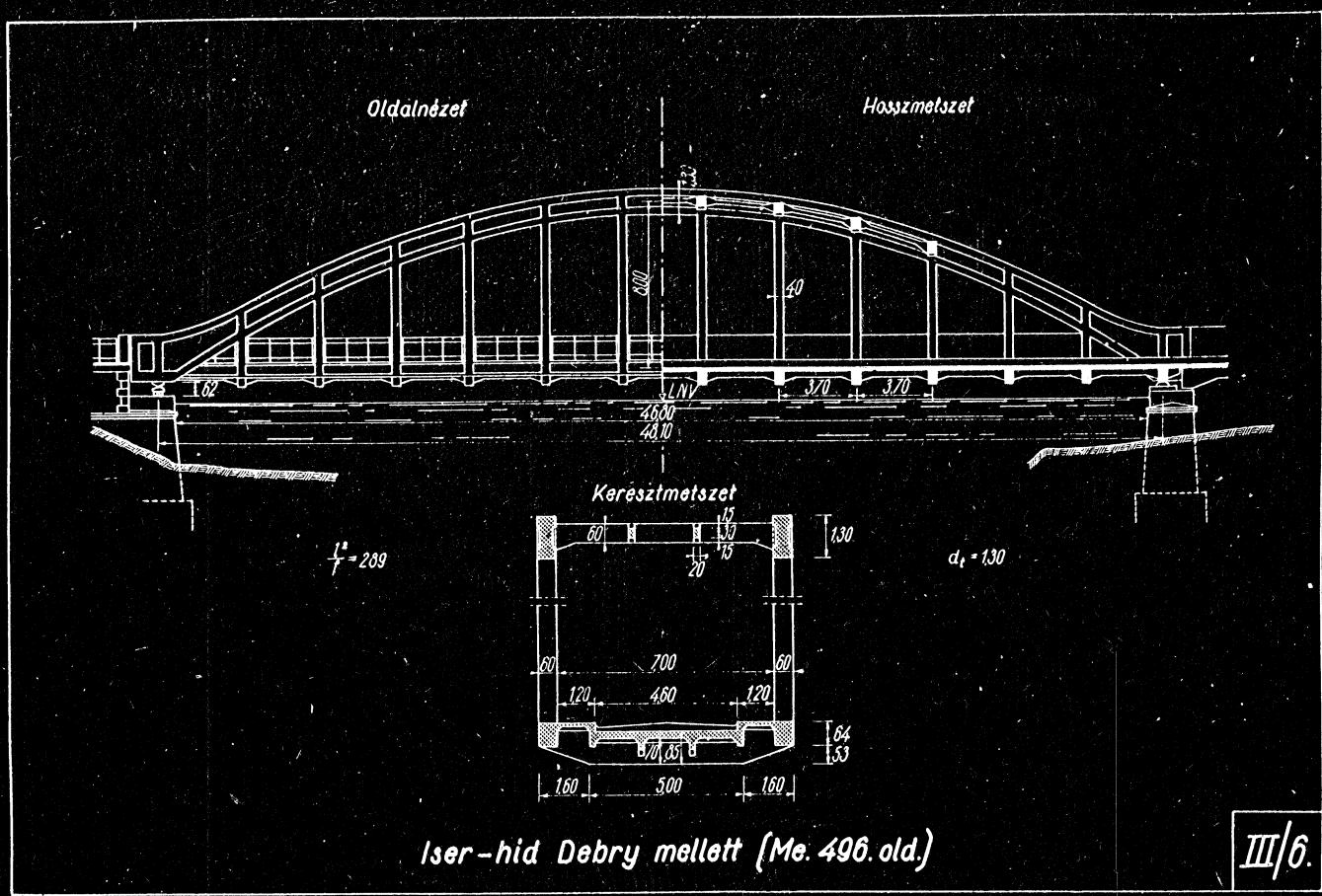


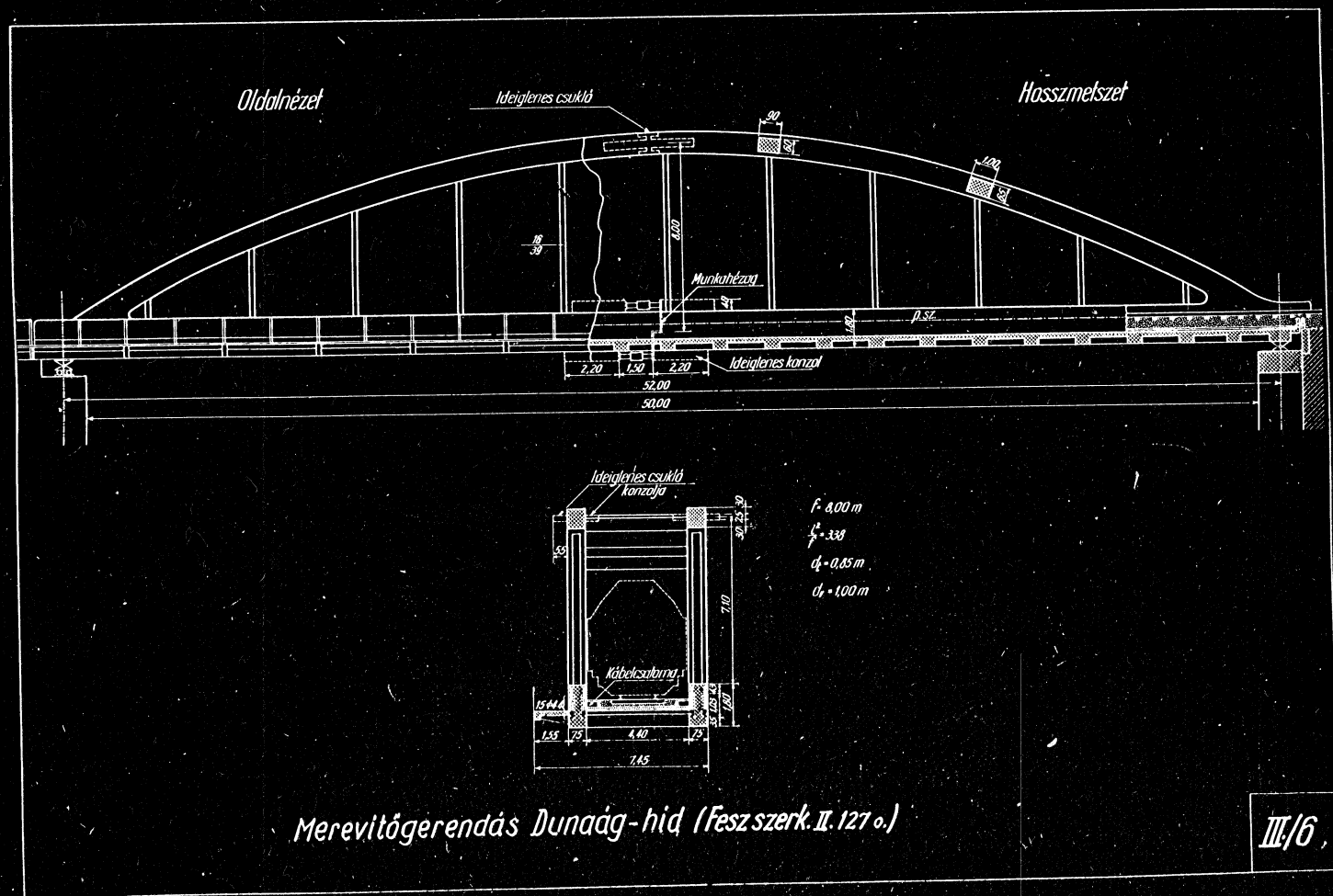
4. ábra.

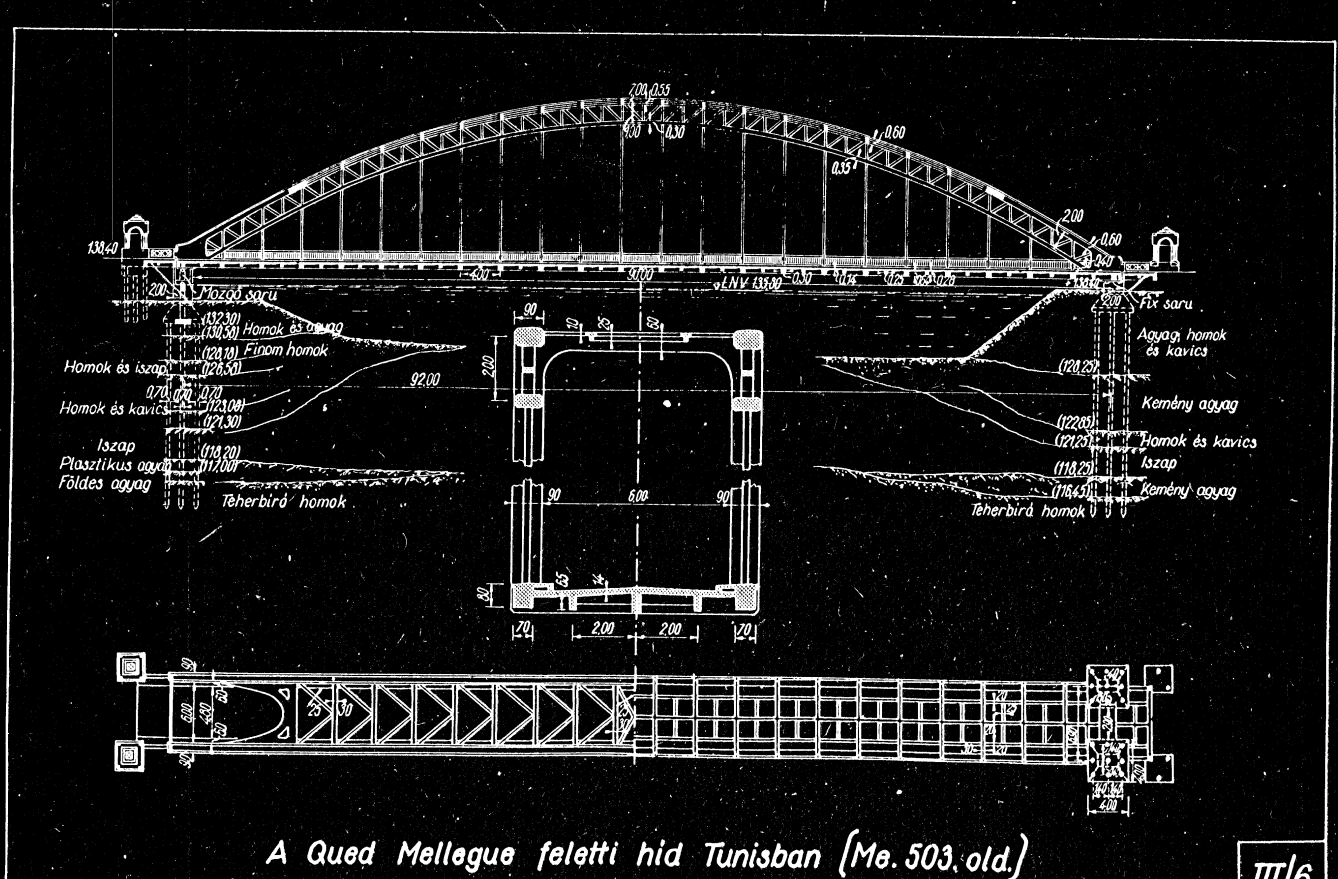
Vonóvasas ívként számolható j' megnövelt tehetetlenségi nyomatékkal

$$A \text{ függestőoszlopban keletkező rúderő} \quad S_i = \frac{ff}{l^2} \Delta x H$$

III/6

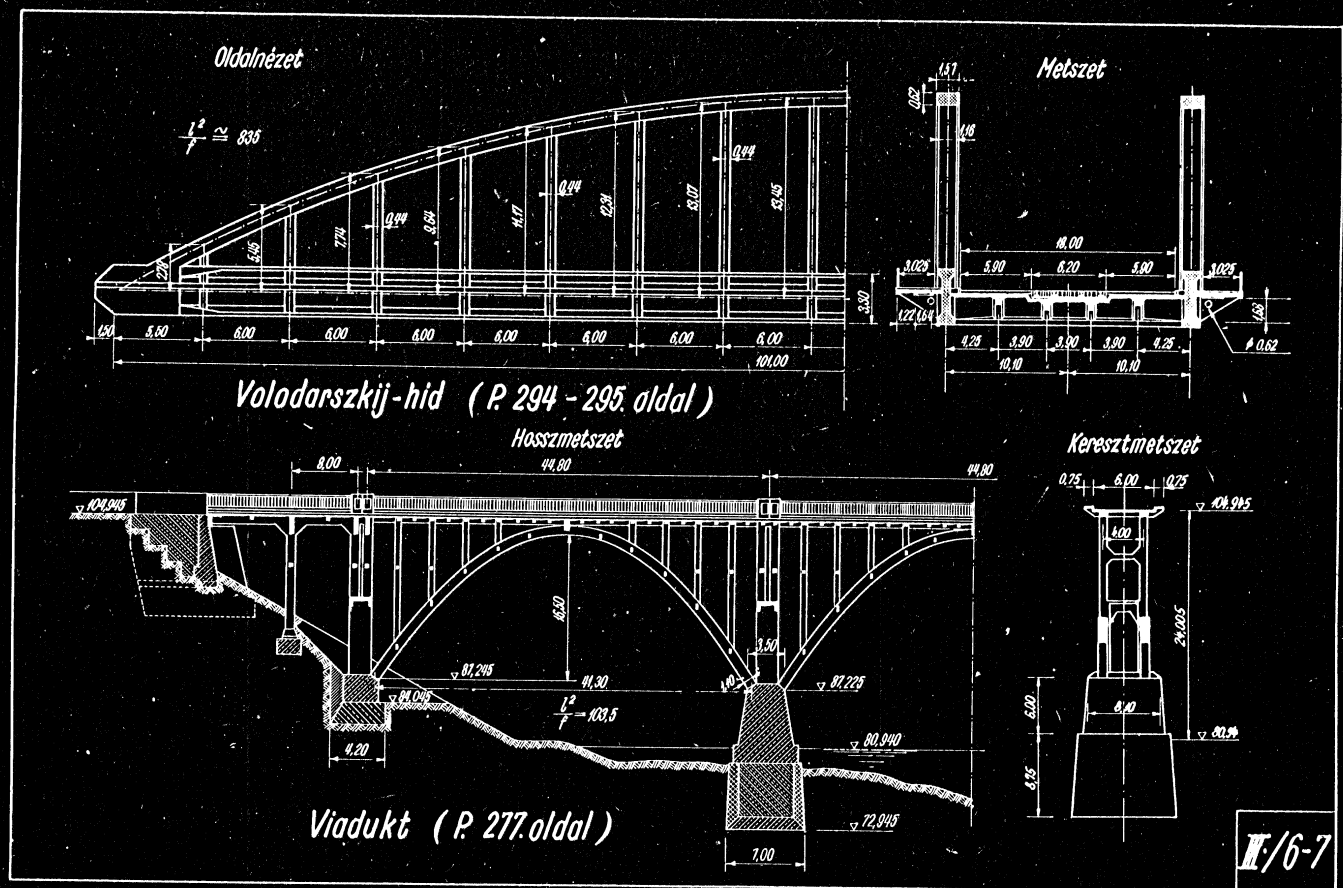






A Qued Mellegue feletti hid Tunisban (Ms. 503, old.)

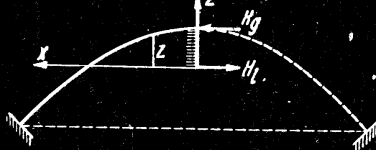
III/6.



Befogott iv számítása

1.) Önsúly, zsugorodás, hőmésekletváltozásból és fámaszmogásból származó párigénybevételek számítása közelítéssel.

Mint kétcsuklós ívnél a H erő csökkenése $H_l = -\frac{\sigma_{10}}{\sigma_{11}} = -H_g \frac{i_c^2 \int dx''}{\int y^2 dx' + i_c^2 \cos^2 \varphi dx''}$



$$\text{legyen } y = 4f \xi(1-\xi); J(x) \cos \varphi = J_c; F(x) \cos \varphi = F_c \\ y_g = \frac{\int y dx}{\int dx} = \frac{2}{3} f \text{ és } y = \frac{f}{3}(1-3\xi^2)$$

ha $\xi=0$ akkor $y=\frac{f}{3}$ és $\xi=1$ akkor $y=-\frac{2}{3} f$



$$\int y^2 dx' = 2 \int_0^{4f} y^2 dx' = \frac{4}{45} f^2 l \text{ és } \int dx' = \int dx = l$$

Ivosszenyomásból a H erő csökkenése

$$d^2 = \frac{l^2}{6400}; i^2 = \frac{d^2}{12}$$

$$H_l = -H_g \frac{1}{1 + \frac{4}{45} \frac{f^2}{l^2}}$$

$$Hg = \frac{f}{l} = \frac{1}{80} \text{ és } d = \frac{l}{80};$$

$$\text{akkor } H_l = -H_g \frac{1}{1 + \frac{4}{45} \frac{12.6400}{36}} \approx 0.005 H_g$$

Zsugorodásból, hőméseklet-változásból és fámaszeltelődésből a H erő csökkenése

$$H = -E F_c \frac{\alpha_{zs} t l \pm \alpha t l + \alpha l}{i_c^2 \int y^2 dx' + \int \cos^2 \varphi dx''}$$

Ebből a nyomatékok $M = -(H_l + H_{zs} \pm H_b + H_t) y$

2.) Közelítő nyomatékok megosztó mozgó teherből:

ρ féloldalas teherre vizsgáljuk az ivet

$$J(x) \cos \varphi = J_c$$

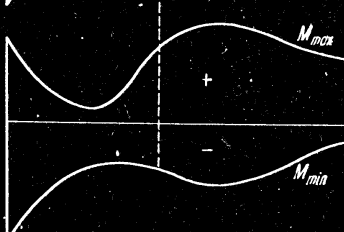
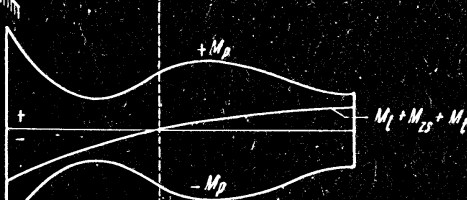
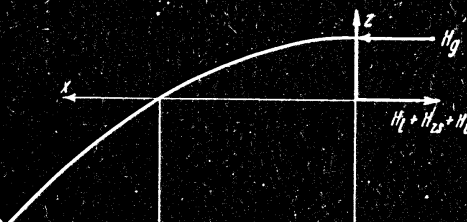
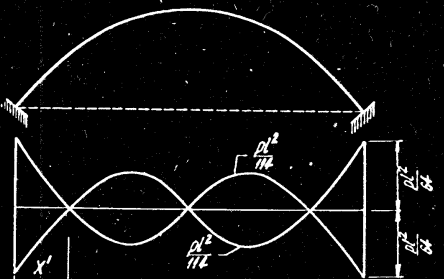
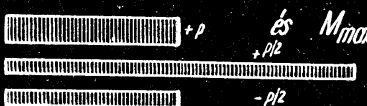
$$x = \frac{3}{10} l \quad A \text{ fámasznál } \frac{\rho}{2} \frac{g^2}{8} = \frac{\rho l^2}{64}$$

Max. mezőnyomaték

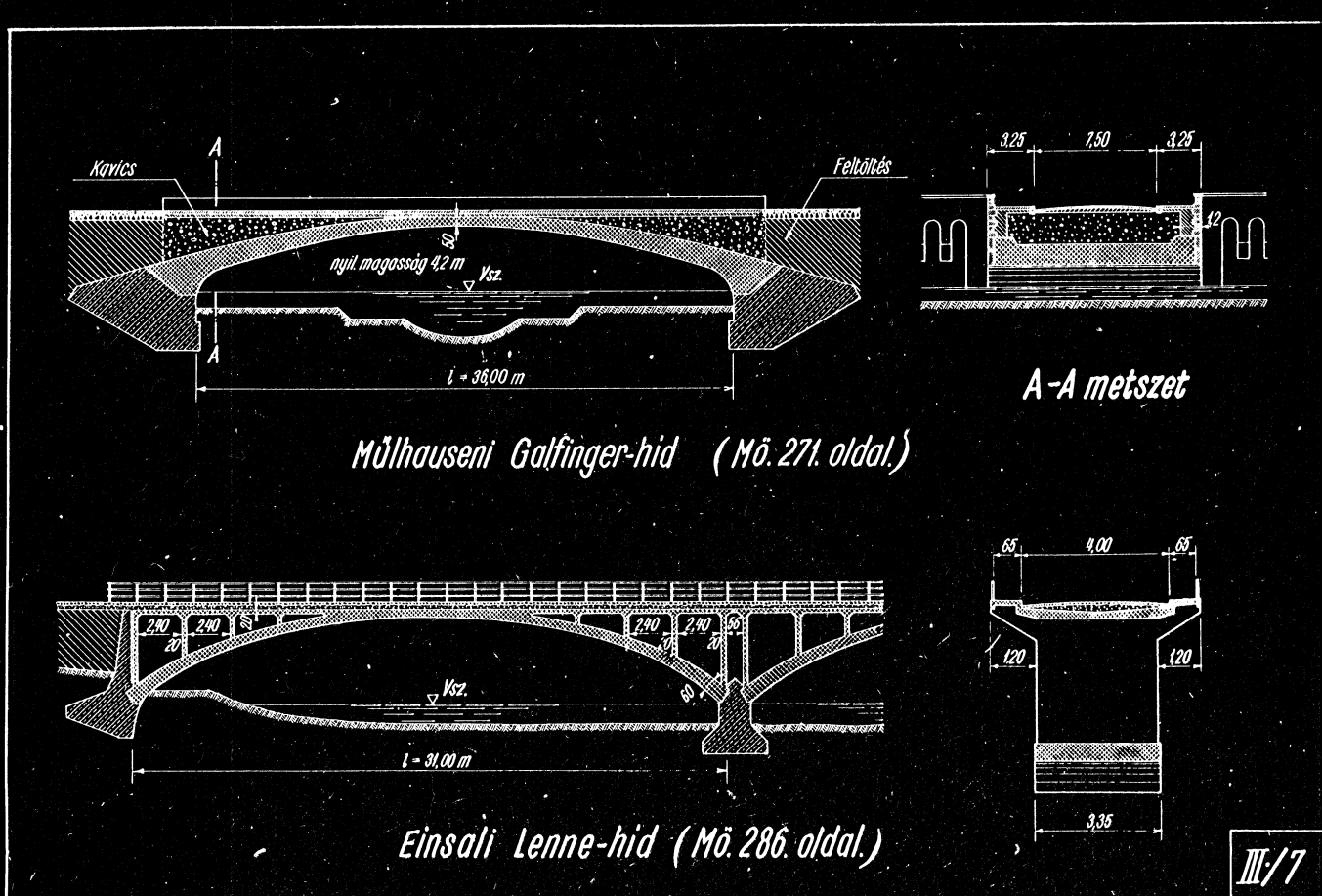
$$M_{max}^{(+)} = \frac{\rho}{2} \frac{9}{128} \rho l^2 \approx \frac{\rho l^2}{114}$$

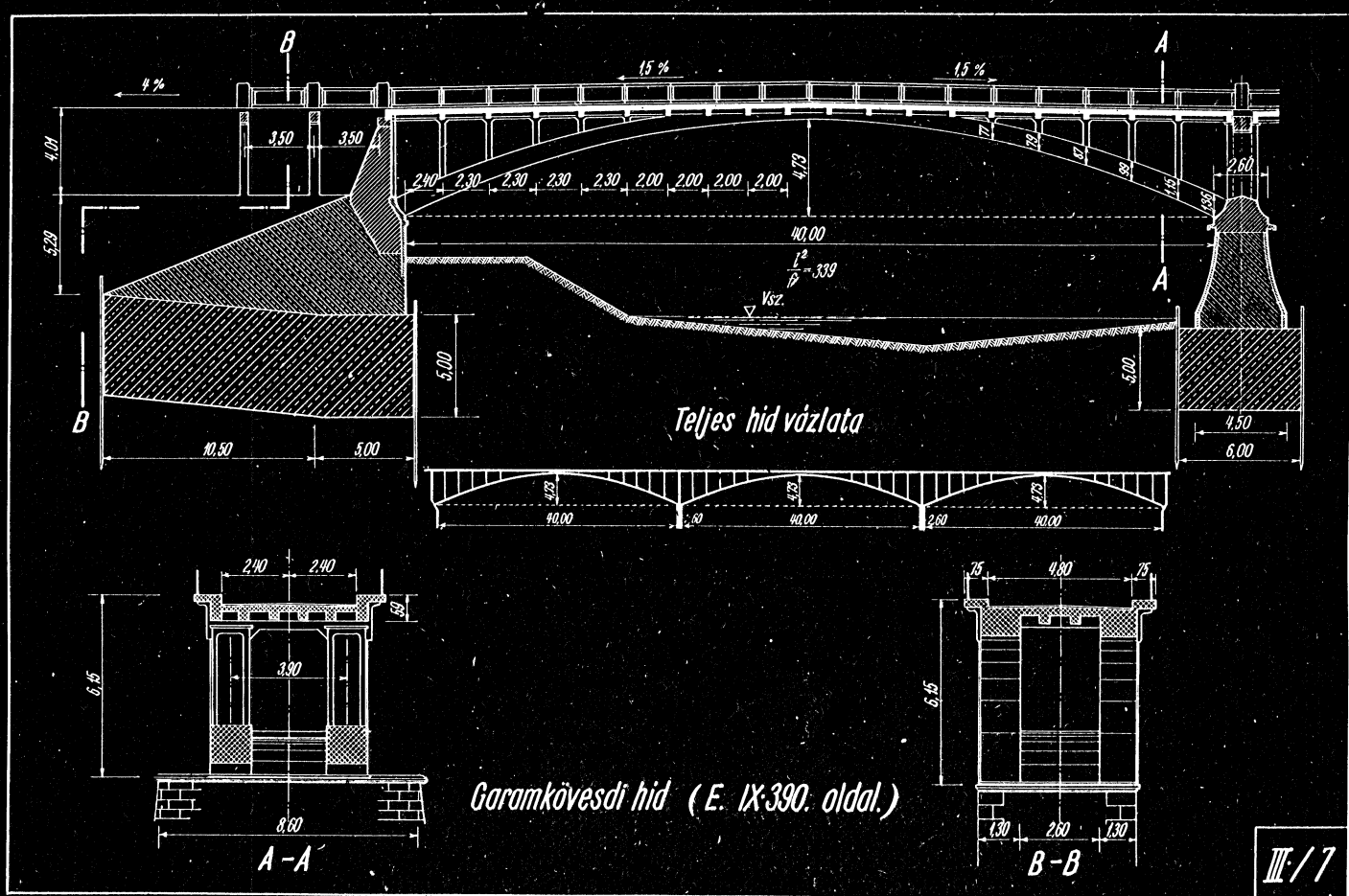
$$\text{Ennél jobb közelítés } M_{max}^{(+)} = \frac{\rho l^2}{59}$$

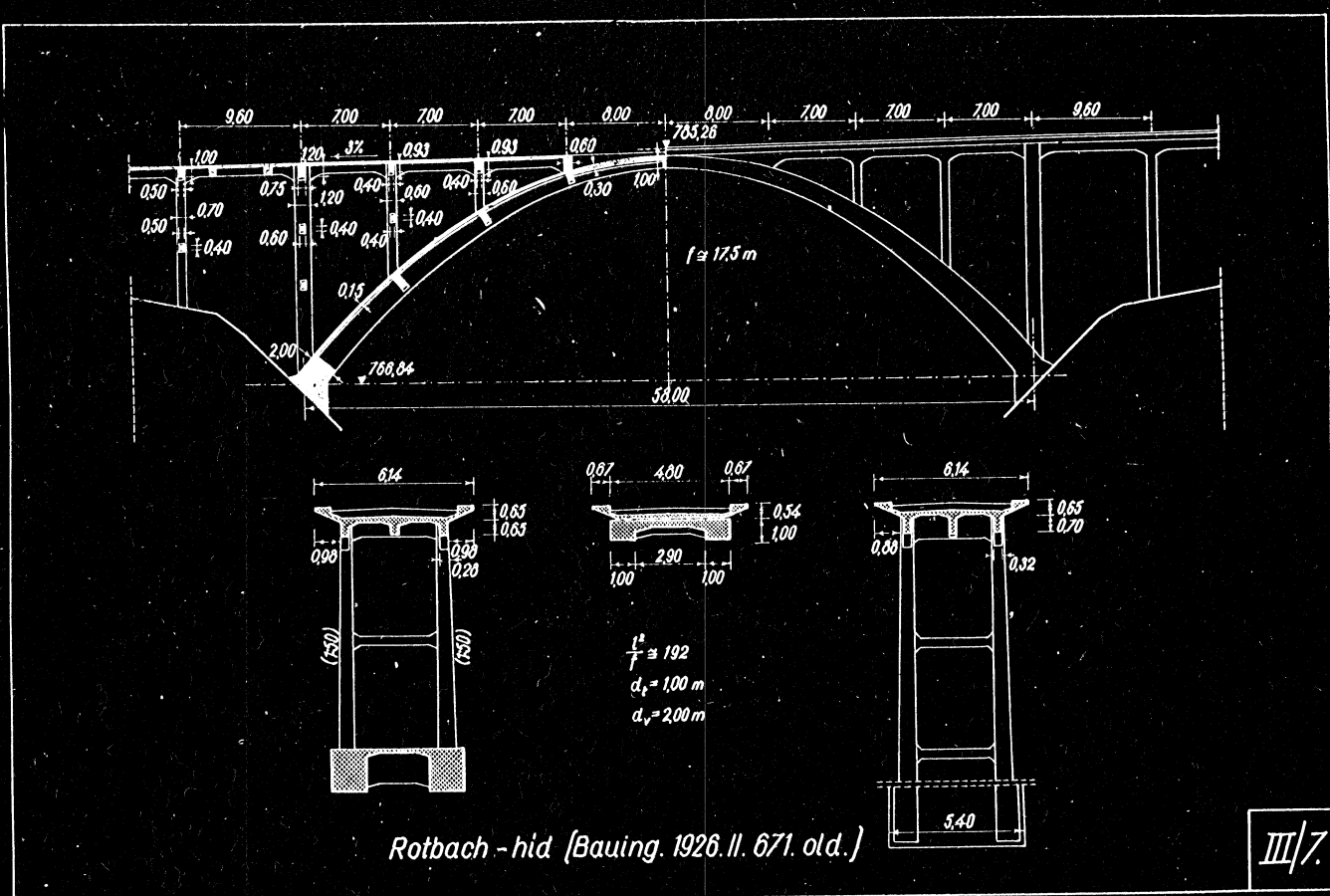
$$\text{és } M_{max}^{(+)} = \frac{\rho l^2}{110}$$

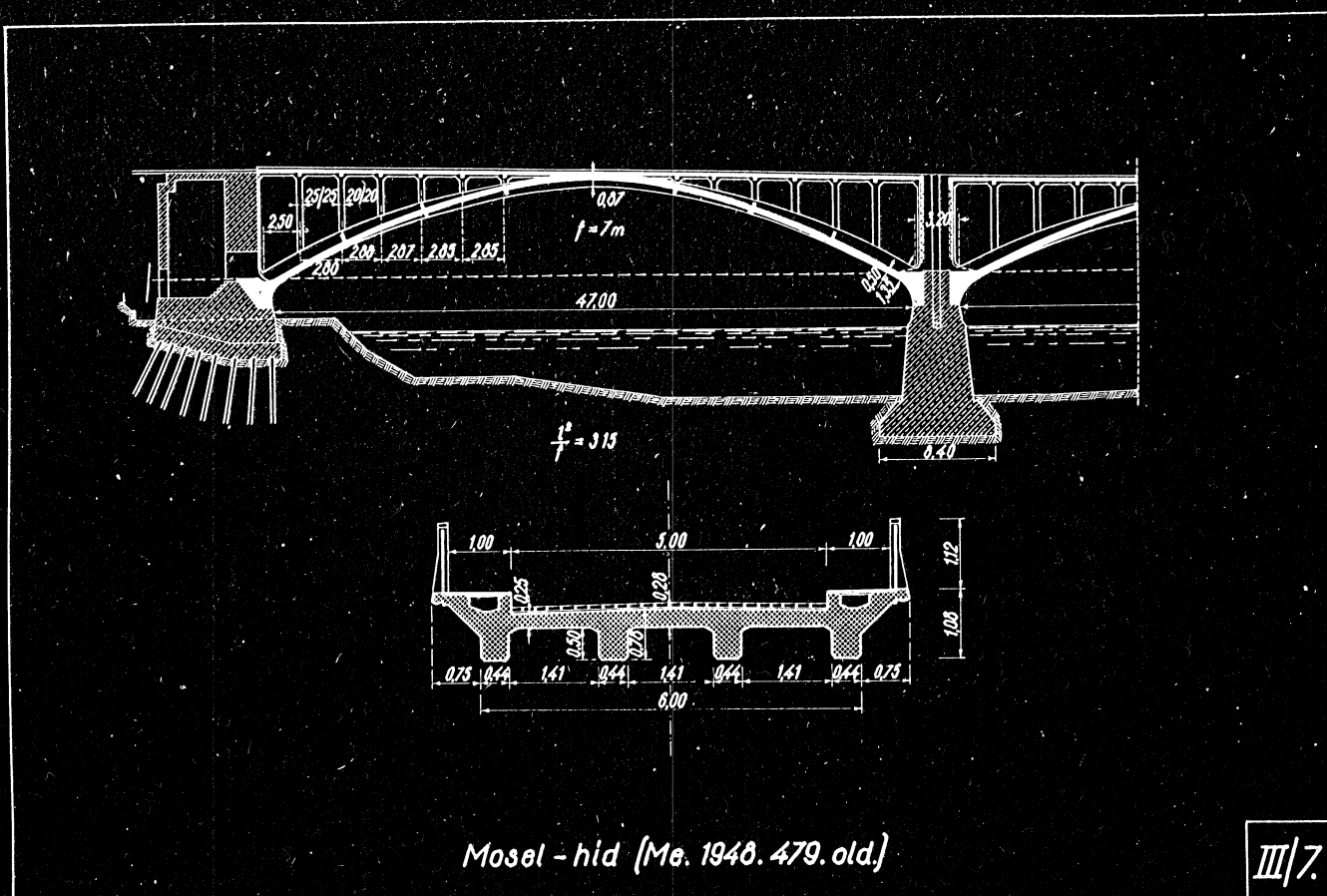


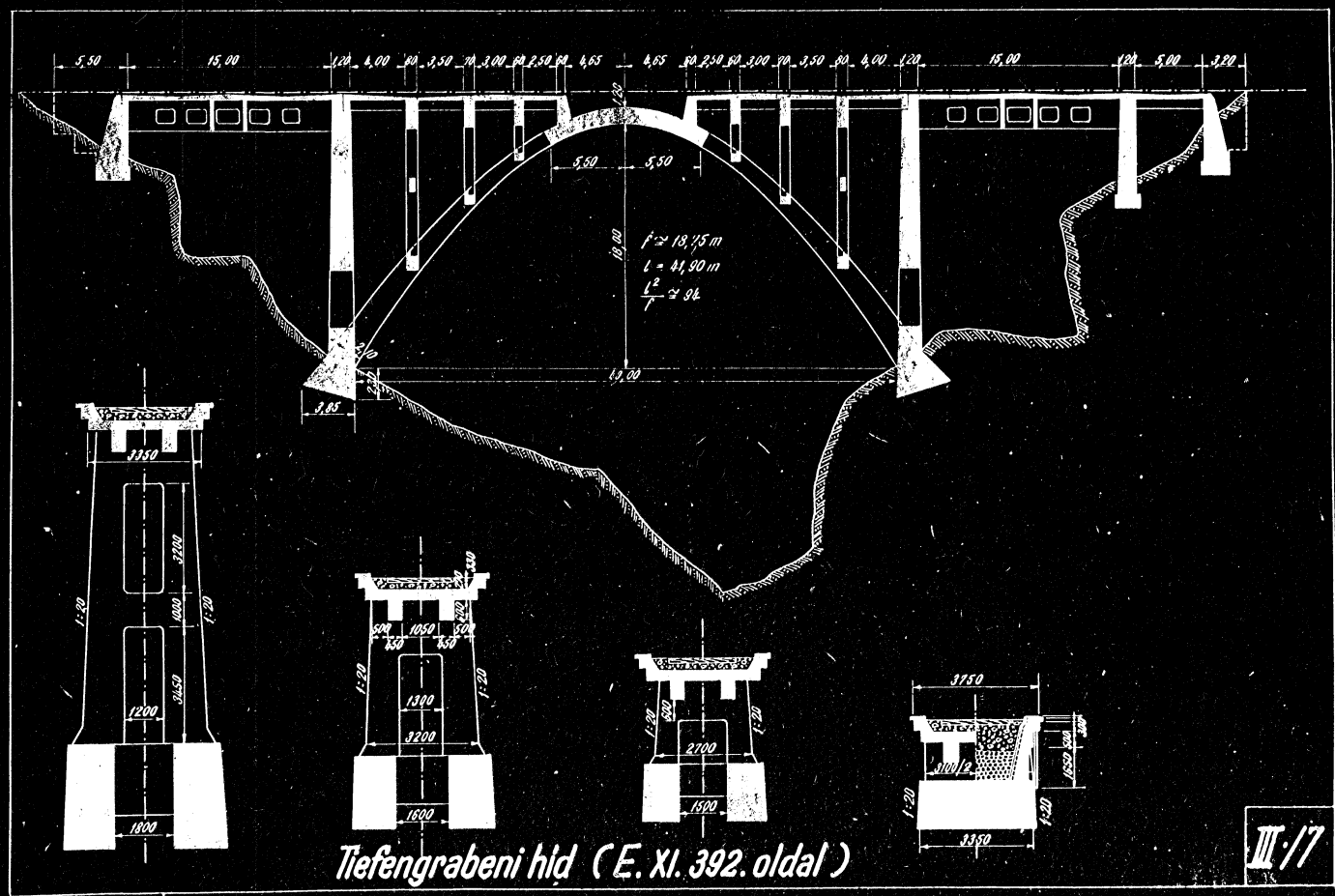
III/7

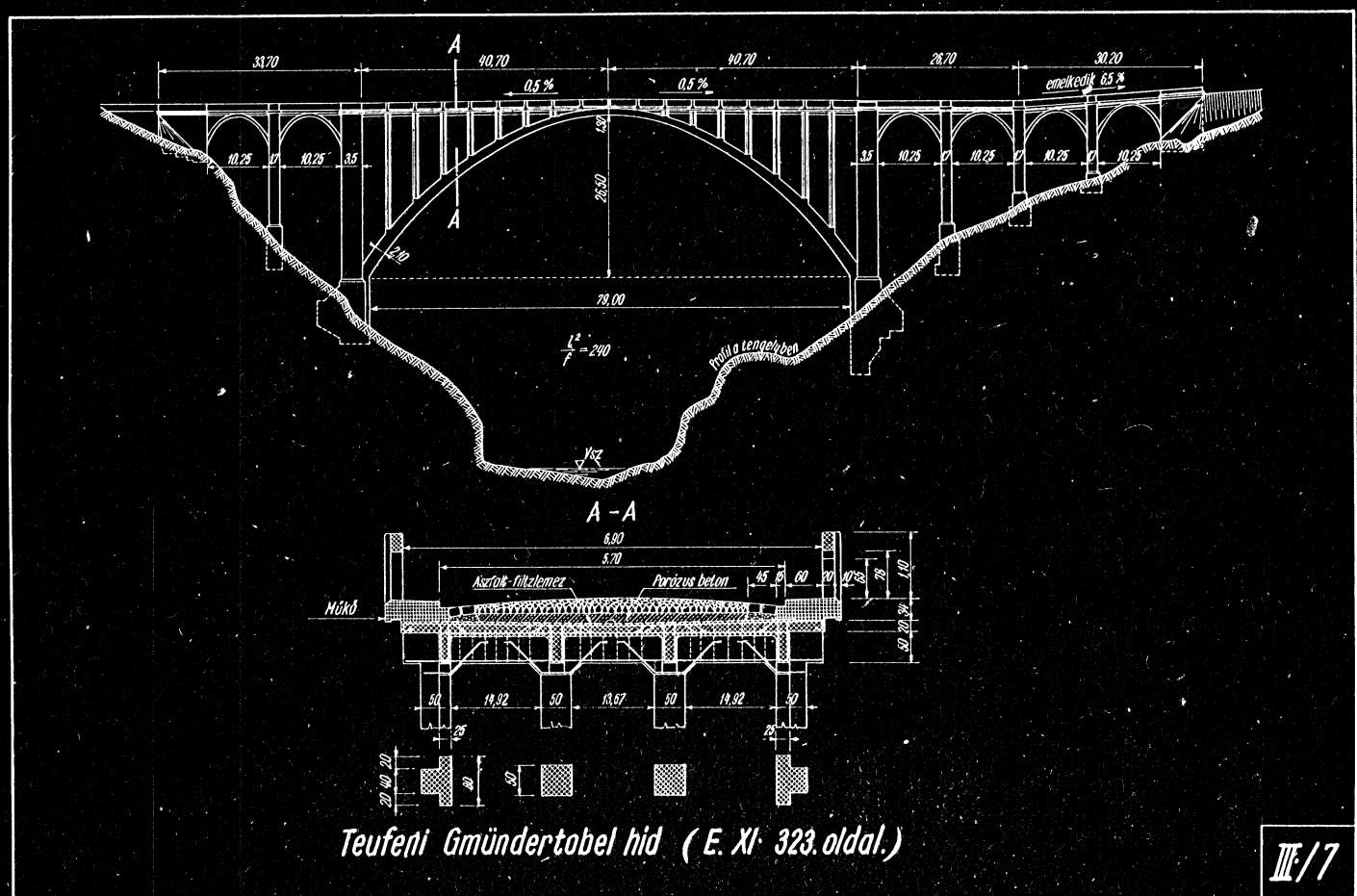


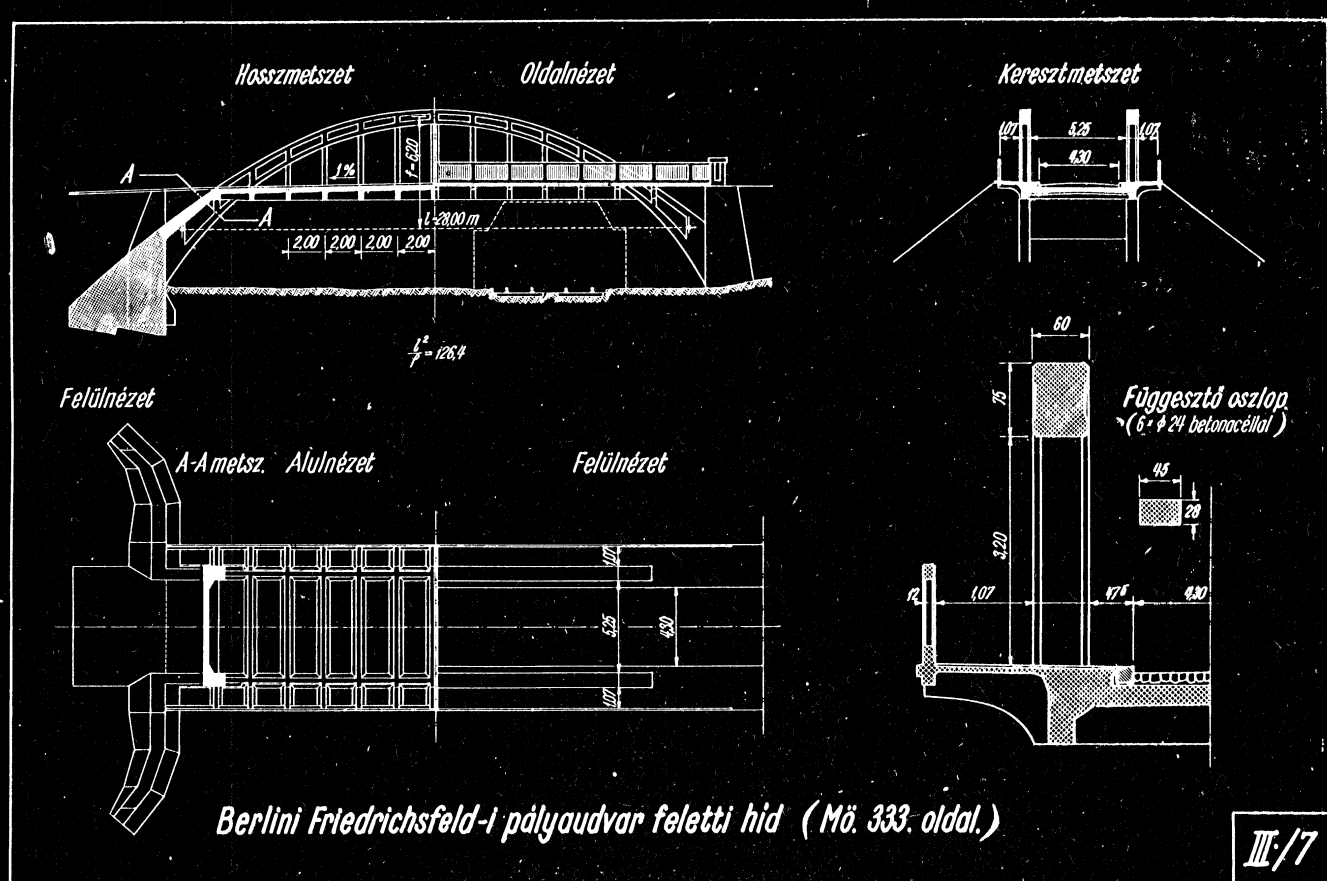


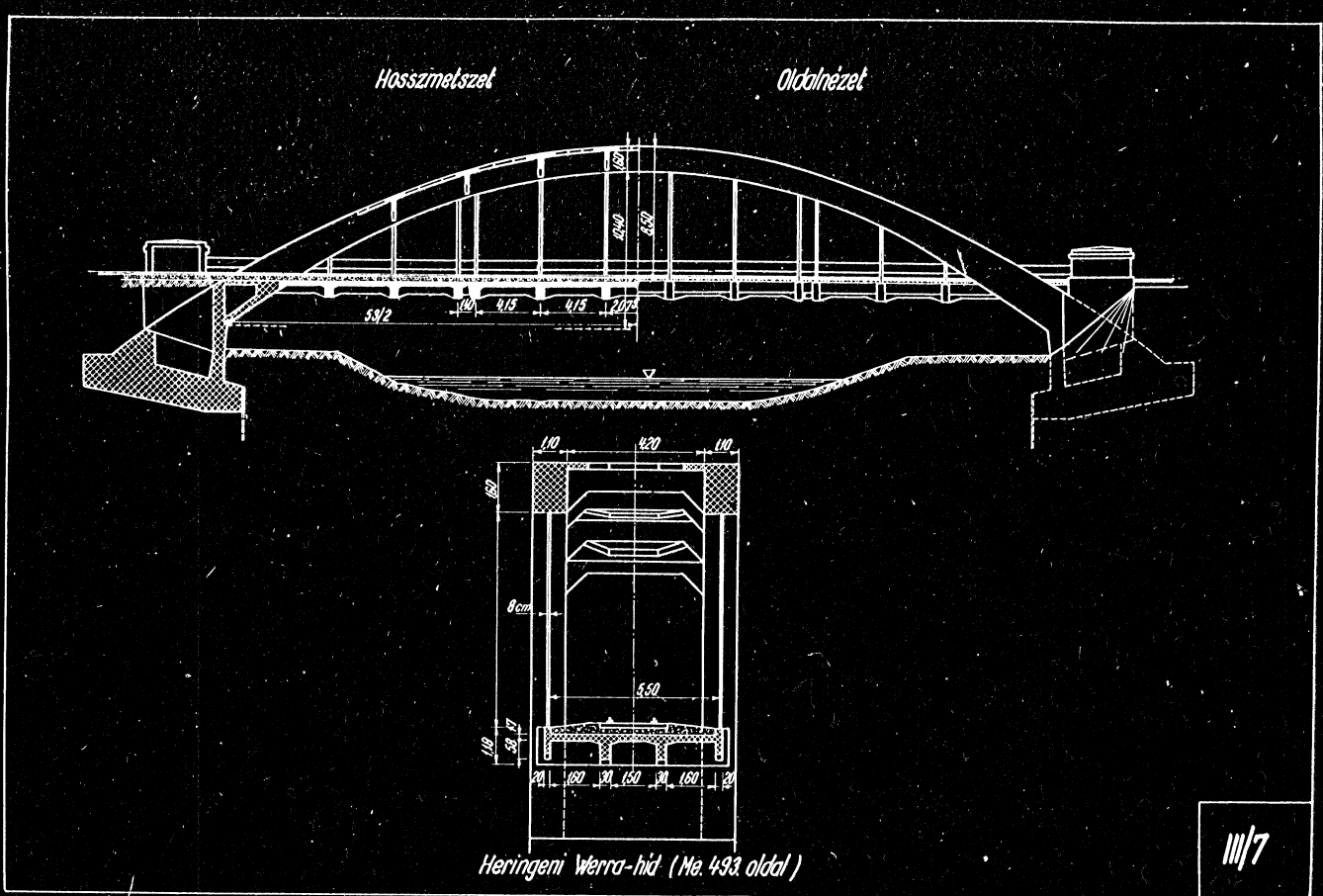


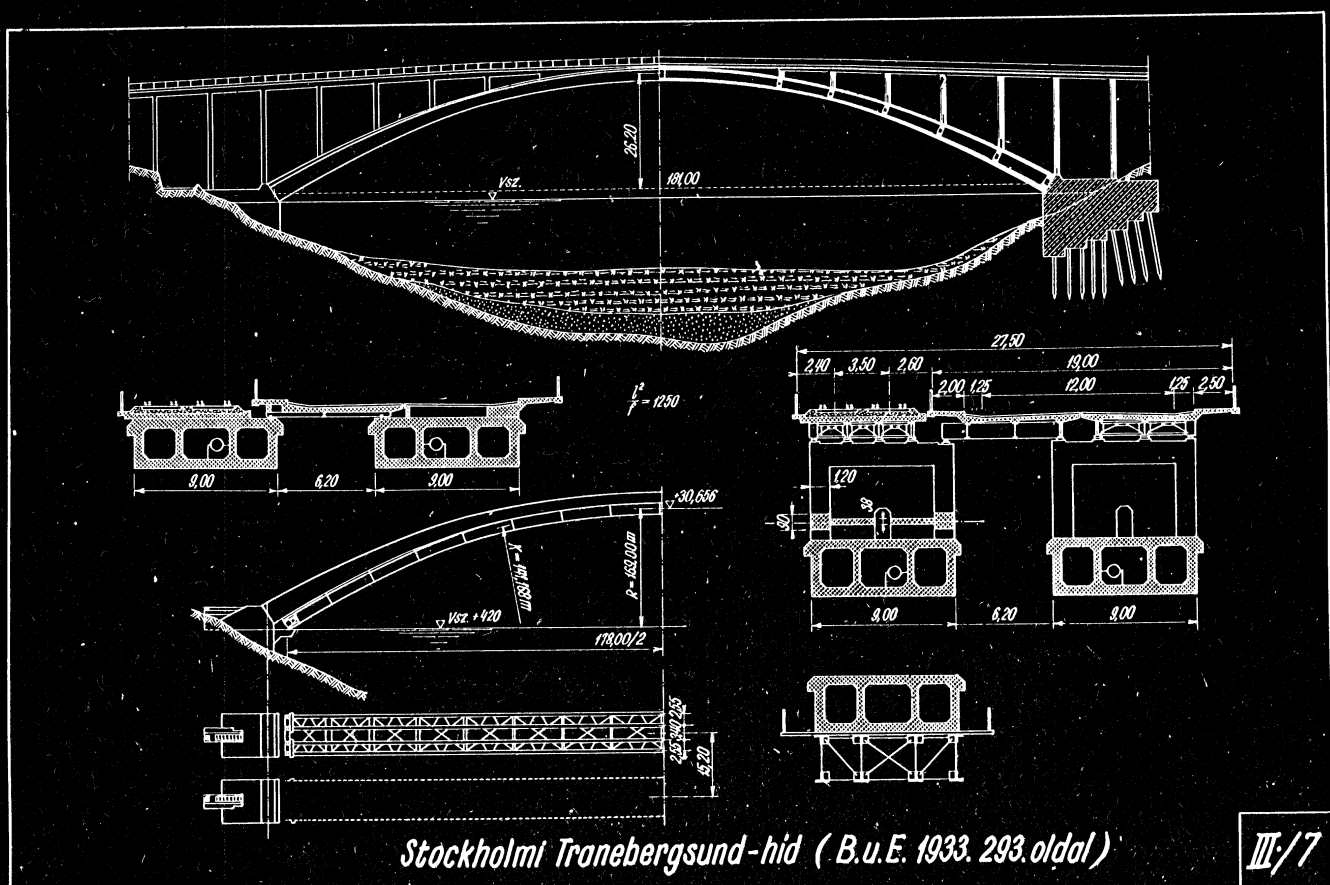


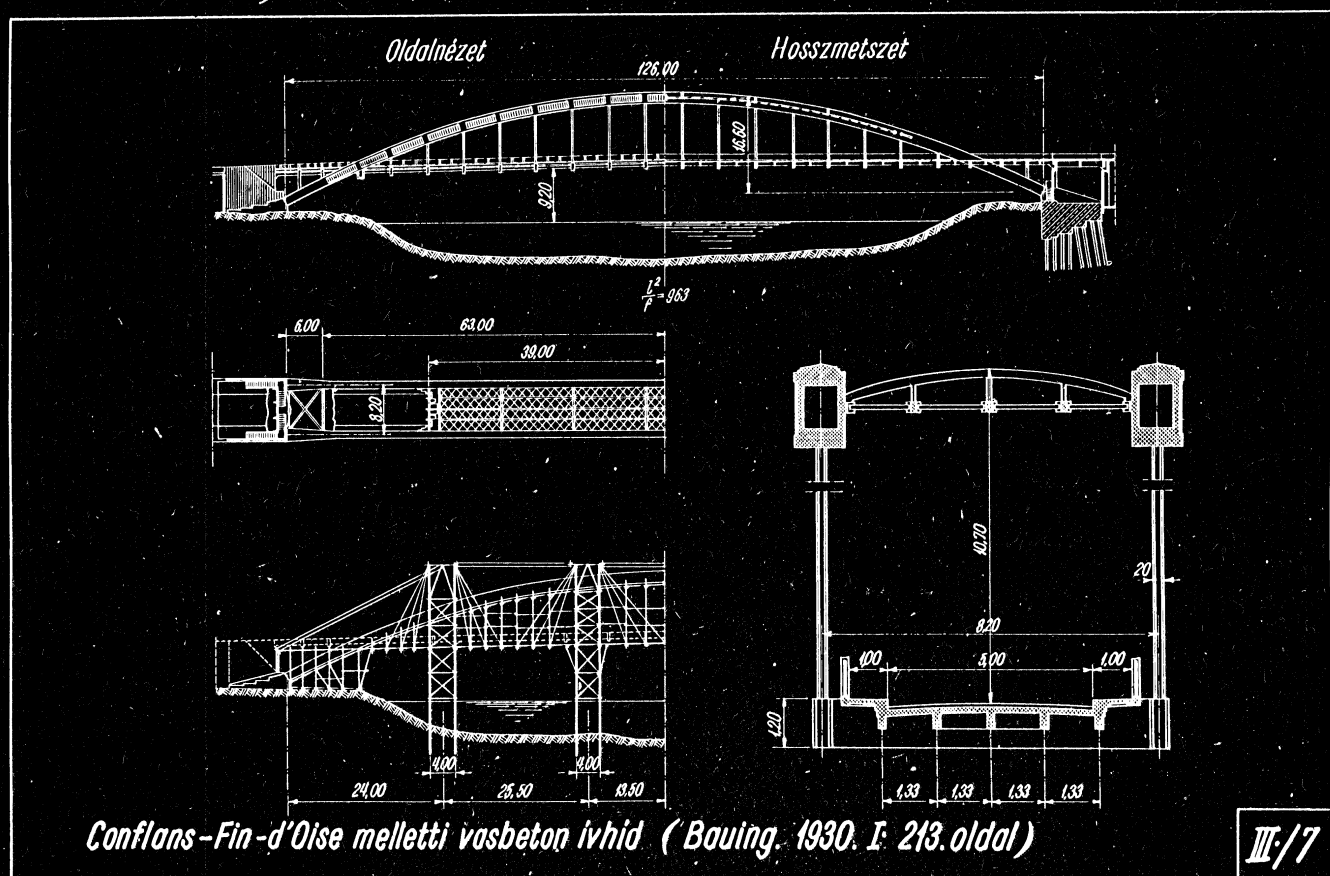


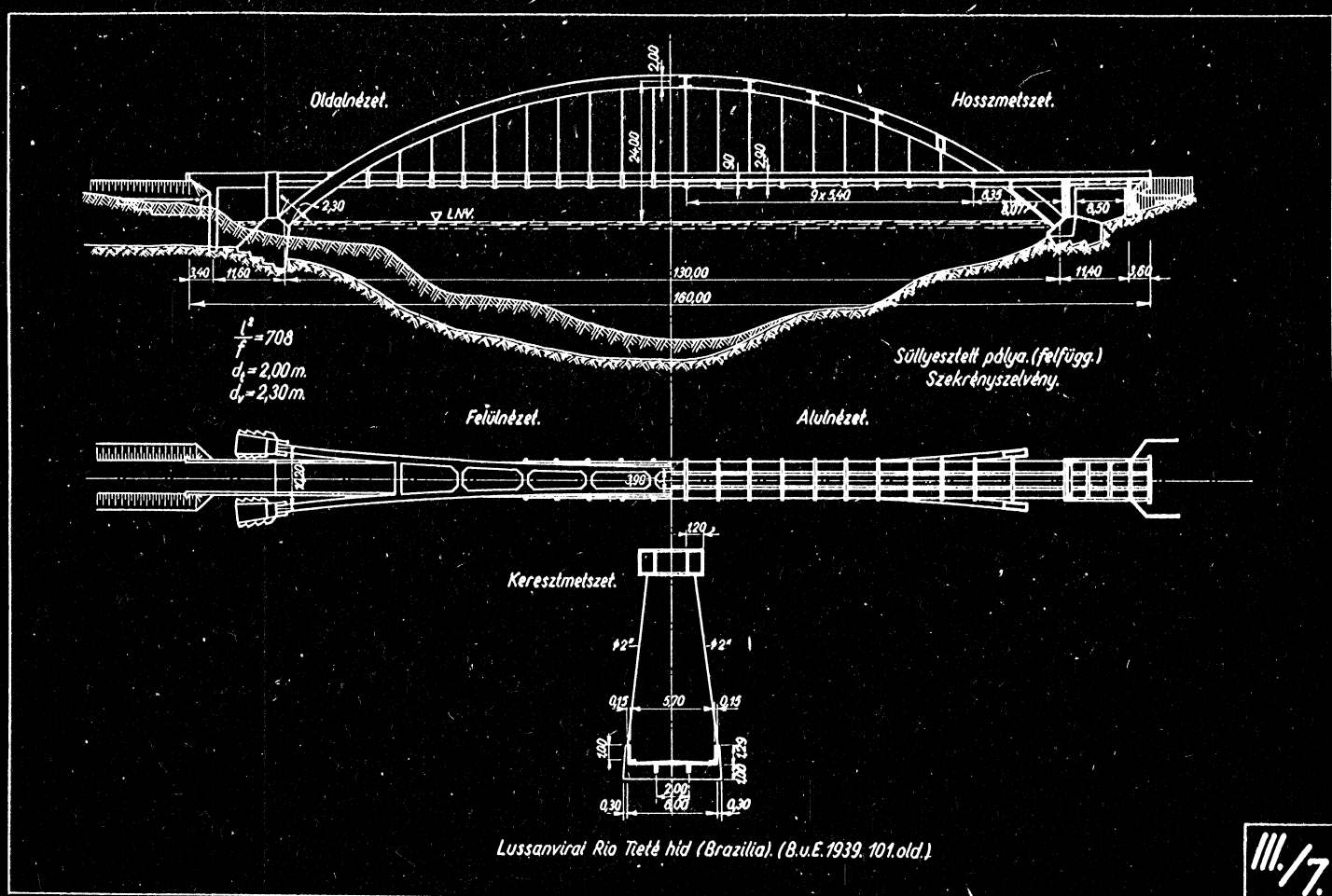


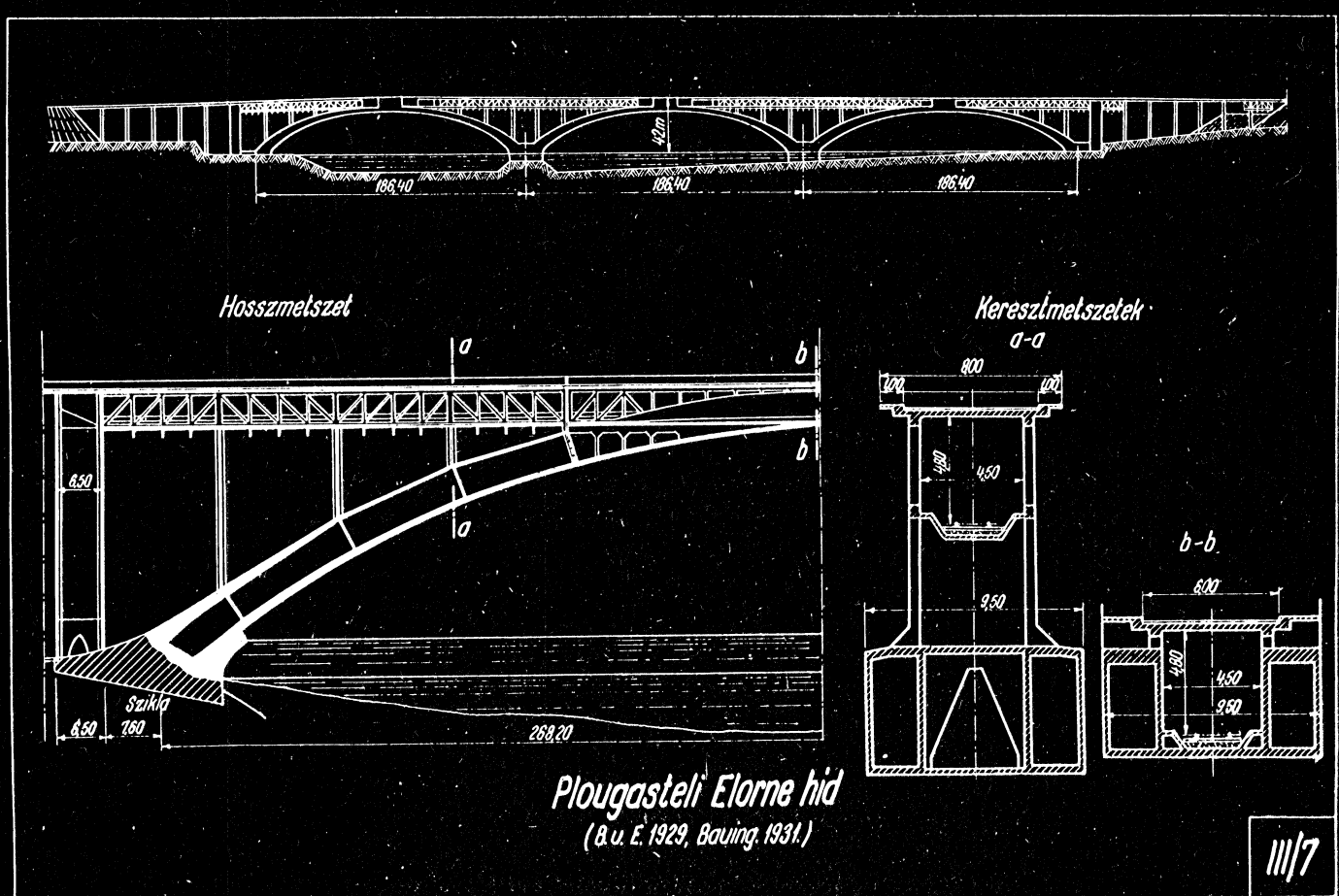


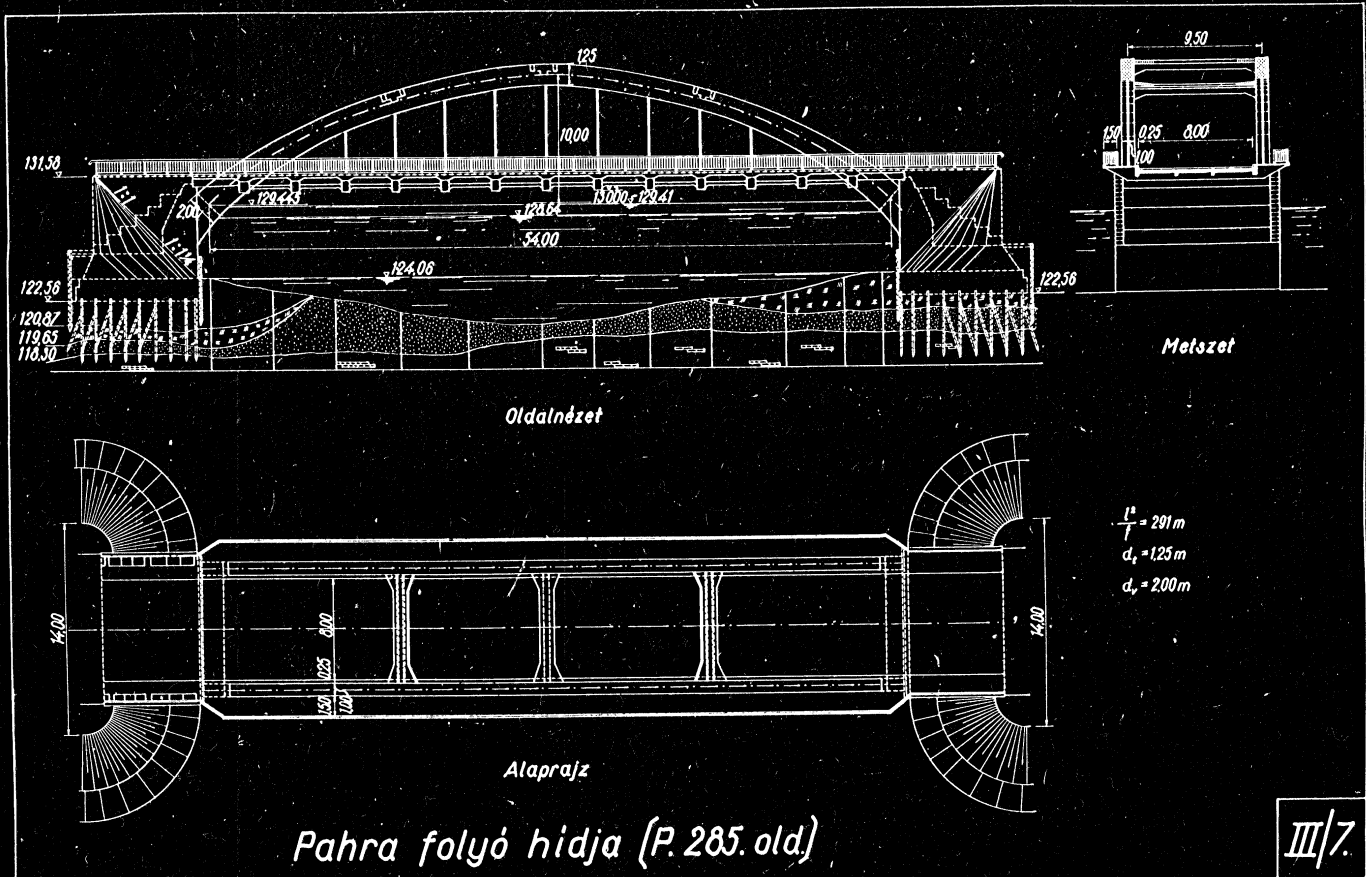


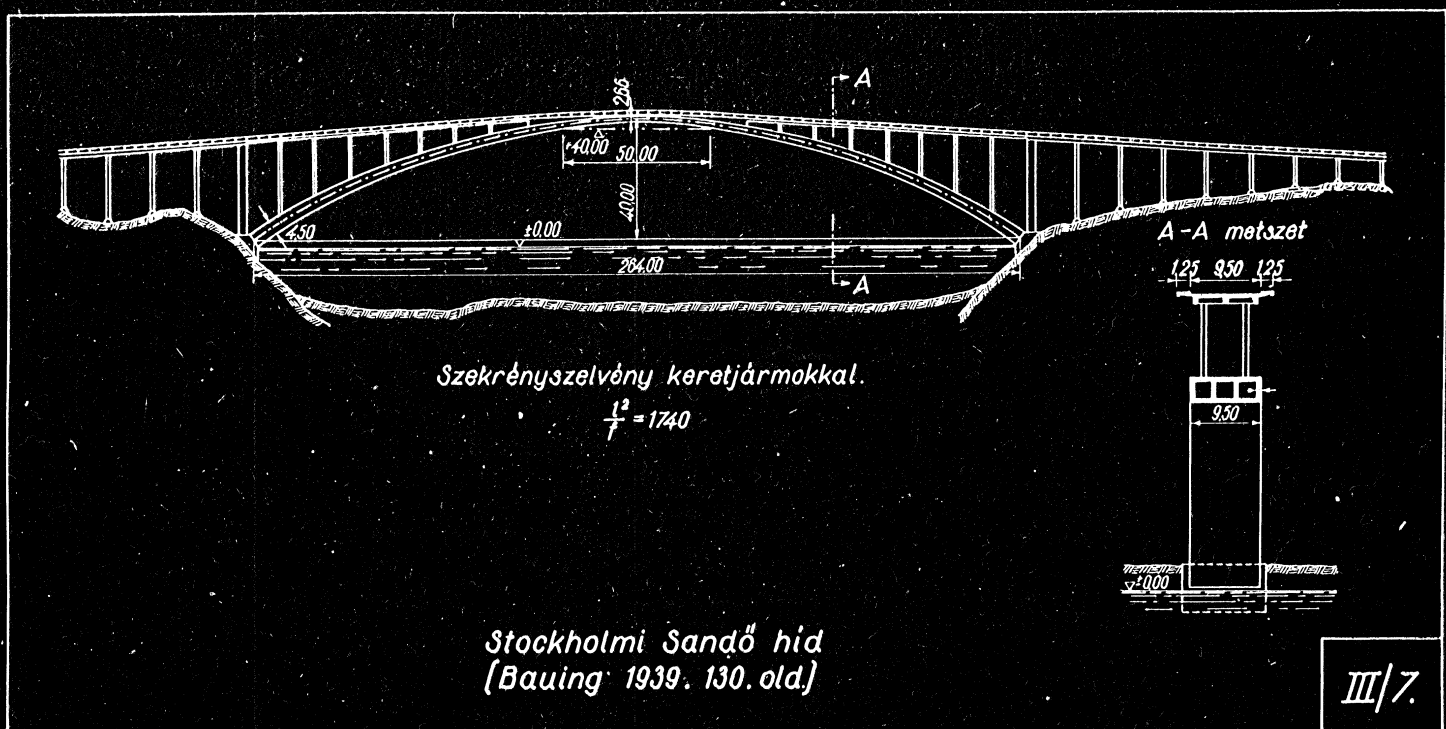


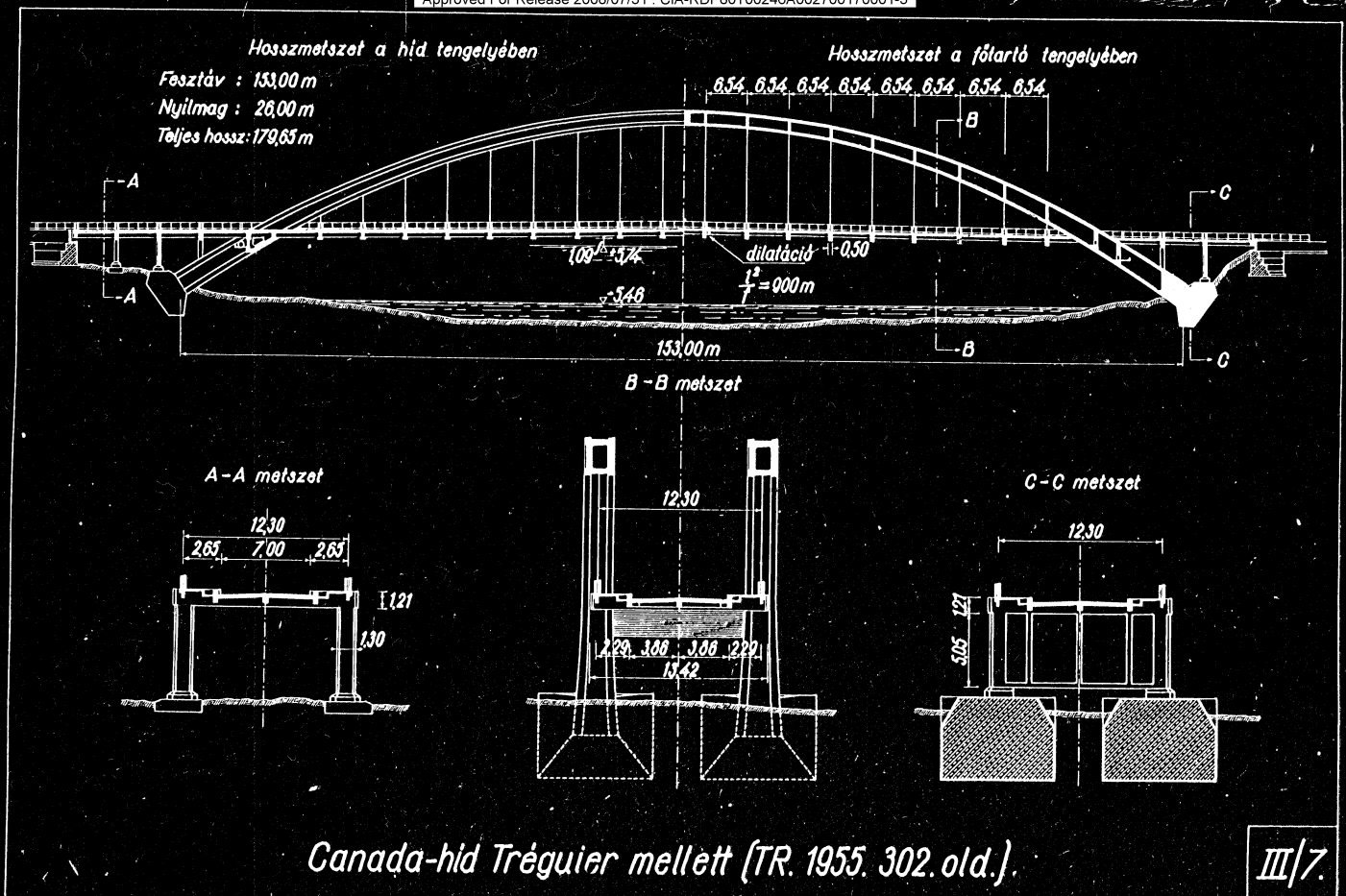


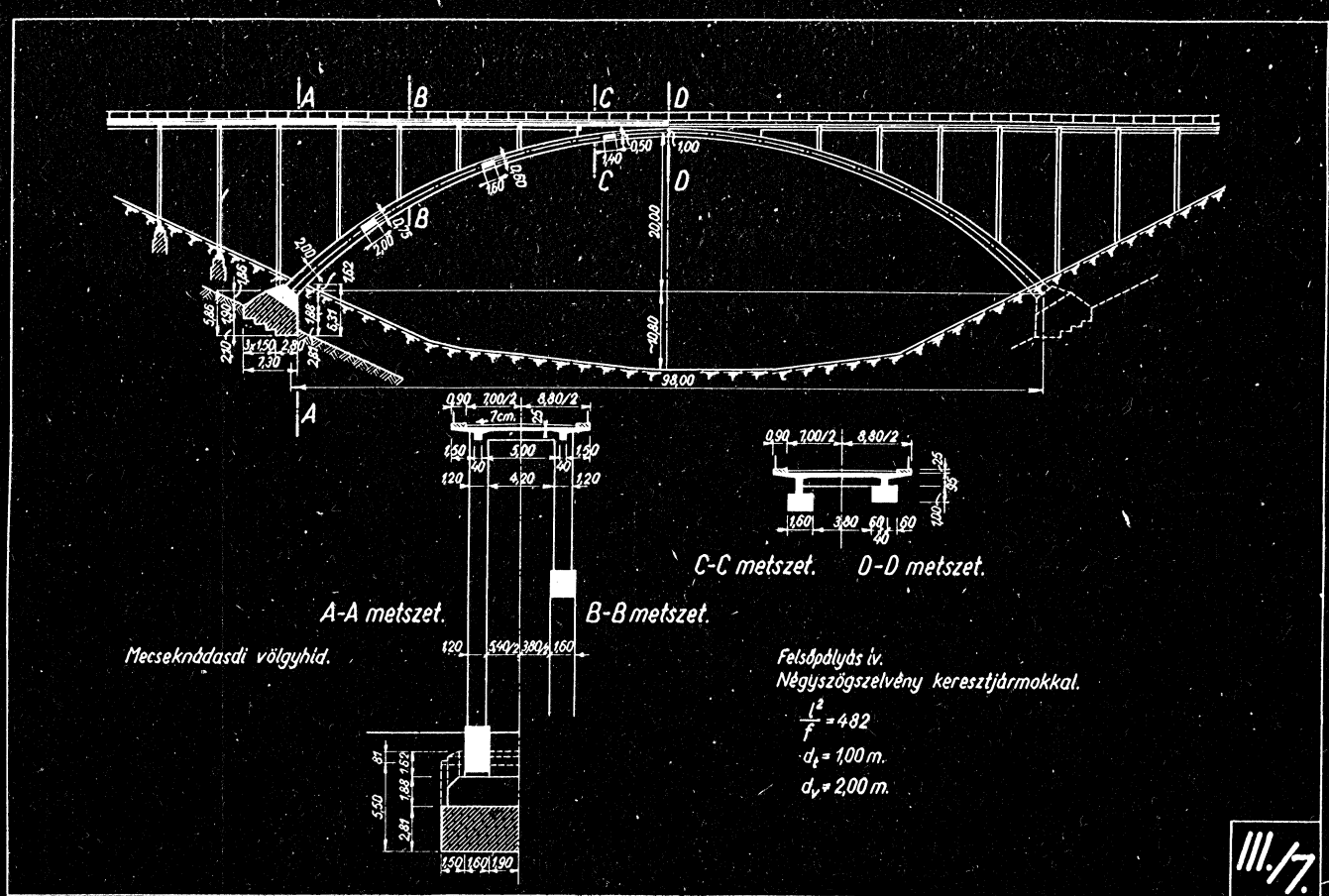


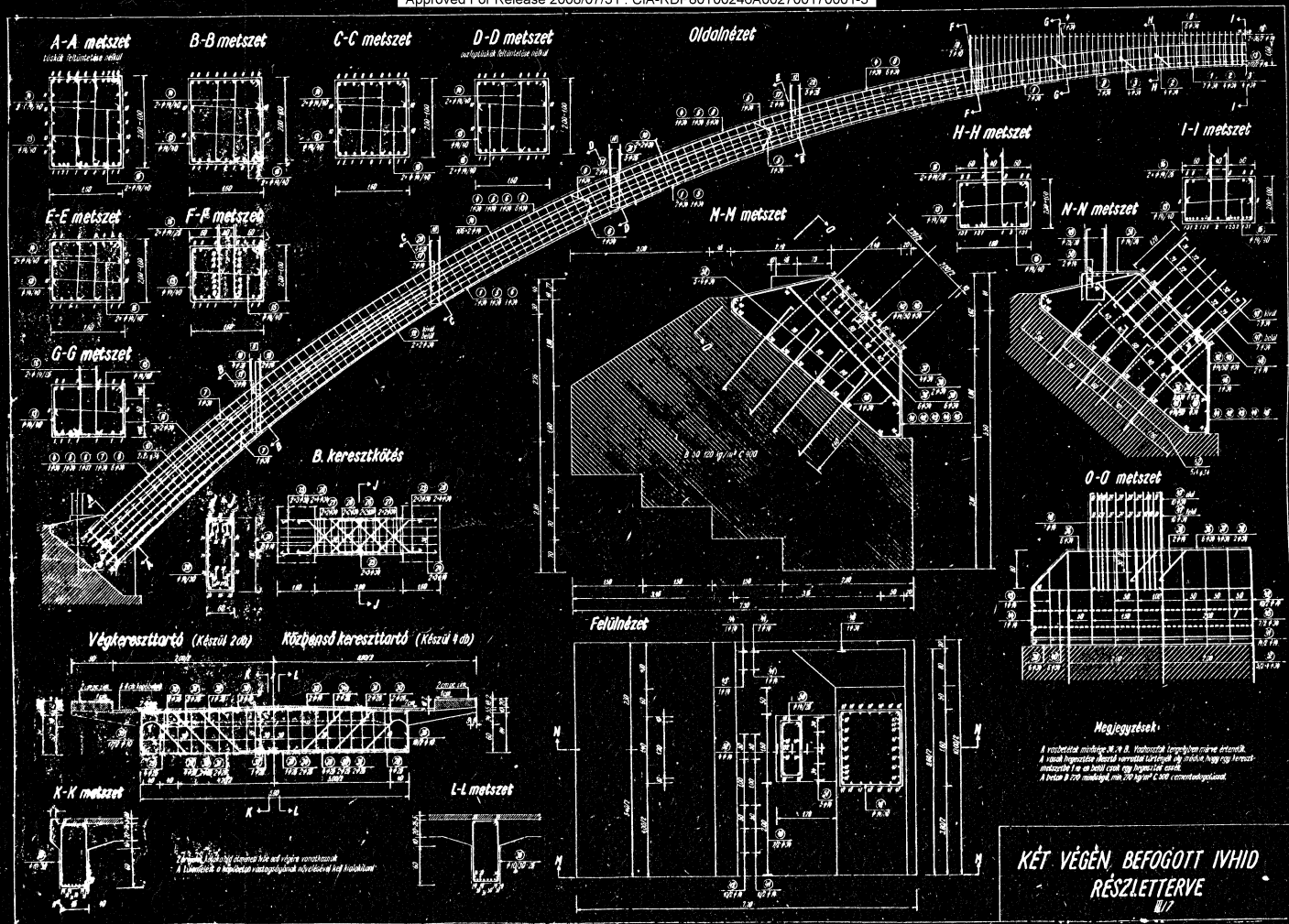


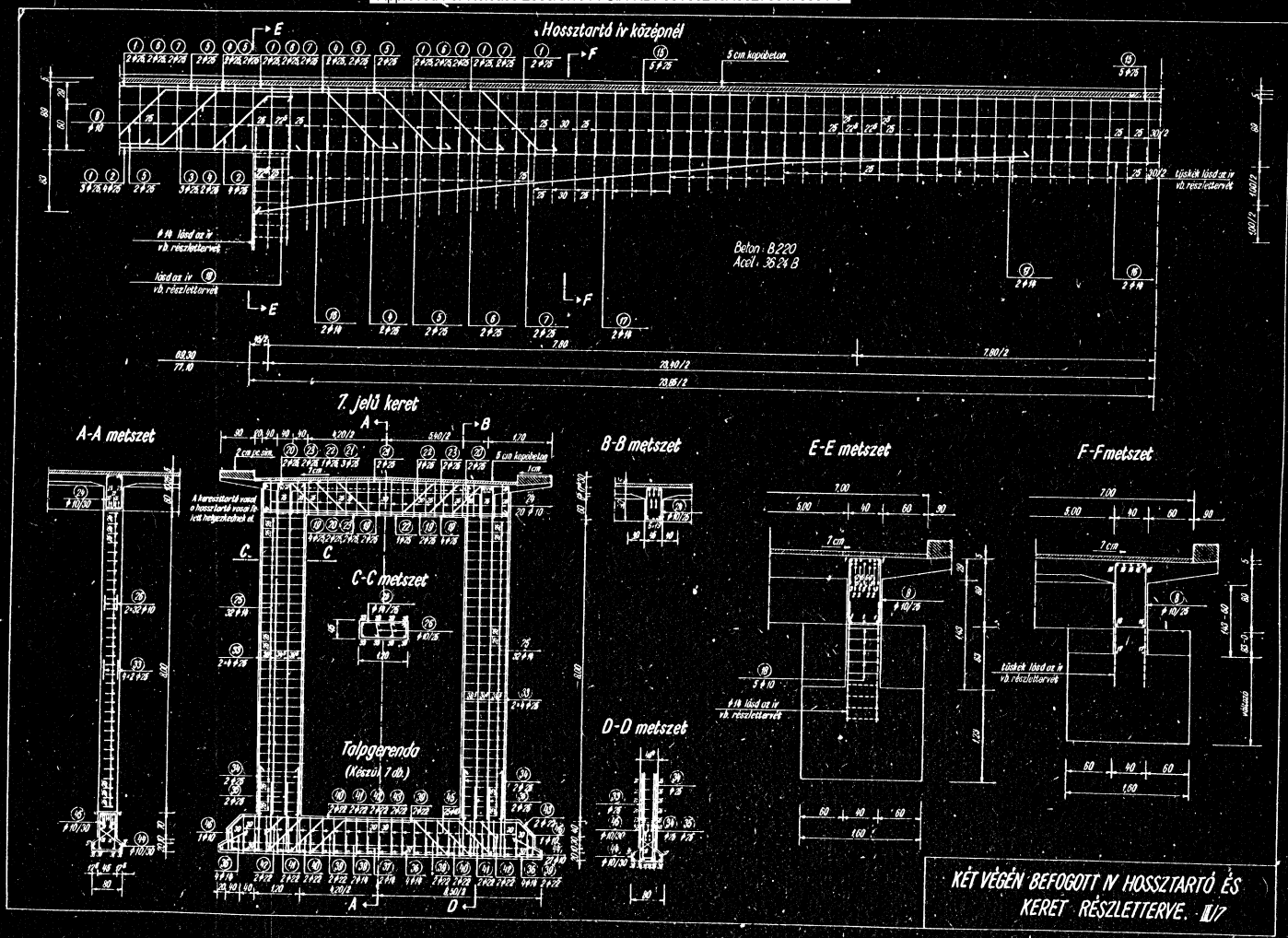


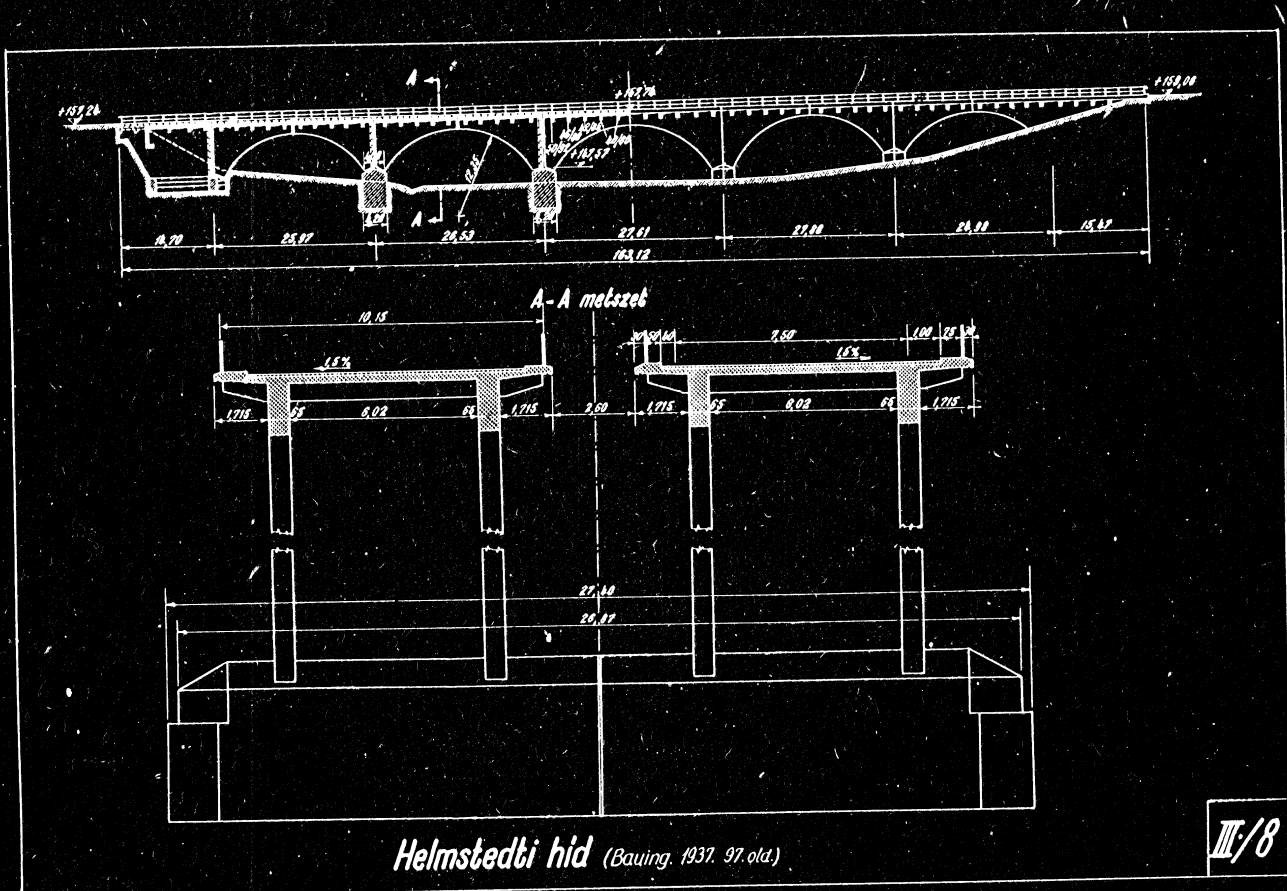


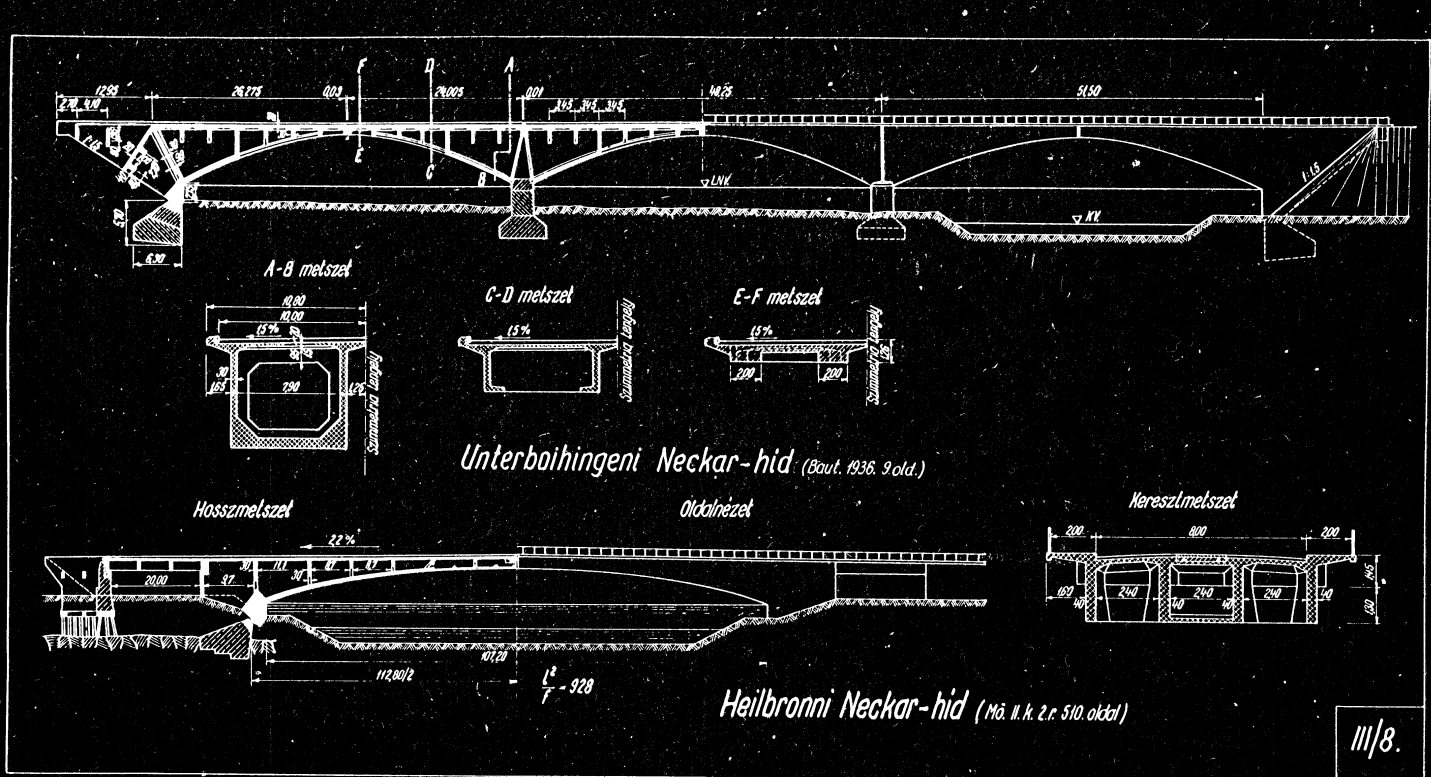


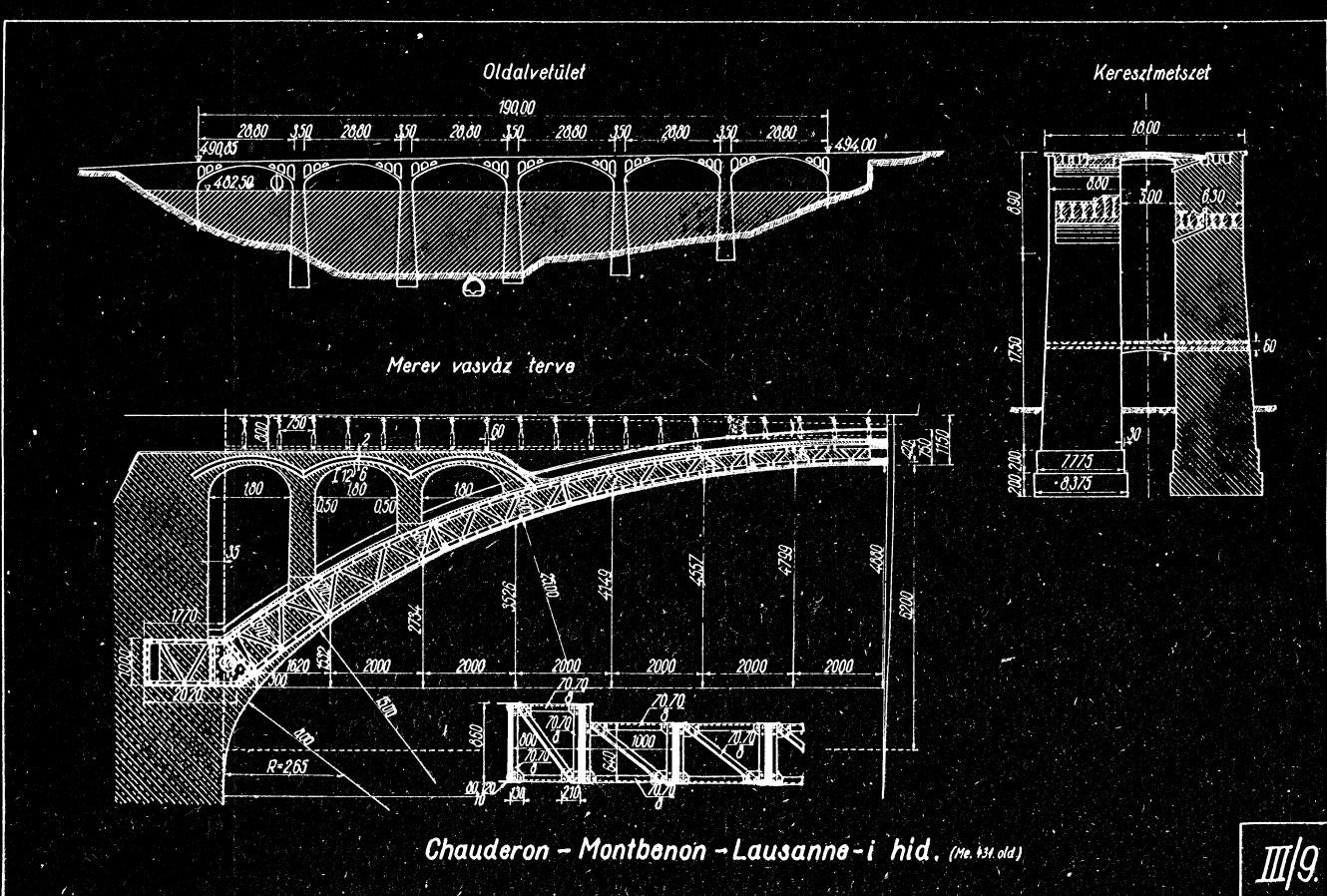






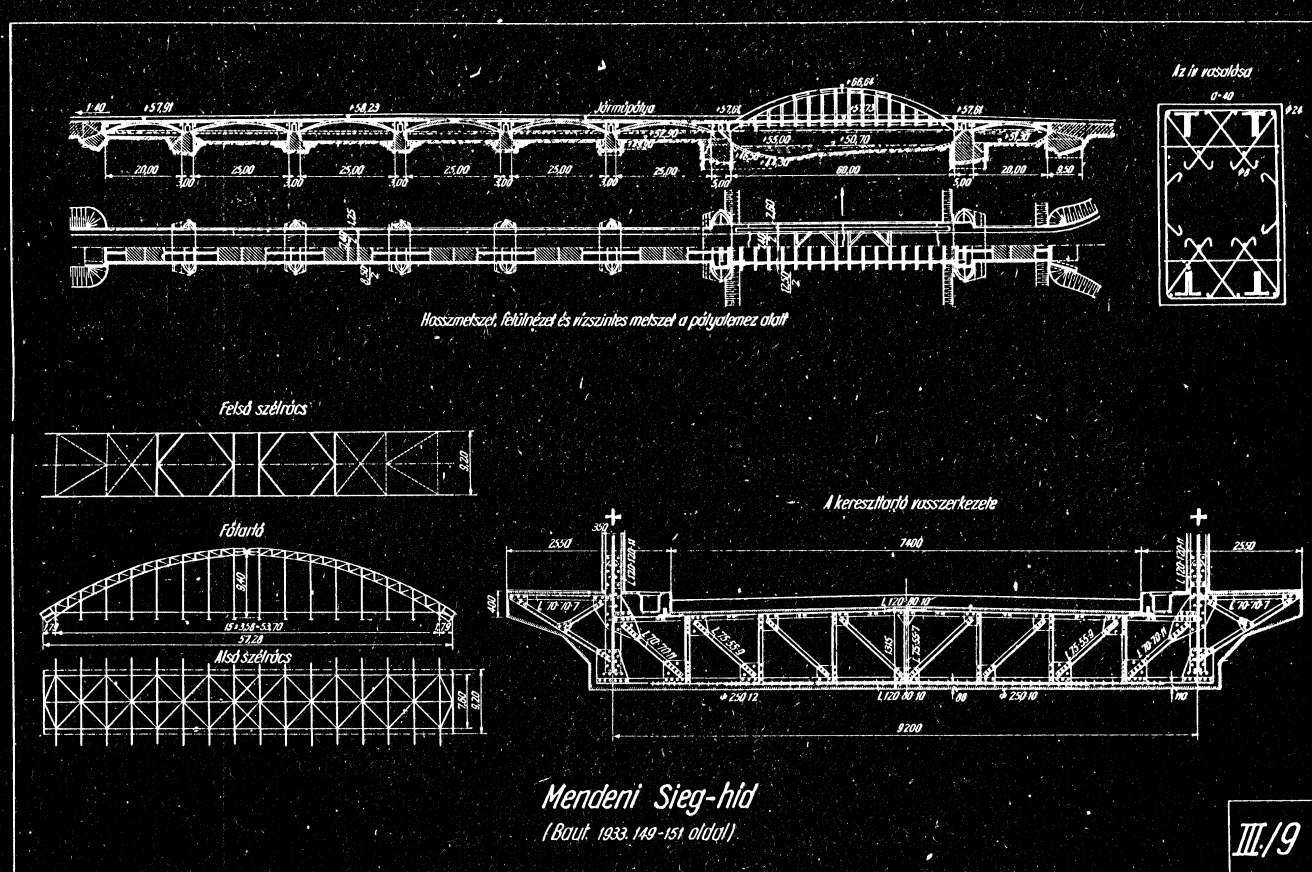


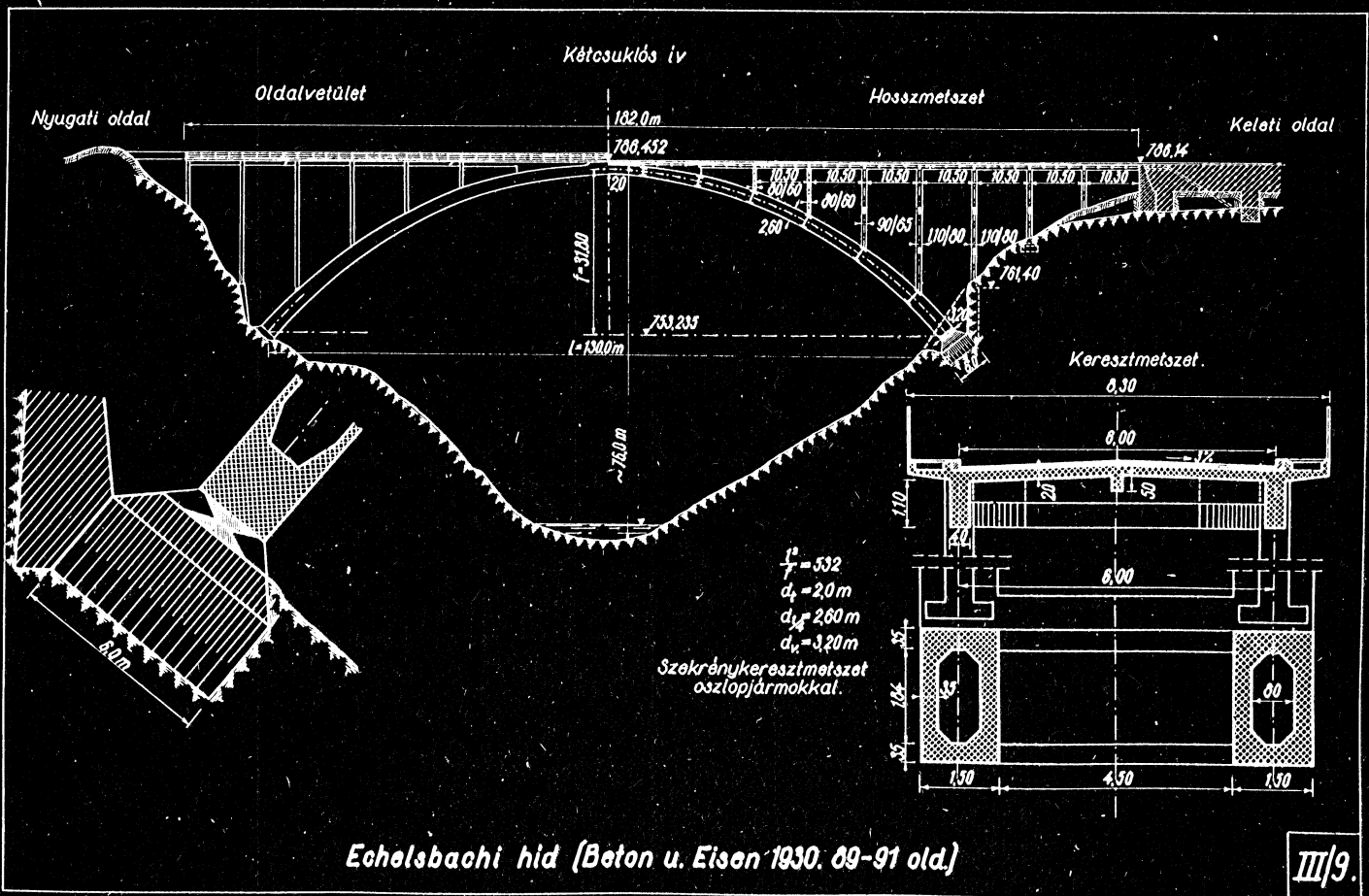


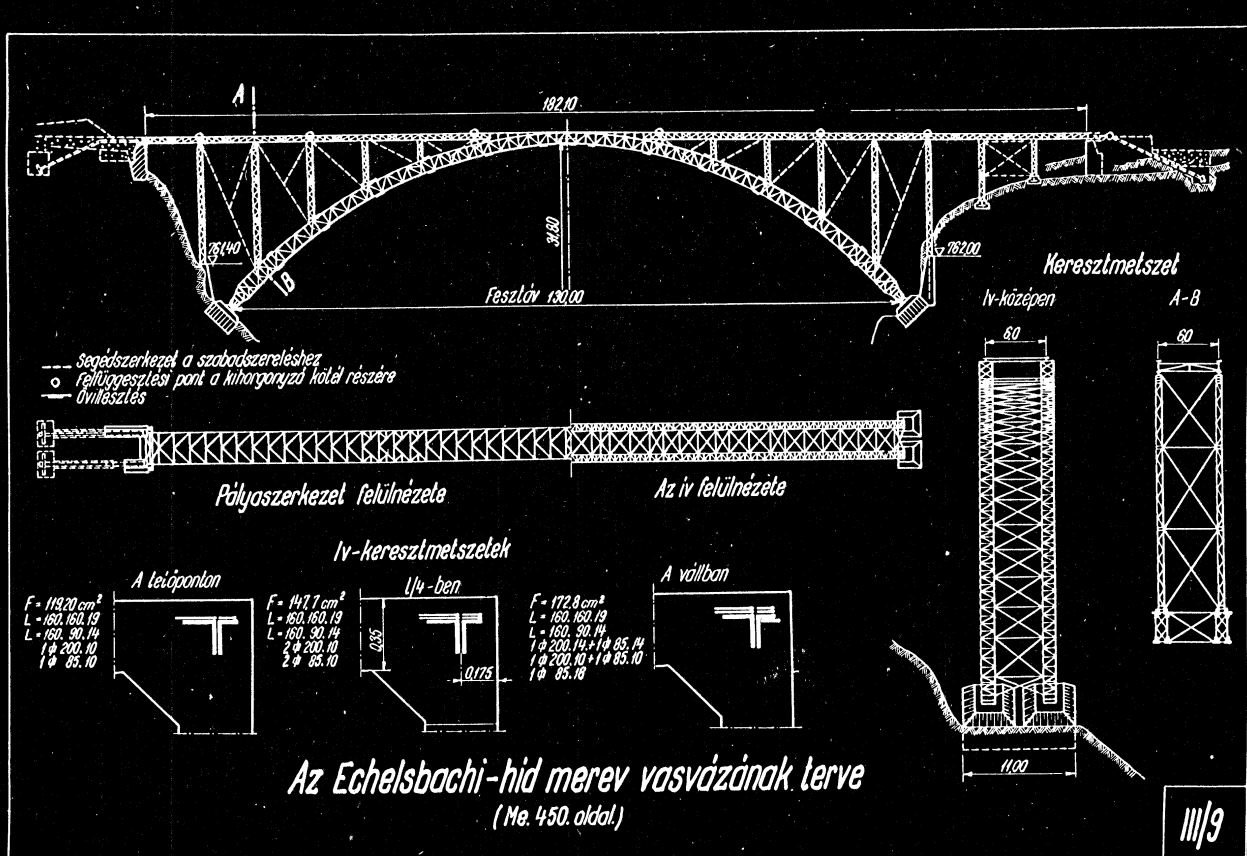


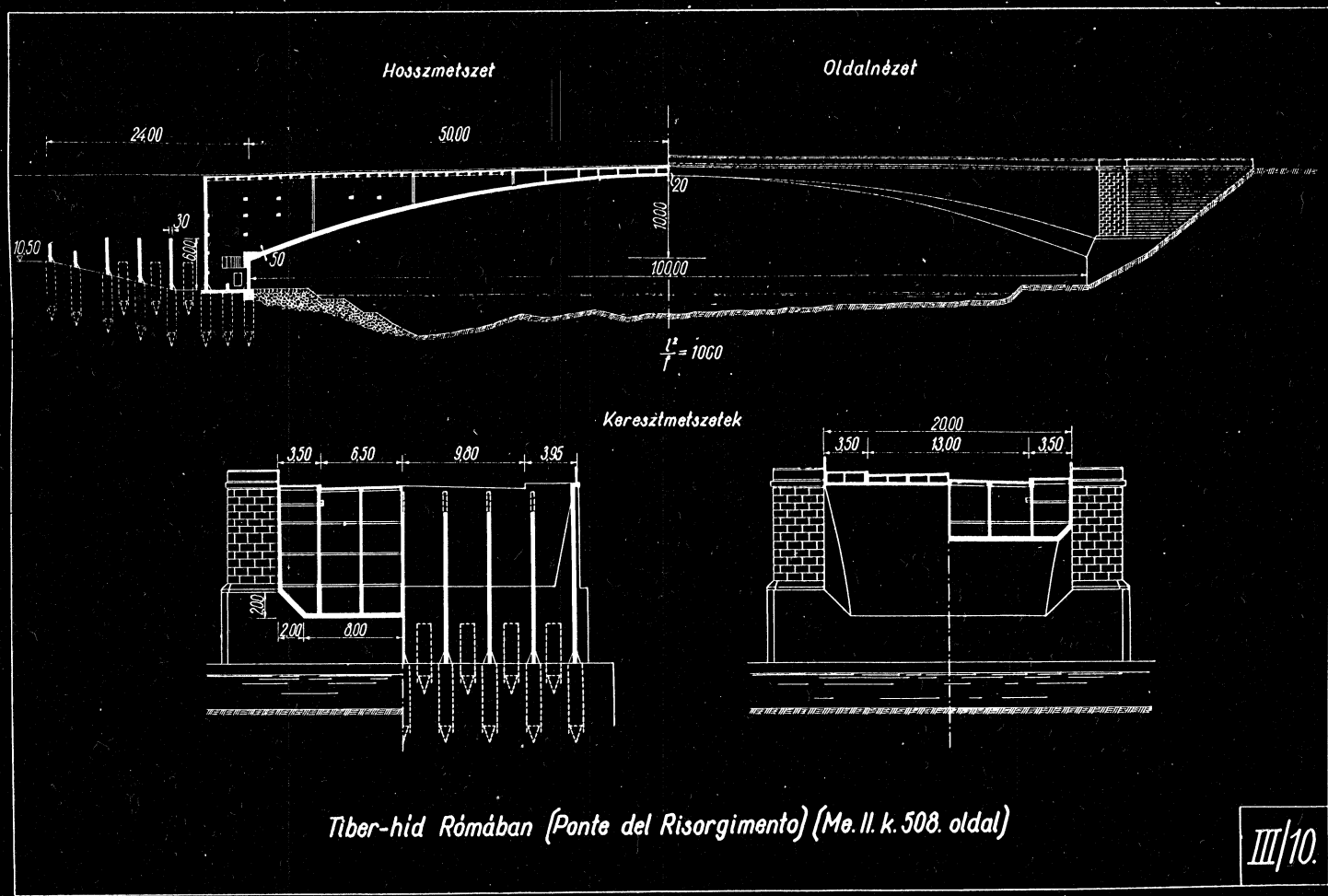
Chauderon - Montbenon - Lausanne-i hid. (Me. 431. old.)

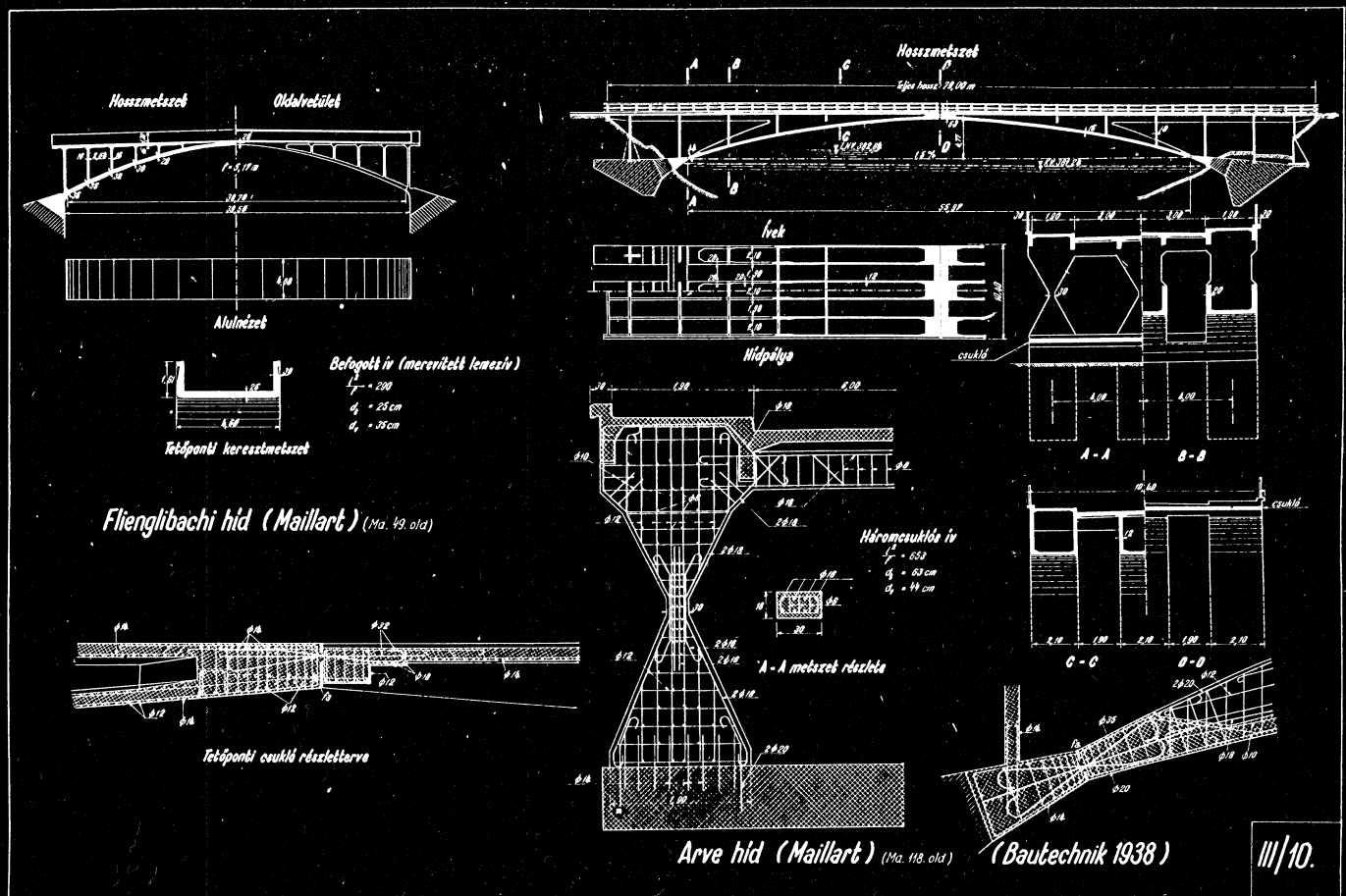
III/9.





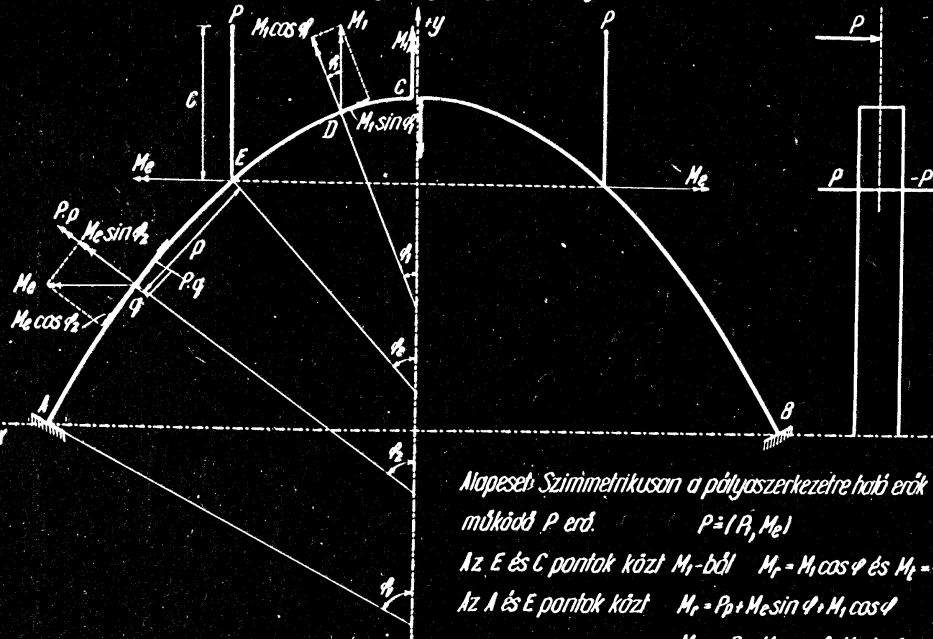






Vizsgálat szélheherre.

II. Nagyfeszültséges, nagy nyílmegasságú, keskeny hámör lemezballozat.



Működési Szimmetriusan a pályászerkezetre ható erők eredjeiként működő P erő. $P = (P_x, M_e)$

Az E és C pontok között M_r -ból $M_r = M_r \cos \varphi$ és $M_t = -M_r \sin \varphi$

Az A és E pontok között $M_r = P_d \sin \varphi + M_r \cos \varphi$

$$M_r = -P_d + M_r \cos \varphi - M_r \sin \varphi$$

$$\sigma_n = \int \frac{M_r^2}{EJ} ds + \int \frac{M_t^2}{0.5J_{cs}} ds - \int \cos^2 \varphi \frac{ds}{EJ} + \int \sin^2 \varphi \frac{ds}{0.5J_{cs}} = 2 \frac{1}{E} \int \cos^2 \varphi \frac{ds}{J} + 2 \int \sin^2 \varphi \frac{ds}{0.5J_{cs}}$$

ahol E a hajlítási, θ a csavarodási rugalmasodígi modulus, J a hajlítási, J_{cs} a csavarodási lehetséges nyomaték. $\theta = \frac{1}{2} E$

$$\sigma_n = \int \frac{M_r M_r}{EJ} \frac{ds}{ds} + 2 \int \frac{M_t M_t}{0.5J_{cs}} \frac{ds}{ds} = \frac{2}{E} \left[\int \frac{M_r \cos \varphi}{J} \frac{ds}{ds} - 2 \int \frac{M_t \sin \varphi}{J_{cs}} \frac{ds}{ds} \right] - \frac{2}{E} \left[\int \frac{(P_d \cos \varphi + 2d \sin \varphi) \sin \varphi}{J} \frac{ds}{ds} + \int \frac{(P_d \sin \varphi \cos \varphi + 2d \cos \varphi) \cos \varphi}{J_{cs}} \frac{ds}{ds} \right]$$

$$\text{ha } \frac{J}{J_{cs}} = d \text{ jelölést használjuk}$$

$$M_t = \frac{\sigma_n}{\sigma_n} = \frac{\int \frac{(P_d \cos \varphi + 2d \sin \varphi) \sin \varphi}{J} \frac{ds}{ds}}{\int \frac{(cos^2 \varphi + 2d \sin^2 \varphi)}{J} \frac{ds}{ds}} P = \frac{\int \frac{\sin \varphi \cos \varphi (1-2d)}{J} \frac{ds}{ds}}{\int \frac{(cos^2 \varphi + 2d \sin^2 \varphi)}{J} \frac{ds}{ds}} P$$



$$\text{ha } b > d \quad J_{cs} = \frac{1}{3} d^3 b - \frac{1}{1-0.63 \frac{b}{d}} \text{ St. Venantszerint}$$



$$\text{Bredt-féle elv szerint } J_{cs} = \frac{1}{3} \frac{(b+d)(D+d)}{(D-d)(D+d) + (B-b)(B+d)}$$

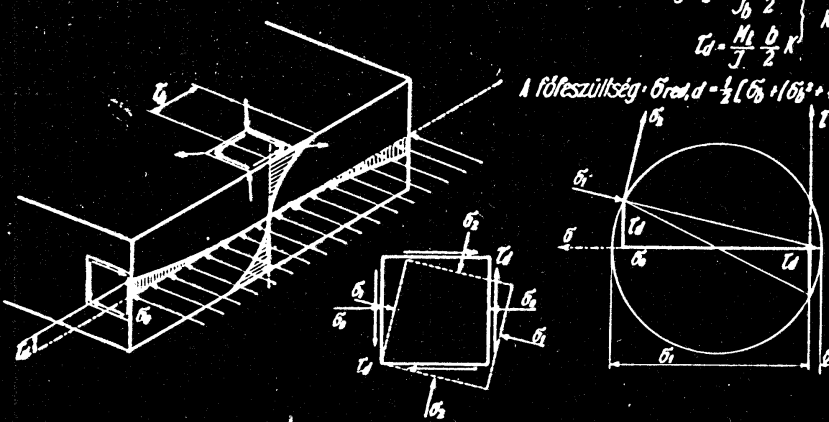
$$\text{A hajlításfeszültség } \sigma_b = \frac{M_e b}{J_{cs} \cdot 2}$$

$$\text{A csavarodásfeszültség } t_b = \frac{M_e d}{J_b \cdot 2} K$$

$$t_d = \frac{M_e b}{J_d \cdot 2} K$$

$$K = \frac{1}{8} / 3 + \frac{2.8}{445 \frac{b}{d}}$$

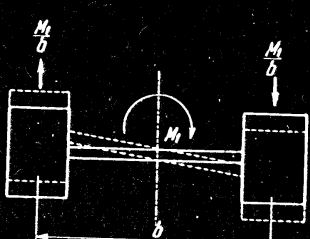
$$\text{A feszültség } \sigma_{bd} = \frac{1}{2} [t_b + t_d + (t_b^2 + t_d^2)^{1/2}]$$



III/11.

Vizsgálat szélteherre.

Oszlott szélrényű földalatti.



$$dV = \frac{T}{b} \lg \varphi dx$$

$$dT = \frac{T}{b} dx$$

Az egységhosszra jutó csuszthatóság:

$$t_1 = \frac{T}{b}$$

A kereszkötésre jutó nyírtan:

$$T_h = \int_0^L t_1 ds = \frac{T_h}{D} \lambda$$

Ebből a kereszkötésre jutó nyomaték:

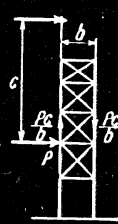
$$M_\lambda = \pm T_h \frac{b}{2} = \pm \frac{T_h \lambda}{2}$$

$$\text{ahol } T_h = \frac{1}{2}(T_x + T_{x1})$$

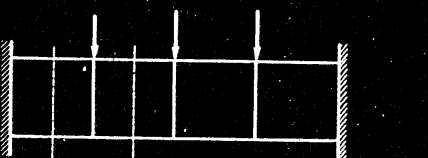
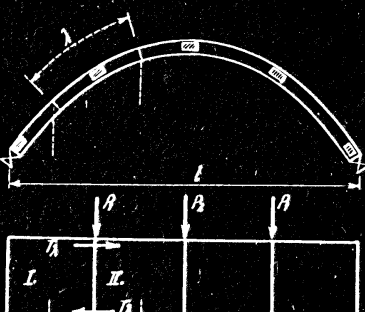
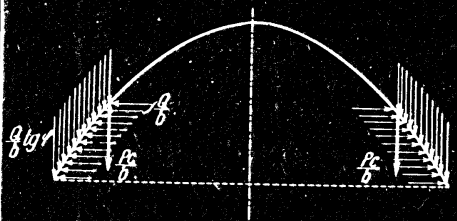
A megoldás lehető vissza von vezetve a kiemel-

tartó megoldásra, melyet közvetítéssel oldha-

tunk meg.



$$t_1 = t_1 ds$$

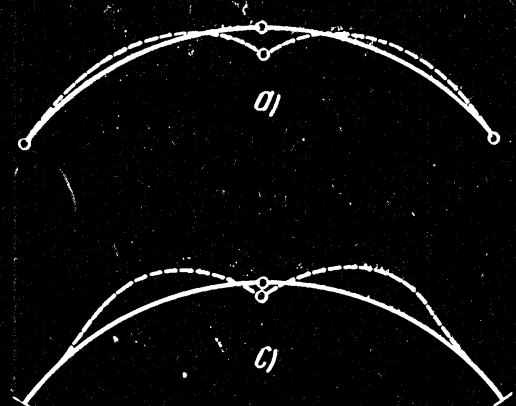


$$t_0 \text{ ábra}$$

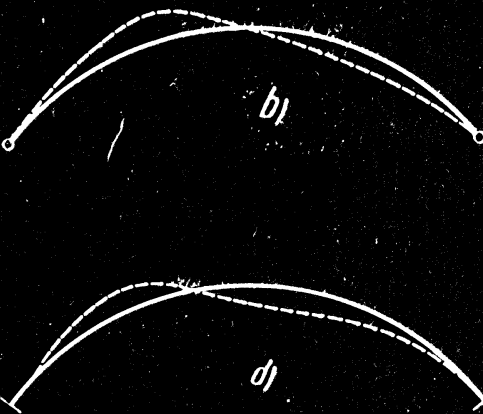
III./11.

Ivek stabilitás-vizsgálata I.

Szimmetrikus kihajlás

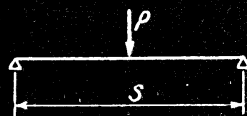
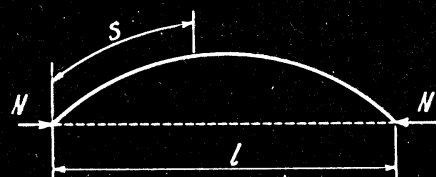


Auszimmetrikus kihajlás



1. ábra

Kihajlás függőleges síkban



	$\frac{f}{l} = 0,05$	$0,2$	$0,3$	$0,4$
Hidromoskólos ir.	$\varphi = 1,20$	$1,20$	$1,20$	$1,30$
Kétsuklós ir.	$\varphi = 1,00$	$1,10$	$1,20$	$1,30$
Lapakra tömörökötől ir.	$\varphi = 0,70$	$0,75$	$0,80$	$0,85$

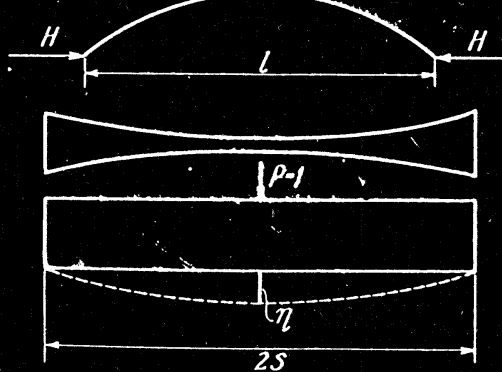
$$l_0 = \varphi s$$

$$H_k = \frac{J^2 E_0 J}{\varphi^2 s^2}$$

$$E_0 = E_0 \left(1 - \frac{\delta_0}{1,25 \delta_0}\right)$$

$$E_0 = 550,000 \frac{K}{K+200}$$

Kihajlás vízszintes síkban



$$H_k = \frac{J^2 E_0 J}{l^2}$$

$$\eta = \frac{P_1 12 S^3}{48 E_0 J}$$

$$J = \frac{P_1 12 S^3}{48 E_0 \eta} \quad i \quad E_0 \eta = f(\eta)$$

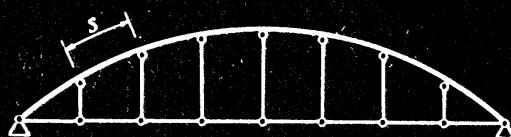
$$J_i = \frac{P_1 12 S^3}{48 (\eta)} = \frac{P_1 S^3}{6 (\eta)}$$

III/12

Ivek stabilitás-vizsgálata II.

Vonógerendás IV.

Biztonsági tényező $\nu > \frac{H_f}{H} > 1$



Zárt rendszerek esetén vonógerendás IV a kihajlás hossz
az oszlopok közötti távolság

Javasoltak értékek:

Közúti hid vő.	$\nu \geq 2,5 + \lambda/100$
Vasúti hid vő.	$\nu \geq 3,0 + \lambda/100$
Beton hid	$\nu \geq 3,5 + \lambda/100$
Felzott hid	$\nu \geq 4,0 + \lambda/100$

A tartószálkával összesset kapcsolatos pólusgyűjtések számítása.

A tartószálkával összesset kapcsolatos pólusgyűjtések Dischinger nyomán:

$$\Delta M = J_a \cdot M_a + J_b \cdot M_b$$

$$\text{A kihajlással szembeni biztonság: } \nu = \frac{H_k}{H_m} ; H_k = \frac{EJ\pi^2}{(\beta I)^2}$$

km	M_a	M_b	β	ka		k_s	Megjegyzés	$k_a - 1 - J_a$	$k_s - 1 - J_b$
				β_a	β_s				
1/4	$\frac{+qL^2}{-53}$	$-H_e \frac{\Delta F}{4}$	0,159	0,183	$\frac{J_a}{k_a - 1}$	$\frac{k_s}{k_s - 1}$	ΔF a szimmetrikus terhekkel és hajtókkal származó tetőponti süllyedés	$\frac{1}{k_a - 1}$	$\frac{1}{k_s - 1}$
2/4	$\frac{+qL^2}{-81}$	$-\frac{3}{4} H_e F$	0,159	0,105	$\frac{J_a}{k_a - 1}$	$\frac{k_s}{k_s - 1}$		$\frac{1}{k_a - 1}$	$\frac{1}{k_s - 1}$
3/2	—	$\frac{+qL^2}{-138}$ $-H_e F$	0,159	0,108	—	$\frac{k_s - 0,7}{k_s - 1}$	Ha a H komponens csökkenése törleszpontról elmozdulás, iv összenyomódás vonórúdnyújtás és hőmér séklet változás következtében.	—	$\frac{0,3}{k_s - 1}$
bef.	$\frac{+qL^2}{-58}$	$-\frac{2}{3} H_e F$	0,111	0,087	$\frac{J_a - 0,35}{k_a - 1}$	$\frac{k_s - 14,05}{k_s - 1, k_s}$		$\frac{0,65}{k_a - 1}$	$\frac{0,4}{k_s - 1} - \frac{0,5}{k_s}$
4/4	$\frac{+qL^2}{-107}$	$-\frac{L}{12} H_e F$	0,111	0,087	$\frac{J_a}{k_a - 1}$	$\frac{k_s - 39,47}{k_s - 1, k_s}$		$\frac{1}{k_a - 1}$	$\frac{2,9}{k_s - 1} + \frac{0,7}{k_s}$
5/2	—	$\frac{+qL^2}{-106}$ $-\frac{4}{3} H_e F$	0,111	0,087	—	$\frac{k_s - 0,12}{k_s - 1}$		—	$\frac{0,88}{k_s - 1}$

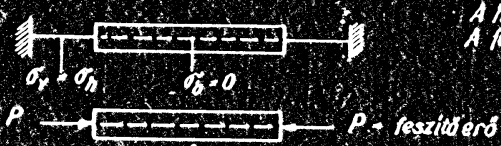
M_a ill. M_b az antimetriks ill. szimmetrikus terhekkel származó hajtónyomaték.

ka ill. k_s az iv antimetriks ill. szimmetrikus kihajlással szembeni biztonságtól ($k_a - 1$ és $k_s - 1$) függő növelő tényezők.

III. /12

Előrefeszítési rendszerek.

1. Hoyer - rendszer



A huzalokat a belorozás előtt feszílik meg.
A feszítőerő átadása lapadossal történik.

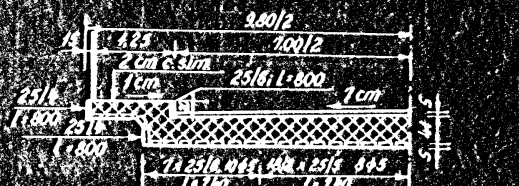
A belorra megszirkulálása után
a feszítőerő rövidítéssel.

2. Mörsch - rendszer

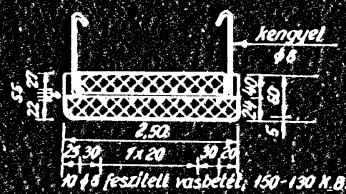
A $\phi 14$ mm-es acéllemezek a feszítőerőt lapadáson kívül külön lehorgonyzással
adják át.

Előrefeszített hidak

a) Előrefeszített pallós lemezhíd

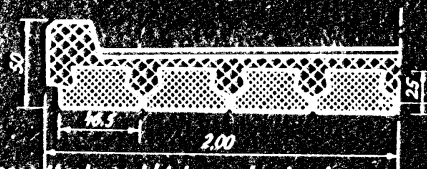


E.1. pallós szegélyburás lemezhíd kerézmetsze
(F.B. I. 10. old.)



E.1. pallós kerézmetsze
(F.B. II. 1. old.)

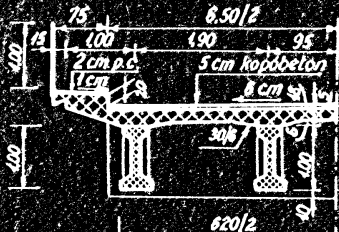
b) Előrefeszített gerendahíd



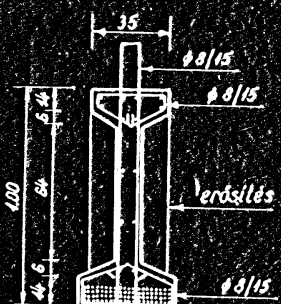
különleges kiállítású
előrefeszített gerendák

E.1. gerendahíd kerézmetsze
(F.B. I. 313. old.)

c) Előrefeszített gerendahíd



E.1. gerendahíd vasúti felülfűrész kerézmetsze
(F.B. II. 20. old.)

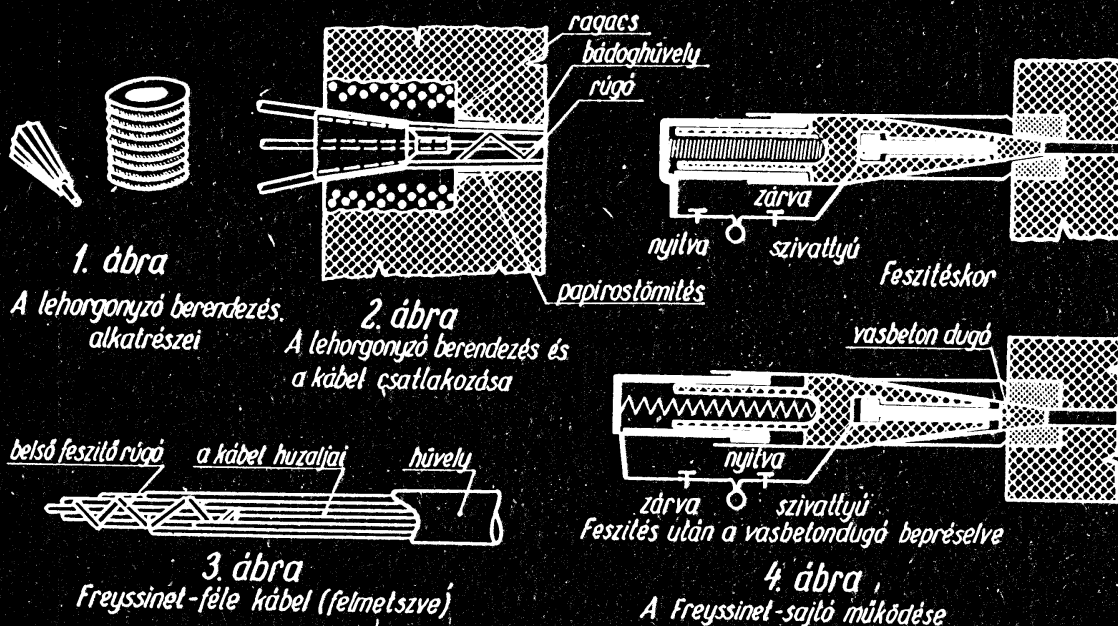


1. erdeklés
feszítés: l = 16.20 m
96 db φ5 feszített vasbetét: 150-130 K.B.
E.1. gerenda kerézmetsze (F.B. II. 11. old.)

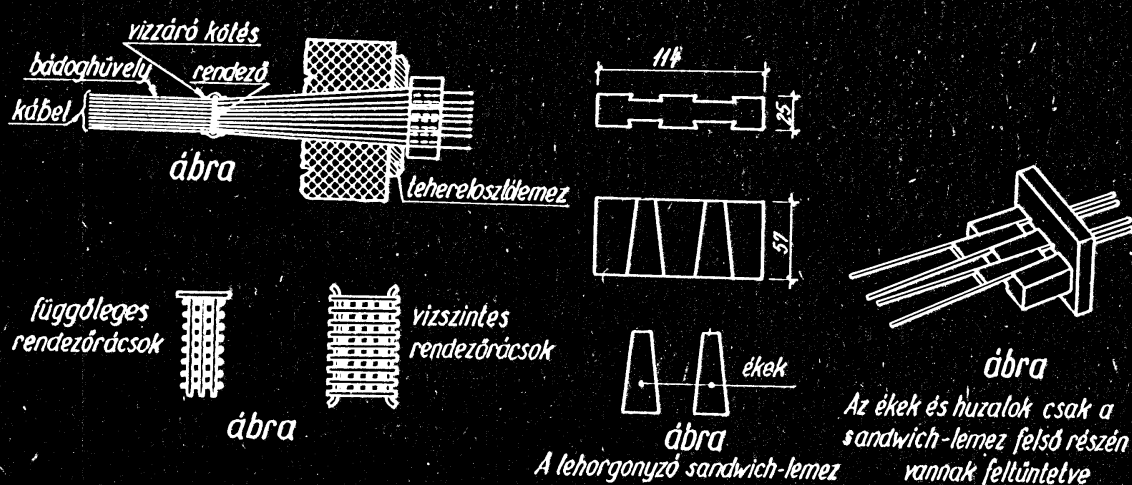
IV/1.

Belsökábeles utófeszítési rendszerek

1.) Freyssinet - rendszer



2.) Magnet-rendszer

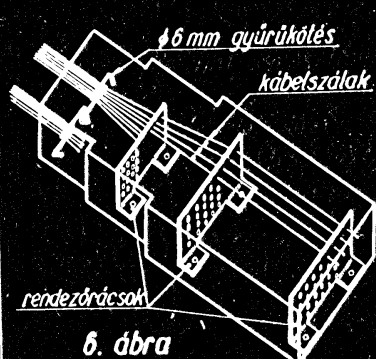
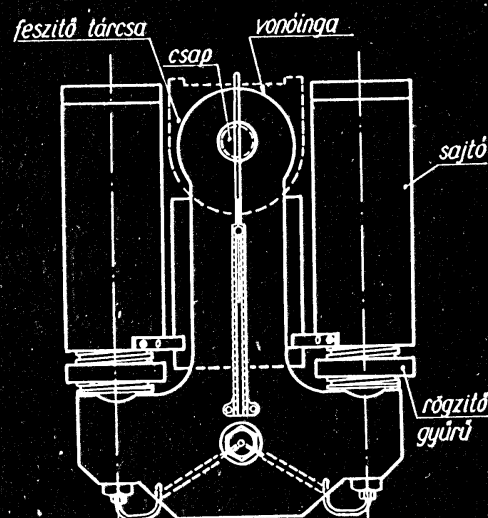
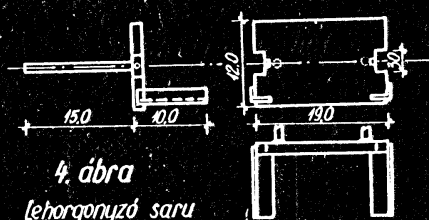
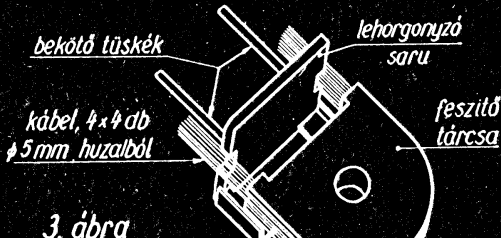
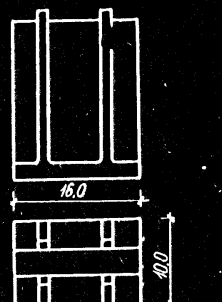
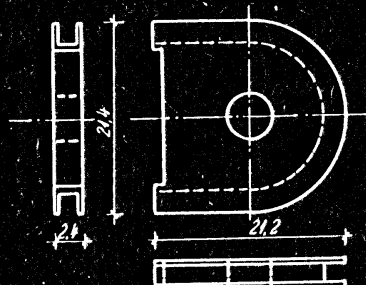


3.) Jakubovszkij - rendszer



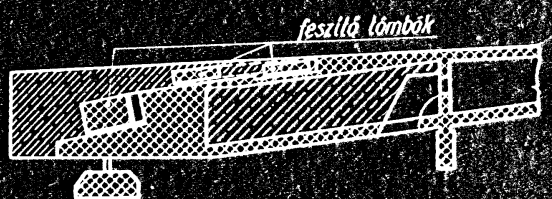
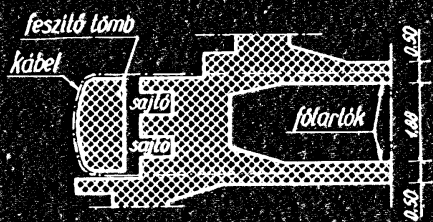
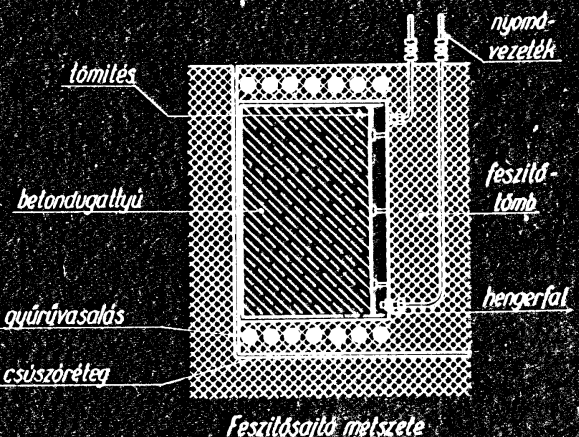
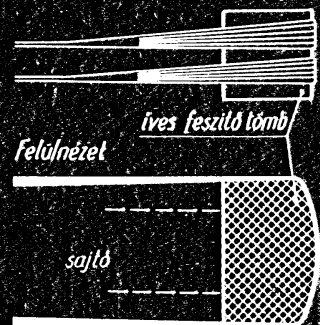
4.) Böröcz - rendszer

(F.B. I. 121. old.)



IV/2

5.) Baur - Leonhardt rendszer

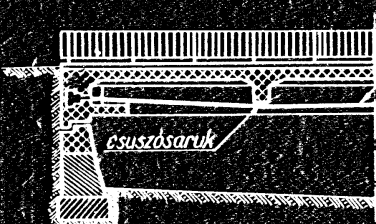


Nagyemelő feszítő tömb a hellbronni
vasúti Neckar hidnál (alaprajzi részlet)

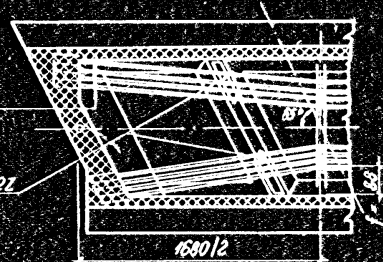
A feszítőtömb elhelyezése a hellbronni között
Neckar hidon (hosszmetszet részlet: F.B. II. 80. old.)

6.) Gnädig - Thoma rendszer

(Szabadkábelés feszítés harditírdányú erővel)



A Szinva - híd hosszmetszete
(F.B. II. 97. old.)



A Szinva - híd alaprajza
(F.B. II. 98. old.)

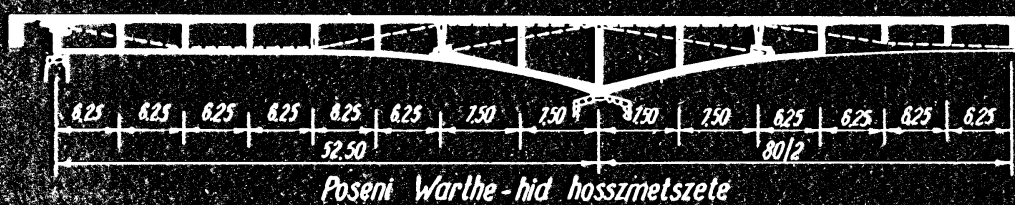
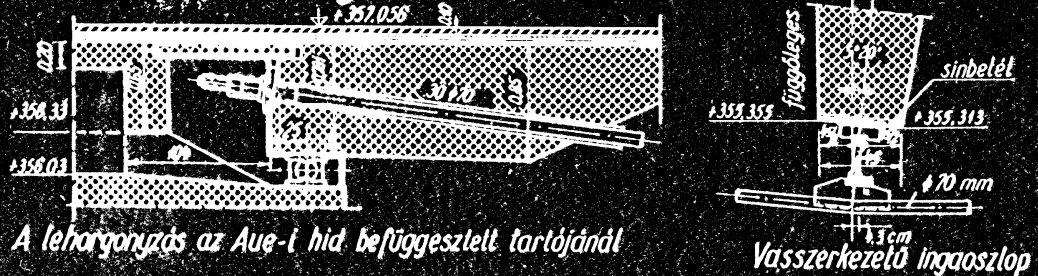


$$\varphi = f \cdot \epsilon \cdot 2\gamma^2 \quad H = F_0 = 2E\gamma^2 \quad K \approx 2H\lg\alpha + 4\gamma H - 18EF\gamma^3$$

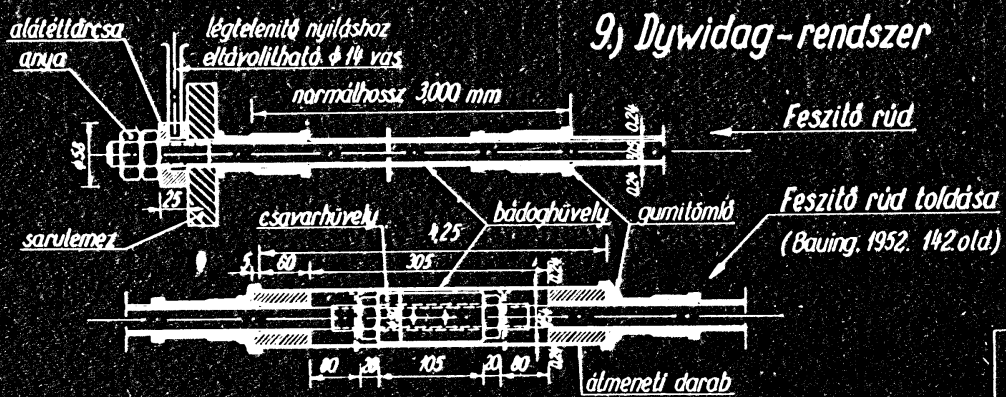
IV/2

Különleges utófeszítési rendszerek

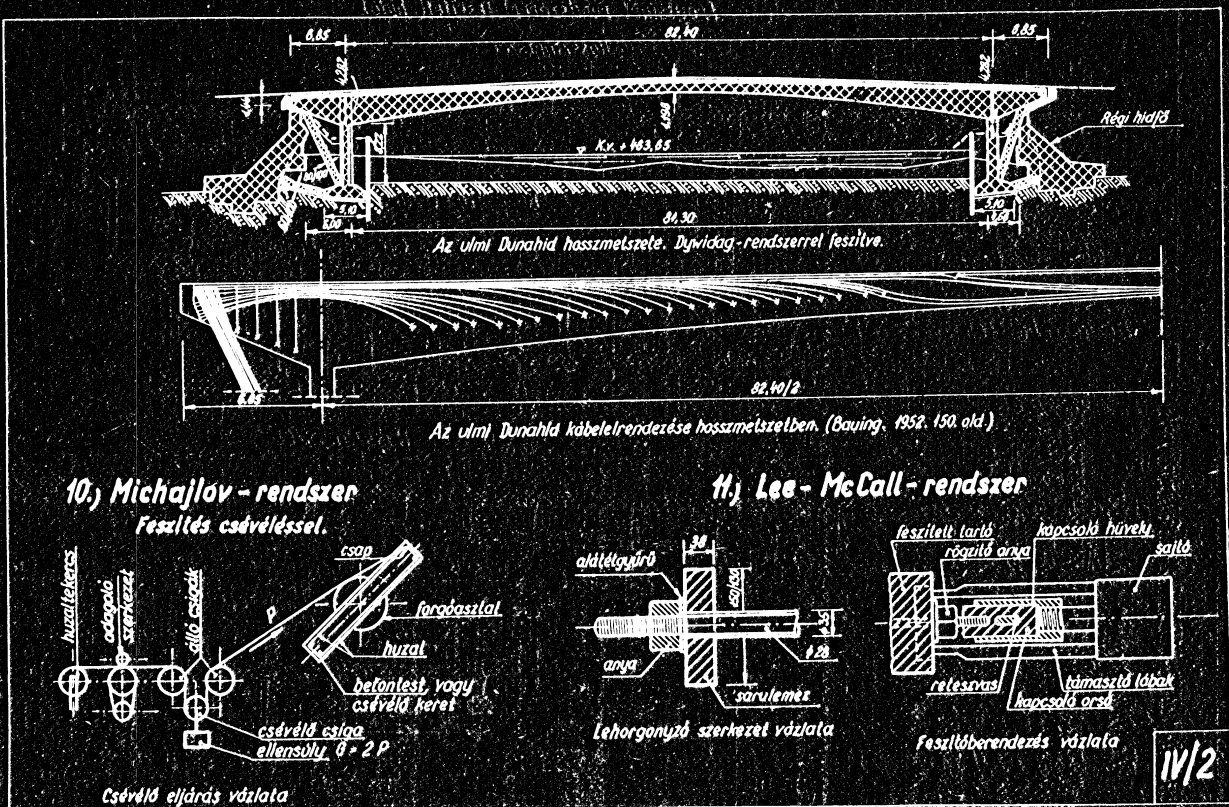
7.) Dischinger - rendszer

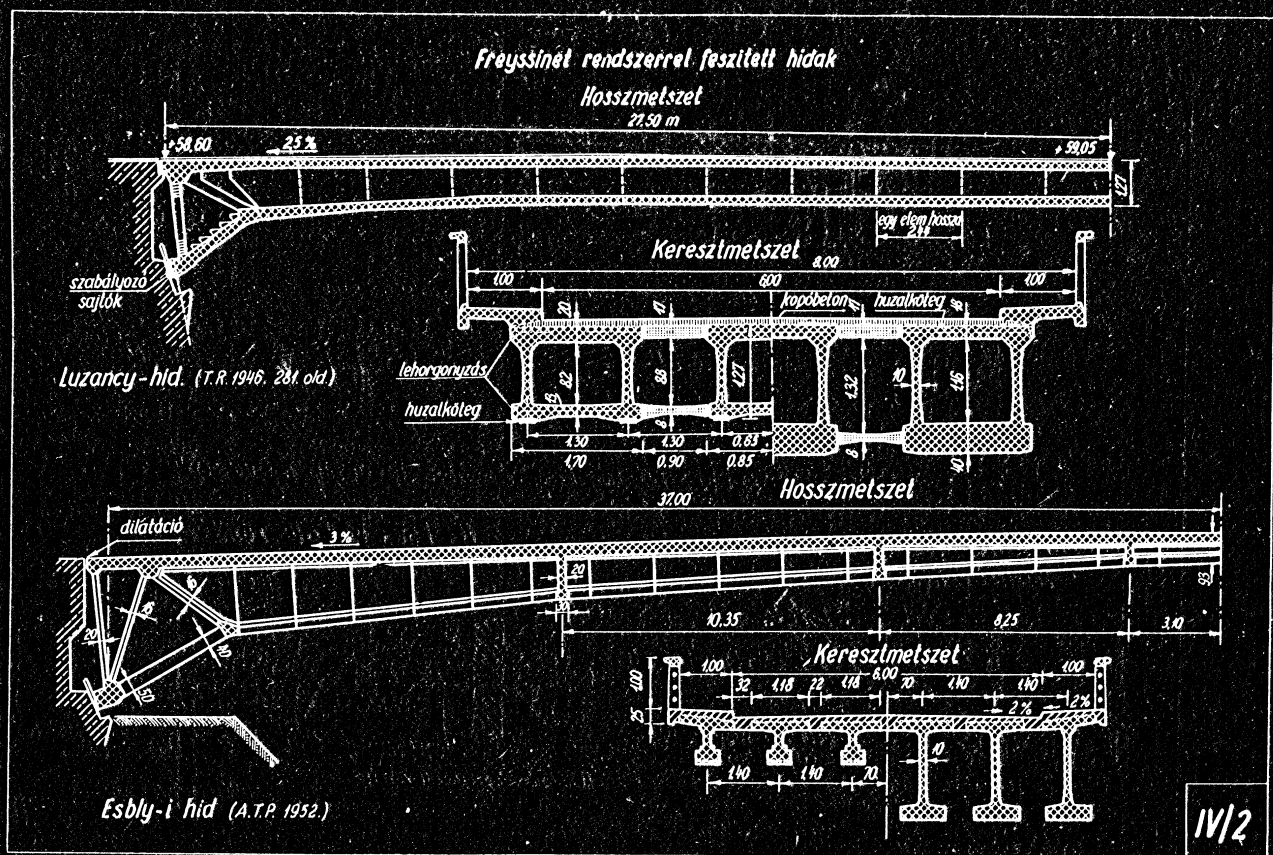


Wiedenbrücki - hid keresztmetsze



IV/2

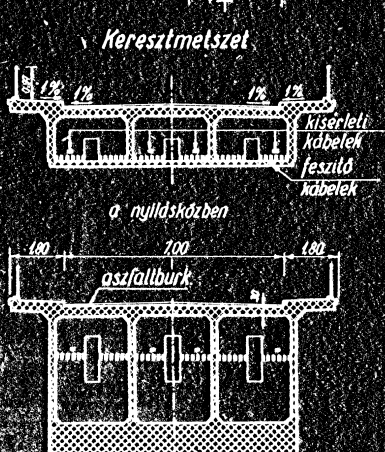
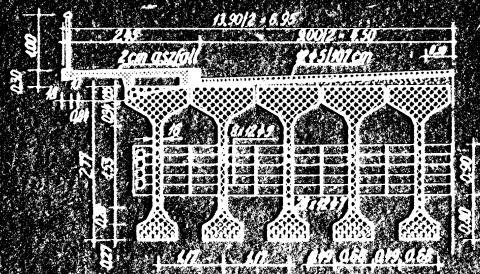




Sclayn-híd (Magnet-rendszerrel feszítve)
Hosszmetszet

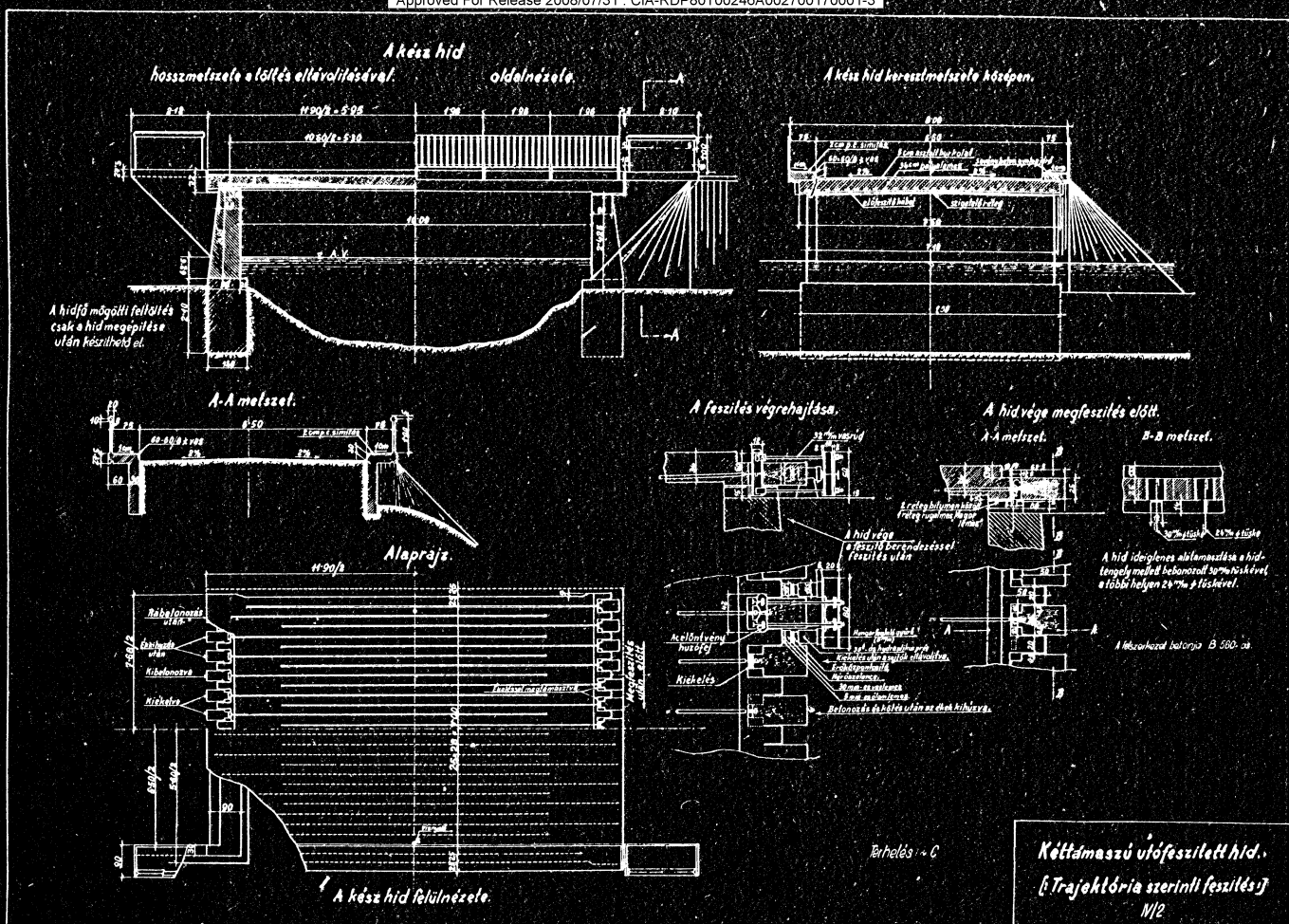


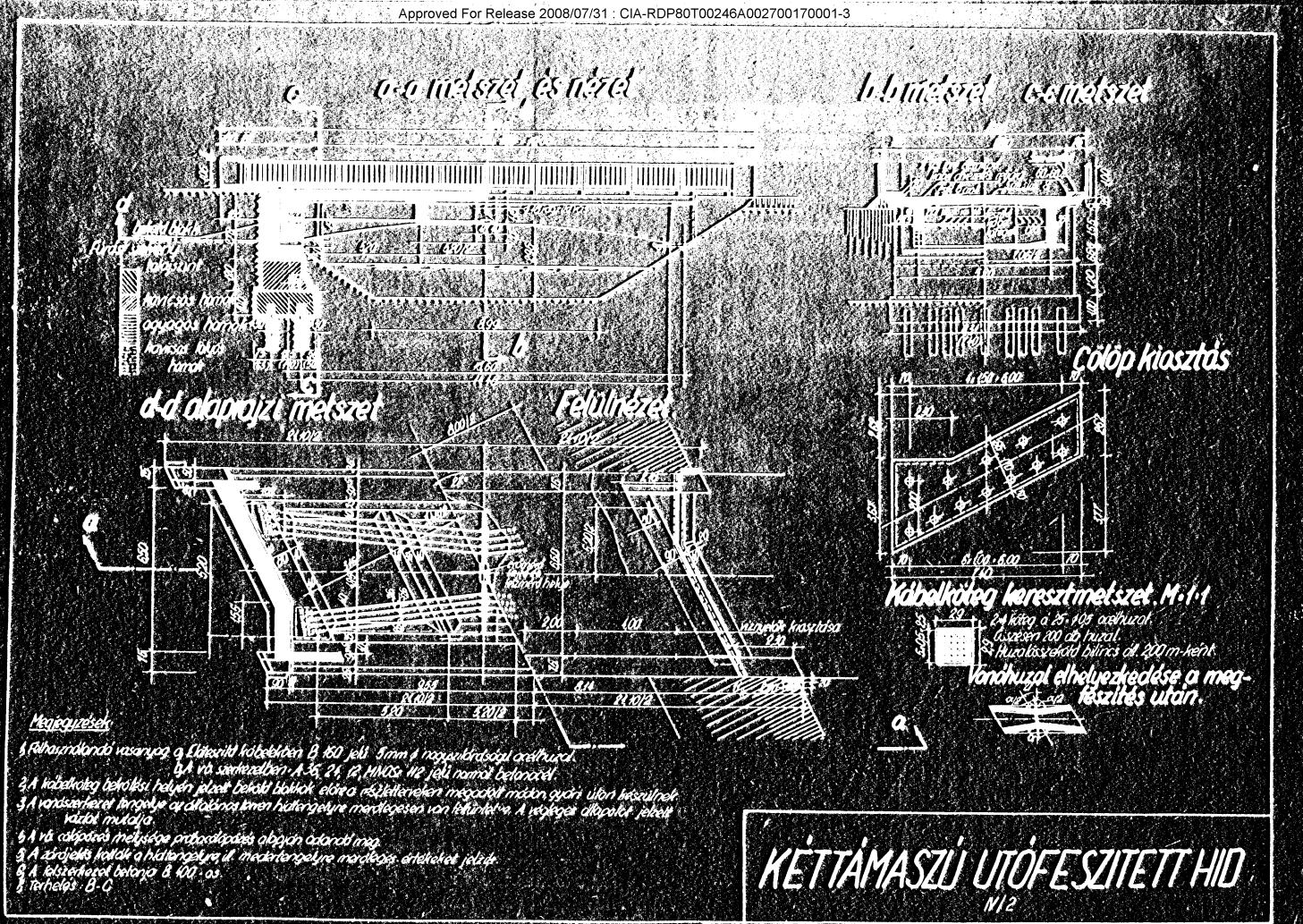
Saint Waast-híd
(Freyssinet-rendszerrel feszítve)
Keresztmetszet

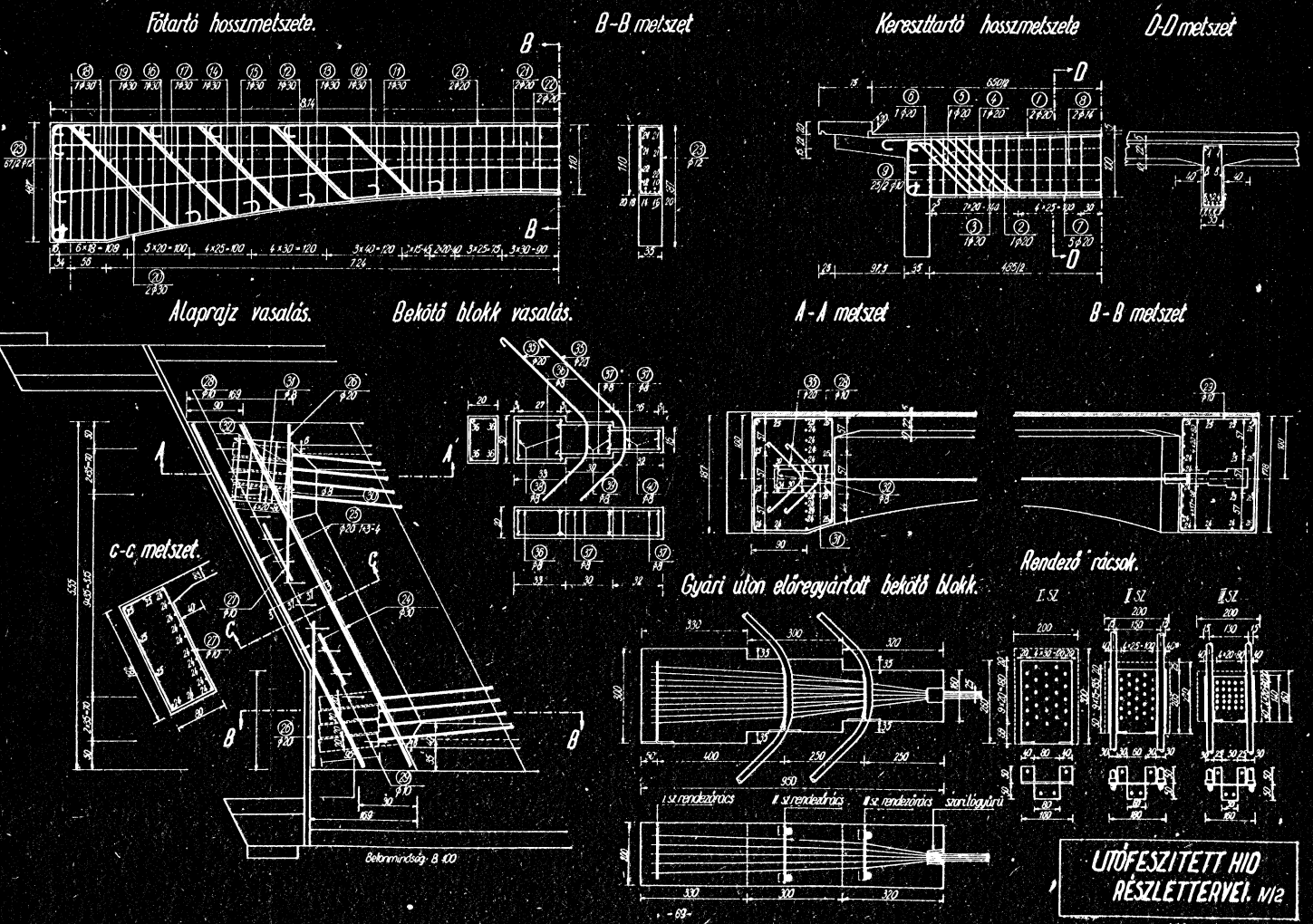


A következő előirányzat a lefelől

IV/2

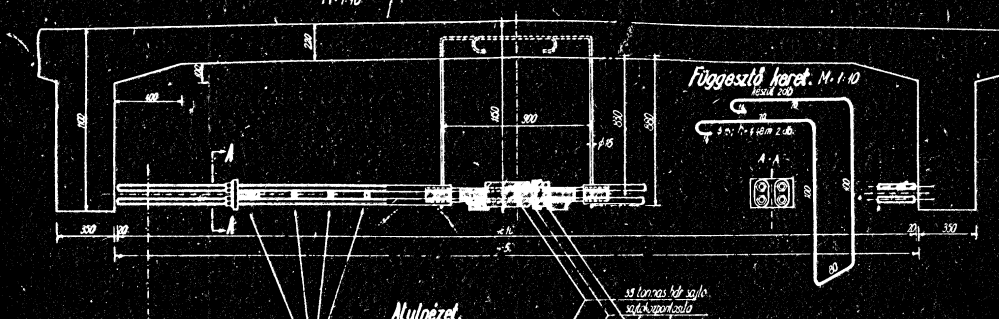




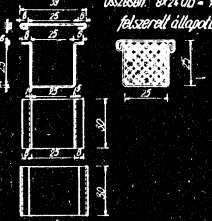


Általános elrendezés.
M-1-10

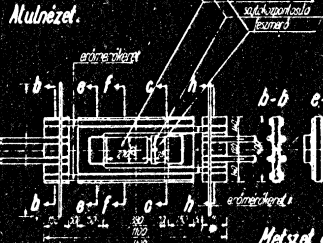
B-B metszet.



Kabellövegek közbenő szorítogyrúrui.
készül kabellenkét 20 db 80cm hosszú előrezerre.
összesen 80-24 db = 82 db.
felcserei állapotban.



Alulnevez.



Körönkívül menetének adala.



Körönkívül. készül db.

menetének 800 mm.

2000

mm

30

2.1.1 Feszített betonszerkezetek. /IV/3./

Az erőtani számítás során figyelembe veendő terhek, hatások és alakváltozás jellemzők.

/Kivonat./

2.1.2 A zsugorodás figyelembenétele.

Külsőleg statikailag határozatlan feszített betonszerkezetek kényszererőinek meghatározásánál - ha a zsugorodás és a lassú alakváltozás hatása kicsiny - a zsugorodást $\varepsilon_{ss} = 0,0001$ értékkal lehet számításba venni. A lassú alakváltozás hatása ekkor elhanyagolható és a rugalmassági tényezőt a 2,72 pontban megadott értékkel kell számításba állítani.

2.1.2.1 Feszített betonszerkezetek belső erőinek meghatározása során továbbá olyan statikailag határozatlan tartók kényszererőinek számításánál, amelyeknél a zsugorodás és a lassú alakváltozás hatása jelentős, a zsugorodást a feszítéskori kokaszilárdság /K/ és a tervezett 28 napos kokaszilárdság /K₂₈/ viszonyának függvényében a II. táblázat szerint kell számításba venni. Ekkor a rugalmassági tényezőt a 2,71 pont szerint, a lassú alakváltozás hatását pedig a 2,4 pont szerint minden figyelembe kell venni.

Ha a kokaszilárdság változása nem ismeretes, akkor a betonozástdl számított 1 nap mulva a még figyelembe veendő zsugorodás /ha a beton mesterségesen/ szilárdítva nem volt/ a II. táblázatból kivehető.

2.1.3 Az acélhuzalok lassú alakváltozása a

$$\varepsilon_{sv} = 0,13 \quad \frac{\sigma_{ve}}{\sigma_{ss}} = 0,3$$

$$0,75 = \frac{\sigma_{ve}}{\sigma_{ss}}$$

képletből számíthatók, ha pontosabb kísérleti adatok nem állnak rendelkezésre és ha az acélbetétek nem voltak előnyújva. / σ_{ve} a tényleges acélfeszültség előfeszítéskor, σ_{ss} az acél szakítószilárdsága,/

2.1.4 A beton lassú alakváltozásának hatását általában a beton rugalmassági tényezőjének 1/ (1 γ)-szörösere való csökkenésével kell figyelembe venni, ahol γ a teljes lassú alakváltozás és a rugalmas alakváltozás hányadosa.

Sababban álló feszített hidak szabványos betonjaira nézve, γ értéke a K/K₂₈ függvényében a II. táblázatban található. E táblázatból kivehető γ értéke a betonozástdl számított idő /t/ függvényében is.

II. táblázat.

K/K ₂₈	ε_{ss} %	γ	t/nap
0,00	0,50	4,00	0
0,75	0,32	2,55	7
0,85	0,29	2,30	14
0,95	0,27	2,15	21
1,00	0,25	2,00	28
1,10	0,23	1,80	45
1,16	0,21	1,70	60
1,20	0,19	1,50	90
1,23	0,14	1,15	180
1,25	0,10	0,80	360

2.1.5 A feszítőről alábbi veszteségeit kell figyelembe venni.

2.1.5.1 A beton rugalmas alakváltozásából származó feszültségsvesztésig előrefeszített szerkezeteknél az u.n. ideális betonkeresztmetszet segítségével vehető figyelembe. Az ideális betonkeresztmetszetbe az acélbetétek keresztmetszete is megfelelően be van számítva.

Utófeszített szerkezeteknél is figyelembe kell venni a beton rugalmas alakváltozásából származó feszültségsvesztést, ha a kábelek megfeszítése nem egyidőben történik.

2.1.5.2 A surlódási veszteség görbe vonalban vezetett kábelknél az átlagos feszítőről bozésettel vehető figyelembe. Az átlagos feszítőről

$$S = S_0 \frac{1 + 0.744}{2}$$

képletből számítható, ahol

σ_s a tényleges feszítőerő
μ a surlódási tényező

a görbületek középponti szögeinek összege radiánban
kifejezve a kából teljes hosszán. Kétoldali feszítés-
nél a értéke feleséges.

A surlódási tényező, ha a kábelnyilás felülete

beton $\mu = 0,3$

acél $\mu = 0,2$

olajozott acél $\mu = 0,1$

2.22 Utófeszített szerkezeteknél a kábelek lehorgonyzásánál keletkező megeszsés miatti feszültségvesztéség 1,5 mm megeszsésből számítandó.

2.23 A különböző acélok rugalmassági tényezői a következőkkel vehetők fel:

Közöséges /hengerelt/ acélok 210000 kg/cm^2

Különleges /hidegen-huzott/ betonacélhuszalok 1900000 "
párhuzamos szálú kötegekben

Különleges /hidegen-huzott/ betonacélból készített egypármás csavart kötélben 1700000 "

Különleges betonacélból készített többpármás csavart kötélben 1500000 "

Csavart kötelekre csak előnyujtás esetén érvényesek a képletek.

2.24 A beton rugalmassági tényezője a következő képletből számítható:

$$B_{bo} = 550000 \frac{K}{K + 200}$$

ahol K a kokasáldárság kg/cm^2 -ben.

A feszítésnél használt betonokra nézve a rugalmassági tényező értéke

B 280-as betonra 320000 kg/cm^2

B 400-as " 365000 "

B 560-as " 400000 "

Előre feszített szerkezeteknél a rugalmassági tényezök viszonya

különleges betonacélhuszalok III. egyenes szálú kábelök és B 400

III. B 560 minőségű betonok esetében: $n = B_{bo}/B_{bo} = 5$, B 280-as

betonra $n = 6$.

55-40896

2.25 Különleges határozatlan szerkezetek eszmításánál a rugalmassági tényező a 2.21 pontban megadott érték 3/4 részére vehető, ám a kábel nyomására keresztben.

B 280-as betonra	240000 kg/cm^2
B 400-as "	275000 "
B 560-as "	300000 "

2.26 Ha a rugalmassági tényezőnek a feszültség szerint változó volta nem hanyagolható el, az a következő képletből számítható:

$$B_{bo} = B_{bo} / 1 + \frac{\sigma_a}{125 \sigma_{bh}}$$

B_{bo} a 2.21 pontban előírt rugalmassági tényező,

σ_a az átlagos nyomófeszültség,

σ_{bh} a beton nyomó határfeszültsége.

2.27 Ha a feszített betonszereket más minőségű vagy utólagosan készített szerkezettel dolgozik együtt, akkor a két anyag rugalmassági tényezőinek különböző voltára tekintettel kell lenni.

2.28 Törésvízszállítás

A feszített szerkezet megvisszalándó az építés különböző állapotában, mégpedig

a) a feszítőerő felléptekor,
b) a szállítás, szervelés, beemelés, rátétesztés stb.,
mértekadó helyzetében, a rugalmasságtan elvei alapján,
c) kész állapotban, mégpedig

a) a teljes vagy részleges Üzemelés mellett
megkiadott repedésekesség szempontjából,
b) a törésvízszállítás szempontjából a körültekintsé-
ges elvei alapján.

2.29 Előre feszített hatások az egyes állapotokban

2.30 a) Azután a teljes betonkeresztmetszetet homogénnak és repedésekességekkel feltételezni és a betonnal felüle-
ti kötésekben lévő acélbetétek a keresztmetszetet számításánál elha-
nyagolhatók.

E visszalat során figyelembeveendő erők és hatások az a-lábbiak:

Blokkfeszített szerkezeteknél

A feszítőerő, az önsúly /amely a feszítőerő ráengedésekkel működhet/, a betonérlelés okozta hőmérőkleti hatás /lásd 2.1 pont/, az acélbetétek lassu alakváltozása /lásd 2.3 pont/, a rugalmas alakváltozásból származó veszteségek /lásd 2.51 pont/.

Utófeszített szerkezeteknél:

A rugalmas alakváltozás okozta veszteségek, a surlódási és leékelési veszteségek.

1.2 b) esetben a fenti /a/ eset/ hatásokon kívül elő- és utófeszített szerkezetek esetében a beton szugorodását és lassu alakváltozását, utófeszített szerkezeteknél még az acélbetét lassu alakváltozását is. A szugorodás és a beton lassu alakváltozásának értéke a végleges értéknek legalább fele legyen.

1.3 g-a) esetben az összes állapot ill. tartós jellegű terhek és hatásokat kedvezőtlen szélesítő térfükkel kell figyelembevenni.

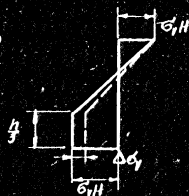
Az esetleges jellegű terheket a teljes üzemű terhelés mellett meghívott repedémentesség esetén 2/3, a részleges üzemű terhelés mellett meghívott repedémentesség esetén pedig 1/3 részükkel kell számításba venni.

1.4 g-a) esetben a törési teherbirás igazolása során a határnyomásban számítása a következőképpen végezandó a hajlításra és különösen nyomásra igénybevett szerkezeteknél.

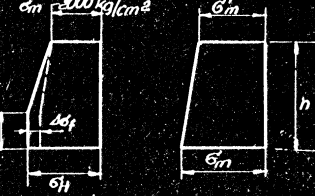
A betonkorésszetszét nyomott részben a beton határfeszültségével megegyező egyenletes feszültséggemossást kell feltelelezni.

A nem feszített acélbetétek és az előre- ill. utófeszített tartó acélbetéteinek figyelembe veendő feszültségei az alábbi ábrán vannak feltüntetve.

Nem feszített acélbetétek



Feszített acélbetétek



Az ábrán alkalmazott jelekkel a következők:

σ_{yH} a nem feszített acélbetétek határfeszültségével egyenlő nyomófeszültség,

σ_m és σ_m' acél huzófeszültség, amely a veszteségek levonása után megmarad

$\Delta\sigma_y$ és $\Delta\sigma_f$ feszültségegyenlőként számításuk az alábbiakban/.

A határnyomaték számításának első lépései a $\Delta\sigma_y$ számítása vehető. A huzott és nyomott részt elválasztó határegyenest helyét ugy kell meghatározni, hogy a belső erők vetületi egyensúlya ki legyen elégítve. Ha az illyédon számított $x \leq 0,3 h$, akkor módosításra nincs szükség.

Ha $x > 0,3 h$, akkor számítandó a $\Delta\sigma_y$ értékek:

$$\Delta\sigma_y = \sigma_{yH} \frac{x - x_0}{h - x_0} \quad \text{ös}$$

$$\Delta\sigma_f = \sigma_{fH} + \sigma_m' \frac{x - x_0}{h - x_0}$$

ahol $x_0 = 0,3 h$

σ_{fH} a feszített acélbetétek határfeszültsége.

A fenti ábrán szaggatott vonallal feltüntetett feszültségek ábra figyelembevételével uj z érték számítandó. Ráután általában pontosabb z értéket nem kell számítani - kivéve pontosabb számítás esetét - az ennek segítségével számított határnyomaték vélegének tekinthető.

A teherbirás igazolása során a tartó közbenső helyein a nyíró és csavaró igénybevételekből, továbbá hajlításból, közpon-tos nyomásból ill. huzásból származó húzófeszültségeket is ki kell számítani.

A tartóvezeket ill. az előbbetétek lehorgonyzásai helyét a keresztirányú húzófeszültségek szempontjából külön ellenőrizni kell.

DE Az erőátadás hossza utófeszített szerkezet esetén a tar-tómagasság, előrefeszített szerkezet esetén a következő két érték közül a nagyobbik:

- a/ a tartómagasság
- b/ sima felületű acélhusal esetén 100 d /1+4d/
rovátkolt " " " 25 d /1+4d/
ahol d a huzalátmérő cm-ben kifejezve,

A főfeszültségek értéke a szilárdságtan ismert képletei-vel számítható.

A feszített szerkezetek betonjainak és az acéloknak határ-feszültségei a 46. oldalon találhatók.

A betonra megadott határfeszültségek 15 %-al növelhetők fenti 4.1, 4.2 és 4.3 pontokban leírt vizsgálatoknál, ha a szer-kezet a vizsgált időpontokban 28 napos kockaszilárdságát már elér-te, azonban ha 4.1 és 4.2 állapotban a 28 napos kockaszilárdság 80 %-át még nem érte el, akkor a határfeszültségek megfelelően csökkennek.

A szabványos betonminőségekre megadott határfeszültségek között lineárisan lehet interpolálni, ha a beton kockaszilárdsá-ja a táblázatban megadott minőségek közé esik.

5./ Alakváltozások ellenőrzése.

Feszített hidezszerkezetek 15 m-nél nagyobb tágassázközű elő-méinek számítása során a lehajlásokat számítani kell. Ekkor az acélbetétek elhanyagolhatók és a rugalmassági tényező a 2.71 pont szerint számítandó.

6./ Szerkesztési szabályok.

6.1 Előrefeszített szerkezetekben a huzal és a beton szé-itt legalább 1.5 cm betontakarás legyen, ill. a kengyel szé-

létől számítva 1,0 cm. A huzalok közötti szabad köz legalább 1,2 cm, de itt az adalékanyag legnagyobb szemnagyságára is tekintet-tel kell lenni.

Utófeszített szerkezetekben a húvelyes kábelek betonfedé-ssé függőleges értelemben legalább 2 cm, vízszintes értelemben leg-alább a kábelátmérő legyen.

55-40896

- 211 -